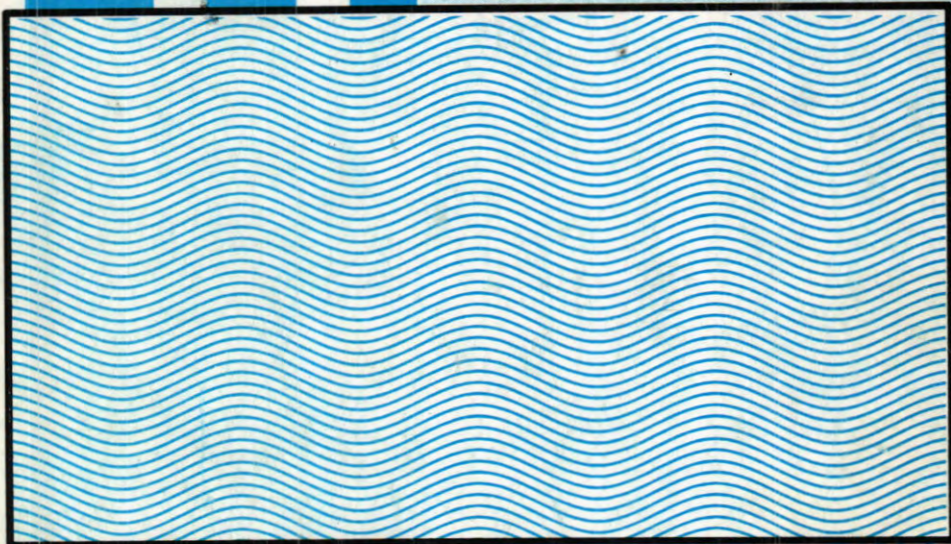


Al-Mustansiriya Journal of Science

Vol. 12 No. 8 Year 2004



**Issued by College of Science
Al-Mustansiriya University**

Special Edition

Al-Mustansiriya Journal of Science



Vol. 12, No. (8), 2001

Special Edition
Of
The 5th Scientific Conference College Of Science
AL-Mustansiriyah University

AL-MUSTANSIRIYA

JOURNAL OF SCIENCE

Head Editor

Prof. Dr.

Saad M. Al-Mashhadani
Prof. Biology

General Editor

Dr.

Ridha I. Al-Bayaty
Prof. Chemistry

Editorial Board

Dr. Salah M. Aliwy	Member
Dr. Riadh A.H. Dalool	Member
Dr. Hashim H. Jawad	Member
Dr. Kais J. Latif	Member
Dr. Saady Abdul Razaq	Member
Dr. Juma'a A. Zirnan	Member

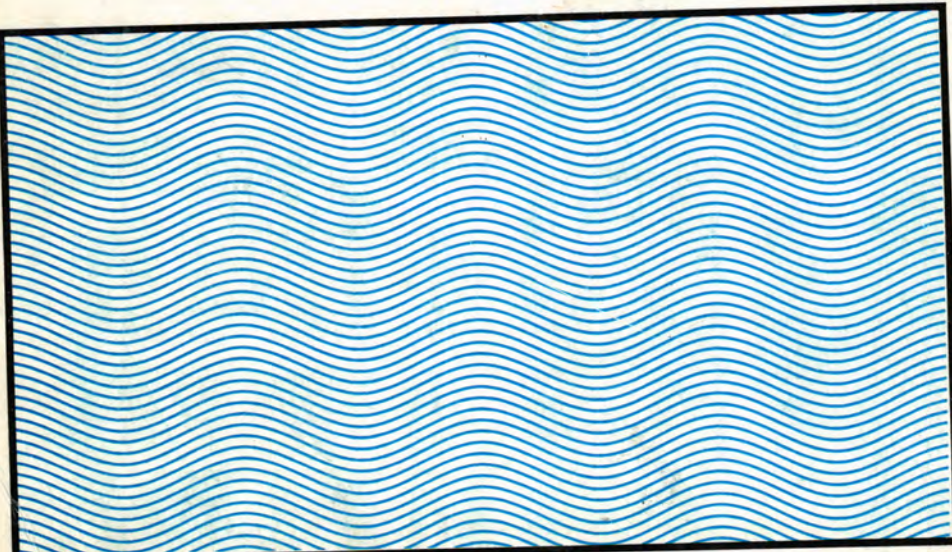


مجلة
علوم الحاسوبية

السنة ٢٠٠١

عدد ٨

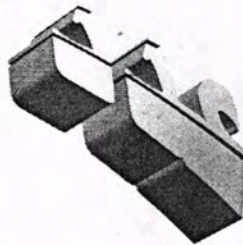
مجلد ١٢



تصدرها كلية العلوم بجامعة المستنصرية - بغداد - العراق



جامعة
الموستنصرية



مجلة علوم المستنصرية

المجلد ١٢ العدد ٨ لسنة ٢٠٠١

عدد خاص

بالمؤتمر العلمي الخامس لكلية العلوم - الجامعة المستنصرية

للفترة ٢٤-٢٣ تشرين الأول لسنة ٢٠٠١

مجلة علوم المستنصرية

مدير التحرير

الدكتور رضا ابراهيم البياتي
أستاذ - كيمياء

رئيس التحرير

الدكتور سعد محمود المشهداني
أستاذ - علوم حياة

هيئة التحرير

عضو	د. صلاح محسن عليوي
عضو	د. رياض عبد الحسين دلول
عضو	د. هاشم حميد جواد
عضو	د. قيس جميل لطيف
عضو	د. سعدي عبد الرزاق
عضو	د. جمعة أسود زرنان

Contents

<u>Item</u>	<u>Page No.</u>
DETERMINATION OF IMPURITIES IN [ZrO₂ , TiO₂ , SiO₂] IN PART PER MILLION BY X-RAY FLUORESCENCE F.H. Ali, N.H. Abdulrazzak, Q.A.A. Jassim	945
Design of Low-Voltage, High Current Rtiode Electron Gun System HASHIM H. JAWAD, MAHDI H. JASIM, EVAN J. PHARHAN	951
Intestinal Parasites Among Pupils of Some Primary Schools in Al-Khalis Town Center, Diyala Province NAGHAM Y. AL-BAYATI and FURHAN T. MHAISEN	973
On m-separation axioms HADI JABERMUSTAFA and SAMISHARLMAN SHMOUAL	983
Synthesis of Organo Se, Te and Hg compounds Containing: Oxadiazole, Triazole and 2-Benzothiazole Rings With Some of Their Complexes WALEED KHALID MEHDI and FALAEH HASSAN MUSA	997
Ohmic Contacts Produced by Pulsed Nd:YAG Laser to Titanium on P-Type Silicon UDAY A. HAMADI, RANIA A. MARKUB AND RANA O. DALA ALI	1011
Effect of He-Ne Laser on Motility and Activity of Human Sperms Khelil L. Hajim*, Ayad G. Anwer* and Abdul Rassoul K. AL-Zubaidi**	1017
g* - Continuous Functions HADI JABER MUSTAFA	1021
Synthesis and Spectrometric Studies of Some New 1,3,4-Thiadiazoles S.M. SHAHER, N.J. AI-OBAIDY, K.K. ABID	1029

Contents

<u>Item</u>	<u>Page No.</u>
Effect of Deposition Rate on Electrical Properties of Thin CdSe Films YASSIN NAJIM OBAID - IZZAT M. AL-ESSA and ABBAS K.H	1241
Preparation and Study of The Complexes of 2,5-Bis(2-Aminopyrimidyl)-1,3,4-Thiadiazole With Some Transition Metals S.M.DHAHER, N.J.AL-OBAIDY, K.K. ABID	1247

المحتويات

رقم الصفحة	الموضوع
1041	تأثير التأري لحامض الكليفولنك مع مضادات البيتاالاكتام ضد انواع من البكتيريا السالبة لصبغة غرام المنتجة لأنزيم البيتاالاكتاميز سوسن ساجد الجبورى ، حسين حسن خانقاہ و اسماء عزت النعيمي
1051	السمينة المزمنة لمبيد الحشرى الدايازينون في أحد أنواع متفرعة اللوامس (<i>Moina affinis</i>) علي عبد الزهرة نشمي ، هناء حنين منكلو و سهيلة صبار الدليمي
1063	تأثير التلدين على الخصائص التركيبية للأغشية ثانى أوكسيد الجرمانيوم الرقيقة سعد عبد الباري توفيق ، ابراهيم رمضان عاكول ، رعد سعدون صبرى ، رحيم كعید
1071	تأثير المخالفات النباتية للطماطة في انبات البذور والنمو لاصناف من الحنطة <i>Triticum durum</i> صلاح محمد سعيد انصاري
1083	تأثير مبيد الكليفوسيت العثبي في حيالية أحد انواع لافقريات المياه سهيلة صبار الدليمي ، علي عبد الزهرة اللامي ، هناء حنين منكلو * و ايمن حسن علي
1097	تأثير مستخلصات أوراق نبات سم ألفراخ <i>Withania Somnifera</i> على نمو بعض الخطريريات الجلدية د. سجال عبد الوهاب الركابي * ، د. خلود وهيب السامرائي ** و باسمة ربيع احمد
1109	تأثير الإشعاع على معامل هول وتركيز الحاملات وتحريكية هول الأغشية $Zn_x Cd_{1-x} S$ الرقيقة د. ياسين نجم عبيه ، د. خالد ابراهيم سلماں ، جاسم محمد صالح

الموضوع**رقم الصفحة**

1121

تأثير درجة الحرارة على الخواص الكهربائية للتركيب نيكل-سيليكون
عدي عطاء حنفي . يفزن طارق سالم

1131

تحضير مبدن أليونت الموجة الحامضية القوي
مثيل ضايف لستي . جواد كاظم جواد و وسام فرج يعقوب

1139

تحضير ودراسة خواص البصرية لأغشية GeO_2 الرقيقة
د. ابراهيم رحيم شحاته . د. سعد سعدون صيري . د. سعد عبد الباري توفيق ورحيم كعید

1149

**تحضير أغشية (CdO) الرقيقة ودراسة التشويب بالالمنيوم (Al) على
خواصها البصرية**
د. ياسين تحدى . سلطنة جعفرى جعفرى

1157

تصميم وبناء وتشغيل نيزر الشروجين النبضي باستخدام اقطاب مختلفة
د. حسن احمد حسني . شعبان بشيرى رزوفى

1167

تطوير النano تممحوب نظرية براك في المركبات الغازية
زيتب وهبي عبد الله . خالد عبد الوهاب احمد

1181

حساب مدى تجذبات المشحونة الثقيلة ($Z_1 \geq 2$) لأهداف مختلفة
احمد عزيز حسنه . خالد عبد الوهاب احمد ، محمد احمد الجبورى

رقم الصفحة

الموضوع

1191

فصل وتشخيص وتقدير المحتوى الكلى للاحماض الفينولية فى مخلفات
محصولي الرز والطماطة

صلاح محمد سعيد و جنان عبد الخالق سعيد

1201

تحويرات في الـ Linear-Quasi - Log بعض التطبيقات الاحصائية
سعاد خلف سلمان

1217

مقارنة تأثير منظم النمو الحشري ابلسود و مستخلص النيكوتين و
النيلاتوودا Steinerma Carpocapsae على يرقات البعوض Culex
Blatella Germinca Pippens

بدر محمد عباس العزاوي

1127

نهر التلوك في نهر رجة المار في مركز مدينة الموصل
اميره محمود محمد الرواوي و اسامه محمد سعيد مصطفى النعيمي

DETERMINATION OF IMPURITIES IN $[ZrO_2, TiO_2, SiO_2]$ IN PART PER MILLION BY X-RAY FLUORESCENCE

F.H. Ali, N.H. Abdulrazzak, Q.A.A. Jassim

الخلاصة

تم استخدام مطياف الاشعة السينية لتعيين الشوائب Fe, Zn, Bi, Cu, Cr, Mn, Pb, V, Zr, Mo, Cd, Ti, Ni, Co, U, Th في أكسيد العناصر [Si, Ti, Zr] وقد استخدمت الطريقة المباشرة بالتحليل الكمي لهذه الشوائب وبصورة مجتمعة ومن خلال استخدام البرنامج التحليلي لمنظومة الاشعة السينية بعد تحديد العوامل الخاصة لكل عنصر من هذه العناصر. كما استخدمت طريقة لتحضير النماذج هي طريقة الصير لتحضير أقراص زجاجية من البورات، وطريقة الكبس للمسحوق بعد خلطه ومزجه مع مادة الماسكة وبشكل يحدد من تأثير حجم الدقائق.

ABSTRACT

A method is described for the determination of trace concentration of Fe, Zn, Bi, Cu, Cr, Mn, Pb, V, Zr, Mo, Cd, Ti, Ni, Co, U and Th in $[ZrO_2, TiO_2, SiO_2]$ by x-ray fluorescence spectrometry without the use of chemical treatment. The lower limits of determination in (ppm) are Fe(14), Zn(15), Bi(30), Cr(23), Mn(17), Pb(30), V(30), Zr(20), Mo(25), Cu(25), Cd(27), Ti(28), Ni(25), Cd(23), U(18) and Th(15). Samples are prepared by two different methods. The first method is by pressing the sample to pellets after mixing the sample with starch as a binding agent. The second method is by fusing the sample to glass disk bead. Standards were prepared in $[ZrO_2, TiO_2, SiO_2]$ matrix. The dynamic range of the calibration curves are linear for three orders of magnitude, i.e. from zero to 500 ppm.

INTRODUCTION

A wide variety of methods have been developed for the determination of trace element in oxides, TiO₂, ZrO₂, SiO₂ by x-ray fluorescence spectrometry. These methods reflect many different approaches to the correction of measured intensities for matrix absorption and enhancement, particle size effect, packing density and instrumental instabilities. A number of mathematical models have been constructed to deal with these factors, including empirical methods for the determination of influence coefficients [e.g. Lachance Traill⁽¹⁾ and Rasberry-Heinrich⁽²⁾] and fundamental parameter methods developed for computer (e.g. NRI, XRF, XRF-1)⁽³⁾. Also, correction methods based on scattered radiation have been widely used in both energy and wave length-dispersive x-ray fluorescence analysis⁽³⁾.

An early study⁽⁴⁾ showed that by using the ratio of analyte intensity to scattered intensity, a partial compensation can be made for particle size, matrix absorption and instrument effects. Sample preparation has also been successful in reducing or eliminating these effects. Grinding and palletizing have been used extensively for reducing particle size and density differences⁽⁵⁾ and fusion techniques both with and without absorbers⁽⁶⁾ have been used to eliminate or minimize particle size and matrix absorption and enhancement effects.

EXPERIMENTAL

1. Instrument and operation conditions:

Shimadzu fully automatic sequential scanning type x-ray fluorescence spectrometer, mode VF 320 was used through out this work. The instrument contains x-ray tube, which uses Rh-metal as a target. The x-ray spectrometer consist of first slit, crystal exchanger analyzing crystals (LiF 200, EDT 020, TAP 001), Second slit scintillation detector and flow proportional counter, all of which except scintillation detector, are housed in a vacuum chamber. The instrument coupled with a DP-32 data processing unit containing CRT, printer, keyboard and floppy disk. The x-ray tube operating conditions are applied power 40 mA, applied voltage 45 kV.

The optimized condition for the proposed method are as shown in Table 1.

2. Preparation of standard and sample:

Two methods were used to prepare samples and standard:

- 1- Powder pallets: A series of standard were prepared containing 50, 100, 200, 300, 400 and 500 ppm of impurity elements. These standards prepared by mixing appropriate amount of the standard solution of impurity elements. 5 g of matrix-binder mixture element (Zr, Ti, Si) the mixture was dried by gentle heating until dryness and their grinded and mixed a mechanical grinder powder. The residue was pressed as 44 mm diameter pallet at 14-20 ton/cm² depending on the material of the matrix.
- 2- Fusion "glass disk": One gram portion of the fine powder prepared in the above procedure was transferred into Claisse-type 95% - 5% Au alloy crucible and mixed thoroughly with 3 g of Lithium tetraborate and 3 g of Lithium metaborate. 0.1 g of KI was added on a non-wetting agent. Other additives Li₂CO₃ were used to increase the fluidity of molten glass. The fluxer crucible and molds were picked up as a unit and placed in a muffle furnace at 950°C and samples were fused for 5 min. After cooling for 5 min the solidified glass disk were removed from the molds.

RESULTS AND DISCUSSION

The most widely used sample preparation method for trace elements analysis briquetting that process that often involves accurate weighing of sample and binder as well as the mechanical compressing of sample.

This method produces durable samples that have very smooth and flat surfaces.

The analysis of fusion glass disk described in this work requires much less time and labor while maintaining accuracy, at $\pm 5\%$, as soon as. the fused glass disk produced. It requires no further treatment and usually of such quality that no more than one disk is required for the analysis of each sample. The wavelength of the selected emission lines their energies in keV and corresponding 2θ angles given in table I.

The Kα and Kβ emission lines were used for the most elements. while Lα and Lβ emission lines were used for U, Th and Bi.

Table II and III show that the detection limits and relative standard deviations are adequate to make the method suitable for determination of some impurities in [ZrO₂, TiO₂, SiO₂].

Interferences due to various emissions K spectral line are a major problem in the analysis of mixture of impurities element. It is evident that KβZr have 2θ values [20.07] every close to those of the Mo line 2θ [20.33].

So that we select the most intense K β lines of Mo which has minimum interferences of Mo in ZrO₂ matrix. Other found such as ZrK β (40.8) is overlapped with the line of ZnKa [41.8], and also V $\kappa\alpha$ (76.96) has a slight overlap with a strong matrix line TiK β (77.26). The limit of determination of V in TiO₂ matrix is poor for this reason.

Table I: Optimized condition for propose method crystal LiF 200

Element	PHA*	PHA W.D.**	Line	2θ	BG/2θ
Cd	1.1	1.5	k α	13.53	14.4
Mo1	1.2	1.4	k α	20.33	21.5
Pb	1.1	1.5	L α	28.23	33.5
Cu	1.1	1.7	K α	45.02	43.5
Ni	1.0	2.0	K α	48.67	47.00
Co	1.0	1.2	K α	52.8	50.00
Fe	0.9	2.0	K α	57.53	56.00
Mn	1.1	1.2	K α	62.98	61.3
Cr	0.8	2.0	L α	69.75	67.5
Zn ²⁺	1.3	2.0	K α	41.8	43.5
Bi	1.0	1.8	L α	33.0	32.5
Ti	0.9	2.3	K α	86.14	84.8
U	1.1	1.7	L α	26.14	25.5
V3	1.0	1.8	K α	76.93	75.0
Zr	1.0	1.5	K α	22.55	23.55
Th	1.1	1.7	L α	27.47	25.55

Notes:

* PHA pulse height analyzer.

** PHA W.D pulse height analyzer width.

1. Mo K β_1 (19.03) was used in ZrO₂ matrix.
2. Zn K β_1 (37.5) was used in ZrO₂ matrix.
3. V K β_1 (69.13) was used in TiO₂ matrix.

Table II: Detection limit and relative standard deviation of impurities in different matrix and powder pellet form.

Element	SiO ₂		TiO ₂		ZrO ₂	
	D.L	R.S.D.	D.L	R.S.D.	D.L	R.S.D.
Cu	35	3	25	1	25	2
Ni	25	2	25	4	20	4
Co	27	3	27	1	20	2
Fe	15	3	15	6	17	2
Mn	18	5	27	1	17	4
Cr	33	2	30	1	26	4
Zn	25	9	25	3	25	5
Bi	35	8	17	3	23	17
Ti	40	5	-	-	35	19
U	17	3	55	10	23	4
V	35	5	25	3	45	7
Zr	30	4	25	5	-	-
Th	15	2	35	10	25	4
Pb	42	6	55	6	30	2
Cd	38	25	35	28	45	31
Mo	35	15	35	4	50	2

Table III: Detection limit and relative standard deviation of impurities in different matrix and powder glass disk.

Element	SiO ₂		TiO ₂		ZrO ₂	
	D.L	R.S.D.	D.L	R.S.D.	D.L	R.S.D.
Cu	30	2	25	1	25	7
Ni	23	2	25	2	20	2
Co	25	3	25	1	20	3
Fe	17	2	15	1	20	3
Mn	18	3	24	1	22	4
Cr	23	2	30	1	30	6
Zn	21	2	35	1	23	1
Bi	28	8	23	2	28	18
Ti	37	5	23	2	29	6
U	27	4	25	5	33	4
V	40	6	60	6	40	7
Zr	25	1	23	1	-	-
Th	18	5	20	8	29	-
Pb	45	4	40	1	48	5
Cd	35	15	60	12	48	51
Mo	30	4	33	2	40	5

REFERENCES

1. G.R. Lachance and R.J. Traill. Can Spectrosc 11, 43 (1966).
2. S.D. Rosberry and K.F.J. Heinrich., Anal. Chem. 46, 81 (1974).
3. J.W. Criss., Adv. X-ray Anal., 23, 93 (1980).
4. G. Anderman and J.W. Kemp. Anal. Chem. 30, 1306 (1958).
5. G. Anderman and J.W. Kemp. Anal. Chem. 33, 1695 (1961).
6. H.J. Rose, Jr. I. Ader and J. Flanagan. appl. Spectrosc. 17, 81 (1963).
7. E.P. Bertin Principles and practices of x-ray spectrometric analysis.. 2nd ed. P. 485 Plenum Press. New York.

Design of Low-Voltage, High Current Triode Electron Gun System

HASHIM H. JAWAD, MAHDI H. JASIM, EVAN J. PHARHAN
 Physics Department, College of Science, Mustansiriyah University,
 Baghdad, Iraq

الخلاصة

في هذا البحث، تم تصميم وبناء منظومة قاذف الكتروني امتزالت ببساطة التصميم وصغر الحجم اذا كان تبخير الحزمة الالكترونية بواسطة المجال الكهربائي، هذه المنظومة ملائمة للعمل ضمن مدى الطاقة (50-600 انكرون فولت). درس تأثير عوامل عديدة (فولتية الانود، الضغط، المسافة بين قطب الانود والشبكة، قطر فتحة الانود) على القيم العnelleة لتيار الانود وتيار الحزمة الالكترونية المستخرجة. لقد كانت اعلى قيمة لتيار الانود والحزمة الالكترونية المستخرجة هي 15.25 ملي امبير على التوالي عند افضل الظروف التشغيلية للمنظومة (فولتية الانود 600 فولت، الضغط 10^{-4} ملي بار، المسافة بين قطب الانود والشبكة 6 ملي متر، قطر فتحة الانود 6.5 ملي متر).

ABSTRACT

In this work the design and construction of a simple, compact, rugged, electrostatically focused triode electron gun system. Which is useful over an energy range extending from 50 eV to 600 eV, is described. The effect of several factors (anode voltage, pressure, distance between the anode and grid electrode and anode electrode aperture) on the anode current and the extracted electron beam current is clarified, as the maximum value of the anode and the extracted electron beam current is 15 and 2.5 mA respectively at the optimum operation conditions for the electron gun system (anode voltage 600 V, pressure 10^{-4} bar, distance between anode and grid electrode is 6mm and anode electrode aperture is 6.5 mm).

INTRODUCTION

Many excitation experiments require electron beams whose energies are a few electron volts with the highest possible currents⁽¹⁾. The electron beam are produced by one of the essentials of an electron beam device, the

so-called electron gun^(2,3). Generally the gun consists of a cathode (source of free electrons), a focusing electrode or "grid" and an accelerating electrode (anode)^(4,5).

There are three types of electron guns types (commonly available today) which are classified in terms of electron source can be conveniently considered as follows⁽⁶⁾:

Tungsten Filament Thermionic Electron Gun

The cathode of this gun is made from tungsten wire, where the cathode size is about $50\text{ }\mu\text{m}$ ⁽⁷⁾. This type of electron guns is inexpensive, requires a vacuum of better than about 1.33×10^{-3} mbar and produces a stable beam current⁽⁶⁾.

Lanthanum Hexaboride (LaB_6)Thermionic Gun

In this type of electron guns, the electrons are emitted from the tip of a heated LaB_6 filament which has a size of about $1\text{ }\mu\text{m}$ ^(7,8). This electron gun is high in replacement cost, requires lower operating pressure about 1.33×10^{-6} mbar and has a longer life time.

Field Emission Electron Gun

A field emission gun has a source of electrons usually a single crystal of tungsten that has a size of about 5nm ⁽⁷⁾.

There are two types of field emission gun, the first type is cold field emission and the second type is thermal field emission. Generally, field emission gun requires ultrahigh vacuum of the order of 1.33×10^{-9} mbar for the thermal field emission and of about 1.33×10^{-10} mbar for the cold field emission and it is much more expensive.

Design Consideration

The electron gun construction must not be too complicated, the gun must be compatible with apparatus, economical and have along service life. The choice of constructional materials is determined by a number of consideration, such as^(9,10) availability, machinability, cost, electrical and mechanical properties, melting temperature, and dielectric properties (in the case of insulators).

The determination of the shape and mutual arrangement of the electrodes is the fundamental problem of the gun design^(2,3). In particular,

the configuration of the cathode and that of the focusing electrodes are of importance in collimating an electron flow⁽²⁾.

The dielectric strength of the system must be taken in to account in addition to the principle requirement for a desired focusing field when selecting the configuration and position of the gun electrodes⁽²⁾. The electron gun system as shown in figure (1) consists the following fundamental parts:

The Filament

The filament is a tungsten wire 0.125mm in diameter bent in to a hairpin "V" shape and surrounded by a movable stainless steel shield with a circular aperture of 3mm in diameter through which the electrons emanate. Filament of pure tungsten has to be operated at relatively high temperatures, usually 2500 K^(4,12,13). The filament requires between 2.5-3 A as a heater current⁽¹⁴⁾, this current calculated from the following equation⁽¹⁵⁾:

$$I_F^2 = \frac{\xi \sigma A_s T^4}{R_F} \quad \dots\dots(1)$$

where:

I_F : Filament current (A).

ξ : The emissivity. $\xi = 0.4$ for tungsten⁽¹⁶⁾.

σ : Stefan-Boltzman constant ($J/s\ m^2 K^4$).

A_s : Real area of the emitting body (m^2).

T : The absolute temperature of the filament (K).

R_F : Filament resistance (Ω).

The Electrodes

The gun electrodes configuration is indicated in figure (2). More details about the performance of each electrode is given as follows:

The Grid Electrode

The grid electrode is made of Molybdenum material 66 mm is diameter. 0.5mm in thickness and have circular aperture of 4mm in diameter. The grid electrode centered just upon the filament tip by several pieces of teflon at a distance ($d_g=2mm$) and this electrode was covered by a guard ring of 85 mm in diameter from Mica material to minimize the

electron beam scattering in the space between the cathode-grid, grid-anode electrodes.

The Anode Electrode

The anode electrode is made of Copper plate with a dimension of $(88 \times 35 \times 9.5)\text{mm}^3$ and the central circular aperture of 6.5mm in diameter. The anode electrode is situated above the grid electrode at different distances ($d_a = 3.6$ and 9 mm) and supported by teflon insulators fixed on each side of the holder rodes.

The anode electrode was covered by Mica material in the same way as in the grid electrode to minimize the electron beam scattering in the space between grid-anode, anode-collector electrodes.

For a plane triode, the anode current is given by^(11,17):

$$I_A = \frac{4}{9} \epsilon_0 A_s \left(\frac{2e}{m} \right)^{1/2} \frac{(aV_A + V_g)^3}{d_g^2} \quad \dots\dots(2)$$

Where:

I_A : Anode current (mA).

ϵ_0 : Permitivity (F/m).

e : Electronic charge (coul).

m : Electronic mass (kg).

$a = \frac{1}{\mu}$, is a constant.

μ : Amplification factor.

V_A : Anode voltage (volt).

V_g : Grid voltage (volt).

d_g : Distance between cathode and grid (mm).

The Collector Electrode

The collector electrode is made of Copper ring of 66 mm in diameter and 9.5 mm in thickness. it is positioned above the anode electrode at a distance of ($d_c = 6\text{mm}$).

The Electrical Circuit

The electron gun system is supplied electrically by connecting it to the power supplies as shown in figures (3).

Experimental Results and Discussion

The experimental results (anode current and extracted electron beam current) and the optimum operation conditions for the electron gun system are obtained. Furthermore, the factors that affect the anode current and the extracted electron beam current will be discussed as follows:

Factors Affecting the Anode and Extracted Electron Beam Current

Anode Voltage Effect

The effect of the anode voltage V_A on the anode presented in and the extracted electron beam current I_C is presented in figures (4) to (12). The variation of I_A and I_C versus V_A for the different values of the distance between the anode and the grid electrode (d_a) at different pressures (P) is shown in these figures.

An increase in V_A leads to an increase in I_A and I_C due to the decreasing of electronic cloud (spade charge).

Figures (4) to (12) also shows a nonlinear relation between V_A and both of I_A and I_C because the anode electrode is attracted to some of the space charge electrons which form electronic cloud in front of the filament, so this sharply increased in I_A and $I_C^{(11)}$.

The anode current is calculated by using equation (2) and the comparison between the calculated and the measured anode current at anode electrode aperture diameter ($r_a = 6.5\text{mm}$) and at $d_a = 3\text{mm}$ is shown in figure (13). It is shown from this figure that there is great difference between the theoretical and experimental results for I_A as well as at different values of d_a and r_a . The high difference between the theoretical and the experimental results for I_A is attributed to the fact equation (2) does not take into account the effect of pressure and anode aperture diameter, while experimentally, it is observed that the value of I_A varies with the variation of P and r_a at a given value of V_A as shown in figures (4a) to (12a). Therefore, in the present work, the equation (2) can not be used to calculate the anode current in good accuracy.

The Pressure Effect

The effect of the pressure inside the electron gun chamber on I_A and I_C is studied and the variation of I_A and I_C with V_A at different pressures is shown in figures (4) to (12). From these figures it can be seen that I_A and I_C increases as the pressure increases where this behaviour is similar to the other studies^(1,18).

Table (1) illustrates the I_A and I_C values measured at an anode voltage of 600 eV. From this table, it can be seen that the highest value of the I_A and I_C is at the highest value of pressure $\sim 1 \times 10^{-4}$ mbar.

Table (1) Values of the I_A and I_C are Measured at $V_A = 600V$, $d_a=6mm$ and for the Different Values of P and r_a

P mbar	r_a mm	I_A mA	$I_C \mu A$	P mbar	r_a mm	I_A mA	$I_C \mu A$	
1×10^{-4}	3	0.51	160	8×10^{-5}	3	0.4	115	
	4	0.71	228		4	0.68	201	
	5	1.5	450		5	1.2	286	
	6	3	670		6	2.5	560	
	6.5	15	2500		6.5	2.8	1062	
9×10^{-5}	3	0.49	147	7×10^{-5}	3	0.38	110	
	4	0.7	215		4	0.64	125	
	5	1.4	430		5	1.1	276	
	6	2.65	640		6	1.9	490	
	6.5	4	1150		6.5	2.6	899	
6×10^{-5}	P mbar	r_a mm	I_A mA	$I_C \mu A$	P mbar	r_a mm	I_A mA	$I_C \mu A$
	6×10^{-5}	3	0.38	101	6×10^{-5}	3	0.38	101
		4	0.64	175		4	0.64	175
		5	1.1	240		5	1.1	240
		6	1.85	460		6	1.85	460
		6.5	2.58	830		6.5	2.58	830

The Distance Between the Anode and Grid Electrode Effect

The effect of the distance between the anode and the grid electrode (d_a) on I_A and I_C is studied for tow apertures of the anode electrode (6 and 6.5 mm) at three distances (3, 6 and 9 mm) as shown in figures (4) to (9). It is seen from these figures and from table (1) that I_A and I_C increase with the increase of d_a and reaches its maximum value at 6mm when after that I_A and I_C begin to decrease with more further increase in d_a to 9mm.

The Anode Aperture Diameter Effect

The influence of the anode electrode aperture diameter r_a on I_A and I_C is clarified through studying five apertures for the anode electrode with different diameters (3,4,5,6 and 6.5mm).

It is observed from the figures (4) to (12) that I_A and I_C increase with the increase of the aperture diameter of the employed anode electrode. The highest value of I_A and I_C is at $r_a = 6.5\text{mm}$ while the minimum value is at $r_a = 3\text{mm}$ as shown in table (1).

CONCLUSION

It has shown that the present electron gun produced useful and adjustable electron beams at low energies, the increment in pressure (P) plays an important role in increasing the anode current as well as the extracted electron beam current. The experimental results show that the maximum value of I_A and I_C is 15 and 2.5 mA respectively at $V_A=600$ V, $P=1\times 10^{-4}$ mbar, $d_a=6$ mm and $r_a=6.5$ mm (these values represents the optimum operation conditions for the electron gun system).

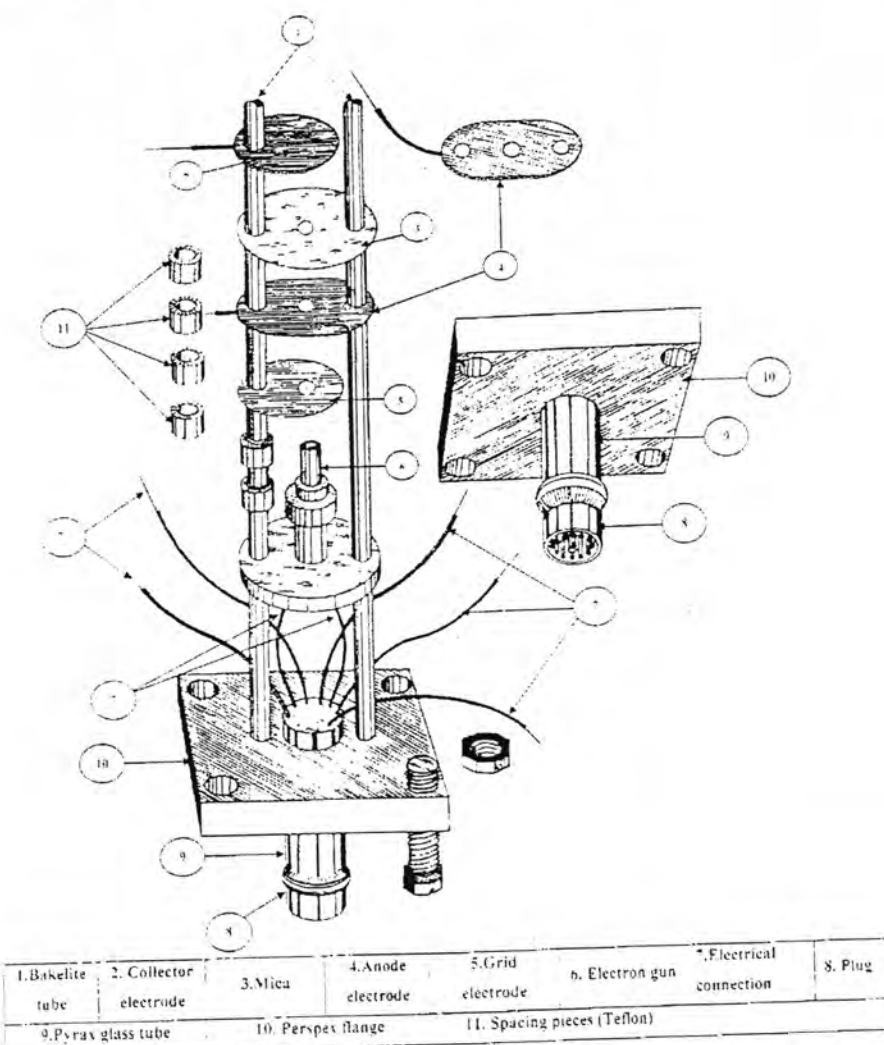
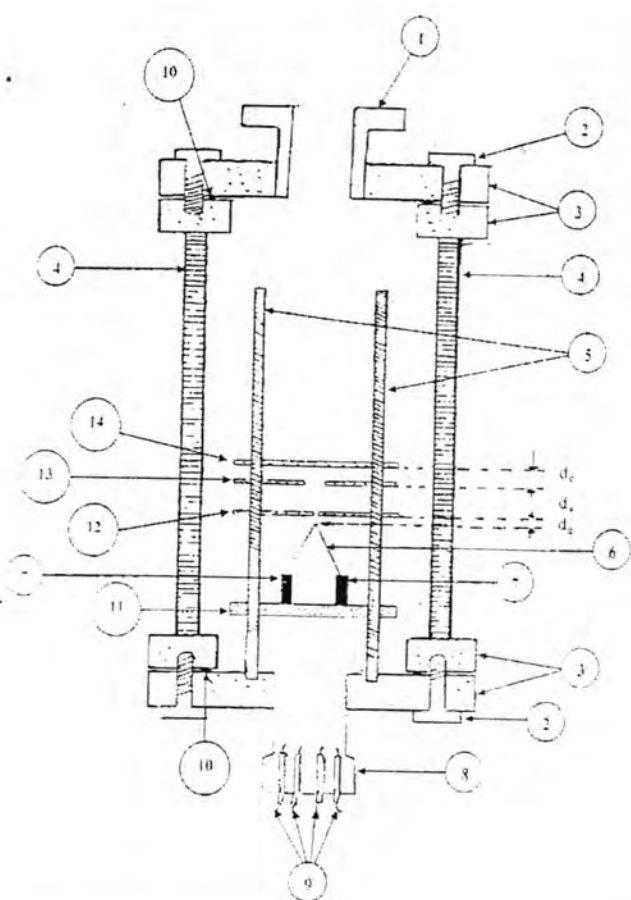


Fig (1). Internal View of the Electron Gun System



1. Evacuation aperture	2. bolt	3. Perspex flanges
4. Pyrex glass cylinder	5. Bakelite tubes	6. Filament wire
7. Electrical electrodes	8. Plug	9. Electrical connection
10. O-ring	11. Glass holder for filament assembly	12. Grid electrode
13. Anode electrode	14. Collector electrode	

Fig. (2). Cross Section of the Electron Gun System

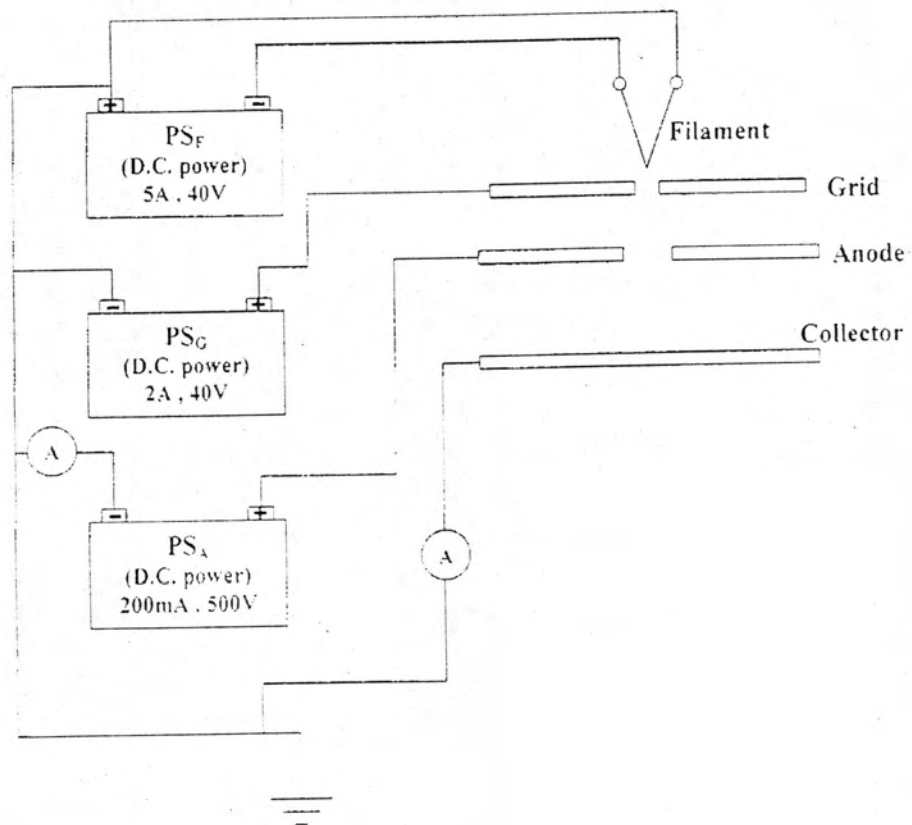


Fig. (3). Electrical Circuit of the Electron Gun System

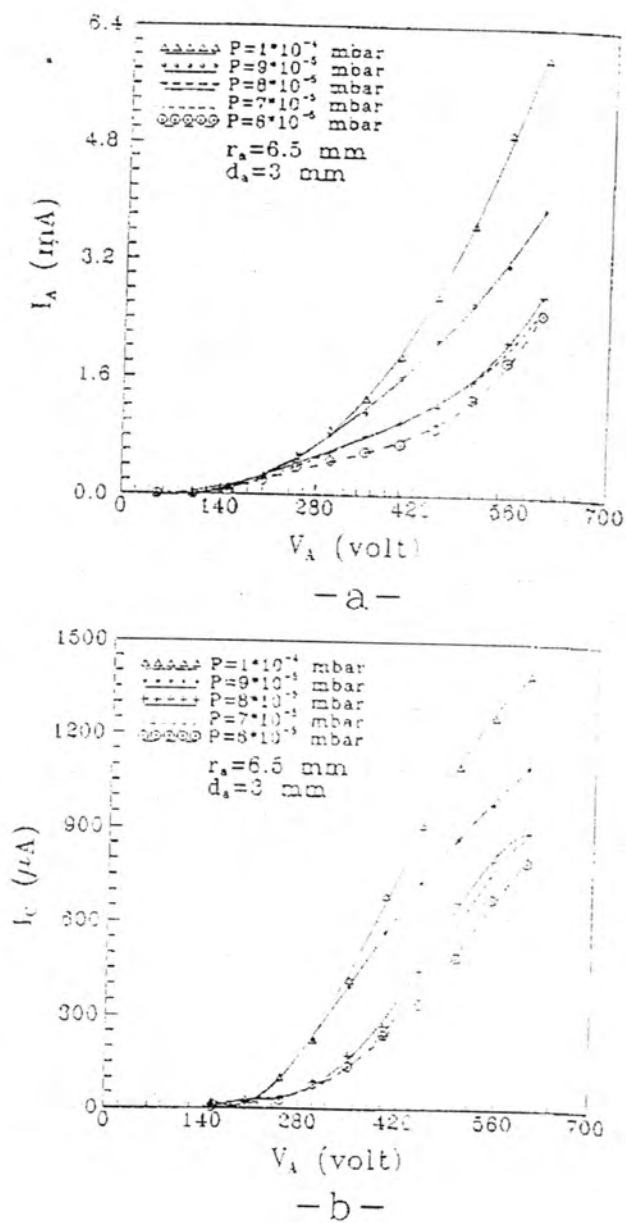
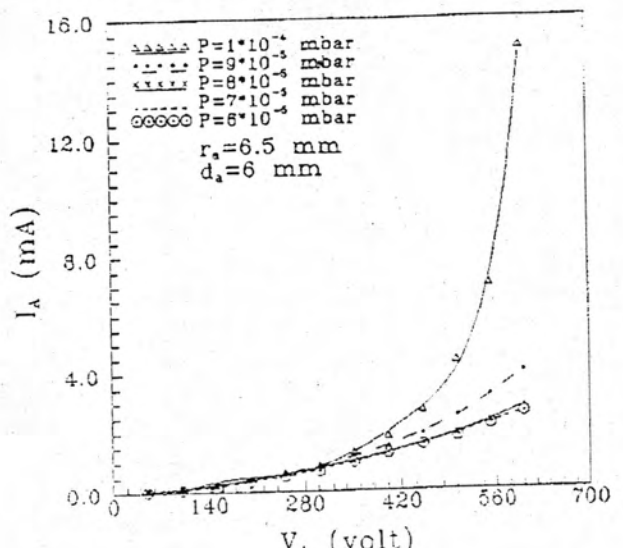
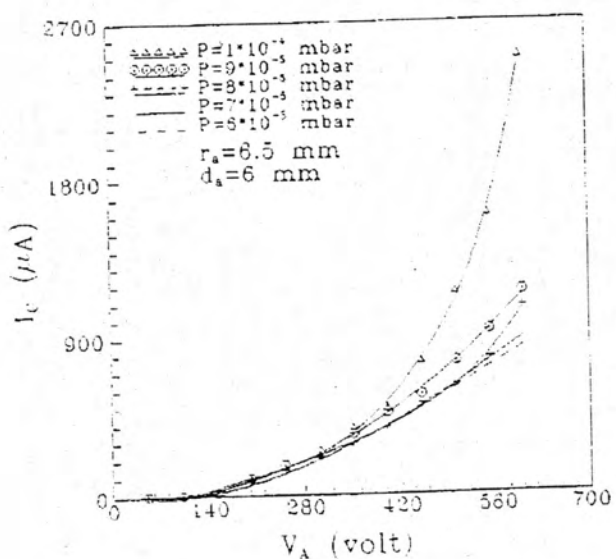


Fig. (4). Variation of (a) I_A and (b) I_C with V_A at Different Values of Pressure. $I_F = 3 \text{ A}$, $V_g = 10 \text{ V}$.



- a -



- b -

Fig. (5). Variation of (a) I_A and (b) I_C with V_A at Different Values of Pressure. $I_F = 3$ A, $V_g = 10$ V.

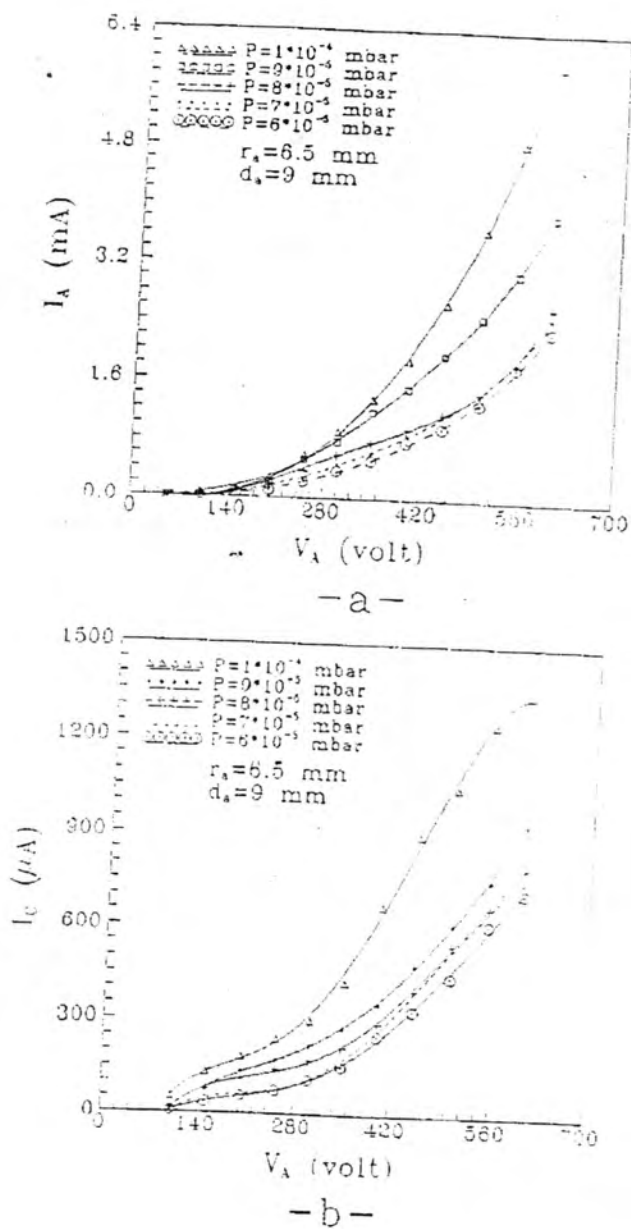


Fig. (6). Variation of (a) I_A and (b) I_C with V_A at Different Values of Pressure. $I_F = 3$ A., $V_g = 10$ V.

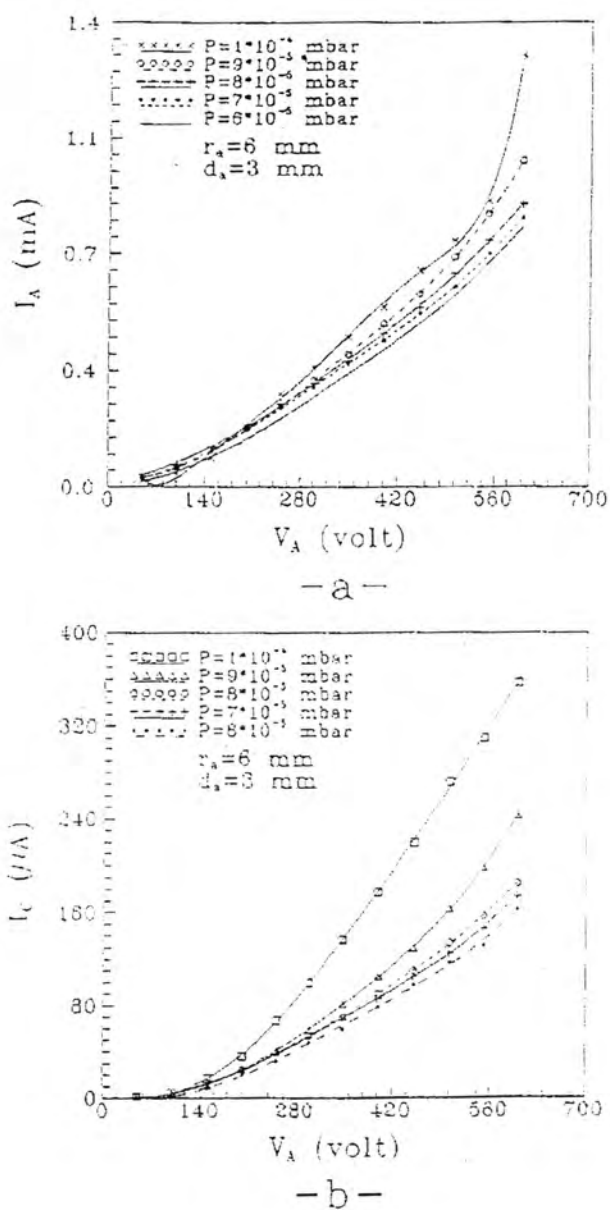


Fig. (7). Variation of (a) I_A and (b) I_C with V_A at Different Values of Pressure. $I_F = 3$ A, $V_g = 10$ V.

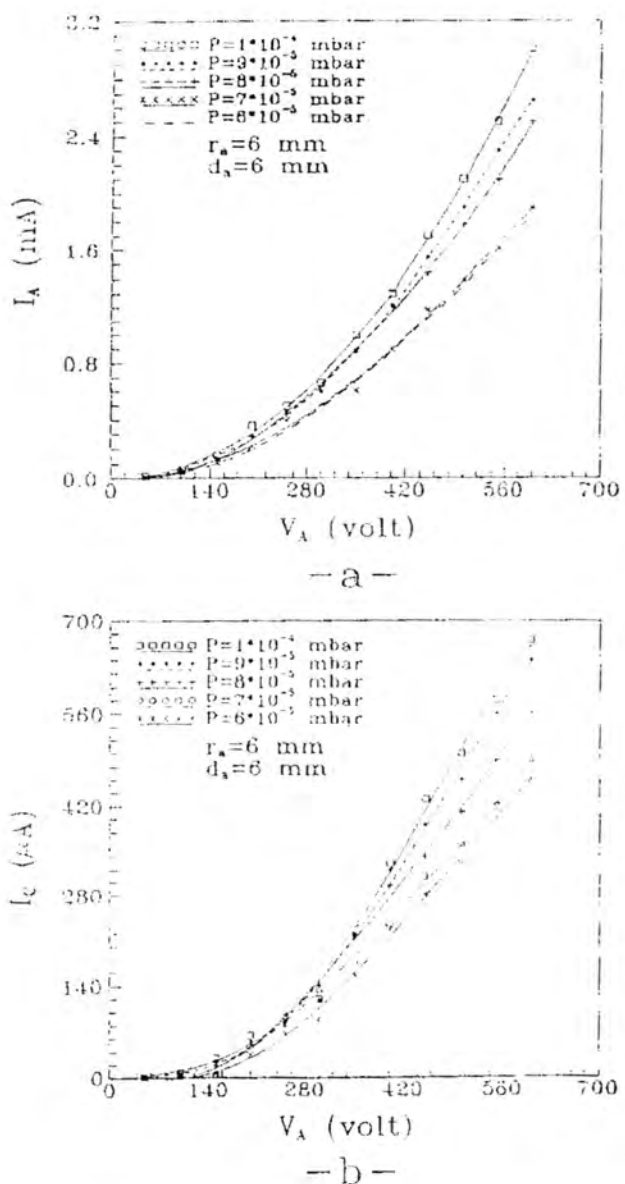


Fig. (8). Variation of (a) I_A and (b) I_C with V_A at Different Values of Pressure. $I_F = 3 \text{ A}$, $V_g = 10 \text{ V}$.

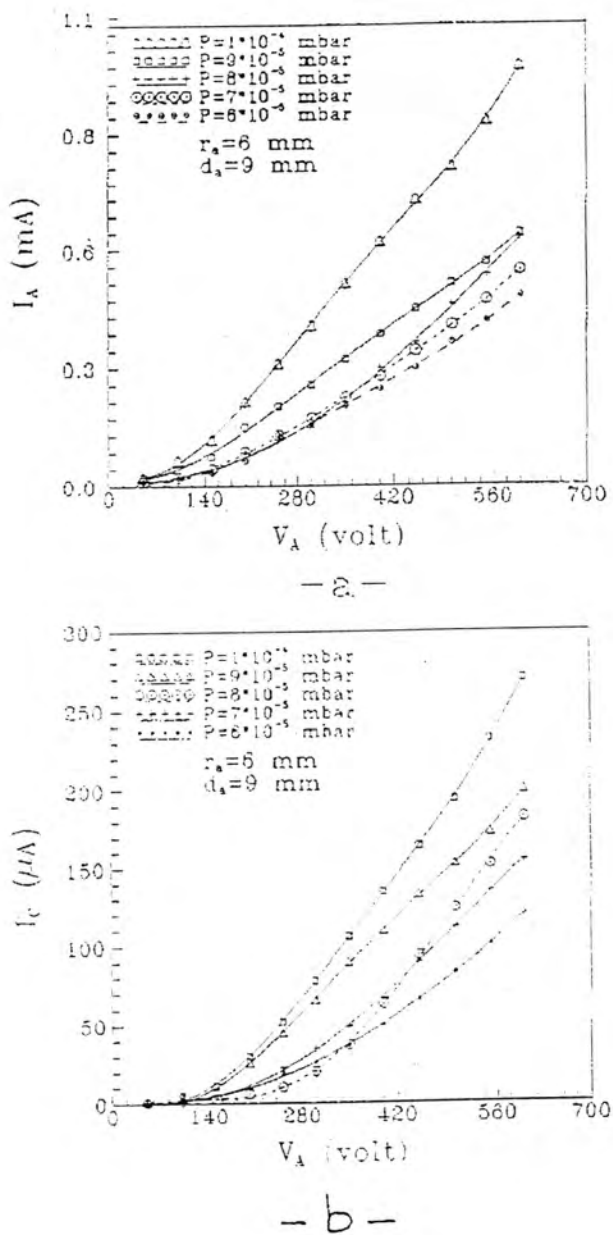


Fig. (9). Variation of (a) I_A and (b) I_C with V_A at Different Values of Pressure. $I_F = 3$ A, $V_2 = 10$ V.

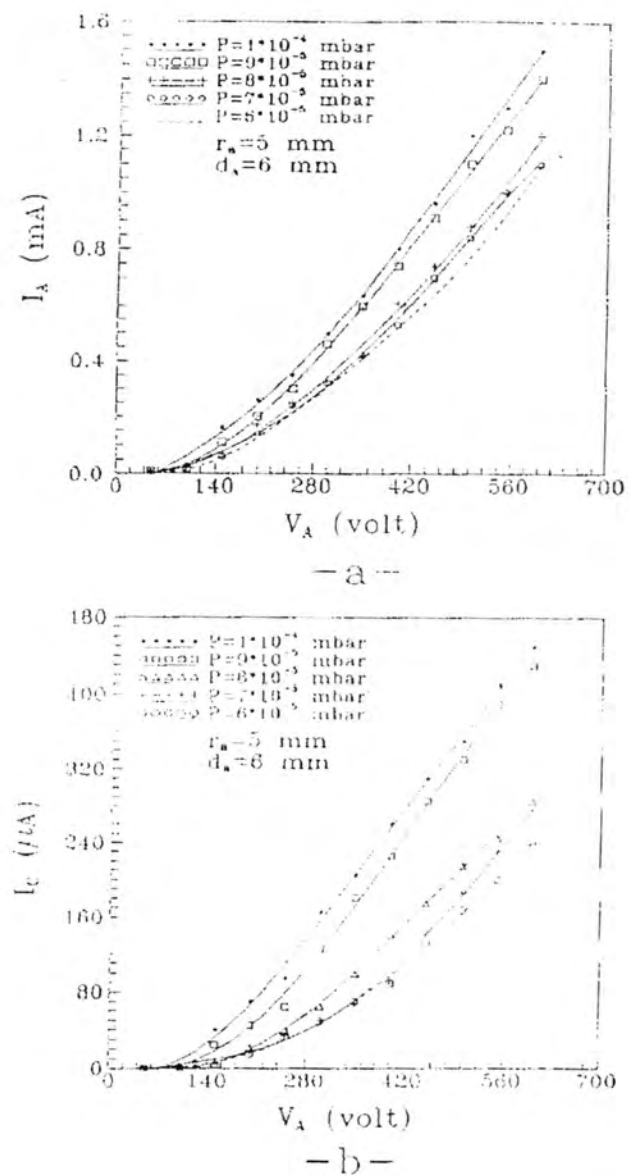
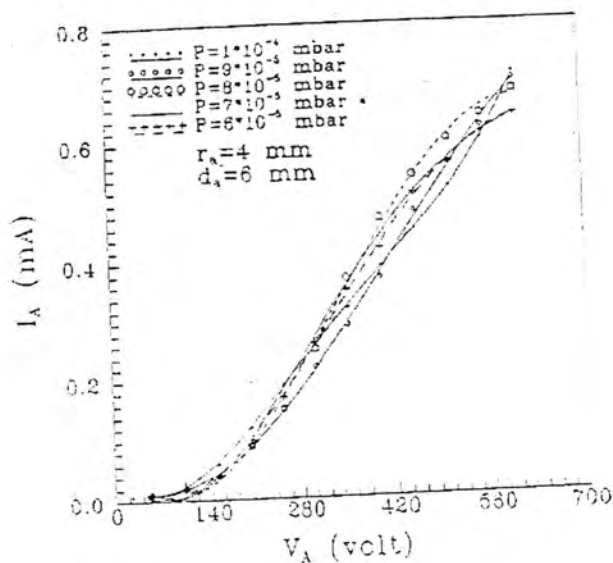
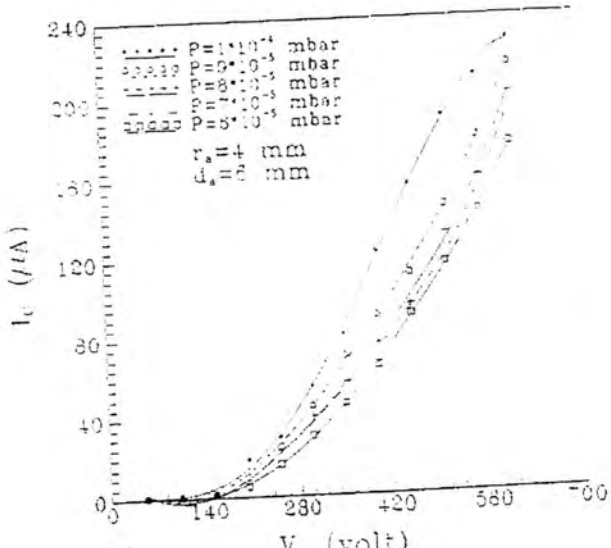


Fig. (10). Variation of (a) I_A and (b) I_C with V_A at Different Values of Pressure. $I_F = 3 \text{ A}$, $V_g = 10 \text{ V}$.



- a -



- b -

Fig. (11). Variation of (a) I_A and (b) I_C with V_A at Different Values of Pressure. $I_F = 3$ A, $V_g = 10$ V.

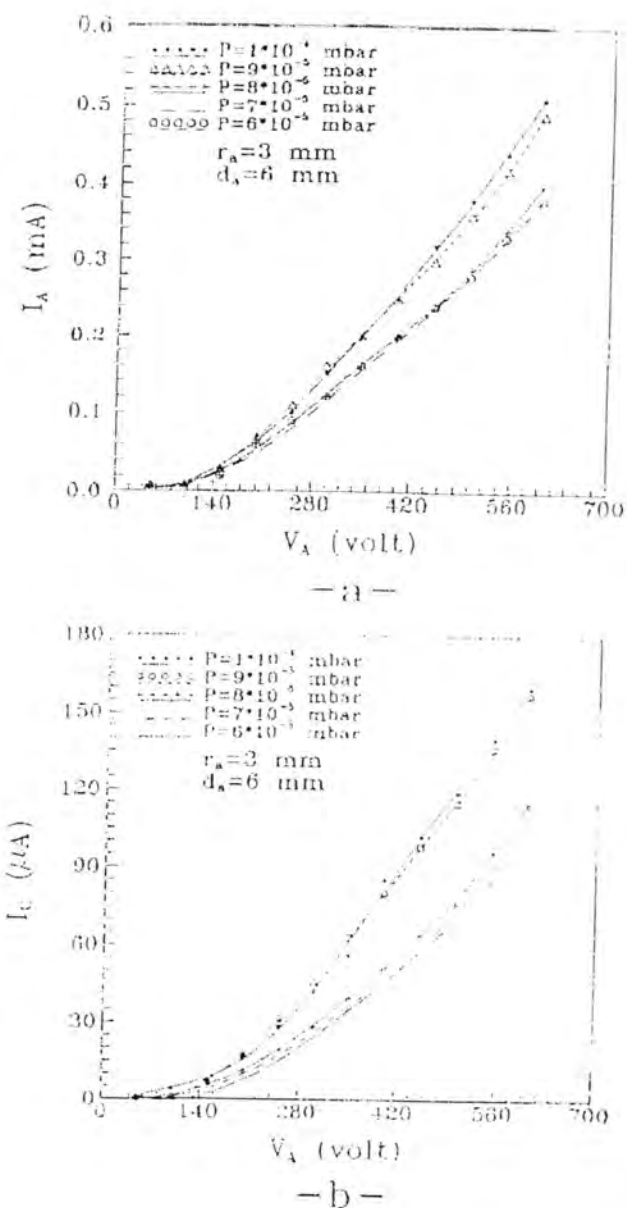
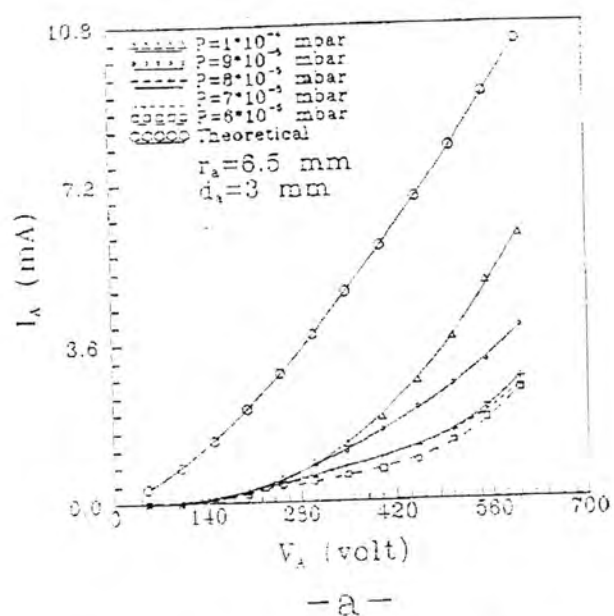
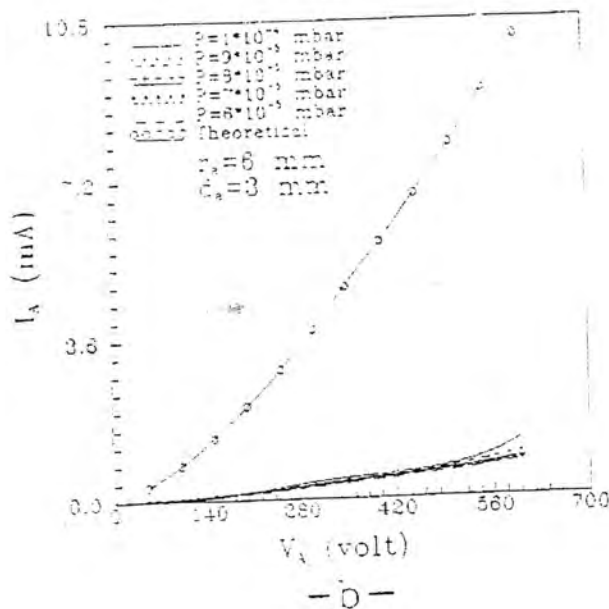


Fig. (12). Variation of (a) I_A and (b) I_C with V_A at Different Values of Pressure. $I_F = 3 \text{ A}$, $V_g = 10 \text{ V}$.



- a -



- b -

Fig. (13). Variation of Theoretical and Experimental I_A with V_A . $I_F = 3$ A, $V_g = 10$ V.

REFERENCES

1. Simpson J.A and Kuyaat C.E., Design of low voltage electron guns. Rev. Sci. Instrum. Vol. 34, No.3, PP. 265-268, (1968).
2. Zhigarev A.. Electron optics and electron beam devices. First published. Translated from the Russian by Utkin N., Mir Publishers, Moscow, (1975).
3. Nagy G.A. and Szilâgyi M., The Macmillan press LTD, Lôndon and Basingstoke. (1974).
4. Grivet P, Bernard M.Y, Bertein F, Castaing R., Electron optics 2nd English Edition, Translated by Hawkes P.W., Pergamon press Ltd.. Oxford and New York. (1972).
5. Whitaker J.C., Electron optics, chapter 5.1.
<http://www.technicalpress.com/Books/TVH/PDF> files Chapter 51. Pdf.. (2000).
6. Chandler G.W. and Seraphin S., Scanning electron microscopy University of Arizona, <http://palladium. Sem. Arizona. Edu/reu/ret. Html.>, John Wiley and sons. Inc., (2000).
7. Loretto M.H.. Electron beam analysis of materials. First published. Chapman and Hall Ltd., London and New York. (1984).
8. Alders A.F., Electron optics. <http://physics.Pdx.edu/faculty/rem/Electron%20optics.> (2001).
9. Alton G.D.. Aspects of the physics, chemistry, and technology of high intensity heavy ion sources, Nucl. Istrum. Methods. Vol. 189. PP. 15-42. (1981).
10. Freeman J.H.. The techniligy and chemistry of heavy ion sources. Nucl. Instrum. Methods, Vol. 107. PP. 477-492, (1973).
11. الراوي، صبحي سعيد "فيزياء الالكترونات" هندسة السيطرة والنظام، الجامعة التكنولوجية، مطبعة جامعة الموصل، (1987).
12. Gewartowski J.W. and Watson H.A., Principles of electron tubes. D. Van Nostrand Company, Inc., U.S.A. (1965).
13. Shaw D.F., An Introduction to Electronics. 2nd edition. Longman Group limited. London, (1970).
14. Design of the transmission electron microscope. <http://em-outreach. Edsc. Deu/web-course/Sec-1.B/Sec-1.B.html.> (2001).
15. Sears F. W and Zemansky M.W., University physics Addison – Wesley. U.S.A, (1955).

- 16.Hand Book of chemistry and physics, 60th edition, CRC press, Inc., Florida, (1980).
17. بروفې جي.جي "علم الالكترونيات وتطبيقاتها الهندسية" تعریف د. محمد منصور تاج ود. درویش، عبد الرسول، مطبعة جامعة البصرة، (1992).
- 18.Erdman P.W. and Zipf E.C., Low-Voltage, high-current electron gun, Rev. Sci. Instrum., Vol. 53, No. 2, PP. 225-227, (1982).

Intestinal Parasites Among Pupils of Some Primary Schools in Al-Khalis Town Center, Diyala Province

Naghm Y. Bayati * and Furhan T. Mhaisen **

* College of Education, University of Diyala

** Department of Biology, College of Education (Ibn Al-Haitham),
University of Baghdad

الخلاصة

أجريت دراسة لتحديد الطفيليات المعاوية لدى تلامذة سبع مدارس ابتدائية في مركز مدينة الخالص، محافظة ديالى. تم فحص ماء مجموعه 4017 عينة براز من تلامذة تتراوح أعمارهم بين 6-13 سنة أثناء المدة من شهر تشرين الأول 1999 وحتى غاية نيسان 2000. تم استخدام طريقة التقطيف الملحي المشبع. أظهرت النتائج أن 4.52% من التلامذة كانوا مصابين بوحد أو أكثر من الأنواع الطفيليّة التسعة الآتية: Iodamoeba. Entamoeba. Histolytica. Entamoeba Coli. Trichomonas. Giardia Lamblia. Chilomastix Mesnili. Butschlii Enterobius. Ascaris Lumbricoides. Hymenolepis Nana. Hominis Vermicularis كامل الابتدائية إلى 5.65% في مدرسة البلاغة الابتدائية. لوحظت فروق معنوية في تسب حدوث الإصابة بأغلب الطفيليات المعاوية لدى تلامذة المدارس السبع. لم تلاحظ فروق معنوية في نسبة حدوث الإصابة لدى التلاميذ الذكور والإناث. تركزت نسبة الإصابة العالية لدى مجموعة عمر ست سنوات (1.67%) بينما كانت أقل الإصابات لدى مجموعة عمر 11 سنة فأكثر (5.37%). ظهرت نسبة إصابة عالية لدى التلامذة الذين تضمن عوائلهم 13 فرداً فأكثر (5.66%) في حين سجلت نسبة إصابة أقل لدى التلامذة الذين شملت عوائلهم 3 - 4 أفراد (20%). سجلت إصابة عالية لدى التلاميذ من أبناء الأميين (99.6%) بينما سجلت أوّطاً إصابة لدى التلاميذ الذين لا يأتُون بمستوى تعليمي عال (1.0%). لوحظت نسبة إصابة عالية (31.8%) لدى التلامذة الذين تواجدت حيونات (قطط، كلاب، مواشي، طيور، فار) في بيوتهم مقارنة مع نسبة إصابة 6.20% لدى التلاميذ الذين لم تتوارد في بيوتهم مثل تلك الحيوانات. كانت نسبة الإصابات المفردة 5.43% مقابل 8.6% للإصابات الثانية و 1.2% للإصابات الثالثية.

ABSTRACT

An investigation was carried out to detect the intestinal parasites among pupils of seven primary schools in Al-Khalis town center, Diyala Province. A total of 4017 fecal samples from pupils of 6-13 years old were examined during the period from October 1999 until the end of April 2000. The direct smear method and the saturated salt flotation method were used. The results showed that 52.4% of the pupils were positive for one or more of the following nine parasite species: Entamoeba Coli, E. Histolytica, Iodamoeba Butschlii, Chilomastix Mesnili, Giardia Lamblia, Trichomonas Hominis, Hymenolepis Nana, Ascaris Lumbricoides and Enterobius Vermicularis. The percentage incidence of the overall infection varied from 26.9% in Al-Shaheed Kamil Primary School to 65.5% in Al-Balagh Primary School. Significant difference were noticed in the percentage incidence of infection with most intestinal parasites among pupils of the seven schools. There were no significant difference in the percentage incidence of infection for male and female pupils. High incidence was concentrated in six years old group (67.1%) and the lowest was in age group of 11 years old and more (37.5%). High incidence was reported in pupils whose family size was consisted of 13 and more members (66.5%) and the lowest incidence was in pupils with families of 3-4 members (20%). High infection was recorded in pupils of illiterate fathers (99.6%) while the lowest was in pupils of graduated fathers (90.1%). Highest percentage of infection (31.8%) was noticed in pupils who had animals in their houses (cats, dogs, cattle, birds and mice) in comparison with 20.6% for those who have no such animals. The percentage of single infections was 43.5% against 6.8% for double infections and 2.1% for triple infections.

INTRODUCTION

The public health importance of intestinal parasitic infections continues because of their high prevalence, their virtually global distribution and their effects on both the nutrition and the immune status of populations particularly of tropical and subtropical areas¹. The adverse effect of parasitic infections as growth, nutrition and other functions is more evident in children, an age group that harbors the greatest density of infection².

More children than ever before are attending school and for longer periods in their lives. Therefore, schools could do more than any other single institution to improve the well being and health of children and youth³.

Since school-based surveys are cheaper and simpler to undertake than community-wide survey and due to the existence of vast amount of data on infection levels in school-aged children, the prevalence of infections in this group could provide a cost-effective method to estimate the prevalence of infection within the community⁽⁴⁾.

MATERIAL AND METHOD

Fecal samples were collected from pupils (6-13 years old) of seven primary schools in Al-Khalis town center, Diyala province. Fresh stool samples were collected in clean, dry covered plastic cups labeled with some information such as name, sex, age and family size. Samples were examined by direct smear method in Saline and Lugol's Iodine and saturated salt flotation method⁽⁵⁾. Statistical analysis was applied to detect any significant differences in the parasitic infection⁽⁶⁾.

RESULTS AND DISCUSSION

A total of 4017 fecal samples from pupils of seven primary schools were examined. The overall percentage of prevalence with the intestinal parasites was 52.4%. No significant differences were noted in the overall infection of male and female pupils in all studied schools (Table 1) as both sexes have the same opportunity of exposure to the infective stages through contaminated food and water or through personal contact⁽⁷⁾. Similar results were reported from some different regions in Iraq^(8,9,10,11).

Among the present pupils of Al-Khalis town center, the overall infection with the intestinal parasites varied between 26.9% in Al-Shahed Kamil primary school to 65.5% in Al-Balagha Primary School (Table 1). This difference is related to differences in the economic situation, socio-cultural and hygienic levels of pupils of studied schools. Al-Shahed Kamil School was under the development plans of both UNICEF and Ministry of Education, while Al-Balagha School suffers from poor situation.

Nine species of intestinal parasites were recorded in the present study (Table 2). Among the protozoans, the incidence varied from 3.9% for *T. hominis* to 10% for *E. histolytica*. Among Helminths, the incidence ranged from 3.2% for *A. lumbricoides* to 9.4% for *E. vermicularis*.

Significant differences were noted in most parasitic infections in relation with different studied schools (Table 2). The overall incidence of infection recorded in the present study (52.4%) is higher than that reported

by some previous studies in Iraq (12, 13, 14). This increase in infection is mainly due to the economic blockade imposed on Iraq, which affected the general health condition of Iraqi citizens in different aspects.

Table (3) shows that higher incidences of infection with most parasites were in small-aged pupils and lowest incidences were among older pupils. Such results are quite similar to those reported by some other previous Iraqi researchers (10,11). This is because that younger age is not so aware of their personal cleanliness in comparison with older ages. On the other hand, this may be due to the lack of immunity in younger ages and to the easy mode of transmission of most parasite species (15).

Significant differences were noted in the relation between the overall incidence of infection and pupils family size. High incidence (66.5%) was noted in pupils whose families consisted of 11 and more individuals in comparison with 20% in pupils belonging to families with 3-4 members. Family's crowds facilitate the distribution of infective stages of parasite (16).

The overall incidence of infection showed a significant decrease with increasing educational level of the pupils father (99.6% for illiterates in comparison with 0.1% for those with higher education level). The more rank in educational level of pupil's father helps in more knowledge of the role of hygiene, sanitation and parasite prevention (3).

Highest incidence of infection (31.8%) were noticed in pupils who had animals (cats, dogs, cattle, birds and mice) in their houses in comparison with 20.6% for those who had no such animals. These animals may act as reservoirs hosts and facilitate the spread of some parasites (7, 15, 16).

The incidence of single infections with the parasites of the present study was 43.5% in comparison with 6.8% for double infections and 2.1% for triple infections. The most common double infection was that associated between E. Coli and G. Lamblia (13.9% of the double infections), while the most frequent triple infection was among E. Coli, I. Butschlii and E. Vermicularis (29.1% of the triple infection).

*Intestinal Parasites Among Pupils of Some Primary Schools in Al-Khalis Town Center,
Diyala Province*

Table (2): Incidence of infection of pupil of seven primary schools in Al-Khalis with nine Intestinal Parasites.

School Name	Entamoeba Coli	Entamoeba Histolytica	Iodamoeba Butschlii	Chilomastix Mesnili	Giardia Lamblia	Trichomonas Hominis	Hymenolepis Nana	Ascaris Humbriooides	Enterobius Vermicularis
Al-Shaheed Kamil	6.4	5.3	2.7	1.4	3.9	0.9	4.6	0.7	6.6
28 Nisan	8.9	13.0	10.4	5.5	10.6	4.4	7.1	3.2	10.4
Al-Shumoo	12.0	12.9	5.9	3.8	11.2	3.2	9.7	3.6	9.8
Al-Balagha	11.7	14.7	8.9	4.5	12.7	3.0	6.7	4.5	12.4
Al-Khalis	7.3	5.9	6.7	5.2	7.3	5.0	7.3	4.3	6.7
Khawla Bint Al-Azwar	7.3	5.0	6.1	4.0	7.3	3.5	7.1	1.9	9.7
Al-Samaw' al	8.5	8.8	6.4	5.3	10.1	6.7	5.3	2.4	9.3
mean	9.1	10.0	7.3	4.4	9.3	3.9	7.0	3.2	9.4
Calculated χ^2	22.970*	66.140*	30.920*	15.930	38.720*	23.105*	11.591	33.600*	39.730*
Tabulated χ^2	16.811	16.811	16.811	16.811	16.811	16.811	16.811	16.811	16.811

* Significant Difference at 0.01

(1): The overall incidence of infection of pupils of seven primary schools in Al-Khalis with intestinal Parasites.

School Name	Male Pupils			Female Pupils			All Pupils		
	No. Examined	No. Infected	Incidence (%)	No. Examined	No. Infected	Incidence (%)	No. Examined	No. Infected	Incidence (%)
Al-Shahed Kamil	438	118	26.9	-	-	-	438	118	26.9
28 Nisan	498	290	58.2	417	242	58.0	915	532	58.1
Al-Shumoo	-	-	-	528	291	55.1	528	291	55.1
Al-Balagha	334	201	60.2	327	232	70.9	661	433	65.5
Al-Khalis	341	181	53.1	335	156	46.6	676	337	49.8
Khawla Bint Al-Azwar	-	-	-	424	187	44.1	424	187	44.1
Al-Samaw'al	375	207	55.2	-	-	-	375	207	55.2
Total (Mean)	1986	997	(50.2)	2031	1108	(54.5)	4017	2105	(52.4)

Table (3): Incidence of Infection of Pupils of Seven Primary Schools in Al-Khalis with nine Intestinal Parasites According to their Age.

Age (years)	Entamoeba Coli	Entamoeba Histolytica	Iodamoeba Butschlii	Chilomastix Mesnili	Giardia Lamblia	Trichomonas Hominis	Hymenolepis Nana	Ascaris Lumbricoide s	Enterobius Vermicularis	Overall
6	10.2	12.6	8.2	4.1	12.5	4.3	7.9	3.7	11.6	67.1
7	8.1	11.2	6.2	5.3	10.5	3.6	6.9	3.3	10.0	60.9
8	9.7	8.9	7.2	4.3	8.9	4.3	8.1	3.1	10.2	54.7
9	9.3	9.5	8.1	4.9	8.7	3.9	7.1	3.1	9.8	47.7
10	8.4	8.7	6.5	3.9	8.5	3.4	5.4	3.1	7.5	41.1
11 and more	9.1	8.2	7.6	3.4	6.0	3.4	5.5	2.7	6.3	37.5
Mean	9.1	10.0	7.3	4.4	9.3	3.9	7.0	3.2	9.4	52.4
Calculated χ^2	2.859	13.353	3.789	3.550	17.361*	1.612	6.514	1.052	12.664	167.917*
Tabulated χ^2	15.086	15.086	15.086	15.086	15.086	15.086	15.086	15.086	15.086	15.086

* Significant Differences

REFERENCES

1. W.H.O. "Intestinal Protozoan and Helminthic Infection: Report of a W.H.O. Scientific Group" W.H.O. Tech. Rep. Ser. 666: 152, (1981)
2. Neouimine, N.I. "Intestinal Parasite Infections" East Medit., Reg., Epidemiol. Bull., 24: 6-14, (1994).
3. Winblad, U. and Dudly, E. "Primary School Physical Environment and Health" W.H.O. Global School Health Initiative. Geneva. W.H.O./EOS/ 97.15: 84 (1997).
4. Guyatt, H.L., Brooker, S. and Donnelly, C.A. "Can prevalence of infection in school-aged children be used as an index for Assessing Community Prevalence?" Parasitology, 118: 257-268, (1999).
5. Sood, R. "Medical Laboratory Technology (Methods and Interpretations)" 2nd Edn., Jaypee Bros. Med. Publ., New Delhi: 390, (1987).
6. Hill, A.B. "A Short Textbook of Medical Statistics" 10th Edn., English Language Book Society, London: 325, (1977).
7. Schmidt, G.D. and Roberts, L.S. "foundations of Parasitology" 4th Edn., Times Mirror/Mosby Coll. Publ., Saint Louis 75, (1989).
8. Mahmud, S.A. "Prevalence of Intestinal Parasites among Primary School Children in Al-Shu'la City, Baghdad" Tech. Res. J., 7(24): 114-122, (1994).
9. Jaafer, E.H. "Incidence of Intestinal Parasites among Primary School Children and between two regions in Al-Diwaniyah Area" Al-Mustansiriya J. Sci. 9(3): 5-9 (1998).
10. Al-Khafaji, A.H.A. "Prevalence of Intestinal Parasites and Head Lice among pupils of some primary schools in Al-Hashimiya District, Babylon Provence" M.Sc. Thesis. Univ. Babylon: 119, (in Arabic), (1999).
11. Abbas, E.M., Mhaisen, F.T. and Al-Tae, A.A. "Incidence of Intestinal Parasites among Pupils of ten Primary Schools in Baghdad City" Ibn Al-Haitham J. Pure Appl. Sci., 13(2): 11-19, (2001).
12. Jassan, B.A., Al-Dujaily, A.A. and Saleh, M.M. "Prevalence of Intestinal Parasites in School Children of Kirkuk City, Iraq" J. Biol. Sci. Res., 17(2): 119-115, (1986).

13. Al-Dujaili, A.A.I. "Prevalence of Intestinal Parasitic Infection among Primary School Children in Karbala" *Dipl. Comm. Med. Thesis, Univ. Saddam*: 52, (1993).
14. Al-Saadi, A.A., Hameed, M.K. and Zeki, Z. "Parasitic Infections among Primary School Children in Tikrit City" *Sci. J. Tikreet Univ.*, 1(10: 71-74, (1995)
15. Jones. A.W. "Introduction to Parasitology" Addison-Wesley Publ., Massachusetts: 458. (1967).
16. 16. Markell, E.K., John, D.T. and Krotoski, W.A. "Markell and Voge's Medical Parasitology" 8th Edn., W.B. Saunders, Philadelphia: 501. (1999).

On m-separation axioms

Prof.Dr. HADI JABERMUSTAFA and
SAMISHARLMAN SHMOUAIL

Subject classification:54

Key words and phrases: m-separation, m-T₀,m-T₁, m-T₂, m-T₃, m-T₄, m-regular ,m-normal,.

ABSTRACT

In this paper we introduce a new notion of m-separation axiom satisfying some minimal conditions.

INTRODUCTION

In (1996) H.Maki [1] introduced a new concept of minimal structure defined on a set. in (2001) V.Popă and T.Noiri [2] introduced a new notion of m-continuous functions. In this paper we introduce a new notion of m-separation, m-T₀,m-T₁, m-T₂, m-T₃, m-T₄, m-regular ,m-normal, satisfying some minimal conditions.

Preliminaries

Let X be a topological space and A a subset of X. The closure of A and the interior of A are denoted by Cl(A) and Int(A), respectively. A subfamily m_x of the power set $P(X)$ of a nonempty set X is called a *minimal structure* (briefly m-structure) on X if $\phi \in m_x$ and $X \in m_x$. Each member of m_x is said to be m_x -open and the complement of a m_x -open set is said to be m_x -closed. If X is a nonempty set and m_x is minimal structure on X then the pair (X, m_x) is called *m-structure space*. Let X be a nonempty set and m_x an m-structure on X. For a subset A of X, the m_x -closure of A and the m_x -interior of A are defined in [1] as follows:

- (1) $m_x\text{-Cl}(A) = \bigcap\{F: A \subset X - F, F \in m_x\}$,
- (2) $m_x\text{-Int}(A) = \bigcup\{U: U \subset A, U \in m_x\}$,

We will need the following lemma.

Lemma (2.1): (Maki [1]) Let X be a nonempty set and m_x a m -structure on X . For subset A and B of X , the following hold :

1. $m_x\text{-Cl}(X-A) = X - (m_x\text{-Int}(A))$ and $m_x\text{-Int}(X-A) = X - (m_x\text{-Cl}(A))$,
2. If $(X-A) \in m_x$, then $m_x\text{-Cl}(A) = A$ and if $A \in m_x$ then $m_x\text{-Int}(A) = A$.
3. $m_x\text{-Cl}(\phi) = \phi$, $m_x\text{-Cl}(X) = X$, $m_x\text{-Int}(\phi) = \phi$ and $m_x\text{-Int}(X) = X$.
4. If $A \subset B$, then $m_x\text{-Cl}(A) \subset m_x\text{-Cl}(B)$ and $m_x\text{-Int}(A) \subset m_x\text{-Int}(B)$,
5. $A \subset m_x\text{-Cl}(A)$ and $m_x\text{-Int}(A) \subset A$
6. $m_x\text{-Cl}(m_x\text{-Cl}(A)) = m_x\text{-Cl}(A)$ and $m_x\text{-Int}(m_x\text{-Int}(A)) = m_x\text{-Int}(A)$

Definition.(2-2): (Popa and Noiri [2]) Let $f: X \rightarrow Y$ be a function, where X is a nonempty set with a minimal structure m_x and Y is a topological space. The function $f: X \rightarrow Y$ is said to be m -continuous if for each $x \in X$ and each open set V of Y containing $f(x)$, there exists a subset $U \in m_x$ containing x such that $f(U) \subset V$.

Definition (2-3): [7] Let $m\text{-P}$ be a property of minimal structure space then $f: X \rightarrow Y$, where X is a nonempty set with a minimal structure and Y is a topological space, have minimal structure property iff X has $m\text{-P}$ and Y has P .

Definition (2-4): [7] An m_x -open cover of a subset A of minimal structure space X is a collection $G = \{G_\lambda: \lambda \in \gamma\}$ of m_x -open subsets of X such that $A \subset \bigcup_{\lambda \in \gamma} G$.

In particular G is said to be an m_x -open cover of the space iff $X = \bigcup_{\lambda \in \gamma} G$.

An m_x -open cover of A is said to be finite if it consists of finite members of m_x -open sets.

Definition (2-5): [7] A subset A of minimal structure space X is said to be m -compact iff every m_x -open cover of A has finite subcovering .

The minimal structure space X is called m -compact iff for every m_x -open cover $\{G_\lambda : \lambda \in \gamma\}$ of X , \exists finitely many sets $G_{\lambda,1}, \dots, G_{\lambda,n}$ such that $X = \cup_{i=1}^n G_i$.

3 m - T_0 space

Definition (3-1): A minimal structure space (X, m_x) is a m - T_0 space iff whenever x and y are distinct points in X , there is an m_x -open set containing one and not the other.

Remark(3-2): Subspaces and products of m - T_0 space are m - T_0 space.

4 m - T_1 space

Definition (4-1): A minimal structure space (X, m_x) is called m - T_1 -space iff $\forall x \neq y \in X, \exists$ two m_x -open sets G_1 and G_2 in $X \ni x \in G_1, y \notin G_1$ and $x \notin G_2, y \in G_2$

Remark(4-2): Every m - T_1 -space is m - T_0 space.

Theorem(4-3): a minimal structure space X is m - T_1 -space iff $\forall x \in X \{x\}$ is m_x -closed in X .

Proof: \Rightarrow Let X be m - T_1 -space and let $x \in X$ to prove that $X - \{x\}$ is m_x -open in X , let $y \in X - \{x\} \Rightarrow x \neq y \in X$ and Since X is m - T_1 -space $\Rightarrow \exists m_x$ -open sets, G_1 and $G_2 \ni x \notin G_1$ and $y \in G_1 \subset X - \{x\}$. Hence $y \in G_1 \subset X - \{x\}$, then $X - \{x\}$ is m_x -open set thus $\{x\}$ is m_x -closed set

Conversely, let $x \neq y \in X$, then $X - \{x\}$ is m_x -open set $x \notin X - \{x\}$ and $y \in X - \{x\}$

Similarly, m_y -open set $X - \{y\}$. thus X is T_1 -space.

Definition(4-4): A function $f : X \rightarrow Y$, where X is a nonempty set with a minimal structure and Y is a topological space is called an m_x - open (m_x -closed) function if the image of every m_x -open(m_x -closed) set is open (closed).

Theorem(4-5): Let (X, m_x) be m - T_1 -space and $f : X \rightarrow Y$ be bijective m_x -open function then Y is m - T_1 -space.

Theorem (4-6): Every subspace of m - T_1 -space is m - T_1 -space.

Corollary(4-7): m - T_1 -space is minimal structure property .

Theorem(4-8): Let (X, m_x) be minimal structure space , then the following statements are equivalent .

- 1) X is m - T_1 -space .
- 2) Every finite subset of X is m_x -closed .
- 3) The intersection of all m_x -open sets of an arbitrary point of X is singleton.

Proof : To prove $1 \Leftrightarrow 3$

Let N be the intersection of m_x -open sets containing $x \in X$, m_x -open set containing x and let $y \in X$ and different of x , Since X is m - T_1 -space m_x -open set containing x but not y and y can not belong to N since y is arbitrary point in X ,then $N = \{x\}$

$3 \Rightarrow 1$ trivially ,

5 m - T_2 -space(m -Hausdorff)

Definition(5-1): A minimal structure space (X, m_x) is called m -Hausdorff ,iff $\forall x_1 \neq x_2 \in X \exists$ two m_x -open sets, G_1 and G_2 in $X \ni x_1 \in G_1, x_2 \in G_2$ and $G_1 \cap G_2 = \emptyset$.

Remark(5-2): Let m_x and m_x^* be two minimal structure space on a set $X \ni m_x$ is finer than m_x^* if (X, m_x) is m - T_2 – space .Then (X, m_x^*) is m - T_2 – space .

Theorem(5-3): Every singleton subset of $m\text{-}T_2$ - space is m_x -closed

Thoerem(5-4): Every subspace of m -Housdorff space is m -Housdorff .

Theorem(5-5): Let X be m -Hausdorff and $f : X \rightarrow Y$, be bijective m_x -open function , where X is a nonempty set with a minimal structure and Y is a topological space then Y is Housdorff.

Corollary(5-6): m -Housdorff is minimal structure property.

Theorem(5-7): Let $f : X \rightarrow Y$, where X is a nonempty set with a minimal structure and Y is a topological space, be on to one m - continuous function if Y is Housdorff then X is m -Housdorff.

Proof Let $x_1 \neq x_2 \in X$. since f is (1-1),then $f(x_1) \neq f(x_2) \in Y$
 Since Y is Housdorff $\Rightarrow \exists$ two open sets G_1, G_2 in Y $\ni f(x_1) \in G_1$, $f(x_2) \in G_2$ and $G_1 \cap G_2 = \emptyset$. Since f is m -continuos then
 $f^{-1}(G_1), f^{-1}(G_2)$ are m_x - open set in X [2], and $f^{-1}(G_1) \cap f^{-1}(G_2) = \emptyset$
 And $x_1 \in f^{-1}(G_1), x_2 \in f^{-1}(G_2)$.Thus X is m -Housdorff .

Theorem(5-8): Every m -compact K of m -Hausdorff space X is m_x -closed .

Proof : Every each $a \in k$ and $p \in X - k$
 Since X is m -Hausdorff space $\Rightarrow \exists$ two m_x -open sets U_a and V_a of X $\ni a \in U_a$ and $p \in V_a$ and $U_a \cap V_a = \emptyset$,then $F = \{ U_a : a \in k \}$ is m_x -open cover of k in X .since k is m -compact . then \forall finite subcover
 $U_{ai} : i = 1, \dots, n \} \ni k \subset \cup_{i=1}^n U_{ai} = U$
 let $V = \cap_{i=1}^n V_{ai}$ and $U \cap V = \emptyset$, $\forall p \in X - k$,then $p \in V \subset X - U \subset X - k$
 So $X - k$ is m_x -open in X .thus k is m_x - closed in X .

Theorem(5-9): Let A be m -compact subset of m -Housdorff space (X, m_x) , $p \notin A$, then \exists two m_x -open sets M and $N \ni p \in M$ and $A \subset N$

Theorem (5-10): Let A and B be are disjoint m -compact subsets of $m\text{-}T_2$ - space in X .where X is a minimal structure space. then \exists two m_x -open sets G and H in $X \ni A \subset G$ and $B \subset H$ and $H \cap G = \emptyset$

Proof : Let $a \in A \Rightarrow a \notin B$, since B is m -compact ,and X is m - T_2 -space then \exists two m_x -open sets G and H in $X \ni A \in G$ and $B \subset H$, $G \cap H = \emptyset$
 Let $G \in B \Rightarrow b \notin A \Rightarrow \exists$ two m_x -open , N , M in $X \ni b \in N$ and $A \subset M$
 $N \cap M = \emptyset$, so $H \cap M = \emptyset$

Remarks(5-11):

- 1) The Cartesian product $\prod\{ X_\alpha \mid \alpha \in n \}$ is m - T_2 – space iff X is m - T_2 – space $\forall \alpha \in n$
- 2) Let $f . g : X \times Y$ be m -continuous , where X is a nonempty set with a minimal structure and Y is a topological space ,and let Y be Hausdorff then $\{ x \mid f(x) = g(x) \}$ is m_x -closed in X
- 3) If m_x - $Cl(D) = X$ and $f / D = g / D$ then , $f = g$ on X
- 4) If E is retract of m -Hausdorff space X , where X is a minimal structure space then E is m_x - closed

6 m - T_3 – space

Definition(6-1):A minimal structure space (X, m_x) is called *m-regular space* iff $\forall m_x$ -closed set F and $p \notin F, \exists$ two m_x -open sets G and $H \ni F \subset G$ and $p \in H$ and $G \cap H = \emptyset$.

Remark(6-2):

- 1)A m -regular space need not be a m - T_1 – space.
- 2) A m -regular space X which also satisfies the m - T_1 space is called *m-T₃-space*.

Theorem(6-3):A minimal structure space X is m -regular iff $\forall x \in X$,and $\forall m_x$ -open set N containing x in X , $\exists m_x$ -open set M containing x in $X \ni m_x$ - $Cl(M) \subset N$.

Proof: \Rightarrow let N be m_x -open set containing x then $X - N$ is m_x -closed and let $x \in X - N$.Since X is m -regular then two m_x -open sets L and $M \ni X - N \subset L$ and $x \in M$ and $L \cap M = \emptyset \Rightarrow M \subset X - L$
 $\Rightarrow \overline{m_x-Cl(M)} \subset X - L = X - L$ also $X - N \subset L$
 $\Rightarrow X - L \subset N \Rightarrow m_x-Cl(M) \subset N$

\Leftarrow conversely , let F be any m_x -closed set in X , and $x \notin F$ then $x \in F^c$ since F^c is m_x -open set containing x .

$\Rightarrow \exists m_x$ -open set $M \ni x \in M$ and $m_x\text{-Cl}(M) \subset X - F$

$\Rightarrow F \subset X - m_x\text{-Cl}(M)$ is m_x -open set containing F

Also $M \cap X - M = \emptyset \Rightarrow M \cap X - m_x\text{-Cl}(M) = \emptyset$

Hence the space X is m -regular .

Theorem (6-4): Every m - T_3 -space is m - T_2 -space.

Proof : Let X be m - T_3 -space and let $x \neq y \in X$, by definition , m - T_3 -space X is also m - T_1 - space, and so $\{x\}$ is m_x -closed set

Also $y \notin \{x\}$, since X is m -regular,then \exists two m_x -open sets G and H $\{x\} \subset G$ ($x \in G$) and $y \in H$, $G \cap H = \emptyset$. Thus X is m - T_2 – space

Theorem (6-5): The m -regular property is hereditary property .

Proof:Let (Y, m_y) be subspace of m -regular space (X, m_x) ,let $q \in Y$ and F is m_x -closed $\ni q \notin F$.Then $m_y\text{-Cl}_y(F) = F = m_x\text{-Cl}_x(F) \cap Y$ then $q \notin Cl_x(F) \cap Y \Rightarrow q \notin Cl_x(F)$ since $Cl_x(F)$ is m_x -closed in X and X is m -regular , $\Rightarrow \exists$ two disjoint m_x -open sets $G, H \ni q \in G$ and $Cl_x(F) \subset H$, $q \in G \cap Y$ and $F = Cl_x(F) \cap Y \subset H \cap Y$,but $G \cap Y, H \cap Y$ are T_y -open and $(G \cap Y) \cap (H \cap Y) = \emptyset$,thus Y is m -regular space .

Corollary(6-6): m - T_3 -space is hereditary property.

Theorem(6-7): Every m -compact m -Hausdorff space is T_3 – space.

Remarks (6-8):

1) Π is m -regular iff y_a is m -regular

2) Let X be m -regular and $p: X \rightarrow X/R$ be a m_x -closed function and m_x -open function .then X / R is m -Hausdorff. where R any equivalent relation on X .

3) The closure of m -compact subset of m -regular space is m -compact.

7 m - T_4 – space

Definition(7-1):A minimal structure space (X, m_x) is called *m-normal*

Space iff \forall two disjoint m_x -closed sets ,L , M in X \exists two disjoint m_x -open sets G, H in X $\ni L \subset G$ and $M \subset H$.

Remark(7-2):

- 1) A m- normal space need not be a $m-T_4$ – space.
- 2) A m- normal space X which also satisfies the $m-T_1$ space is called $m-T_4$ -space.

Theorem(7-3): Every $m-T_4$ -space is $m-T_3$ -space.

Corollary(7-4): $m-T_4$ -space is minimal structure hereditary property .

Theorem(7-5): Every m-compact m-Hausdorff space is m-normal ($m-T_4$ – space)

Remarks(7-6):

- 1) Every compact T_3 -space is T_4 -space
- 2) $\prod_\alpha Y_\alpha$ is m-normal iff y_α is m-normal \forall_α

REFERENCES

- [1] H.Maki. On generalizing semi-open and preopen sets. Report for meeting on Topological Spaces Theory and its Applications .August, Yatsushiro College of Technology ,pp. 13-18. (1996)
- [2] V.Pop and T.Noiri. On the definitions of some generalized forms of continuity under minimal conditions ,Mem.Fac.Sci.Kochi Univ.(Math.) 229-18. (2001).
- [3] D.W.Hall, Guilford L.Spencer II . Elementary Topology (1955).
- [4] J.R. Munkers, Topology a first course.
- [5] S. Lipschutz, General Topology, Professor of Math. Temple University. Schaum's outline series. (1965)
- [6] I.S.Willard. General topology ,Addison Wesley Publishing Co.(1970),
- [7] H.Jaber and S Sharlman, on m-compact sets, to appear.

Radon & Thoron Concentration Measurement in Building Materials (Marble & Hillan Stone)

H.H. JAWAD , M.A.IBRAHIM , D.F. TALIB
Department of Physics, University of Al-Munstansiriya
Baghdad - Iraq

ABSTRACT

The determination of Radon & Thoron concentrations in samples of building material (local & imported) has been studied. The imported marble samples (Italian & Turkish) showed high concentration of Rn - 222 and Rn - 220 than that of the Iraqi and Iranian samples, which showed comparable values. The ratio of Rn - 222 and Rn - 220 was 1.8. Hillan stone from Salah Al-Deen showed lower concentration than that in Hillan stone from Heet in Iraq.

INTRODUCTION

Radon and other α - particle emitter emitted from building materials is an important source of internal contamination. The importance of these sources is due to it's high effect as a cancer-genetic material, increased, the frequency of Lung Cancer due to Radon inhalation ⁽¹⁾.

The radon concentration in dwelling differs due to the material's nature and the ventilation system used.

The earth's crust is the main source of Radon. Thoron and other α - Particle emitter ^(2,3,4). Moreover, Radon concentration measurement is important due to the fact that it is equal to about (68.8%) of the background and it's relatively long half-life (3.8 days) with respect to Thoron (56.5 sec)^(5,6).

The aim of the present work is to measure Radon concentration in certain building materials which are Italian, Turkish, Iranian & Iraqi (Marble & Hillan stone from Salah Al-Deen & Heet regions) using solid-state nuclear track detector's (SSNTD'S) CR - 39 & CN - 85.

EXPERIMENTAL PROCEDURE

A-Sample preparations

Marble & Hillan stone were grinded to obtain semi-homogeneous powder. A volume of 150 ml was used from each sample and 1 x 1 of CR - 39 and CN - 85 detectors were in a closed container. CR - 39 & CN - 85 detectors were covered with Whatman filters, the other detector was uncovered. The detector's exposure time was 40 days.

B- Detector Treatment

The exposed (SSNTD'S) were washed with distilled water, dried and chemically etched with NaOH of (6.25 N) at an etching temperature of 60°C for 6 hours.

C-Microscopic counting

An optical microscope (Olynpus type) was used to determine the track density (track/mm²) using 400X. The counting process was achieved after each 1 hour, up to 6 hours of chemical etching.

RESULTS & CONCLUSIONS

A - For Different Marble Samples

Figures (1 & 2) show the track density versus the etching time for CR - 39 CN - 85 with & without the Whatman filter.

B- For Different Hillan Stone Samples:

Figures (3 & 4) show the track density versus the etching time for CR - 39 and CN - 85 with & without the Whatman filter.

From these figures, the tracks registered on the detectors without filters were higher than that counted on the filtered detectors due to Radon and Thoron. While the track density recorded on the filtered detectors was due to Radon only.

the track density was converted to activity concentration using calibration curve. Table (1) shows the concentration values for all samples and different detectors.

Finally we can conclude the following:

1.- Radon and Thoron concentrations in Italian and Turkish Marble were higher than that in Iranian & Iraqi Marble

2. The concentration of Radon and Thoron in Hillan stone from Heet were higher than that in Hillan stone from Salah Al-Deen.
3. α - particle emitter concentration in all marble samples are higher than hillan stone samples.
4. We observed that the sensitivity of CR - 39 is higher than CN - 85 due to it's chemical structure.

Table 1: Concentration Values for all samples & Different Detectors

Sample	Concentration Bq / m ³			
	CR - 39		CN - 85	
	with Filter	Without Filter	With Filter	Without Filter
Italian Marble	228.00±3.69	407.77±15.50	205.06±4.86	336.36±18.40
Turkish Marble	109.34±3.36	186.13±4.38	101.77±3.96	161.43±3.45
Iranian Marble	38.92±0.44	91.30±1.79	35.56±0.58	71.23±1.27
Iraqian Marble				
-Ranya	48.87±1.12	100.06±1.20	45.19±1.43	90.09±1.30
-Naynawa	56.37±0.97	91.86±1.76	54.54±0.79	79.95±2.01
Hillan Stone				
-Heet	51.75±0.74	82.03±1.41	49.44±1.23	74.17±1.52
-Salah Al-Deen	48.26±0.63	80.51±1.18	46.53±1.11	79.64±2.23

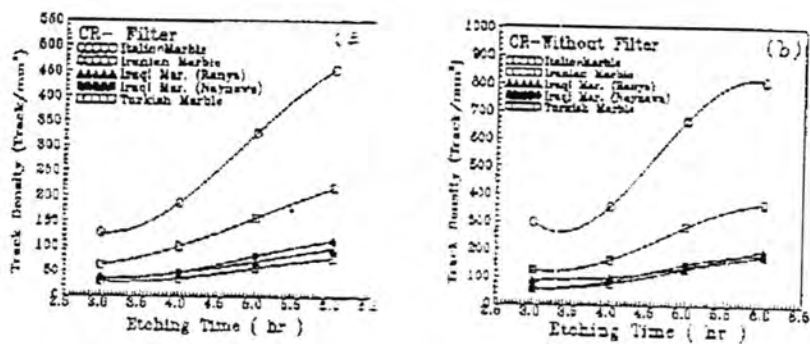


Figure 1. Track density as a function of etching time for CR - 39
 (60 °C, 6.25 N H₂SO₄ [Marble samples])

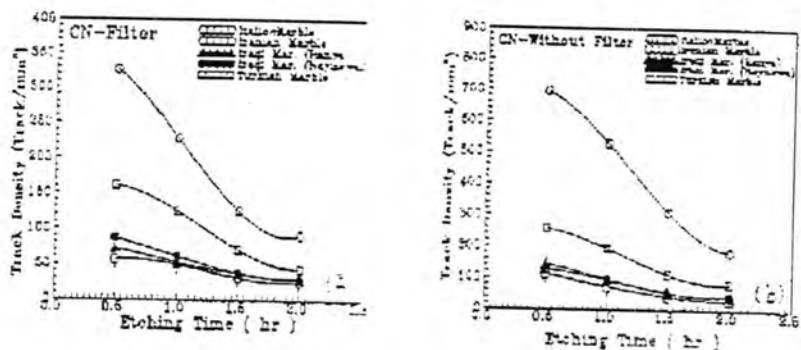


Figure 2. Track density as a function of etching time for CN - 85
 (60 °C, 6.25 N H₂SO₄ [Marble samples])

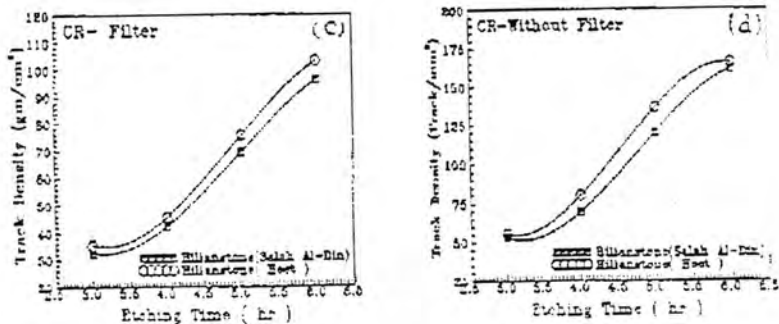


Figure 3. Track density as a function of etching time for CR - 39
(60 °C, 6.25 N) [Hillan Stone samples]

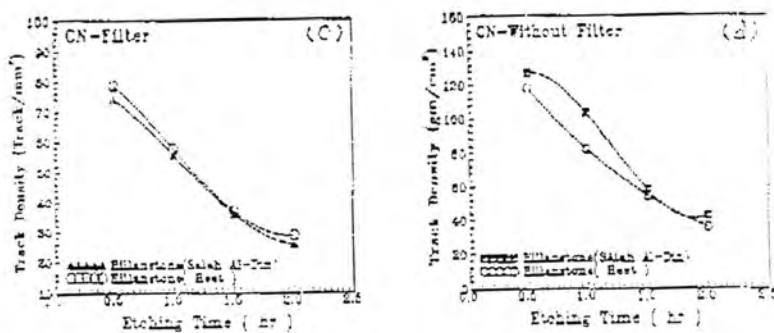


Figure 4. Track density as a function of etching time for CN - 85
(60 °C, 6.25 N) [Hillan Stone samples]

REFERENCES

1. Tufail M., Khan M.A., Ahmed N., Khan H.A., Zafaril M.S., Radial Prot. Basi., (40, 1, 39 - 44) (1992).
2. Durrani S.A. Nucl. Tracks, Radiat. Meas. 22, 1 - 4, 303 - 317) 1993.
3. Jamil K., Rehman F., Ali S., Khan H.A., Nucl. Indust. & Math. A388 (267 - 272) (1997).
4. Ionizing Radiation Sources & Biological Effects - UNSCEAR report. (1982).
5. Jamil K., Al-Ahmed K.K., Ur - Rehman F., Ali S., Qureshi A.A., Hith. Phys., (73, 4, 629 -632) (1997).
6. Sial M.A., Jamil K. Sheilch S.A., Khan H.A., Nucl. Tracks Radial Meas. (12, 1 - 6,, 705 - 706) (1986).

**SYNTHESIS OF ORGANO Se, Te AND Hg COMPOUNDS
CONTAINING: OXADIAZOLE, TRIAZOLE AND
2-BENZOTHIAZOLE RINGS WITH SOME OF THEIR
COMPLEXES**

WALEED KHALID MEHDI., , FALEH HASSAN MUSA

Chemistry Dept., College of Education, Ibn Al-Haitham..

University of Baghdad – P. O. Box 70049

BAGHDAD – IRAQ

ABSTRACT

The synthesis of three new ligands was carried out. The first ligand 1, 2 - Bis [4-phenyl (3-thio ethyl) selenol - 1, 2, 4 - triazole - 5yl] ethane (L_1) was synthesized by the reaction of 1, 2 - Bis [4-phenyl - 3 - {thio - 2 - chloroethyl} 1, 2, 4 - triazole - 5yl] ethane monodimethyl sulphoxide (M_1) with potassium selenium cyanate. The second and third ligand was - 5-phenyl - 1, 3, 4 - oxadiazole -2 - thio mercury) benzoic acid (L_2) and 4 [Tris 3, 4 - diphenyl - 1, 2, 4 - triazole -5 - thio mercury] benzoic acid (L_3) were synthesized by the reaction of 2 - phenyl - 1, 3, 4 - oxadiazole -5 - thiol (M_2) and 3, 4 - diphenyl - 1, 2, 4 - triazole -5 - thiol (M_3) with 4-chloromercurybenzoic acid. The syntheses of the ligand tetrakis (2-benzothiazoly) tellurium (L_4) by new modified method from the reaction of benzothiazole -2- thiol (M_4) with tellurium which was dissolved in concentrated HCl. The reaction with metal chloride (M^{+2} = Cu, Pd, Pt) gave a number of new complexes with the formula $C_{28}H_{16}N_4S_8Te$. $CuCl_2$. $(C_{28}H_{16}N_4S_8Te)_2CuCl_2$ and $(C_{28}H_{16}N_4S_8Te)_2PtCl_2$. These ligands and their complexes were characterized by appropriate physical measurements (I.H.N analysis, (IR), (Ft-IR), (U.V-vis) and molar conductivity. As a result the suggested structure of the complexes was copper is tetrahedral, Pd and Pt are square planar.

INTRODUCTION

The chemistry of Organo selenium, tellurium and mercury compounds has received considerable attention due to their potential applications in wide range areas such as organic, inorganic, coordination chemistry and analytical applications⁽¹⁻³⁾. In addition these ligands can be used as starting ligands for the preparation of some complexes^(4,5).

This paper reports the synthesis and characterization of new Organo (Se, Te and Hg) ligands containing Oxadiazole, Triazole and 2-Benzothiazole rings, furthermore, the complexing properties of the ligand tetra kis (2-Benzothiazolyl) (**L**₄) with various metal ions was investigated.

EXPERIMENTAL

- a- **Chemicals:** All reagents used were Analar or chemically pure grade.
- b- **Instruments:**
 - Melting points were determined by Gallen Kamp apparatus.
 - Microanalysis for carbon, hydrogen and nitrogen were carried out by international petroleum Iraq / Baghdad and saddam University Carlo Erba instrument.
 - IR spectra were recorded as KBr disks in the range (4000-400cm⁻¹) using perkin-Elemer 310 spectrophotometer.
 - (Ft-IR) spectra were recorded as CsI disks in the rang (4000-200cm⁻¹) and far-IR at the range (500-200cm⁻¹). Using perkin -Elemer (1720x) spectrophotometer.
 - U.V-visible spectra were recorded on pye-Unicam-8700 spectrophotometer at 25 C° using 1cm quartz cell, and examined at the rang of (200-800)nm.
 - Molar conductance of the complexes were measured at the range (10⁻³-0.25x10⁻³M) in DMSO.

PREPARATION

Synthesis of ligands L₁, L₂, L₃, and L₄

Reactions of organo tellurium and organo selenium were carried out in dry oxygen-free nitrogen atmosphere.

Solvents were dried and distilled before use.

- Preparation of: $\overline{1},\overline{2}$ -Bis [4-pheny] (3-thioethylselenol - 1,2,4-triazole-5yL) ethane (L_1)

0.14gm (0.5 mmole) of potassium selenium cyanate (KSeCN) which was dissolved in small amount of DMSO and added to 0.25gm (0.49 mmole) of the prepared compound 1,2-Bis [4-phenyl-3 {thio-2-chlorethyl} 1,2,4-triazole-5yl] ethane monodimethylsulphoxide⁽⁶⁾ in the first step. The mixture was refluxed for 2h to form yellow solution. This was added to solution containing ice water to form white crystals which were washed in hot distilled water.

The physical data of (L_1) are given in (table-1-).

- Preparation of: 4(5-phenyl-1,3,4-Oxadiazole-2-thiomercury) benzoic acid (L_2)

1.8 gm (5.03m mole) of 4-chloromercury benzoic acid which was dissolved in a mixture of (4:6) ethanol: water and excess of sodium hydroxide was added to 2-phenyl - 1,3,4-oxadiazole-s-thiol⁽⁷⁾. This was dissolved in mixture of (6:4) ethanol: water.

The mixture was stirred for 2 hr and poured in ice water which was acidified with HCLconc. The product was filtered and washed in distilled water and then dried. Then it was crystallized by mixture of benzene methanol (20:80).

(Table -1-).

- Preparation of: 4[tris (3,4-diphenyl-1,2,4-triazole-5-thio) mercury] benzoic acid (L_3)

0.04 gm (1mmole) of sodium hydroxide dissolved in mixture of ethanol: water (20:15) was added to another solution containing 0.25 gm (0.98m mole) of compound 3,4-diphenyl-1,2,4-triazole-5-thiol⁽⁸⁾. This was added to another solution containing a mixture of 0.53 gm (1.48 m mole) 4-chloromercury benzoic acid and 0.04 gm (1 m mole) of sodium hydroxide. The mixture was refluxed for 6 hr and stirred over night. The product was poured in ice water which was acidified with HCLconc and dried, then it was crystallized by mixture of ethanol: water (80:20) and dried, to form white precipitate (Table-1-).

- Preparation of: Tetrakis(2-benzathizolyL)tellurium (L_4)
0.06 gm (0.47 m mole) of tellurium was dissolved in small

**SYNTHESIS OF ORGANO Se, Te AND Hg COMPOUNDS CONTAINING:
OXADIAZOLE, TRIAZOLE AND 2-BENZOTHIAZOLE RINGS WITH SOME OF
THEIR COMPLEXES**

W. K. MEHDI & F. H. MUSA

amount of HCl conc and added to 0.35 gm (0.52 m mole) of benzothiazole-2-thiol which was dissolved in (20ml) chloroform. The mixture was stirred for 24 hr and filtered to put off the unreacted tellurium. Then the mixture was extracted by diethylether and leaving the chloroform layer to dry. The product was crystallized by chloroform to give yellow crystals. (Table-1-)

Synthesis of L₄ complexes with Cu^{II}, Pd^{II} and Pt^{II}

- **Preparation of: Dichloro-Bis (tetrakis(2-benzothiazoly) tellurium) copper(II).**

An ethanolic solution of CuCl₂ 0.03 gm (0.22 m mole) was added to 0.1 gm (0.12 m mole) of the ligand (L₄). The mixture was stirred 2 hr. the product was filtered and dried. Then it was washed by absolute ethanol to give a yellow precipitate (Table-1-).

- **Preparation of: Dichloro-tetra(tetra-kis (2-benzothiazoly) tellurium) palladium (II).**

An acetonitril solution of PdCl₂ 0.1 gm (0.56 m mole) was added to 0.4 gm (0.5 m mole) of the Ligand (L₄). The product was filtered and dried. Then it was crystallized by chloroform to give an orange-red precipitate. (Table-1-)

- **Preparation of: Dichloro-Bis (tetra-Kis(2-benzothiazaly) tellurinn) platinium(II).**

0.41 gm (0.52 m mole) of PtCl₂ was dissolved in methanol: water (2:1) and added to 0.4 gm (0.41 m mole) of the ligand (L₄).

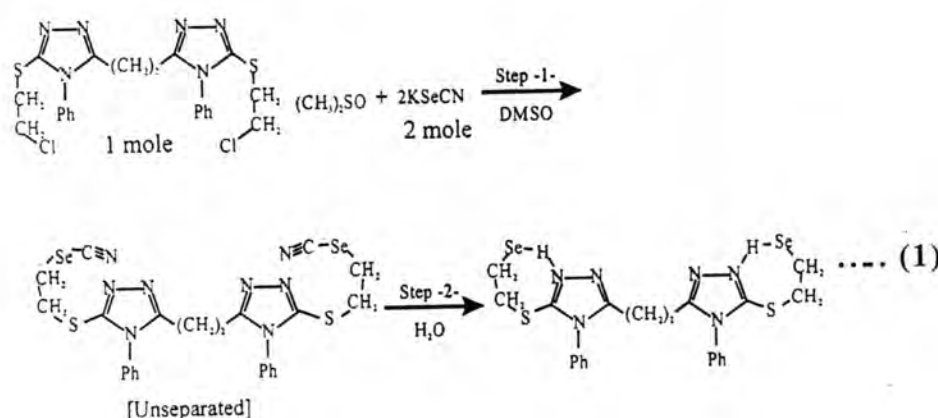
The product was filtered and dried. Then it was crystallized by methanol to give a yellow precipitate. (Table-1-)

RESULTS AND DISCUSSION

- **Synthesis and characterization of the ligand 1,2-Bis [4-phenyl (3-thioethyl) selenol-1, 2,4-triazole-5yl] ethane (L₁):**

The ligand (L₁) was considered one of derivatives compound of 1,2-Bis (4-phenyl-3-thiol-1,2,4-triazole-5yl) ethane. The ligand (L₁) was obtained by a new method through the reaction of 1 mole of 1,2-Bis [4-phenyl 1-3{thio-2-

chloroethyl}-1,2,4- triazole-5yl] ethane monodimethylsulphoxide⁽⁶⁾ with (2 moles) of potassium selenium cayanate (KSeCN), by using dimethyl sulphoxide as a solvent. This was followed by the hydrolysis of the unseparated compound (intermediate) to form the product equation (1) shows the steps of synthesis the ligand (**L₁**) which gave white crystals and was dissolved in the solvents DMSO and DMF



The CHN analysis of ligand (**L₁**) confirm the formula (Table-1-), in addition the IR spectra of (**L₁**) prove the above formula.

The comparsion of Ft-IR spectra of (**L₁**) with 1,2-Bis [4-phenyl-3 {thio-2- chloroethyl} 1,2,4-triazole-5yl] ethane mono dimethylsulphoxide. at the rang of (3200-2000)cm⁻¹ fig (4) showed two absorption bands at (2083,2064) cm⁻¹ which can be assigned to ν_{asym} (C-H) and ν_{asym} (C-H) aromatic. In addition to another two absorption bards (2923, 2853) cm⁻¹ due to ν_{asym} ν (C-H) and ν sym (C-H). aliphatic^(9,10) Ft-IR showed weak absorption band at (2338cm⁻¹) due to the streching vibration of ν (se-H)^(11,12). This can be indicated by the observation of a weak band at 3100 cm⁻¹ due to the streching vibration of ν (N-H)^(11,13) Furthur more, Ft-IR spectra showed two absorption bands at (1590-1560)cm⁻¹ due to streching

*SYNTHESIS OF ORGANO Se, Te AND Hg COMPOUNDS CONTAINING:
OXADIAZOLE, TRIAZOLE AND 2-BENZOTHIAZOLE RINGS WITH SOME OF
THEIR COMPLEXES*

W. K. MEHDI & F. H. MUSA

vibration of $\nu(C=N+C=C)$ respectively⁽¹⁴⁾, and strong band at 1490 cm^{-1} due to stretching vibration of $\nu(S-\text{CH}_2)$ ⁽¹⁵⁾. The band 1085 cm^{-1} became more intensive due to the stretching vibration of $\nu(S=O)$. This prove the occurrence of DMSO molecule in the ligand (L_1)⁽¹⁶⁾. The spectra showed two strong bands, the first one at 585 cm^{-1} due to the stretching vibration of $\nu(C-\text{Se})$ while the second band at 720 cm^{-1} due to mono substituted benzene ring⁽¹⁷⁾ (**Table-2-2**).

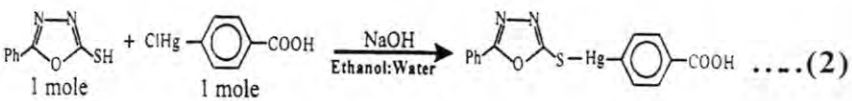
On the other hand the **U.v-visible study** support this formula. This was obtained from the comparison of U.v. visible spectra of (L_1) with, $\overset{=\!=}{1,2}\text{-Bis}[4\text{-phenyl-3}\{\text{thio-2-chloroethyl}\}1,2,4\text{ triazole-5yl}]$ ethane monodimethylsulphoxide in DMSO solutions exhibited one strong absorption band at (262nm). While the selenol ligand showed new absorption band at the wavelength (282nm) and shoulder at the (275.5nm). This may be attributed to the $n \rightarrow \pi^*$, $\pi \rightarrow \pi^*$ transitions, which indicates the forming of selenol ligand^(18, 19) (**Table -1-**).

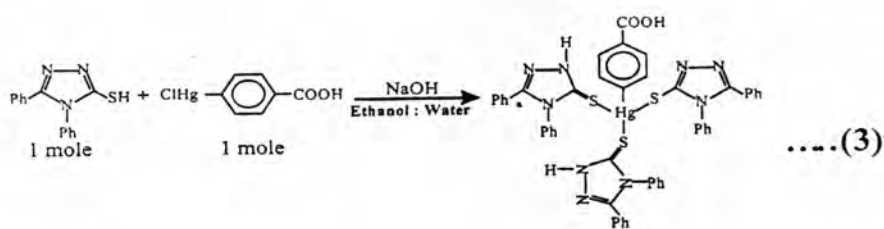
Synthesis and characterization of the ligands:

- 4 (5-phenyl-1,3,4-oxadiazole-2-thiomercury) benzoic acid (L_2)
- 4[tris(3,4-diphenyl 1,2,4-triazole-5-thio)mercury] benzoic acid (L_3).

The ligands (L_2) and (L_3) were considered one of the derivative compounds, 5-phenyl-1,3,4-oxadiazole-2-thiol and 1,3,4-diphenyl-1,2,4-triazole-5-thiol respectively. These were obtained by new method through the reaction of 1 mole of 5-phenyl-1,3,4-oxadiazole-2-thiol and 3,4-diphenyl-1,2,4-triazole-5-thiol respectively with one mole of 4-chloromercury benzoic acid.

Using sodium hydroxide and (ethanol : water) (1: 1) as solvents to form new ligands (L_2 , L_3) according to equation (2) and (3).





The IR spectra of (L_2) and (L_3) indicated the absence of $\nu(S-H)$ stretching vibration at (2500 cm^{-1}) respectively, and the absence of $\nu(S-H)$ in the (L_2)⁽²⁰⁾. While this band was observed in the ligand (L_3)⁽²¹⁾ at (3100 cm^{-1}). In comparison with the starting material compounds of oxadiazole, and triazole. This indicates that the displacement of hydrogen SH by means of the group $Hg-COOH$ to form (S-Hg) bond in the spectra of ligand (L_2) and (L_3). Furthermore, the spectra showed new bands for the ligands (L_2) and (L_3) at the range ($450-455\text{ cm}^{-1}$) due to the stretching vibration of $\nu(S-Hg)$ ⁽⁴⁾. Also IR spectra of (L_2), (L_3) ligands exhibited two absorption bands at the range ($2520-2750\text{ cm}^{-1}$). These were due to $\nu(O-H)$ of carboxylic group and another two bands at the range of ($1420-1685\text{ cm}^{-1}$) which can be assigned to $\nu(\text{asymCO})$ and $\nu(\text{symCO})$ of ligand (L_2), (L_3) respectively⁽²²⁾. The spectra showed another multi bands with shifting to lower frequency about ($5-10\text{ cm}^{-1}$) as in the following strong band at (1015 cm^{-1}) and strong bands at the range of ($685-765\text{ cm}^{-1}$) with splitted bands. This confirmed the forming of (S-H) bond^(21, 4). All these bands were attributed to the stretching vibration of $\nu(C-S)$, and shifting to lower frequency at the range of ($1545-1590\text{ cm}^{-1}$) due to the stretching vibration of $\nu(C=C + C=N)$. Two strong bands at 1440 cm^{-1} and 1240 cm^{-1} (L_2) and one strong band at 1275 cm^{-1} due to the stretching vibration of $\nu(C=N + C-S)$. Two strong bands with shifting to lower frequency about 5 cm^{-1} at range ($965-930\text{ cm}^{-1}$) due to $\nu(N-S-C)$ ⁽²³⁾. On the other hand IR spectra showed two bands the first was strong at 700 cm^{-1} and the second at the range of ($750-755\text{ cm}^{-1}$) respectively due to mono substituted benzene and disubstituted benzene⁽²⁴⁾. (Table -3-).

*SYNTHESIS OF ORGANO Se, Te AND Hg COMPOUNDS CONTAINING:
OXADIAZOLE, TRIAZOLE AND 2-BENZOTHIAZOLE RINGS WITH SOME OF
THEIR COMPLEXES*

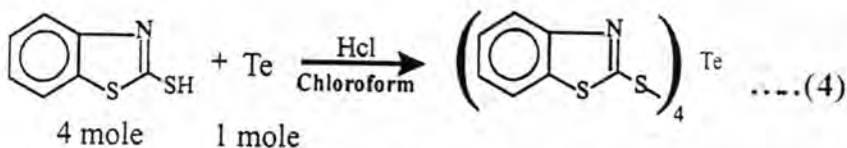
W. K. MEHDI & F. H. MUSA

The CHN analysis of the ligands (L_2) and (L_3) may prove the formula (Table -1-).

(U.V-visible) spectra of the ligands (L_2) and (L_3) in DMSO solutions exhibited strong bands at (293 nm) (316 nm) in (L_2) and two bands with shoulder (243.6 nm) (321.6 nm) with (290 nm) in (L_3) respectively. These bands may be attributed to $n \rightarrow \pi^*$, $\pi \rightarrow \pi^*$ transitions (Table -1-).

Synthesis and characterization of ligand (L_4) and their complexes with Cu^{II} , Pd^{II} and Pt^{II} .

The ligand (L_4) was prepared by a new modified method through the reaction of mole of metal tellurium with 4 moles of benzothiazole -2- thiol. by using chloroform and HCl conc. as solvents according to equation (4):



The IR spectra of (L_4) (Table -4-) indicated the absence of $\nu(S-H)$ and $\nu(N-H)$ stretching vibration at (2550cm^{-1}) and (3120cm^{-1}) respectively. This was observed in the spectrum of the starting material benzothiazole-2-thiol. This indicates that the displacement of hydrogen SH by means of tellurium atom to form (S-Te) bond. Furthermore, the spectra showed multi bands with shifting to higher frequency as follows, the band at (1600, 1596) due to the stretching vibration of $\nu(C=C + C=N)$ and shifting the band at 1495cm^{-1} about 5cm^{-1} due to $\nu(C=C + C-S)$, IR spectra, also showed band at the same location at 1320cm^{-1} due to stretching vibration of $\nu(N-C-S)$. The band at 1010cm^{-1} and 860cm^{-1} with more intensive due to $\nu(C-S)^{(25)}$, IR spectra showed shifting and splitting in the bands to (595, 600) cm^{-1} . IR spectra showed strong band at (301cm^{-1}) due to deformation vibration⁽²⁶⁾, Two other bands, the first one was strong at (244cm^{-1}), the second was weak at (228cm^{-1}) due to sym $\nu(Te-S)$ and a sym $\nu(Te-S)^{(27)}$, (Table -4-).

(U.V-visible) spectra of the ligand (L_4) showed three bands, the first and second bands were weak at (264.66, 240)nm and the third band was strong at (328 nm) indicated the formation

of the ligand (L_4). All these bands were due to the transitions $n \rightarrow \pi^*$, $\pi \rightarrow \pi^*$. (Table -1-).

Characterization of L_4 metal complexes of: Cu^{II} , Pd^{II} and Pt^{II} .

Spectra of L_4 – complexes:

A comparison of Ft-IR spectra of the complexes with free ligand(L_4) (Fig.-5-) can be used as an evidence about the following structure which was assigned for the coordinate function groups. (Table -4-) showed some similar and different bands as follows:

The spectra showed multi bands at the range of (3060-3000) cm^{-1} due to the stretching vibrations ν_{asym} (C-H) and ν_{sym} (C-H) of aromatic band⁽²⁴⁾. All the complexes showed two bands at (1600,1590) cm^{-1} due to $\nu(C=C+C=N)$. This indicate the presence of uncoordinated nitrogen atom in all complexes of Cu^{II} , Pd^{II} and Pt^{II} . The complex of palladium exhibited one splitted band at 1029 cm^{-1} and shifting band to higher frequency at 1088 cm^{-1} , In platinum complex appeared three bands shifting to the higher frequency at (1077,1045,1024) cm^{-1} and copper complex showed another shifting band at highered frequency at (1088,1042,1024) cm^{-1} . The ligand (L_4) showed strong band at 705 due to $\nu(C-S)$ but in complexes this band became shifting to higher frequency at 719 cm^{-1} in spectra of Cu^{II} , Pd^{II} and Pt^{II} complexes.

This indicates of sulphur bonded⁽²⁵⁾ The bands in Cu^{II} , Pd^{II} at (424, 397) cm^{-1} became broad and less intensive with disappearance of the band at 383 cm^{-1} in Pd^{II} complex. All these bands $\nu(C-S)$ due to sulphur coordination with metal ions of Cu^{II} , Pd^{II} and Pt^{II} . Ft-IR showed a strong band at 302 cm^{-1} due to deformation vibration of three atoms (C-Te-S) indicate the coordination of(S-Te) with metal ions. Furthur more, IR spectra of copper complex showed two splitted absorption bands at (235,244 cm^{-1}) and in Pt^{II} complex showed two splitted two absorption bands at (234,244) cm^{-1} But Pd^{II} complex showed strong splitted absorption bands at (244,227) cm^{-1} which indicate the coordinate of (S-Te) with metals ions.

*SYNTHESIS OF ORGANO Se, Te AND Hg COMPOUNDS CONTAINING:
OXADIAZOLE, TRIAZOLE AND 2-BENZOTHIAZOLE RINGS WITH SOME OF
THEIR COMPLEXES*

W. K. MEHDI & F. H. MUSA

Fit-far-IR spectra showed moderate absorption bands at 253 cm^{-1} due to $\nu(\text{Cu-CL})^{(28)}$ while the band at 353 cm^{-1} due to $\nu(\text{Pd-CL})^{(29)}$. In Pt^{II} complex the bands appeared at 305 cm^{-1} due to $\nu(\text{Pt-CL})^{(30)}$.

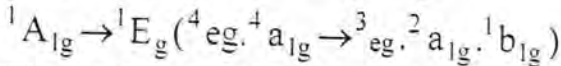
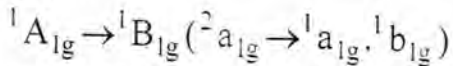
The elemental analysis (CHN) (Table-1-) suggested that the complexes gave the formula $\text{C}_{28}\text{H}_{16}\text{N}_4\text{S}_8\text{Te.CuCL}_2$, $\text{C}_{112}\text{H}_{64}\text{N}_{16}\text{S}_{32}\text{Te}_4\text{PdCL}_2$ and $\text{C}_{56}\text{H}_{32}\text{N}_8\text{S}_{16}\text{Te}_2\text{PtCL}_2$ respectively.

conductivity of the complexes were estimated by their molar conductivities (Table-1-) in dimethylsulphoxide at the range of (10^{-3} - 0.25×10^{-3} molar) which indicate non conductance⁽³¹⁾.

The U.V-Visible spectra data of (L_4) and their complexes are listed

(Table-1-) The metal complexes were copper yellow for palladium orange-red and yellow platinum. The complexes of Copper, palladium and platinum were very stable complexes insoluble in most organic solvents except DMSO and DMF. Accordingly the observed color of copper complex showed four bands with shoulder at (42808, 34025 Sh, 30193, 16212) cm^{-1} .

The fourth band due to the transition ${}^2\text{T}_2 \rightarrow {}^2\text{E}_2$ ⁽³²⁾ the orange palladium complex showed multi bands due to chargetransfer. The first bands is moderated at 23584 cm^{-1} , the second is strong at 29069 cm^{-1} , the third band is weak at 31446 cm^{-1} and fourth band is shoulder at 34542 cm^{-1} . These bands due to the transitions⁽²⁵⁾



The spectra of yellow platinum complex showed a number of bands. First at 42176, second is high intensive at 35223 due to the spectrum ligand field. Furthermore the spectra of the complex showed another three bands highly intensive at 27188 cm^{-1} 24746 cm^{-1} and 16267 cm^{-1} which can be due to the transitions ${}^1\text{A}_{1g} \rightarrow {}^2\text{A}_{2g}$, ${}^1\text{A}_{1g} \rightarrow {}^1\text{B}_{1g}$, ${}^1\text{A}_{1g} \rightarrow {}^1\text{E}_g$ ⁽³³⁾. In conclusion our investigation suggested that (L_4) ligand complex is tetrahedral

of copper metal ion and square planner of palladium, platinum metal ions. Structure of complexes are shown in figures (1,2,3).

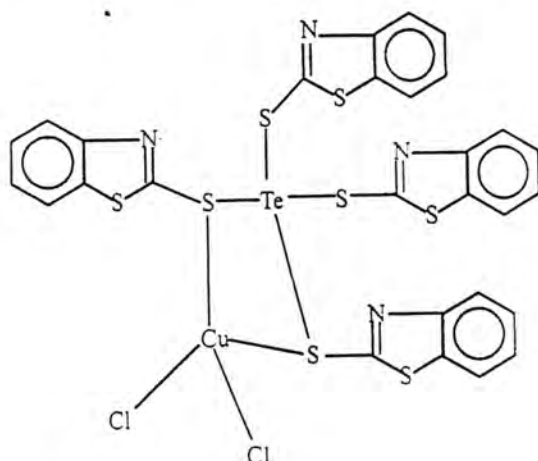


Fig. (1)

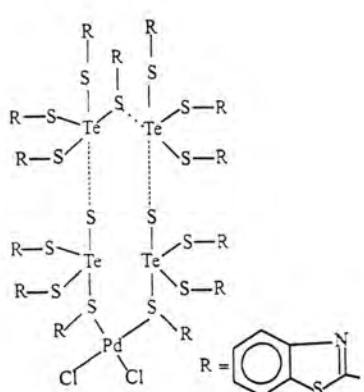


Fig (2)

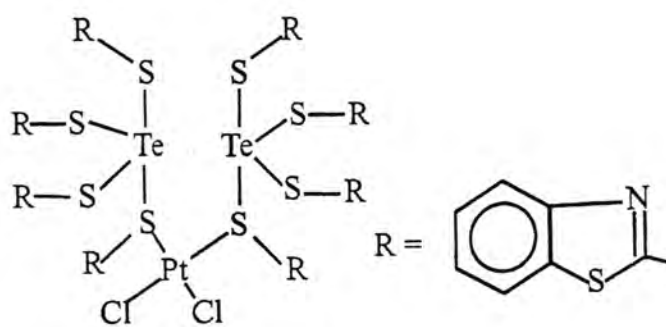


Fig (3)

REFERENCES

1. Y. Okamoto and W.H.H. Gunther., organic Selenium and Tellurium chemistry., Annals the new york academy of sciences vol 192,(1972).
2. S.M. Koyama, Takata. Y, Nakajima. T and suga. S, J. AM. Chem. Soc, 111, 8749: (1989).
3. M.A. Hamid AL-Abyci; M.sc. thesis; Baghdad University, Iraq (1997).
4. B.M. Alsaad:., Acta chemica scandinavica., 36A, 137-140: (1982).
5. A.Khanna and B.L. Khandelwal., Indian. J. chem., 35A, 236-238: (1996).
6. W.Kh. Mehdi; ph. D, thesis; Baghdad University, Iraq, p:41: (1999)
7. R.W. Young and K.H.wood; J.Am. chem. Soc., 77: 400-403 (1955).
8. M.H. shahetal., Indian. J. chem., 5(8), 391: (1967).
9. G.W. Watt and B.J. McCormick; spectro chimica Acta., 21:753 (1965).
10. S.C. Bahel, B.L. Dubby, N.Nath, A.Tripath and J.K. srivastava; J. Indian. Chem. Soc., 59:11277 (1982).
11. A.B.Harvey and M.K. wilson; J. phs. Chem., 45:678 (1966)
12. Y.okamoto, T. Yano and R. Homsany: organil selenium and Tellurium chemistry., ed., Yoshiyuk olamato, 192,60 (1972)
13. N. sharghi and L.lelezani; spectro chim. Acta., 20 237 (1964).
14. J.C.D. Gardliner, A.G. Christine R.W. Jackson, E. paper and M.A. sherwood; Inorg. chimiea.. Acta 103:195 (1985).
15. B.C. Kashyap, A.D. Tanfja and S.K. Banfrji; J. Inorg. Nucl. Chem., 37:1542 (1975).
16. T.Carns. G. Eglinton and D.T. Gibson; spectrochimica. Acta., 20:31 (1964).
17. G. Socrates "Infrared characteristic Group Frequencies"; Awiley Inter. Publication., p; 108-117: (1980).
18. E.A. Fehnel and M. Carmack., J.Am. Chem.soc., 71:2889 (1949).
19. C.N.R. Rao; "Ultra violet and visible spect roscopy, "3rded, Butter worth and co. (publishers) ltd., p:62-63 (1975).
20. B.singh and R.D singh; J. Inorg. Nucl. Chem. 39:25 (1977).

21. F.H. Musa; Iraq Journal of chemistry; 24:239(1998)
22. D.M. Adams; "metal-ligand and Reduted vibrations"; Edward Arnild, London (1967).
23. A.H. Jassim: ph. D. thesis saddam university of Engineering and science, Iraq (1993).
24. W. Kamp "organic spectroscopy", Mac Millan publishers LTD, second ed., p:44, 56, 57, 222 (1987).
25. E.A. AL-Hete; ph. D. thesis, college of Education, university of Baghdad, Iraq (1999).
26. E.R. clark and A.J. collett; J.chem soc., (A) : 1594 (1969)
27. E.R. clark and A.J. collett; Inorg. Phys. Theor., (A) (1969),
28. D.M. Adams and P.J.Lock; J. chem. Soc., (A) : 620 (1967).
29. A. Gulkos, w.F. Rittener, G. Ron and schmukler; J. Inorg. Nucl. Chem., 33: 761 (1971).
30. B.E. Aires, J.E. Fergnsson, D.T. Howarth, and J.M. Millar; J. chem. Soc., (A): 144 (1971).
31. W.J.Geary "coordination chemistry reivews"; Elsevier publishing company Amsterdam (1970)
32. F.A.Cotton and G. Wilkinson; "Advance Inorganic chemistry"; 3rd., Inters publishers, New York (1972).
33. A.B.P. lever, "Inorganic Electronic spectroscopy". Elsevier publishing company, New York; p: 350 (1968).

Ohmic Contacts Produced by Pulsed Nd:YAG Laser to Titanium on P-Type Silicon

UDAY A. HAMADI, RANIA A. MARKUB AND RANA O. DALA ALI
P.O.Box 55159, Baghdad 12001, Iraq

الخلاصة

في هذا البحث جرى تقديم نتائج دراسة لعملية تكوين الاتصالات الومية على السليكون تقابل باستخدام نبضات نيزرية. غالباً ما يتم استخدام الليزر النيديميوم - ياك النبضي بامد نبضة 10 ملي ثانية لشعاع غشاء رقيق من التيتانيوم المرتب على قاعدة من لاسيلikon. جرى قياس المقاومة السطحية و مقاومة الاتصال النوعية تطبيق المشابهة باستخدام نموذج خط النقل. وقد تم تحقيق اتصال اومي حيد و مقاومة اتصال نوعية صغيرة بحدود $40\Omega \text{ sq}$ على لاسيلikon القابل.

ABSTRACT

Results of studies in the formation of ohmic contacts on p-type silicon by laser pulses are presented. A pulsed Nd:YAG laser of 10 msec-pulse duration was used to irradiate the titanium thin film deposited on silicon substrate. Sheet resistance and specific contact resistance of doped layer were measured using transmission line model (TLM). Good ohmic contact and low specific sheet resistance of about $40\Omega/\text{sq}$. on p-type silicon were achieved

INTORDUCITON

An important area of semiconductor device fabrication is the ohmic contact between metal and semiconductor^[1-4]. Some adequate systems and associated processing techniques have been identified for conventional structures. However these systems often limit the range of device performance and its flexibility and for certain applications such as high temperature exposure, they are totally inadequate. Furthermore, intermediate

layers are often used between the metal and semiconductor to promote adhesion.

Transient processing by pulsed laser provides a mechanism for achieving very high temperature in very short time scale (quenching). The formation of Ti-Si interface by pulsed Nd:YAG laser processing has several main features including.

Formation of compounds that cannot be achieved by conventional wafer processing techniques.

Formation of ohmic interface without bulk prolonged substrate heating.

The Ti-Si interface exhibits considerable promise for thermal stability in comparison with as-deposited titanium because of formation of compound within silicon.

In this paper, the fabrication of low-resistance ohmic contact on silicon by pulsed Nd:YAG laser is reported.

EXPERIMENT

The base material used in these studies was (111) oriented p-type boron-doped silicon with hole concentration of $6.2 \times 10^{14} \text{ cm}^{-3}$. The surface preparation consisted of mechanical polishing until a mirror smooth surface evolved, etching with CP-4 solution, and immediately loading the wafer in a thermal evaporation system which was evacuated to a pressure of about 10^{-6} Torr. A pure titanium film was deposited on the silicon substrate with thickness of 1μm. The thickness of Ti film was measured using EDS technique.

Each sample was irradiated by a pulsed laser at room temperature and kept on a copper heat sink. A Nd:YAG laser with pulse duration of 10msec was used and the pulse shape was approximately Gaussian (TEM₀₀). The energy density was in the range from 20 to 28 J/cm². The morphology of the laser-processed region was investigated by an optical microscope in order to introduce the structure of this region.

RESULTS AND DISCUSSION

The resistance (R) between the processed spots plotted versus gap length (L) for samples irradiated with laser energy densities of 20-28J/cm²

was analyzed by a least square fit as shown in Figure (1). Each data point shown in Figure (1) was an average of four measurements.

From Figure (1) the sheet resistance R_s of the doped Ti layer and the contact resistance R_c were computed to be $40\Omega/\text{sq}$, respectively by using the TLM⁽⁶⁾ the value of R_c corresponded to specific contact resistance $r_c = 4 \times 10^{-5}\Omega \cdot \text{cm}^2$.

The I-V characteristics corresponding to pair of irradiated identical spots are presented in Figure (2) for samples irradiated with laser energy density below $20\text{J}/\text{cm}^2$, non-ohmic I-V characteristics were observed because surface melting did occur (figure 2). Increasing laser pulse energy density to $23\text{J}/\text{cm}^2$ caused the silicon surface to reach the melting point (T_m), and hence liquid-state diffusion occurred.

In the laser-induced diffusion process, the dopant atoms diffused rapidly and uniformly to a shallow depth from the surface through the molten region induced by laser irradiation⁽⁷⁾.

Improved ohmic I-V characteristics for samples irradiated with laser energy densities 25 and $28\text{J}/\text{cm}^2$ were obtained (figure 2). The low specific contact resistance and good ohmic behavior are believed to result from the high concentration of active carrier concentration in the diffused layers. Therefore, heavily doped layers (p^+) were obtained by laser-assisted diffusion and activation of titanium dopant.

CONCLUSIONS

We have obtained very good ohmic contact compared to the corresponding previous results, on p-type silicon with specific contact resistance and sheet resistance value of $4 \times 10^{-5}\Omega \cdot \text{cm}^2$ and $40\Omega/\text{sq}$, respectively. The contact and sheet resistance showed a marked dependence on laser energy density. In order to obtain low r_c and good ohmic characteristics, it is necessary to use laser pulses with exact energy at which the diffused layers have high active carrier concentration. Results obtained were used to design semiconductor photodetectors. Efficiency of ht detector is improved because the dark current is minimized when ohmic contact was formed on heavily-doped layers.

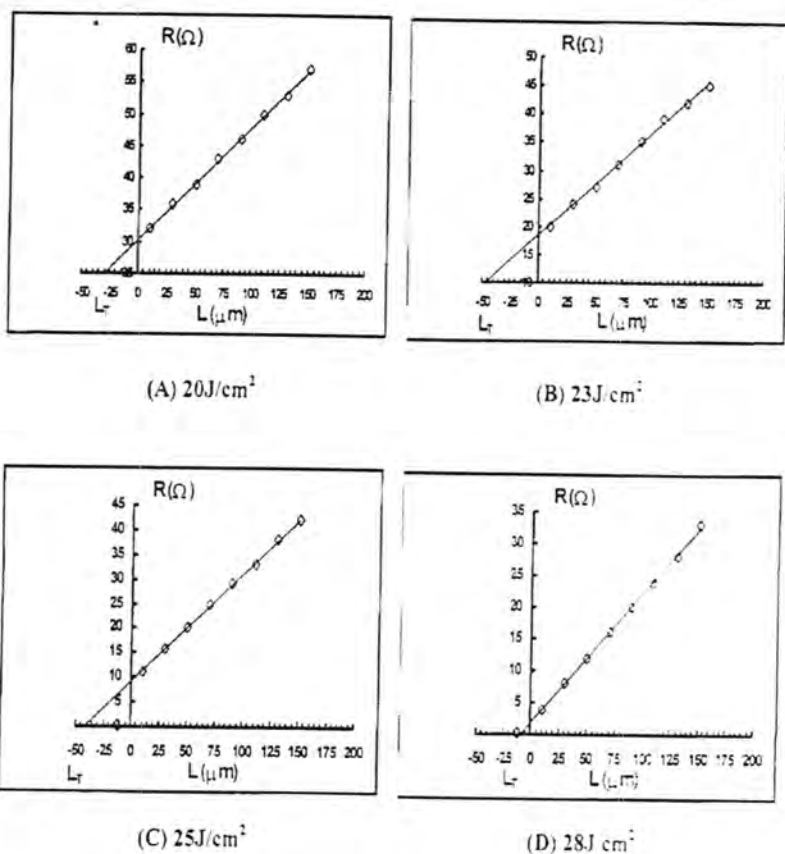


Fig.(1) Resistance between the spots as a function of gap length for different laser energy density

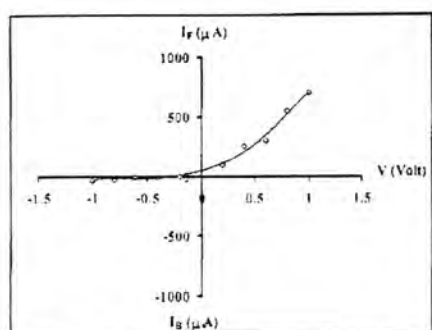
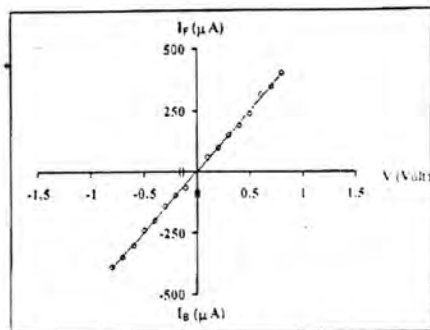
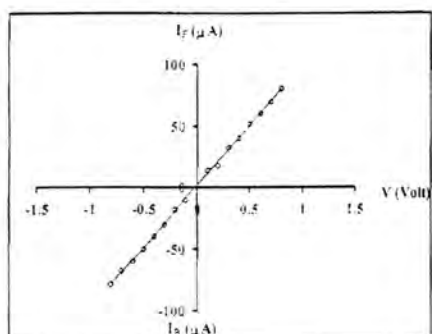
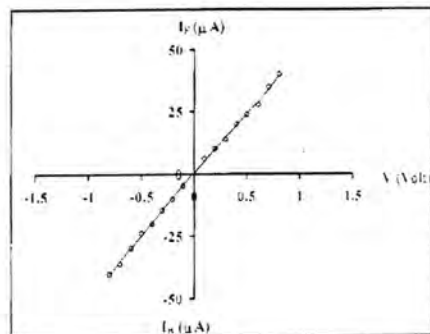
(A) $20\text{J}/\text{cm}^2$ (B) $23\text{J}/\text{cm}^2$ (C) $25\text{J}/\text{cm}^2$ (D) $28\text{J}/\text{cm}^2$

Fig. (2) I-V characteristics of Ti-doped layer for various laser energy

density:

REFERENCES

1. Tandon, J. et al., in proceeding of symposium on laser and electron beam processing of materials edited by C.W. White and P.S. Peercy, 2730 November(1979) p 487 (1980).
2. Woelk E., Krautle,H. and Bensking, H., IEEE Trans. Electron Devices, 33(1): 19 (1986).
3. Kalkur, T., Nassibian, A. and Rose, R., IEEE Electron Device 6(10): 489 (1985).
4. Nissim, Y., Gibbons, J. and Gold, R., IEEE Trans Electron Devices 28(5): 607 (1981).
5. Younger, P. et al, in proceeding of symposium on laser and electron beam processing of materials edited by C.W. White and P.S. Peercy, 2-30 November(1979), P487 (1980)
6. Berger, H. J. of Electrochemical Society, 119, P507 (1972).
7. Smaeshima, T. and Usui, S. JPN. J. Appl. Phys. 27(10)p. L1208 (1988).

Effect of He-Ne Laser on Motility and Activity of Human Sperms

KHELIL.I. HAJIM* , AYAD G. ANWER* , ABDUL-RASOUL.K.
AL-ZUBAIDI**

* Baghdad University - Laser and Plasma Institute for Post Graduate Studies - Laser & Spectroscopy Dept.

** Al-Mansour Technical Institute - Dept of Pathology

الخلاصة

يتضمن البحث دراسة تأثير اشعة الليزر الهليوم نيون بالطول الموجي 8,632 نانومتر وقدرة 1 ملي واط في حركة ونشاط الحيوان البشري ، حيث تم جمع 34 عينة من السائل المنوي البشري في أنابيب خاصة وقسمت هذه العينات إلى مجاميع تم تعربيها لأشعة الليزر الهليوم نيون لفترات (5، 10، 15، 20، 25) دقيقة على التوالي تم إجراء الفحص المجهري الجامع للعينات المشعة و مجاميع السيطرة لحساب كل من المعلمات الخاصة بحركة و نشاط الحيوان و التي تشمل النسب المئوية لكل من : الحيوان النشطة جدا، الحيوان النشطة، الحيوان بطيئة الحركة، الحيوان بطيئة الحركة جدا، الحيوان غير المتحركة. كذلك شمل الفحص النسب المئوية لكل من : الحركة الخطية، الحركة المترددة، والحركة الدائرية للحيوان. أظهرت النتائج أنه يوجد تأثير لأشعة الليزر في زيادة نسبة نشاط الحيوان و الحركة التقدمية في فترات التشعيغ 10، 15 دقيقة على التوالي حيث كان التأثير أكثر عند فترة التشعيغ 10 دقيقة و لم يكن هناك تأثير لأشعة الليزر عند فترة التشعيغ 5 دقيقة و كان التأثير سلبي في فترات التشعيغ 20 ، 25 دقيقة حيث قلت النسب المئوية لحركة و نشاط الحيوان. تم الاستنتاج بأن التأثير المتوقع لأشعة الليزر الهليوم نيون ضمن هذا المدى من الطول الموجي هو تأثير كيميائي ضوئي قد يكون ناتج عن امتصاص طاقة فوتونات اشعة الليزر من قبل السايتوكرومات المبنية في عمليات الفسفرة التأكسدية و تحفيزها لزيادة إنتاج الطاقة.

ABSTRACT

This study involves investigations on the effect of He-Ne Laser with 632.8 nm wavelength and 1 mW power on the motility and activity of human sperms. Thirty four samples of seminal fluid were collected in special tubes and subdivided into subgroups and exposed to He-Ne Laser for (5, 10, 15, 20, 25) minutes respectively. Irradiated samples were examined microscopically. The parameters related to either activity and motility of sperms are calculated. They include the percentage of: ver active, sluggish, very sluggish, immotile sperms and linear motility, zigzag motility, circular motility of sperms. The results shows that He-Ne Laser cause increasing in activity and motility of sperms at irradiation periods of 10, 15 minutes respectively. On the other hand the effect seems to be negative at irradiation periods of 20, 25 minutes. There is no effect at 5 min of irradiation period in comparison with the control group. The mechanism of the effect of He-Ne Laser may be considered as photochemical as a result of absorption of Laser light at 632.8 nm wavelength by certain chromophores which have a peak absorption at this wave length. These chromophores are cytochromes which have an important role in oxidative phosphorylation and electron transport chain for production the energy through ATP molecules. Biostimulation may occur due to absorption of Laser light leading to an increase in sperms activity.

INTRODUCTION

There has been increasing interest and concern about the applications of Laser in many fields of biology. Depending on the understanding the Laser tissues interaction mechanisms. Laser can be used as a magic tool either in therapy and diagnosis, also laser beam can be used as a fine instrument in cutting of chromosomes, drilling of ova and as a tweezers.

Other wise, Laser beam may have a damage effect if its used randomly. Here, this research explain briefly the critical threshold of the effect of laser beam on spermatozoa as a biological sample.

MATERIAL AND METHOD

Thirty four specimens of seminal fluid were collected from donors and incubated at 37°C following collection to allow liquefaction that

occurred within 30 min. The specimens were subdivided into sub groups were irradiated with He-Ne Laser (632.8 nm wavelength and 1 mW power) for (5, 10, 15, 20, 25) minutes respectively with presence of control group. After irradiation, the specimens were analyzed for activity of sperms includes the percentage of; ver active, active, sluggish, very sluggish, sluggish, immotile sperms and for motility of sperms includes linear motility, zigzag motility, circular motility of sperim.

RESULTS

The results in table (1), (2) shows that He-Ne Laser cause increasing in activity and motility of sperms at irradiation periods of 10, 15 minutes respectively. On the other hand the effect seems to be negative at irradiation periods of 20, 25 minutes. There is no effect at 5 min of irradiation period in comparison with the control group.

Table (1): Effect of He-Ne Laser on Activity of Sperms.

Exposure Time	Very Active	Active	Sluggish	Very Sluggish	Immotil
0 min	12%	32%	28%	18%	12%
5 min	14%	27%	29%	21%	9%
10 min	21%	41%	18%	13%	7%
15 min	24%	37%	17%	16%	6%
20 min	8%	14%	20%	24%	22%
25 min	9%	17%	23%	20%	31%

Table (2): Effect of He-Ne Laser on Motility of Sperms

Exposure Time	Linear Motility	Zigzag Motility	Circular Motility
0 min	31%	32%	37%
5 min	26%	34%	40%
10min	42%	28%	30%
15 min	46%	26%	28%
20 min	24%	22%	64%
25 min	20%	22%	68%

DISCUSSION

The mechanism of the effect of He-Ne Laser may be considered as photochemical as a result of absorbtion of laser light at 632.8 nm wave length by certain chromophores which have a peak absorbtion at this wave length. These chromophores are cytochromes which have an important role in oxidative phosphorlation and election transport chain for production the energy through ATP molecules.

Biostimulation may occur due to absorption of Laser light leading to an increase in sperms activity.

REFERENCES

1. J.I. Ali and E.M. Grimes: Sperm Morphology: Unstained and stained in Fertile and infertile men. *Archives of Endocrinology* 22: 191 - 195. (1989)
2. Markolf H. Neimz: *Laser-Tissue Interaction*. Heidelberg. (1996)
3. Richard P. Marrs Comparison of Techniques for Selection of Motile Spermatozoa. *Fertility and Sterility*. Vol.43, No. 2. 268 - 273. (1985)

g* - Continuous Functions

Prof., Dr., HADI JABER MUSTAFA
Department of Mathematics
College of Education - Al-Mustansiriya University

ABSTRACT

In this work, we introduce a new type of closed sets, namely ε^* -closed sets. Using this concept we introduce and study new type of continuous functions, namely g^* -continuous functions.

INTRODUCTION

In ⁽³⁾, N. Levine introduce the concept of g-closed set as follows:
A subset of (X, τ) is called g- closed if:

$$A \subseteq U \rightarrow \bar{A} \subseteq U$$

Where U is open in X

The complement of g- closed is called g- open.

In this work, we introduce the following definition:

A subset A of (X, τ) is called g^* - closed set if:

$$A \subseteq U \rightarrow \bar{A} \subseteq U$$

Where U is g- open in (X, τ)

The class of g^* - closed subset of (X, τ) is denoted by $G^* \subset (X, \tau)$
using the

concept of g^* - continuous function.

2. Basic Definition and Results:

2.1 Definition: Let (X, τ) be a topological space, let A be a subset of

(X, τ) . we say that A is g^* - closed in X if:

$$A \subseteq U \rightarrow \bar{A} \subseteq U$$

where U is g- open in X.

2.2 Remarks and examples:

i - Every closed set is a g^* - closed set.

ii - The following example supports that a g^* - closed set need not be

closed in general:

Let $X = \{a, b, c\}$ and $\tau = \{\emptyset, X, [a], [a,c]\}$

Let $A = \{a, b\}$

A is a g^* - closed set but not a closed set of (X, τ) .

iii- Every g^* - closed set is a g -closed set.

iv - The converse of (iii) in general as it can be seen from the following example:

Let $X = \{a, b, c\}$

$\tau = \{\emptyset, X, [a], [b, c]\}$ and $B = \{b\}$

B is not a g^* - closed set since $\{b\}$ is a g - open set of (X, τ)

such that

$$B \subseteq \{b\} \text{ but } \overline{B} = \{b, c\} \not\subseteq \{b\}$$

However B is a g - closed set of (X, τ)

2.3 Proposition:

If A and B are g^* - closed sets, then $A \cup B$ is also a g^* - closed set ($A \subseteq X$).

$$B \subseteq X$$

Proof: suppose

$$A \cup B \subseteq W$$

Where W is g - open in X

Now $A \subseteq A \cup B \subseteq W$ and $B \subseteq A \cup B \subseteq W$

but A and B are g^* - closed sets

$$\therefore \overline{A} \subseteq W \text{ and } \overline{B} \subseteq W$$

$$\therefore \overline{A} \cup \overline{B} \subseteq W$$

$$\text{but } \overline{(A \cup B)} = \overline{A} \cup \overline{B}$$

$$\therefore \overline{(A \cup B)} \subseteq W$$

$\therefore A \cup B$ is g^* - closed.

2.4 Proposition

If A is both g - open and g^* - closed set of (X, τ) , then A is closed

Proof: since A is g^* - closed then

$$A \subseteq W \rightarrow \overline{A} \subseteq W, \text{ where } W \text{ is } g\text{- open}$$

Take $W = A$

$$\therefore A \subseteq A \rightarrow \overline{A} \subseteq A$$

$$\text{but } A \subseteq \overline{A}$$

$$\therefore A = \overline{A}$$

$\therefore A$ is closed in X

2.5 Theorem

A is a g^* -closed set of (X, τ) if and only if $\tilde{A} - A$ does not contain any non-empty g -closed set.

Proof: =>

Let F be a g -closed set of (X, τ) such that $F \subseteq \overline{A} - A$

then $A \subseteq X - F$

since A is g^* -closed and $X - F$ is g -open, then $\tilde{A} \subseteq X - F$

$\therefore F \subseteq X - A$

so $F \subseteq (X - \overline{A}) \cap (\overline{A} - A)$

$\therefore F(X - \overline{A}) \cap \overline{A} = \emptyset$

$\therefore F = \emptyset$

Suppose A is a subset of (X, τ) such that $\tilde{A} - A$ does not contain any non-empty g -closed set. Let U be a g -open set of (X, τ) such that $A \subseteq U$, if $\tilde{A} \not\subseteq U$, then $\tilde{A} \cap U^c \neq \emptyset$

But $\tilde{A} \cap U^c$ is a g -closed set of (X, τ)

so $\emptyset \neq \tilde{A} \cap U^c \subseteq \tilde{A} - A$

So $\tilde{A} - A$ contains a non-empty g -closed set. A contradiction.

Therefore A is g^* -closed

Theorem: If A is a g^* -closed set of (X, τ) such that $A \subseteq B \subseteq \tilde{A}$ then B is also a g^* -closed set of (X, τ)

Proof:

Let U be a g -open set of (X, τ) such that $B \subseteq U$

Then $A \subseteq U$

Since A is g^* -closed, then $\tilde{A} \subseteq U$

Now $\overline{B} \subseteq \overline{(\overline{A})} = \overline{\overline{A}} \subseteq U$

Therefore B is also a g^* -closed set of (X, τ)

Recall [1] that a space (X, τ) is called $T_{1\frac{1}{2}}$ whenever g -closed set is closed

Now we introduce the following definition

Definition: A space (X, τ) is called a $T^{*}_{1\frac{1}{2}}$ space if every g^* -closed set is closed

It is clear that every $T_{1\frac{1}{2}}$ space is $T^{*}_{1\frac{1}{2}}$ space

The converse need not be true as shown by the following example

Example: Let $X = \{a, b, c\}$ and $\tau = \{\emptyset, X, \{b, c\}\}$

$$G^* \subset (X, \tau) = \{\{b, c\}, \emptyset, X\}$$

$$= \subset (X, \tau)$$

so (X, τ) is not a $T_{1\frac{1}{2}}$ space

since $\{b\}$ is a g -closed set

but not a closed set of (X, τ)

Theorem

For a space (X, τ) the following conditions are equivalent

1) (X, τ) is a $T^{*}_{1\frac{1}{2}}$ space

2) every singleton of X is either g -closed or open

Proof: (1) \rightarrow (2)

Let $x \in X$ and suppose $\{x\}$ is not a g -closed set of (X, τ)

Then $X - \{x\}$ is not a g -open. This implies X is the only g -open set containing $X - \{x\}$. So $X - \{x\}$ is a g^* -closed set of (X, τ) . Since (X, τ) is a $T^{*}_{1\frac{1}{2}}$ Space then $X - \{x\}$ is closed or equivalently $\{x\}$ is open in (X, τ) .

(2) \rightarrow (1)

let A be a g^* -closed set of (X, τ)

but $A \subseteq \tilde{A}$

let $x \in \tilde{A}$

by (2) $\{x\}$ is either g -closed or open

Case (i) suppose $\{x\}$ is g -closed

If $x \notin A$, then $\tilde{A} - A$ contains a non-empty g^* -closed set $\{x\}$

But this is not possible (A is g^* -closed)

$\therefore x \in A \therefore \tilde{A} \subseteq A$, A is closed

Case (ii): suppose $\{x\}$ is open

Since $x \in \tilde{A}$, then $\{x\} \cap A \neq \emptyset$

So, $x \in A$

So $\tilde{A} \subseteq A$

Thus, $A = \tilde{A}$

A is closed

X is a $T^{*}_{1/2}$ space

g-continuous functions

Using the concept of g^* -closed set, we introduce the following new type of continuous functions.

Definition: Let $f: (X, \tau) \rightarrow (Y, \sigma)$ be a function, we say that f is g^* -continuous if $f^{-1}(F)$ is g^* -closed in X whenever F is closed in Y

Remarks and examples

i) Every continuous functions is g^* -continuous

ii) Let $X=Y=\{a,b,c\}$

$$\tau = \{\emptyset, X, \{b\}, \{a,c\}\}$$

$$\sigma = \{\emptyset, Y, \{a\}, \{a,b\}, \{a,c\}\}$$

let $i: (X, \tau) \rightarrow (Y, \sigma)$ be the identity map

i is not a g^* -continuous function

Since $\{c\}$ is a closed set of (Y, σ)

But $i^{-1}(\{c\}) = \{c\}$ is not a g^* -closed set of (X, τ)

iii) The composition of two g^* -continuous functions need not be g^* -continuous as shown by the following example

Let $X=Y=Z=\{a,b,c\}$

$$\tau = \{\emptyset, X, \{a\}, \{b\}, \{a,b\}, \{a,c\}\}$$

$$\sigma = \{\emptyset, Y, \{a\}, \{a,c\}\}$$

$$\eta = \{\emptyset, Z, \{a\}, \{b\}, \{a,b\}\}$$

let $f: (X, \tau) \rightarrow (Y, \sigma)$ be the identity map

Define $g: (Y, \sigma) \rightarrow (Z, \eta)$

By $g(a) = a$, $g(b) = c$ and $g(c) = b$

f and g are g^* -continuous

$\{a,c\}$ is a closed set of (Z,η)

$$\text{but } (g \circ f)^{-1}(\{a,c\}) = f^{-1}(g^{-1}(\{a,c\})) =$$

$f^{-1}(\{a,b\}) = \{a,b\}$ is not a g^* -closed set of (X,τ)

therefore, $g \circ f : (X,\tau) \rightarrow (Z,\eta)$ is not g^* -continuous

3.3 Definition:

(i) A function $F : (X,\tau) \rightarrow (Y,\sigma)$ is called $(g^*)^\wedge$ -continuous if $f^1(F)$ is closed in X

whenever F is g^* -closed in Y.

(ii) f is called $(g^*)^{\wedge\wedge}$ -continuous if $f^1(F)$ is g^* -closed in X whenever F is g^* -closed in Y

Remark: Every $(g^*)^{\wedge\wedge}$ -continuous is g^* -continuous.

Examples:

Let $X=Y=\{a,b,c\}$

$\tau=\{\emptyset, X, \{a\}, \{b\}, \{a,b\}, \{a,c\}\}$

$\sigma=\{\emptyset, Y, \{a,b\}\}$

Define $h : (X,\tau) \rightarrow (Y,\sigma)$

By $h(a)=b$, $h(b)=c$ and $h(c)=a$

h is not a $(g^*)^{\wedge\wedge}$ -continuous function

since $\{b,c\}$ is a g^* -closed set of (Y,σ)

but $h^{-1}(\{b,c\}) = \{a,b\}$ is not a g^* -closed set of (X,τ)

However h is g^* -continuous.

Theorem

Let $f : (X,\tau) \rightarrow (Y,\sigma)$ and

$g : (Y,\sigma) \rightarrow (Z,\eta)$ be any two functions. Then

(1) $g \circ f$ is g^* -continuous if g is continuous and f is g^* -continuous.

(2) $g \circ f$ is $(g^*)^{\wedge\wedge}$ -continuous if both f and g are $(g^*)^{\wedge\wedge}$ -continuous.

(3) $g \circ f$ is g^* -continuous if g is g^* -continuous and f is $(g^*)^{\wedge\wedge}$ -continuous.

Theorem:

Let $f : (X,\tau) \rightarrow (Y,\sigma)$ be a g^* -continuous function. If (X,τ) is T^* , then f is continuous.

Proof:

Let F be closed in (Y, σ) , then $f^l(F)$ is g^* -closed in (X, τ) but (X, τ) is $T^{*\gamma_2}$,
then $f^l(F)$ is closed in (X, τ) .
So f is continuous.

REFERENCES

1. Dontcher J., and Maki H., on θ - generalized closed sets, Internet & Math. Sei. Roll 22, No.2 239-240(1999)
2. Dugunji J., Topology, the University of Southern California (1966)
3. Dunham W., and Levin N. Further results on Generalized closed set in topology, No.2. 161-169. (1977)
4. Levin N.. semi open sets and semi continuity in topological spaces. The Amer., Math.. Monthls, (70), 36-41(1963).
5. Navalagi. G.B. "Definition Bank" in general topology, internet (2000)

Synthesis and Spectrometric Studies of Some New 1,3,4-Thiadiazoles

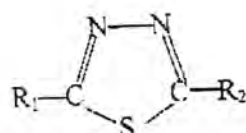
S.M. SHAHER*, N.J. AL-OBAIDY**, K.K. ABID**

*IAFC, Twaitha, P.O.765, Baghdad , Iraq.

****College of Science, Al-Mustanseria University, Baghdad, Iraq.**

الخلاصة

تم تحضير عدد من المركبات ذات الفعالية البايولوجية المتوقعة و المنشقة من الحالة الخامسة ، 3-4-ثياديابازول من خلال تفاعل المركب 5,2-ثنائي ميركاباتو -4,3,1- ثياديابازول مع المركبات: 1- كلورواسيتون ، فيناسييل كلورايد ، كلوروخلات الأثير . بوجود هيدروكسيد الصوديوم، او من النصعید مع الأمینات مثل 2- امینوبیریدين ، 2- امینو بيرعيدين و 2- امینوكاربارايد لتعطی مركبات جديدة ذات التركيب الكيميائي العام التالي:-



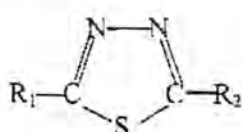
(Where R1 and R2 were $\text{CH}_3\text{-CO-CH}_2\text{S-}$, $\text{Ph-CO-CH}_2\text{S-}$, $\text{EtOOCCH}_2\text{S-}$, 2-PyNH-, $\text{NH}_2\text{-CS-NHNH-}$, and 2-PymNH-).

لقد استُخدِمت التحاليل العنصرية (C.H.N.) أطيف الكل، أطيف امتصاص الأشعة تحت الحمراء و الأشعة المرئية و فوق البنفسجية، الامتصاص الفري في تشخيص هوية هذه البكتيريات.

ABSTRACT

Few derivatives of expected biologically active 1,3,4-Thiadiazoles were synthesized by the reaction of 2,5-Dimercapto-1,3,4-Thiadiazole with the reagents: 1-Chloroacetone, Phenacyl Chloride, and Ethyl Chloroacetate in the presence of Sodium Hydroxide, or by refluxing with some Amines.

like 2-Amino Pyridine, 2-Amino Pyrimidine, and Thiosemicarbazide to give new compounds of the following general structure:



(R₁ and R₂ were CH₃-CO-CH₂S-, Ph-CO-CH₂S-, EtOOCCH₂S-, 2-PyNH-, NH₂-CS-NHNH-, and 2-PymNH-).

Elemental analysis (C.H.N.), mass spectroscopy, Infrared Spectroscopy, UV-visible Spectroscopy, Atomic absorption, were used to characterize the Chemical structure of these derivatives.

INTRODUCTION

The discovery of Sulfa drugs in the mid of the past century was responsible for the development of 1,3,4-Thiadiazole Chemistry and of potent representatives in the Thiadiazole series. The pharmaceutical interest has continued, and new interesting drugs have been discovered. The unsubstituted 1, 3,4-Thiadiazole (R₁=R₂=H), was described in 1956 by Geordeler et al¹. A method suitable for the preparation of 1, 3, 4-Thiadiazoles in larger quantities ha been described by Fohlisch et al². N,N-Dimethyl Formamide and N,N-Diformyl Hydrazine condense in the presence of Phosgene to the Hydrochloride of N,N-Dimethyl Formamideazine, the free base of which reacts with Hydrogen Sulfide in Methanol to give 1,3,4-Thiadiazole in 80% yield. Ruhlmann³ prepared 2,5-Dialkyl-1,3,4-Thiadiazole in high yields via 1,3,4-Thiadiazole. These were obtained from Hydrazine, Hydrogen Sulfide and Aliphatic Aldehydes and they were Oxidized by Sulfur in boiling piperidine. Nucleophilic substitution in the Thiadiazole ring was the way of preparing Aminothiadiazoles coresponding to Thiasemicarbazide, which are not readily available. This case does not frequently occur, but the method has been of considerable use in the preparation of Hydrazino Thiadiazole. Thus Fuji et al⁵ prepared 2-Hydrazino-5-Phenyl-1,3,4-Thiadiazole by Hydrazinolysis of 2-Methylsulfonyl-5-Phenyl-1,3,4-Thiadiazole, and Kanaka⁴ prepared the 5-Methylanalog by Hydrazinolysis of 2-Chloro-5-

Methyl-1,3,4-Thiadiazole. Both authors prepared these compounds by reduction of the corresponding 2-Nitrosaminothiadiazoles and furthermore by reduction of 2-Nitroamino Thiadiazoles, by using reducing agent such as Zinc metal and Stannous Chloride. Another route to get the Hydrazinothiadiazole is by cyclization of Thiocarbohydrazide, by using a hot concentrated Hydrochloric Acid to afford either 2-Hydrazino-1,3,4-Thiadiazole-5-Thione or 2-Amino-5-Hydrazino-1,3,4-Thiadiazol, depending on reaction conditions⁷.

Derivatives of many 1,3,4-Thiadiazoles received much attention in Biological research, as found earlier that mono- and disubstituted-1,3,4-Thiadiazole have Pharmacological properties⁸. In recent years considerable evidence has been accumulated to demonstrate the efficacy of 1,3,4-Thiadiazole as potential antibacterial⁹, antifungal¹⁰, antiviral¹³, CNS depressant¹⁶, and antitumor¹⁹. The biological activity for 1,3,4-Thiadiazole derivatives depends very much on the substituted groups in the 2- and 5-position or fused to S-triazolo ring systems^{10,16}.

The other derivative viz., 1,3,4-Thiadiazole-2-Sulfonamides, which came into.

focus after the discovery of Miller et al¹⁷ of Carbonic Anhydrase inhibiting effect of 2-

Acetamido-1,3,4-Thiadiazole-5-Sulfonamide. Under the name of Diamox and Acetazolamide, this compound has been extensively investigated for its effect on salt excretion and eye-pressure, and also as an anticonvulsive agent¹⁸. Other 1,3,4-Thiadiazoles have been tried as Chemotherapeutics, and 2-Amino-5-(2-Nitro-5-Furyl)- 1,3,4-Thiadiazole¹⁹, and some of its derivatives showed considerable promise as remedies for infections in the Gastrointestinal Tract. Some derivatives of 1,3,4-Thiadiazole (a kind of Purine Analog), were cytotoxic to Ehrlich Ascites Tumer Cell (E-cells)²⁰ and other experimentalcells in growing culture. Strong activity was found particularly among compounds which had an Electrophilic substituents, such as Alkyl Sulfinyl or Alkyl Sulfonyl group at 2-position³³ ($\text{TPSO}_2 - 2$). This compound found to be more active in inhibition the RNA synthesis by DNA - dependent, RNA polymerase of E-Cells. Another Biochemical activity of $\text{TPSO}_2 - 2$, the inhibition of respiration, appeared to be the mode of action of its bactericidal activity²². Another compounds with a five-member Thiadiazole ring prepared by Parkanyi et al²³⁻²⁷, which was reported to have potential antimetabolites of Nucleic Acid component which would posses cytostatic and or antiviral activity.

The present study is the earlier stage of a wide program directed towards the preparation of new derivative of 1,3,4-Thiadiazoles, which are expected to be biologically active by following two possible mechanisms to substitute 2,5-position. The work will include studying the spectrometric properties of the prepared compounds, and in later on preparing their complexes with transition metals. A pharmacological standard procedures and clinical studies is to be followed.

EXPERIMENTAL PART

Physical Measurements

The following physical measurement were made for the synthesized ligands and their complexes. Elemental analyses were carried out at the college of Science, Saddam University by using Carlo-Erba Microanalyser. Infrared Spectra were recorded in the 4000-200cm⁻¹ region using a Pye-Unicorn 2000 infrared Spectrophotometer using Kbr and CsI disc at Ibn-Albitar Center Laboratories. UV-Visible spectra were recorded in the region 190-800nm using Shimadzu 260A Spectrophotometer at the Iraqi Atomic Energy Commission Laboratories. Mass Spectra were measured on a Shimadzu GC-Mass Spectrometer at the Iraqi Atomic Energy Commission Laboratories. Melting Point for the prepared compounds were measured by using Gallenkampe melting point apparatus.

Materials

2-Aminopyridine, 2-Amino Pyrimidine, Hydrazine Sulfate, Ammonium Thiocyanate, NaCl (supplied by Fluka), Absolute Ethanol, CS₂, Hydrazine Hydrate, 1,4-dioxane DMSO, Pyridine, 1-Chloroacetone, (Supplied by BDH Chemicals). A special treatment was made for 1-Chloroacetone by re-distillation of the brown liquid at 120°C, to get a clear colorless liquid of 1-Chloroacetone and stabilized by adding 0.5% of CaCO₃ and kept in a dark place ready for use. A dry solvent: Pyridine, Ethanol, 1,4-dioxane were prepared according to literature³⁶.

Synthesis of 1,3,4-Thiadiazole Derivatives:

Some of the starting materials necessary for the synthesis of the ligands were prepared according to literature as follows:

2,5-Dimercapto-1,3,4-Thiadiazole [I]:

This compound was prepared using similar procedure described in the literature³⁷, and the yield obtained was 16.5 gm, (90% yield), m.p. 170-171.5 °C. The crude product was re-crystallized from Ethanol to afford colorless crystals of the pure product 14.5 gm, (976% yield), and m.p. 169-169.5 °C.

Thiosemicarbazide (II):

This was prepared according to the published procedure in the literature³⁸, without modification to afford Thiosemicarbazide, m.p. 180-181 °C, and (22-22.5 gm, 89.9% yield) calculated on bases of the Hydrazine used.

2,5-bis(1-Thiopentan-2-one)-1,3,4-Thiadiazole (III):

Solid 2,5-Dimercapto-1,3,4-Thiadiazole (1.5 gm, 10 mmole) and potassium Hydroxide (1.12 gm, 20 mmole) added to absolute Ethanol (30 ml) and the mixture stirred at warm temperature until a white suspension solution was obtained. A solution of 1-Chloroacetone (1.85 gm, 20 mmole) in absolute Ethanol (20 ml) added slowly at room temperature with efficient stirring over 30 minutes. The mixture was stirred for additional 30 minutes at room temperature, and then refluxed for 15 minutes. A pale yellow crystalline precipitate was filtered off and washed with cold water to remove the adhered mother liquor containing KCl. Recrystallization from absolute Ethanol to give off-white crystals (2.2 gm, 85% yield).

The elemental analysis (Table 1), I.R., U.V., and mass Spectrometric measurements obtained for the product were in good agreement with the structure and identity of the title compound. P+ at m/e 263 a.m.u.

2,5-Bis (1-Thiomethyl-3-Phenyl-2-one)-1,3,4-Thiadiazole (IV):

By following similar procedure of that used to prepare compound (III), (1.5, 10 mmole) of 2,5-Dimercapto-1,3,4-Thiadiazole and (1.12 gm, 20 mmole) of KOH in 30 ml of super dry Ethanol, and a solution of Phenacyl Chloride (3.1 gm, 20 mmole) in super dry Ethanol (20 ml). Recrystallization from absolute Ethanol afforded a whiteflake crystals (2.9 gm, 75% yield). The elemental analysis (Table 1), I.R... U.V., and mass spectrometric (P+ at m/e measurements 387 a.m.u) obtained for the product were in good agreement with identity and the structure of the title compound.

2,5-Bis (N,2-Aminopyridyl)-1,3,4-Thiadiazole (V):

2,5-Dimercapto-1,3,4-Thiadiazole (1.5 gm. 10 mmole) was dissolved in 25 ml of 1,4-dioxane and 2-Aminopyridine (1.86 gm. 20 mmole) dissolved in 25 ml of 1,4-Dioxane were mixed and the resulting mixture was refluxed for 3 hrs. A yellow oily layer was formed which solidified on cooling, and the yellow crystals filtered and washed with cold 1,4-Dioxane. Recrystallization from absolute Ethanol affords pale yellow crystals (1.65 gm. 65% yield). The elemental analysis (Table 1), I.R., U.V., and mass spectrometric (P_+ at m/e 273 a.m.u) measurement obtained for the product were in good agreement with identity and structure of the title compound.

2,5-Bis (1-Thiomethylethylester)-1,3,4-Thiadiazole (VI):

By following a similar procedure to that used for the compound (III): 2,5-Dimercapto-1,3,4-Thiadiazole (1.5 gm. 10 mmole) and Potassium Hydroxide (≤ 1.12 gm. 20 mmole) in dry Ethanol (30 ml) and a solution of Ethyl Chloro-Acetate (2.25 gm. 20 mmole) dissolved in dry Ethanol. A pale yellow precipitate was obtained, kept overnight and then filtered, washed with cold distilled water obtained an off-white precipitate. Re-Crystallization from absolute Ethanol affords a white Crystals. (2.4 gm. 75% yield). The elemental analysis (Table 1), I.R., U.V., and mass spectrometric (P_+ at m/e 323 a.m.u) measurements obtained for the product were in good agreement with identity and structure of the title compound.

2,5-Bis (N,2-Aminopyrimidyl)-1,3,4-Thiadiazole (VII):

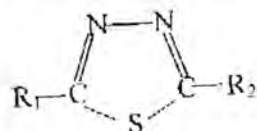
To a solution of 2,5-Dimercapto-1,3,4-Thiadiazole (1.5 gm. 10 mmole) in 25 ml of 1,4-dioxane, 2-Aminopyrimidine (1.9 gm. 20 mmole) dissolved in 25 ml of 1,4-Dioxane was added. The resulting mixture was refluxed for 1/2 hr., and the solvent was removed under vacuum to about half of the original volume. A yellow precipitate was obtained on cooling which is filtered and washed with 1,4-Dioxane. Re-Crystallization from absolute Ethanol affords bright yellow crystals (2.25 gm. 85% yield). The elemental analysis (Table 1), I.R., U.V., and mass spectrometric (P_+ at m/e 273) measurements obtained for the product were in good agreements with the identity and structure of the title compound.

2,5-Bis (N,1-Thiosemicarbazide)-1,3,4-Thiadiazole (VIII):

2,5-Dimercapto-1,3,4-Thiadiazole (1.5 gm. 10 mmole) dissolved in 25 ml of absolute Ethanol, and Thiosemicarbazide (1.8 gm. 20 mmole)

dissolved in 25 ml of absolute Ethanol were mixed. The resulting mixture was refluxed for 6 hrs., then reduced the volume and cooled. A yellow precipitate was obtained, which was left overnight and filtered. Recrystallization from hot absolute Ethanol afforded paleyellow crystals (2.3 gm, 90% yield). The elemental analysis, (Table 1), I.R., U.V., and mass spectrometric measurements obtained for the product were in agreement with the identity and the structure of the title compound.

Table (1)
The Physical properties of 1,3,4-Thiadiazole Ligand

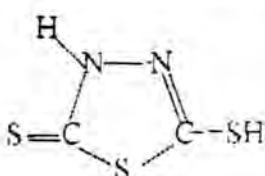


No.	R ₁ & R ₂ Compound	Yield %	m.p. [°] C	Color	Elemental Analysis % Found (% Calc.)		
					C	H	N
III	CH ₃ CO-CH ₂ S-	85	91-89	Off-White	36.94 (36.62)	3.51 (3.80)	10.08 (10.71)
IV	PhCO-CH ₂ S-	75	45-143	White	55.65 (55.96)	3.12 (3.69)	6.05 (6.81)
V	Py-NH-	65	41-139	Pale Yellow	53.13 (53.39)	3.90 (3.63)	31.71 (31.14)
VI	EtOOC-CH ₂ S-	75	47-45	White	37.26 (37.61)	4.34 (4.18)	8.09 (8.73)
VII	Pym-NH-	85	86-184	Bright Yellow	44.71 (44.18)	2.84 (2.96)	40.47 (41.03)
VIII	NH ₂ CS-NHNH-	90	46.144	Pale Yellow	18.58 (18.15)	2.73 (3.07)	42.92 (42.41)

RESULTS AND DISCUSSION

Electronis Spectra:

The ultra-violet spectrum of the starting material; 2,5-Dimercapto-1,3,4-Thiadiazole in DMSO showed one maximum absorption located at 337 nm due to the n- π^* C=S⁹⁶ arized from the following thione forms:



This band was disappeared in the compound III-VIII, by using the same solvent. This could be attributed to the substitute occurred on 2,5-position, and a new bands appeared depending on the type of the substituents attached on these positions. The spectra were characterized with high intensity absorption bands (ϵ : molar extinction coefficient=18.500-21,250 mole⁻¹.l.cm⁻¹), due to the presence of the conjugated system (Table 1). A fixed concentration has been used to record all the spectra 10⁻⁴ M in DMSO as a solvent. Compound (III) showed a new absorption band at 291 nm for m- π^* of the carbonyl group (>C=O). While compound (V) showed two absorption bands; 362 and 272 nm, the first band assigned for the conjugated system, while the second band was attributed to the ring aromaticity $\pi-\pi^*$. Compound (VII) exhibited two bands at 351 and 275 nm due to the conjugated system for the first, and the heterocyclic ring aromaticity for the second [33]. Compound (VIII) showed two absorption bands located on 336 and 242 nm for the conjugated system (Thiadiazole ring) and $\pi-\pi^*$ of the C=S bond of the Thiosemicarbazide.

Infra-red spectra:

the starting material 2,5-Dimercapto- 1,3,4-Thiadiazole showed a sharp stretching band at 2400 cm⁻¹ which is attribute to (SH) group, while the other synthesized compound (III-VII) did not show any band in this region. This clearly indicates that the substitution had taken place on the 2,5-positions. The spectrum of the ligand (iii) exhibited a weak band at 3400 cm⁻¹ assigned to the hydroxyl (OH)

Table - 2
Electronic Spectral Bands (nm) for 1,3,4-Thiadiazole.

Compound		1λ _{max}	ε mole ⁻¹ .cm ⁻¹	2 λ max	ε mole ⁻¹ .cm ⁻¹
1	III	290.5	19,500	-	-
2	V	362	21,260	271.5	16,600
3	VII	351	19,860	275	14,400
4	VIII	336	18,820	242	10,610

group of the tautomeric form of the Ligand (Scheme 18). There are a strong peaks for the ligands (III), and (IV) at 1710 and 1680 cm⁻¹ respectively for the keto group (>C=O) stretching frequencies, while its at 1720 cm⁻¹ for the ester group (-CO₂-) of the ligand (VI), and another peak at 1650 cm⁻¹ attributed for the (C=N) stretching band. a strong absorption band assigned for the terminal Methyl group for the ligands (III) and (VI) were found at 1929 and 2960 cm⁻¹, while two strong and medium bands (III) and (IV) were found at 2920 and 2960⁻¹, while two strong and medium bands located at 2940 and 2980 cm⁻¹ which assigned to (>CH₂) and (>C=C<) stretching frequency (Table 6).

For the ligand 2,5-Diaminopyridyl)-1,3,4-Thiadiazole (V) two strong bands appeared at 3230 and 3180 cm⁻¹, assigned for two (>NH) groups stretching due to the presence of two forms of the ligand (Scheme 19). A medium absorption band assigned to the Heterocyclic (=CH-) of pyridine was located on 2940 cm⁻¹. The strong bands assigned to (>C=N-) stretching of pyridine on 1610 cm⁻¹, while it is at 160 cm⁻¹ for terminal (>C=N-) stretching frequency.

The ligand 2,5-bis (N,2-Aminopyrimidyl)-1,3,4-Thiadiazole (VIII) exhibited two strong bands for two groups of (>NH) stretching located on 3290 and 3190 cm⁻¹ due to the presence of two forms of the ligand (scheme 20). while the band for the (=CH-) stretching frequency of pyrimidine found on 2910 cm⁻¹. Two strong bands attributed for the two (>C=N-) stretching were found at 1690 and 1640 cm⁻¹ respectively broad bands at 3500 cm⁻¹ which may attributed to the water molecules present in the complexes.

The ligand (VIII) showed two medium bands for the terminal (NH₂) stretching assigned on 3390 and 3330 cm⁻¹. while one band for (>NH) stretching was found at 3300 cm⁻¹. Another two strong bands assigned for

(>C=N) stretching and (-NH₂) bending found on 1670 and 1640 cm⁻¹ respectively⁸⁹⁻⁹⁴. The characteristic bands for (N-C-N) and (HN-C=S) located on 1550 and 1460 cm⁻¹ respectively⁹⁵. The (C=S) stretching vibration showed two bands at 1280 and 890 cm⁻¹.

Mass Spectra:

Mass spectra were used to obtain the molecular weight and it is also been used to describe the breakdown of the compound inside the mass spectrometer into fragments whose structures can be related to the structure of the intact molecule. Unfortunately, we were not able to record the mass spectra for all of the ligands been synthesized due to the decomposition of some ligands at the source temperature. Never the less, it was possible to record the mass spectra for the following ligands: (III), (IV), (V) and (VI). The ligands show good peaks corresponding to the mass of the parent molecular ions, P⁺. Detailed study of the fragmentation pattern of these compounds will be discussed in later article.

REFERENCES

- 1.- J. Geordeler, J. Ohm and O. Tegtmeyer, Chem. Ber. 89, 1534 (1956).
- 2.- B. Fohlisch, R. Brann and K.W. Schultze, Angew. Chem., 79, 318 (1967).
- 3.- K. Euhlmann, J. Prakt. Chem., (4) 8, 285 (1959).
- 4.- M. Kanaoka, J. Pharm. Soc. Japan, 75, 1149 (1955).
- 5.- K. Fujii, H. Yoshikawa and M. Yuasa, J. Pharm. Soc. Japan, 74, 1056 (1954)-
- 6.- Stolle and K. Fehrenbach, J. Prakt. Chem., (2) 122, 289 (1929).
- 7.- E. Testa, G.G. Gallo, F. Fava and G. Weber, Gazz. Chim. Ital., 88, 812 (1958).
- 8.- M.M. Ciotti, S.R. Humphrey, J.M. Venditti, N. Kaplan and A. Goldin, Cancer Research, 20, 1195 (1960).
- 9.- A.J. Cowper, G.S. Trivedi, R.R. Astik and K.A. Thaker, J. Inst. Chem. (India), 53, 141 (1981); 53, 58 (1981); 53, 92 (1981).
- 10.- Bourdais, P. Dayviller, P. Garyal, M.C. Rigothier, P. Timon, J. Julien and M. Gasquet, Eur. J. Med. Chem. 16, 233 (1981).
- 11.- F. Malinoski and V. Stoller, Virology, 110, 281 (1981).
- 12.- A.K.S. Gupta and K. Hajela ; J. Ind. Chem. Soc., 58, 690 (1981).

- 13.- M.R. Mody, A.R., Prasad, T. Ramalingam and P.B. Sattur, J. Ind. Chem. Soc., 59, 769 (1982).
- 14.- C.T. Supuran, C.I. Lapadatu, R. Olar and A. Meghea, Revue Roumaine de Chimie, 38, 4402 (1993).
- 15.- K. Ueki, Chem. Abstr., 79, 183667a (1973).
- 16.- A. Mohsin, M.E. Omar and O.M. Aboulwafa, J. Heterocyclic Chem., 23, 1339 (1986).
- 17.- S. Trivedi, H. Kubavat and H. Parekh, Ind.J.Chem., Section B, 33, 295 (1994).
- 18.- C.H. Chiang, A.R. Lee and C.H. lin, J. Ocular Pharmacology, 9, 109 (1993).
- 19.- N.C. Wu, C.H. Chiang and A.R. Lee, J. Ocular Pharmacology, 9, 92 (1993).
- 20.- M. Suiko and K. Maekawa, Agric. Biol. Chem., 41, 2047 (1977).
- 21.- M. Suiko, S. Hayashida and S. Nakatsu, Agric. Biol. Chem., 46, 2691 (1982).
- 22.- M. Suiko, E. Taniguchi, K. Maekawa and M. Eto, Agri. Biol. Chem., 43, 741 (1979); 45, 749 (1979); 44, 1923 (1980).
- 23.- T. Georg, D.V. Mehta, R. Thilramani, J. David and P.K. Talwakler, J. Med. Chem., 14, 335 (1971).
- 24.- H.L. Yale and J.J. Piala, J. Med. Chem., 9, 42 (1966).
- 25.- A.A. Deshmukh, Ph. D. Thesis, Marathwada University, India, p.433 (1976).
- 26.- R.B. Pathak and K. Hajela, J. Ind. Chem. Soc., 58, 420 (1981).
- 27.- A.K. Sen Gupta and S.C. Bahel, J. Ind. Chem. Soc., 58, 690 (1981).
- 28.- C. Metzger and R. R. Schmidt, Chem. Abstr. 84, 17367g (1975).
- 29.- A.R. Mootman, D.C. Findak and H.S. Ku, J. Heterocyclic Chem., 22, 915 (1985).
- 30.- C. Parkanyi, H. Liang Yuan, N. Sook and J. Hwa, J. Heterocyclic Chem., 26, 1331 (1989).
- 31.- C. Parkanyi and F. Sorm, Coll. Czech. Chem. Commun. 28, 2491 (1963).
- 32.- C. Parkanyi, N.S. Cho and O.S. Yoo, J. Organomettallic Chem., 1, 342 (1988).
- 33.- C. Parkanyi and H.L. Yuan, J. Heterocyclic Chem., 27, 105 (1990).
- 34.- B.M. Krasovitski, R.M. Mutskevich, N.S. Dokumikhin and N.A. Trubitsyna, J. Gen. Chem. USSR, 30, 2589 (1960).

- 35.- A.K. Majumdar and M.M. Chakrabartty, Anal., Chem., Acta, 19, 372 (1958).
- 36.- S. Zareba; Acta Poloniae Pharmaceutica, 51, 21 (1994).

**التأثير التأزري لحامض الكلافيلونك مع مضادات البيتا لاكتام ضد انواع من البكتيريا
السالبة لصبغة غرام المنتجة لانزيم البيتا لاكتاميز**

سوسن ساجد الجبوري ، حسين حسن خانقاہ و اسماء عزت النعيمي
قسم علوم الحياة - كلية العلوم - الجامعة المستنصرية

ABSTRACT

Seventy three Clinical Isolates of gram - negative Bacteria were collected from hospitalized patients suffering from urinary tract infections, burn and wound infections. These comprised *Escherichia coli* (32 isolates), *Klebsiella pneumoniae* (23) and *Proteus mirabilis* (18). Out of 73 isolates, 53 gave positive result in the β -lactamase production test. Results of MIC determination test revealed that the isolates were able to resist high concentrations of Ampcillin and Amoxicillin when the values were more than 1024 $\mu\text{g/ml}$. The MIC for piperacillin were less than that. The combination of these antibiotics with gradual concentrations of Clavulanic Acid (0.5, 1, 2, 5 $\mu\text{g/ml}$) causes increasing number of sensitive isolates. The best synergistic effect appeared when the combination of Clavulanic Acid/Amoxicillin was used in a ratio of: 1.2 and the percentage of sensitive isolates became (88.2%). Our finding indicate that the combination of Clavulanic Acid/Piperacillin had a good Synergism effect against the bacterial isolates.

الخلاصة

جمعت 73 عزلة مرضية من البكتيريا السالبة لصبغة غرام من خمجات المجرى البولي وجروح وحروق مرضى راقدين في مستشفيات مختلفة في بغداد. شخضت (32) عزلة على أنها و (23) من *E. coli* و (18) من *Klebsiella pneumoniae* و (18) من *Proteus mirabilis* لقد اعطت 53 عزلة من مجموع (73) نتيجة موجبة في فحص التحرى عن انتاج انزيم البيتا لاكتاميز وبنسبة (6.72%). بينت نتائج تحديد التراكيز المثبتة الدنيا لعدد من مضادات البيتا لاكتام بان العزلات كانت مقاومة لتراكيز عالية من مضادى الامبسلين والاموكرايسيلين اذ

تأثير تأزيري لحامض الكلافيونك مع مضادات البيتاالاكتام ضد أنواع من البكتيريا السالبة لصيغة غرام المنتجة لانزيم البيتاالاكتاميز

وصلت الى $1024\mu\text{g/ml}$ وبشكل اقل لمضاد البيراسلين. أدى خلط هذه المضادات مع تراكيز متسلسلة ($0.5, 1, 2, 5\mu\text{g/ml}$) من حامض الكلافيونك الى ازدياد اعداد العزلات الحساسة للمضادات وتحقق افضل فعل تأزيري لخلط حامض الكلافيونك/اموكزالسين عند استخدامه بنسبة $2/1$ اذ بلغت نسبة العزلات الحساسة 88% كما واظهر خليط حامض الكلافيونك/بيراسلين تأثير تأزيري قويا ضد العزلات البكتيرية.

المقدمة

تعد مضادات البيتاالاكتام من اكبر المضادات أهمية من الناحية الطبية والاكثر استخداما في العلاج السريري منذ اكتشاف البنسلين ولحد الان⁽¹⁾. وتلعب هذه المضادات دورا كبيرا في الحد من الاصابات اذ تعد من المضادات القائلة لتشييدها عملية تصنيع الجدار الخلوي للبكتيريا المتكاثرة⁽²⁾. ادى كثرة الاستعمال العشوائي لمضادات البيتاالاكتام الى خلق مشاكل المقاومة بين العزلات البكتيرية وتأتي انزيمات البيتاالاكتاميز في مقدمة وسائل المقاومة لمضادات البيتاالاكتام اذ ازدادت نسبة انتاجها بين العزلات السريرية لاكثر من 90% في السنوات الاخيرة⁽³⁾.

تنتج معظم انواع البكتيريا انزيمات البيتاالاكتاميز المحالة للبنسلينات والسيفالوسبورينات بما افراد العائلة المعوية⁽⁴⁾. وشهدت السنوات الماضية ظهور نمط جديد من هذه الانزيمات اطلق عليها انزيمات واسعة الاصيف امتازت بقدرتها على تحطيم الاجيال الحديثة من مضادات البيتاالاكتام⁽⁵⁾. ولغرض الحد من مشكلة المقاومة، استحدث مركبات مثبتة لانزيمات البيتاالاكتاميز وتعتبر هذه المثبتات بفاعلية ضعيفة كمضاد حيوي ولكنها تستطيع الارتباط بشكل غير عكسي مع الانزيم وتمكن حدوث تحلل المضاد الحيوي⁽⁶⁾.

لقد جاءت هذه الدراسة للتحري عن انتاج انزيم البيتاالاكتاميز في عدد من العزلات المحلية وتحديد التراكيز المثبتة الدنيا لعدد من مضادات البيتاالاكتام ثم دراسة التأثير الخلطي لنبط حامض الكلافيونك مع هذه المضادات.

المواد وطرق العمل

جمع وتشخيص العزلات المرضية: جمعت 112 عينة سريرية من خمجات جروح وحروق وادرار من مرضى راقدين في مستشفيات مختلفة في بغداد. زرعت العينات مبدئيا على

وسطي اكار الدم وماكونكي، واجريت بعدها عدد من الفحوص التشخيصية الكيموحياتية (7) لغرض التشخيص النهائي للانواع البكتيرية المطلوبة وهي *Klebsiella, proteus E. coli*. فحص التحرى عن انتاج انزيم البيتاالاكتاميز: استخدمت طريقة اليود القياسية السريعة للتحرى عن انتاج انزيم البيتاالاكتاميز في العزلات المرضية (8). اعتبرت النتيجة موجبة عند تحول اللون من ازرق الى ابيض خلال دقيقة واحدة من اضافة كاشف اليود والنشا وقورنت النتائج مع السلاطين القياسيين 25922 *E. coli* ATCC و *E. coli* J53. RP₄ كسيطرة سالبة و موجبة على التوالى.

قياس التركيز المثبط الادنى (MIC): Minimal Inhibitory Concentration (MIC)

حضرت تراكيز متسلسلة متضاعفة لمضادات البيتاالاكتام لوحدها بتراكيز تراوحت قيمتها بين 1024 - 2 مايكروغرام/مل و استخدمت للتجربة مضادات الامبسيلين والاموكزالسين والببراسلين. كما و حضرت تراكيز متسلسلة متضاعفة من مثبط الكلافيلونك لوحده وبقيم تراوحت بين (0.5-32) مايكروغرام/مل تم احتساب قيم MIC للعزلات البكتيرية على انه اقل تركيز يمنع ظهور نمو بكتيري واضح في الطبق الزراعي، و اجريت بعد ذلك تجربة لحساب قيم **الـMIC** للمضادات اعلاه بعد اضافة مثبط جامض الكلافيلونك بتراكيز متسلسلة متزايدة مقدارها

(0.5, 1, 2, 5) مايكروغرام/مل أو بشكل نسبة ثابتة مقداره ½ من مثبط/ مضاد ثم سجلت القيم الجديدة وقورنت مع ما قبل اضافة المثبط.

النتائج والمناقشة

شملت الدراسة (112) عينة مختلفة مأخوذة من خمجات المجاري البولية وخمجات الجروح والحرائق. واعتمادا على صفات المستعمرات النامية على الاوسط التفريقيه والانتخابية المتبوعة بعدد من الفحوصات الكيموحياتية فقد تم الحصول على 73 عزلة من الانواع البكتيرية *P. mirabilis, K. pneumoniae, E. coli* بواقع 18، 23، 32 عزلة على التوالى. استخدمت طريقة اليود القياسية السريعة للكشف عن انزيم البيتاالاكتاميز المنتج من العزلات في دراسة، وتعتمد الطريقة اساسا على الكشف عن حامض البنسلوك او السيفالوسبوروك المتكون من كسر اصرة الاميد في حلقة البيتاالاكتام لكل من البنسلينات او السيفالوسبورينات على التوالى (10).

لقد اعثت 53 عزلة بكتيرية من مجموع 73 (6.72%) النتيجة الموجبة اذ تحول لون المحلول من بنجي غامق الى ابيض خلال دقيقة او اقل من اضافة كاشفي الشا واليد. توزعت العزلات ما بين 9، 18، 26 لكل من *K. pneumoniae*, *E. coli* و *Proteus mirabilis* على التوالي. تشير هذه النسبة العالية من العزلات المنتجة الى انتشار هذا النوع من انزيمية بين افراد العائلة المعوية فضلاً عن وجود عزلات لها قابلية مقاومة مضادات البيتا-الاكتام بطرق اخرى غير طريق المقاومة الانزيمية كما في تغيير حاجز النفاذية في الغلاف الخارجي او عن طريق تغيير الموقع الهدف لعمل مضادات البيتا-الاكتام في البكتيريا (11). بینت نتائج تحدید التراکیز المثبطة لعدد من مضادات البنسلینات بان العزلات قد اظہرت مقاومة مشتركة شاینة لمضادی الامبسلین والاموکراسلین ببلوغ قیم MIC لمعظمها اکثر من 1000 میکروغرام/مل (جدول 1). وقد يعزى السبب إلی کثرة الاستخدام الشائع والعشوائي لهذه مضادات في العلاجات المختلفة.

كما و بت النتائج ان العزلات كانت مقاومة لمثبت حامض الكليفولنك عند استخدامه بمفردہ وذلك من خلال استمرار نموها بترکیز وصلت الى 32 مايكروغرام/مل جدول (1). ولقد ادى اضافة مثبت حامض الكليفولنك وخلطه مع هذه المضادات الى زيادة استجابة العزلات سیما في تركیز 2 و 5 مايكروغرام/مل ولم تظهر التراکیز الواطئة للمثبت بمقدار 1 ، 0.5 مايكروغرام/مل في تأثير تأزري واضح في تقليل قیم MIC لمضادی الامبسلین والاموکراسلین. لقد تحقق افضل فعل تأزري لخلط مثبت / مضاد عند خلط حامض الكليفولنك مع مضاد الاموکراسلین بنسبة ١٪ على التوالي (جدول 2، شکل 1). وكان الخليط كفؤا في اختزال قیم MIC لپنه مضاد ببلغ نسبة العزلات الحساسة 88.2٪.

لقد اشـرـ الباحثـون Rubio وجماعـتهـ من خـلـال درـاسـةـ احـصـائـيةـ شـملـتـ 1401 عـزلـةـ تـعـودـ لـعـائـلـةـ المعـويـةـ تحـمـلـ صـفـةـ المـقاـوـمـةـ لـمـضـادـ الـامـبـسـلـينـ وـالـامـوـکـرـاسـلـينـ عـنـ طـرـيقـ اـنـتـاجـ اـنـزـيمـ البيـتاـالـاكـتـامـيـ اـنـتـفـرـ بالـازـميـدـيـاـ اـلـىـ اـسـتـجـابـةـ هـذـهـ عـزلـاتـ بـعـدـ اـسـتـعـالـ مـثـبـطـ حـامـضـ الـكـلـيفـولـنـكـ مـزـرـوجـاـ مـعـ هـذـهـ نـمـضـادـاتـ سـیـماـ الـامـوـکـرـاسـلـينـ وـبـنـسـبـةـ ½ـ (12)ـ.ـ وـفـیـماـ يـخـصـ المـضـادـ الـحـیـوـيـ الـبـرـاسـلـینـ فـلـقـدـ ضـبـرـتـ مـعـظـمـ عـزلـاتـ مـقاـوـمـتـهاـ العـالـیـةـ لـهـ بـلـوـغـ قـیـمـ MICـ ماـ بـیـنـ 256 µg/mlـ وـ 1 µg/mlـ (0.5)ـ اـلـیـ دـورـ تـأـزـريـ وـاصـحـ فـیـ تـقـلـیـلـ هـذـهـ الـقـیـمـ،ـ فـیـ حـینـ اـدـیـ زـیـادـةـ تـرـکـیـزـ المـثـبـطـ الـیـ 2µg/mlـ نـحـصـلـ اـنـخـفـضـ فـیـ قـیـمـ MICـ لـمـضـادـ وـاـخـرـالـهـ (شـکـلـ 2)ـ.ـ وـمـعـ زـیـادـةـ

التركيز الى $5 \mu\text{g/ml}$ فقد لوحظ حصول ارتداد واضح في اعداد العزلات المقاومة للمضاد لتصبح حساسة (شكل 2) وسجلت استجابة تامة الا في عزلتين هما *E. coli* 1u, K. *K. pneumoniae* 6u. (3) وهي نفس العزلات التي بقت مقاومة لخليط حامض الكلافيلونك / مضاد الامبسيلين والاموكرازيلين (جدول 1و2) مما يعطي انطباعاً بانها من العزلات التي لها قابلية مقاومة الخليط وبتراكيزه العالية. لقد جاءت النتيجة الاخيرة مشابهة لما ذكره Vedel وجماعته الذين استطاعوا من عزل سلالتين تعود للنوع *E. coli* من مرضى راقدين في مستشفى في باريس وامتازت بمقاومتها لمثبت حامض الكلافيلونك بعد خلطها مع مضادات البيتاالاكتام وعزمي السبب لانتاج انواع جديدة من انزيمات البيتاالاكتاميز المقاومة للمثبت (13). وهذه من المؤشرات الخطيرة التي برزت اخيراً بظهور عتر جديد لها سمة مقاومة خليط مثبت مضاد معاً، ومن المؤمل اجراء دراسة وراثية للتحري عن العوامل الوراثية المسيطرة على مقاومة الخليط في العزلات المرضية المحلية.

جدول (1) يبين التأثير الخلطي لمثبط Clavulanic Acid ممزوجاً مع الامبسلين والأموكزاسلين وبتراكيز (0.5, 1, 2, 5) µg/ml

Amoxycillin / Clavulanic Acid				(MIC) Amox- ycillin	Ampicillin / Clavulanic Acid				(MIC) Ampic- illin	(MIC) Clavul- anic Acid	العوالي المنتجة للازاريم البيتا لاكتاميز
5	2	1	0.5		5	2	1	0.5			
64	64	128	512	> 1000	64	64	128	512	> 1000	32	E. Coli
4	32	256	512	> 1000	2	64	256	512	> 1000	32	E. Coli
2	4	256	512	> 1000	2	4	256	> 1000	> 1000	32	E. Coli
16	128	512	> 1000	> 1000	8	256	512	> 1000	> 1000	32	E. Coli
2	4	1000	> 1000	> 1000	2	8	128	> 1000	> 1000	32	E. Coli
4	64	128	> 1000	> 1000	4	128	256	> 1000	> 1000	32	E. Coli
2	8	64	512	> 1000	2	4	64	> 1000	> 1000	32	E. Coli
2	4	256	512	512	2	8	256	512	512	32	E. Coli
8	32	128	512	> 1000	4	64	128	512	> 1000	32	K. Pneumoni ae
256	256	256	512	> 1000	512	512	512	512	> 1000	32	K. Pneumoni ae
8	64	128	256	256	4	64	64	512	> 1000	32	K. Pneumoni ae
4	32	512	> 1000	> 1000	2	64	512	512	> 1000	32	K. Pneumoni ae
2	32	64	128	128	8	32	64	512	512	32	K. Pneumoni ae
8	128	256	512	> 1000	2	32	256	512	> 1000	32	K. Pneumoni ae
2	16	46	512	512	4	32	128	512	512	32	K. Pneumoni ae
2	32	46	256	256	2	64	128	256	256	32	P. Mirabilis
1	4	32	512	> 1000	2	8	64	512	> 1000	32	P. Mirabilis

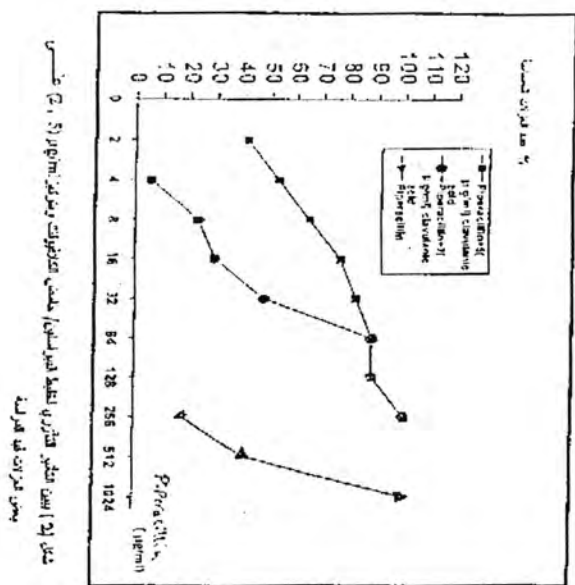
جدول (2): نتائج التأثير الخلطي لمثبت حامض الكلافولنك Clavulanic Acid مضاد الأموكازيلين Amoxicillin بنسبة (2-1) على التوالي على بعض عزلات قيد الدراسة

Amoxicillin Clavulanic Acid 2 - 1	Amoxicillin	العزلات المنتجة لأنزيم بيتالاكتاميز	
$\geq 32/16$	> 16	نقطة التوقف Mg/ml	
128	> 1000	<i>E. coli</i>	1U
16	> 1000	<i>E. coli</i>	3U
4	> 1000	<i>E. coli</i>	6U
8	> 1000	<i>E. coli</i>	7U
4	> 1000	<i>E. coli</i>	10U
8	> 1000	<i>E. coli</i>	12U
4	> 1000	<i>E. coli</i>	17U
4	512	<i>E. coli</i>	21U
8	> 1000	<i>K. pneumoniae</i>	4U
256	> 1000	<i>K. pneumoniae</i>	6U
8	256	<i>K. pneumoniae</i>	8U
8	> 1000	<i>K. pneumoniae</i>	9S
8	128	<i>K. pneumoniae</i>	11S
8	> 1000	<i>K. pneumoniae</i>	16U
8	512	<i>K. pneumoniae</i>	17S
4	256	<i>P. mirabilis</i>	3W
4	> 1000	<i>P. mirabilis</i>	8U
88.2 %	% 0	نسبة العزلات الحساسة	
11.6 %	100 %	نسبة العزلات المقاومة	

جدول (3): يبين التأثير الخلطي لمثبط Clavulanic Acid

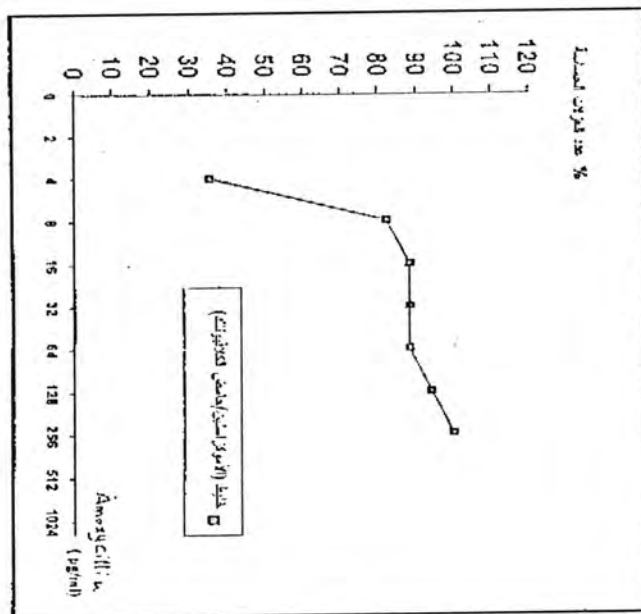
مزوجاً مع (0.5, 1, 2, 5,) µg/ml وبتركيز Piperacillin

Piperacillin + Clavulanic Acid (µg/ml)				Piperacillin	العزلات المنتجة لأنزيم البيتا-الاكتاميز
5	2	1	0.5		
256	256	1000	> 1000	> 1000	<i>E. coli</i> 1U
8	32	256	256	256	<i>E. coli</i> 3U
2	64	512	1000	> 1000	<i>E. coli</i> 6U
16	64	256	1000	> 1000	<i>E. coli</i> 7U
2	8	256	1000	> 1000	<i>E. coli</i> 10U
2	64	256	1000	> 1000	<i>E. coli</i> 12U
2	16	256	512	512	<i>E. coli</i> 17U
2	8	512	1000	> 1000	<i>E. coli</i> 21W
8	64	256	512	512	<i>K.pneumoniae</i> 4U
256	256	512	1000	> 1000	<i>K.pneumoniae</i> 6U
64	64	256	256	256	<i>K.pneumoniae</i> 8U
4	32	1000	1000	> 1000	<i>K.pneumoniae</i> 9S
2	8	512	512	512	<i>K.pneumoniae</i> 11S
16	64	256	1000	> 1000	<i>K.pneumoniae</i> 16U
4	64	512	512	512	<i>K.pneumoniae</i> 17S
2	4	256	256	256	<i>P. mirabilis</i> 3W
32	64	256	1000	> 1000	<i>P. mirabilis</i> 8U
88.2	88.2	0	0	0	نسبة العزلات الحساسة %
11.6	11.6	100	100	100	نسبة العزلات المقاومة %



شكل (ج) أصنف تباين فلاتر لخليط البوروليسن/ ملخص المتغيرات وعمرها ٥٠٠٠ ساعتين

بعض فلاتر هذه فلاتر



شكل (ج) يبيّن التباين المأذري للفلتر الأنتوك لسلسلة / ملخص المتغيرات وعمرها (١:٢)

على قدر الطلب ، على بعض المزارات في الدراسة

REFERENCES

1. Conover S.R., Hanson B.M. and Hayduk J.L., Nursing Students "Guide to Drugs" 1^{ed}. Spring House Corporation , Pennsylvania, U.S.A. (1993).
2. Gupte A., The Short Text Book of Medical Microbiology 3^{ed}, E.Jaypee Brother. (1989).
3. Hyodo A., Higashitani F., Nishida K., and Unemi N. (1997) Development of β -Lactamase Inhibitors. Nippon. Rinshomay. 55: 1272 - 1280.
4. Jacoby G.A., and Sutton L., β -Lactam Resistance in Escherichia Coli. Antimicrob. Agents Chemother. 25: 703 - 705. (1985).
5. Thomson K.S. β -Lactamases: New Challanges for the Clinical Laboratory Infectionn Diseases in Clinical Practice. 3: 436 - 471. (1995).
6. Fuch P.C., and Barry A.L. Implications of β -Lactamases Inhibitor Combinations. J. Aeprod, Med., 35: 317 - 321. (1990).
7. Cowan S.T., Cowan and Steel. Manual for the Identification of Medical Bacterio. 2nd Ed. Cambridge University Press. Cambridge. London. New York. (1986).
8. WHO Techniques for the Detection of β -Lactamas Producing Strains of Neisseria Gonorrhoeae 616: 137 - 143. (1978).
9. Stocks E.J., and Ridgway G.L. (1987). Handling Clinical Specimens for Microbiological Studies. 3rd Ed. Churchill Livingstone Edinburgh.
10. Sykes R.B. and Mathew M. The β _Lactamases of Gram- Negative Bacteria and their role in resistance to β -Lactam Antibiotics. J.Antimicrob. Chemother 2: 115 - 157. (1976).
11. Wiedeman B., Pfeifle D., Janas E. Role of Pencillin-Binding Proteins in the intiation of Ampc β -Lactamase expression in Enterobacter Colacae J. Antimicrob. Agents Chemother.44: 169 - 172. (2000).
12. Rubio M.C., Gill J.. Castill J., and Comezlus R. The susceptibility to Amoxycillin / Clavulanate of Enterobacteriaceae with Plasmid Mediated Ampicillin resistance. A twelve-year study of Strain in one Spanish Hospital J. Antimicrob. Chemother 24: 32 - 40. (1989).
13. Vedel G., Gilly L., Labia R., Phillipon A., and Paul G., Clinical Isolates of E. Coli Producing TR1 β -Lactamase Novel TEM-Enzymes conferring resistence to β -Lactamase Inhbitors J. Antimicrob . Chemother. 30: 440 - 462. (1992).

السمية المزمنة للمبيد الحشري الديايزينون في أحد أنواع

متفرعة اللوامس (*Moina affinis*)

علي عبد الزهرة اللامي

سهيلة صبار الدليمي *
هناه حنين منكلو *

قسم الأسماك ، دائرة البحوث الزراعية والبيولوجية، ص . ب 765 ، بغداد - العراق.

* قسم علوم الحياة، كلية العلوم، الجامعة المستنصرية، بغداد - العراق.

الخلاصة

شمل البحث دراسة التأثيرات السمية المزمنة للمبيد الحشري الديايزينون Diazinon في حيائنية أحد أنواع متفرعة اللوامس هو النوع *Moina affinis* من خلال دراسة جداول الحياة. كما درس تأثير المبيد المزمن في المؤشرات التكاثرية لهذا النوع فتبين حصول ضعف واضح في قابلية إناث هذا النوع على وضع البيض وانتاج الصغار من خلال تأثير تراكيز من هذا المبيد في عدد الحضنات المنتجة وحجم الحضنات في حين لم يكن لها تأثيراً ملحوظاً في اليوم الأول للتكاثر. ووُجد أن للتعرض المزمن لهذا المبيد تأثير في حجم الحيوان ومعدلات البقاء وكذلك بالنسبة لحصول حالات الانسلاخ.

ABSTRACT

The present study dealing with effects of chronic toxicity of diazinon insecticide in biology of (*Moina affinis*) a species belong to cladocera order by study its life tables. The chronic effects of the insecticide was also noticed in the reproductive parameters of this species, a clear weakness was noticed in female ability to eggs and youngs production, this was evident from the number and volume of the produced broods, whereas, no effect was noticed on the first day of reproduction. Besides, an effect was recorded in animal volume, mean longevity and moulting.

المقدمة

تعرف السمية المزمنة Chronic toxicity على أنها تأثير جرعة صغيرة من السموم خلال مدة تعرض طويلة وقد تكون مميتة lethal أو غير مميتة sublethal .⁽⁷⁾ وان اختبارات

السمية المزمنة تشمل تتبع حيوان الاختبار على الأقل لحيل واحد وهذه الاختبارات تعطي معلومات مفيدة عن التأثيرات طويلة الأمد prolonged exposure للملوثات في حيوانات الاختبار [6] و تعد الأنواع التابعة لمتفرع اللوامس Cladocera من حيوانات الاختبار المفضلة في علم السموم البيئية Ecotoxicological testing وذلك لقصر فترة حياتها Life span وحساسيتها الشديدة للملوثات ولتكاثرها العذري (8)، تناول البحث دراسة التأثيرات المزمنة لمبيد الداياتينون الحشرى في نوع من متفرع اللوامس هو النوع *M.affinis* إذ يشكل هذا النوع أهمية كبيرة من الناحية الاقتصادية لكونه غذاء طبيعياً للأسماك (5)، فضلاً عن دوره في مجال الأبحاث العلمية باعتباره دليلاً حيوياً على التلوث (1).

المواد وطرق العمل

تم عزل النوع *M. affinis* المستخدم في التجارب من أحواض الأسماك في مزرعة الزعفرانية لأسماك، ثم زراعة في دوارق زجاجية باستخدام الماء المعمر (الخالي من الكلور) كوسط زرعي مع تغذيتها على خيط من الطحالب، حفظت المزرعة في درجة حرارة 25°C وبفتره ضوئية 12 ساعة ضوء و 12 ساعة ظلام مع تزويدها بالتهوية الازمة. اختير لأجراء التجارب الحيوانات الصغيرة الأعمار (عمر 24 ساعة) وذلك بتعريفها تعرضاً مزمناً لمبيد الداياتينون ذي التركيز 4 × 10⁻⁷ ملغم/لتر ومنه حضر التركيزين 40% وذلك بتحضير المحلول الخزين لهذا المبيد بتركيز 60 ملغم/لتر ومنه حضر التركيزين 4 × 10⁻⁷ و 6 × 10⁻⁸ ملغم/لتر، حيث يتم تعریض مجموعتين من الحيوانات صغيرة الأعمار كل مجموعة ملؤفة من عشرة حيوانات وكل حيوان يوضع في حاوية زجاجية تحتوي على 29 مل من محلول المبيد المحضر بتركيز 4 × 10⁻⁷ ملغم/لتر مع 1 مل من الخليط الطحالب وبنفس الطريقة، يتم تعریض عشرة حيوانات أخرى لتركيز 6 × 10⁻⁸ ملغم/لتر كما تحضر مجموعات السيطرة بوضع عشرة حيوانات صغيرة العمر كل منها يوضع في حاوية زجاجية تحتوي على 29 مل من الماء المعمر + 1 مل من خيط الطحالب وتحفظ جميع العينات في الحاضنة لبقاء درجة الحرارة والاضاءة ضمن المدى المطلوب ويتم تبديل المحاليل وفحص العينات يومياً لدراسة ميائتي:-

1- جداول الحياة Life Tables

درست جداول الحياة باستخدام المعلومات الواردة في الجدول أدناه [1]:

X	Ix	dx	qx	Lx	Tx	ex
---	----	----	----	----	----	----

X: العمر بالأيام

Ix : عدد الاحياء في كل مرحلة عمرية

dx : عدد الوفيات في كل مرحلة عمرية

$qx = \frac{100 * dx}{Ix}$

Lx : عدد الاحياء بين معدل مرحلتين ($x-x+1$)

$$Lx = \frac{(Ix+Ix+1)}{2}$$

Tx : مجموع عدد الاحياء بين مرحلتين وتساوي ΣLx

ex : المتوقع للحياة المستقبلية $ex = \frac{Tx}{Ix}$

2- دراسة تأثير التعرض المزمن للمبييد في المؤشرات التكاثرية Reproductive Parameters

حيث تم دراسة عدد الصغار المنتجة في كل حضنة والمجموع الكلي لعدد البيوض والصغار المنتجة ومتوسط عدد الحضنات ومتوسط حجم الحضنة واليوم الاول لأنفصال البيض.

3 - دراسة تأثير التعرض المزمن للمبييد في متوسط الطول.

قياس الطول باستخدام مايكرومتر عيني وتحت عدسة مجهر ذات قوة تكبير (10x) كما درس تأثير التعرض للمبييد في معدل البقاء.

4- دراسة تأثير التعرض المزمن للمبييد في متوسط عدد الاسلاخ.

تم تحليل النتائج احصائياً باستخدام طريقة تحليل التباين الاحادي الاتجاه

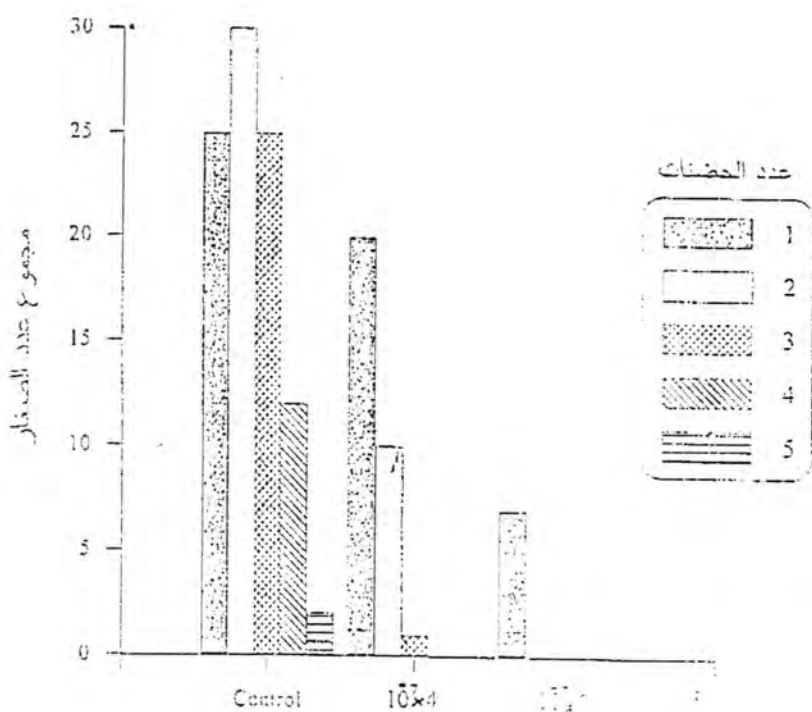
One Way Analysis of Variance (ANOVA) ولا يجاد مصادر الفروقات طبقت

طريقة الفرق المعنوي الاصغر LSD.

النتائج والمناقشة

لقد أظهرت نتائج دراسة جداول الحياة لأفراد النوع *M.affinis* المعرضة تعريضاً مزمناً لمبييد الديايزينون اختلافاً كبيراً عن مجموعة السيطرة (جدول 1). ان مجموعة السيطرة اكملت دورة حياتها في 16 يوم وكان معدل توقع الحياة عالياً في بداية العمر وسجل 11.3 يوم،اما المجموعة المعرضة لتركيز 4×10^{-7} ملغم/لتر فقد ظهر تأثيرها الواضح بالتأثير على متوسط عمر المبييد، وكما في جدول (2)، فقد اكملت هذه المجموعة دورة حياتها في 9 ايام أي بفارق 7 ايام عن مجموعة السيطرة كما أظهر معدل توقع الحياة انخفاضاً عن مجموعة السيطرة وان معدل الوفيات بدأ في اليوم الرابع من دورة الحياة.

سمية العزمنة للمبيد الحشري لذابيرينون في أحد أنواع متفرعة اللوامس (*Moina affinis*)
علي عبد الزهرة اللامي وجماعته



شكل (1) : سمية مبيد لذابيرينون في مجموع عدد الصغار المنتجة / حضنة وعدد حضنات النوع *M.affinis*

اما التعرض لتركيز 6×10^{-7} ملغم/لتر فله تأثيراً اشد حيث أكملت هذه المجموعة دورة حياتها في أسبوع واحد وبفارق 9 ايام عن مجموعة السيطرة كما سجل معدل توقع الحياة انخفاضاً كبيراً وحصلت زيادة مفاجئة في معدل الوفيات وسجل موت 90% من المجموعة في 6 ايام (جدول 3). أن مثل هذا التأثير لوحظ عند تعریض النوع *M. affinis* لتركيز مختلف من العناصر الثقيلة، فقد لوحظ انخفاض معدل توقع الحياة وان اعلى قيمة للانخفاض تحصل عند زيادة تركيز العنصر التقيل⁽¹⁾ ، ويظهر ان تركيزاً ضئيلاً من لمبيد الديايزينون كان لها اشد التأثير في دورة حياة هذا النوع من متفرعة اللوامس وهذا يعود الى حساسية الانواع التابعة لمتفرعة اللوامس للمبيدات الحشرية الفسفور عضوية بل وانها تعتبر من اكثر الاحياء حساسية لهذه المبيدات⁽⁶⁾.

يبين الشكل (1) الانخفاض الحاصل في مجموع الصغار المنتجة في كل حضنة عند مقارنة المجاميع المعاملة بمجموعة السيطرة ويبدو ان اقل مجموع للصغار كان عند تركيز 6×10^{-7} ملغم/لتر حيث أعطت الاناث حضنة واحدة نتج منها سبعة صغار فقط. لقد لاحظ العديد من الباحثين حصول حالة انخفاض عدد الصغار المنتجة في كل حضنة بعد التعرض المزمن للمبيدات فقد وجد ان حجم الحضنة الاولى المنتجة من النوع *Daphnia magna* وبباقي الحضنات قد انخفض عند التعرض لمبيد الديايزينون⁽⁸⁾.

ويبدو ان لمبيد الديايزينون تأثيراً مباشراً في خفض القدرة الانتاجية للنوع *M. affinis* فقد أعطت مجموعة السيطرة اعلى مجموع للبيوض والصغار وانخفض هذا المجموع بنسبة كبيرة عند التعرض لمبيد (جدول 4). وقد لوحظ ان تعریض النوع *D. magna* لمبيد الديايزينون سبب انخفاض في مجموع البيوض والصغار المنتجة وانه بتركيز 0.5 نانوغرام /لتر من هذا المبيد فان النوع *D. magna* لم يصل الى مرحلة الانتاج⁽⁸⁾. ونفس الحالة لوحظت مع النوع *M. macrocoda* عند تعریضها لمبيد الديايزينون بتركيز 10 ميكروغرام /لتر كما ان عدد الصغار المنتجة قل بالتعرض لتركيز 1 ميكروغرام /لتر منه⁽¹⁰⁾. وتتفق هاتين الدراستين مع نتائج الدراسة الحالية . لقد سبب التعرض المزمن لمبيد الديايزينون انخفاضاً في متوسط عدد الحضنات ومتوسط حجم الحضنة الا انه لم يؤثر في اليوم الاول لانتاج البيض (جدول 5)، وهذا يتفق مع ما توصل اليه سانجز وجماعته⁽⁸⁾ من ان لمبيد الديايزينون يسبب انخفاض في عدد وحجم الحضنات المنتجة من قبل النوع *D. magna*، كما لوحظ ان عدد الحضنات يقل عند تعریض النوع *D. magna* بعدد من المبيدات الحشرية⁽²⁾. ولوحظ ان لمبيد الديايزينون

تأثيرا فى اليوم الاول لاتج البيض فى النوع *M.macrocpa*⁽¹⁰⁾ ، فيما لم يؤثر مبيد *D. magna* ⁽⁴⁾ في اول يوم لاتج البيض للنوع *fenoxy carb*.

ان التعرض لمبيب الداياتينون نتج عنه انخفاضا كبيرا فى متوسط الطول للمجموعتين المعرضة للمبيب (جدول ٤). وقد لاحظ العديد من الباحثين حصول هذه الحالة، فقد قل طول النوع *D. magna* المعرضة نسب الداياتينون ⁽⁸⁾، وقد وجد ان هناك علاقة سلبية بين الطول فى النوع *D.longicephala* وبين تركيز مبيب الكارباريل *Carbaryl* ⁽³⁾، الا ان اهم واشد تأثير لمبيب الداياتينون في نوع *M. affinis* كان واضحا في تأثيره في معدل بقاء افراد هذا النوع اذ اختزلت أيام بقاء تجموئين المعرضتين لهذا المبيب اختزالا كبيرا عن مجموعة السيطرة (جدول ٤) مما يشير الى اهمية هذا المؤشر في تجارب السمية المزمنة للمبيبات. وقد وجد ان بقاء النوع *D. magna* قد انخفض كثيرا عند تعریضها لتركيز ٠.١ ذانوغرام/لتر من هذا المبيب ⁽⁸⁾ ، كما ان ذلك بقاء النوع *M.macrocpa* تأثر بالالتعرض لتركيز ١ مايكروغرام/لتر من مبيب الداياتينون ⁽¹⁰⁾ .

اما تأثير المبيب تحرر من في عدد الانسلاختات الحاصلة، فقد لوحظت حالة زيادة في عدد الانسلاختات (جدول ٦) على الرغم مما يبدو ظاهريا، اذ ان مجموعة السيطرة اعطت ما مجموعه 46 انسلاخ خلال فترة حياة البالغة ١٦ يوما ، في حين ان المجاميع المعرضة وخصوصا عند تركيز 6×10^{-7} ملغم/لتر كانت النتائج المستحصلة لها خلال مدة لا تتجاوز السبعة ايام وعلى الرغم من ذلك كان مجموع عدد الانسلاختات في هذه المجموعة ٤٠ انسلاخا مما يشير الى وجود تأثير محفز على الانسلاخ لهذا المبيب وان مثل هذا التأثير المحفز لوحظ عند تعریض النوع *D. magna* لمبيب احشوات الفسفور العضوي الباراثيون *Parathion* ⁽⁹⁾ كذلك وجد ان تركيز *Tebufenozide* تثيرا في الانسلاختات وان حصول الوفاة في النوعين *D. magna* و *Artemia sp.* كان مرتبطة بالانسلاختات ⁽²⁾ .

وخلالقة القول يتضح ان لمبيب الداياتينون تأثيرات سمية كبيرة في جميع المؤشرات الحياتية للنوع *M. affinis* فهو يؤثر في دورة حياة هذا النوع كما يؤثر سلبا في جميع المؤشرات التکاثرية لانما يؤثر في حجم الحيوان ومعدل بقاءه ويؤثر في حصول حالات الانسلاخ، مما يشير الى سمية كل مؤشر من المؤشرات المدروسة على انه نقطة نهاية حساسة في اختبارات السمية وهذا يتفق مع ما توصل اليه سانجز وجماعته ⁽⁸⁾ .

جدول (1) : جدول الحياة لمجموعة السيطرة لنوع *M. affinis*

العمر بالايات <i>x</i>	عدد الاحياء <i>Ix</i>	عدد الاموات <i>dx</i>	معدل الوفيات <i>qx</i>	عدد الاحياء بين معلم مرحلتين <i>Lx</i>	مجموع عدد الاحياء بين معلم مرحلتين <i>Tx</i>	المتوقع للحياة المستقبلية <i>ex</i>
1	10	0	0	10	113	11.3
2	10	0	0	10	103	10.3
3	10	0	0	10	93	9.3
4	10	0	0	10	83	8.3
5	10	0	0	10	73	7.3
6	10	0	0	9.5	63	6.6
7	9	1	0.11	9	53.5	5.9
8	9	0	0	9	44.5	4.9
9	9	0	0	8.5	35.5	4.1
10	8	1	0.12	8	27	3.3
11	8	0	0	8	19	2.3
12	8	0	0	6.5	11	1.6
13	5	3	0.6	3	4.5	1.5
14	1	4	4	1	1.5	1.5
15	1	0	0	0.5	0.5	1
16	0	1	-	-	-	-

السمية المزمنة للمبيد الحشري الديايزينون في أحد أنواع متفرعة اللوامس (*Moina affinis*)
على عبد الزهرة الامي وجماعته

جدول (2) : جدول الحياة للمجموعة المعرضة لمبيد الديايزينون بتركيز 4×10^{-7} ملغم/لتر
للنوع . *M. affinis*

X	I _x	d _x	Q _x	L _x	T _x	e _x
1	10	0	0	10	55	5.5
2	10	0	0	10	45	4.5
3	10	0	0	9.5	35	3.6
4	9	1	0.11	7.5	25.5	3.4
5	6	3	0.5	6	18	3
6	6	0	0	6	12	2
7	6	0	0	4.5	6	1.3
8	3	3	1	1.5	1.5	1
9	0	3	-	-	-	-

جدول (3) : جدول الحياة للمجموعة المعرضة لمبيد الديايزينون بتركيز 6×10^{-7} ملغم/لتر
للنوع . *M. affinis*

X	I _x	d _x	Q _x	L _x	T _x	e _x
1	10	0	0	10	46	4.6
2	10	0	0	10	36	3.6
3	10	0	0	10	26	2.6
4	10	0	0	10	16	1.6
5	10	0	0	5.5	6	0.6
6	1	9	9	0.5	0.5	0.5
7	0	1	-	-	-	-

جدول (4) : سمية مبيد الديايزينون في معدل البقاء ومتوسط الطول الكلي والمجموع الكلي للبيوض والصغار المنتجة (+ الخطأ المعياري) للنوع *M. affinis*.

المجموع الكلي للصغار <i>SE ±</i>	المجموع الكلي للبيوس <i>SE ±</i>	متوسط الطول الكلي (ملم) <i>SE ±</i>	معدل البقاء بال أيام <i>SE ±</i>	التركيز (ملغم/لتر)
3.30 ± 94 أ*	3.801 ± 134 أ**	0.020 ± 0.71 أ***	0.80 ± 11.8 أ***	السيطرة
1.168 ± 31 ب*	1.10 ± 56 ب**	0.013 ± 0.64 ب***	0.632 ± 6.0 ب***	10×4
0.472 ± 7 ج***	0.538 ± 37 ج**	0.008 ± 0.58 ج***	0.10 ± 5.1 ج***	10×6

* الاحرف غير المتشابهة تعني وجود فروقات معنوية عند مستوى ($P = 0.05$).

** الاحرف غير المتشابهة تعني وجود فروقات معنوية عند مستوى ($P = 0.01$).

*** الاحرف غير المتشابهة تعني وجود فروقات معنوية عند مستوى ($P = 0.001$).

جدول (5) : سمية مبيد الديايزينون في متوسط عدد الحضنات (+ الخطأ المعياري) ومتوسط حجم الحضنة واليوم الاول لانتاج البيض للنوع *M. affinis*.

اليوم الاول لانتاج البيض	متوسط حجم الحضنة (بيضة)	متوسط عدد الحضنات <i>SE ±</i>	التركيز ملغم/لتر
3	6.62	0.611 ± 2.2	السيطرة
3	5.1	0.306 ± 1.6	10×4
3	2.9	0.00 ± 1.0	10×6

جدول (6) : سمية مبيد الديايزينون في متوسط عدد الانسلاختات النوع *M. affinis*

متوسط عدد الانسلاختات $SE \pm$	المدى	التركيز (ملغم/لتر)
0.520 ± 4.6 (أ)	8-6	السيطرة
0.448 ± 2.3 (ب)	4-0	$^{-7} 10 \times 4$
0.577 ± 4.0 (أ)	4-2	$^{-7} 10 \times 6$

. الاحرف غير المتشابهة تعنى وجود فروقات معنوية عند مستوى ($P = 0.01$)

المصادر

1- رشيد ، خالد عباس(1999). أستخدام بعض الهايمات الحيوانية دليلا حيويا على تلوث المياه بالعناصر الثقيلة . أطروحة دكتوراه، كلية العلوم / الجامعة المستنصرية . 152 صفحه.

- 2- Baer , K.N. and Owens , K.D. (1999) Evaluation of selected endocrine disrupting compound on sex determination in *Daphnia magna* using reduced photo period and different feeding rates . Bulletin of Environ Contam Toxicol., 62:2,214-221.
- 3- Barry ,M.J. (1999) The effects of pesticide on inducible phenotypic plasticity in *Daphnia* . Environmental Pollution . 104:2,217-224; 39 ref.
- 4- Hosmer, A. J.; Warren, L. W. and Ward, T. J. (1998) Chronic toxicity of pulse-dosed fenoxycarb to *Daphnia magna* exposed to environmentally realistic concentration. Environ. Toxicol. and chemistry. 17: 9, 1860- 1866.
- 5- Lazim , Mudhaffar N. and Faisal , Mahir Z. (1989) Laboratory studies on the longevity , instar duration , growth and reproduction in *Moina rectirostris* (Leydig) (Cladocera-Minidae). J. Biol. Sci. Res. vol.20(3).
- 6- Peters, R. H. and Debernardi, R. (1987) Daphnia, MeM. Ist. Ital. Idrobiol., 45:461-482.
- 7- Ross, S. M. (1994) Toxic metals in soil-plant Systems. Dept. of Geography, University of Bristol, UK. John Wiley and Sons.

- 8- Sanchez, M.; Ferrando, M. D.; Sancho, E. and Andreu-Moliner, E. (1998) Evaluation of a *Daphnia magna* renewal Life- Cycl test method with diazinon. J. Environ. Sci. Health, B33(6), 785-797.
- 9- Sosak, S. B.; Tyrawska, D.; Dzido, D. and Camatini, M. (1998) *Daphnia magna* ecotoxicity test with parathion. Univ. of Milano, Chemosphere. 37: 14-15, 2989-3000.
- 10- Wong, C.K.(1997)Effects of diazinon on some population parameters of *Moina macrocoppa* (cladocera). Water, Air and Soil Poll. 94 :3-4, 393-399.

تأثير التلدين على الخواص التركيبية للأغشية ثاني أوكسيد الجermanيوم الرقيقة

بعد عبد الباري توفيق ابراهيم رمضان عاكول رعد سعدون صبري رحيم كعید

الخلاصة

في هذا البحث تم تحضير ودراسة أغشية أوكسيد الجermanيوم الرقيقة باستخدام تقنية التبخير الحراري في الفراغ ودراسة تأثير التلدين ولمدى حراري K (373-771) على الخواص التركيبية من خلال دراسة حيود الأشعة السينية (X-Ray) والمجهر الإلكتروني الماسح (SEM)، وقد وجد أن التلدين على العموم يحسن التبلور للأغشية.

المقدمة

أن دراسة الخواص التركيبية للأغشية الرقيقة للمواد تعتبر أساسية لمعرفة خواص تلك المادة وطبيعتها الداخلية وكذلك تشخيص المادة ومعرفة امكانية إدخالها في تطبيق معين حيث أن أغلب النباتات الالكترونية تعتمد بشكل كبير على نوعية التركيب البلوري^(1,2) فمثلاً المواد العشوائية ذات التركيب الذري القصير المدى تختلف كثيراً عن المواد متعددة التبلور أو أحديه التبلور من ناحية الخواص البصرية والكهربائية⁽³⁾ حيث أن العيوب البلورية الموجودة في المواد تسبب تغير في خواصها بشكل كبير⁽⁴⁾، أن أغشية GeO_2 هي أغشية عشوائية كما وجدتها العديد من الباحثين السابقين^(5,6) وتحوي على عيوب بلورية كثيرة تبعاً لطريقة التحضير⁽⁷⁾، وأن من أهم العمليات التي تجرى على الأغشية لنقل أو إزالة هذه العيوب هي التلدين، حيث وعلى العموم فإن أغشية أشباه الموصلات تقل مقاومتها بعد التلدين^(4,8,9) وذلك لأن التلدين يؤدي إلى إعادة انتظام الذارات والتخلص من العيوب البلورية⁽¹⁰⁾ ويهدف هذا البحث إلى دراسة الخواص التركيبية لمادة وغشاء GeO_2 بواسطة حيود الأشعة السينية والمجهر الإلكتروني الماسح ومعرفة تأثير التلدين على تلك الخواص.

الجزء العملي

تم تحضير أغشية ثانى أوكسيد اجرمانيوم على قواعد زجاجية (منظفة مسبقاً بالماء المقطر والكحول)، بواسطة تقنية التبخير الحراري في الفراغ وباستخدام منظومة (Edward) (Edward) تحت ضغط 10^{-5} Torr وسك A 4000 وتم حساب السمك بالطريقة الوزنية والتاخلص الضوئي، بعدها جرى تلدين الأغشية لدرجات حرارية K (373, 473, 573, 673, 773) (373, 473, 573, 673, 773) باستخدام فرن من نوع (Carbolite) أنكليزي المنأ، ولمدة ساعة واحدة.

وشملت القياسات التركيبية المادة الأساسية والأغشية قبل وبعد التلدين وتتضمن هذه القياسات حبيبات الأشعة السينية (X-Ray) لتشخيص المادة ومعرفة تركيبها البلوري وذلك باستخدام جهاز حبيبات الأشعة السينية نوع (Philips X-Ray Diffractometer) وكذلك تم استخدام فحص الأغشية باستخدام المجهر الإلكتروني الماسح (SEM) باستخدام جهاز من نوع JEOL JSM-6400 موديل ياباني نحن نحن للتعرف على طبيعة سطح الأغشية ومعرفة مدى تجانسها من خلال تراص حبيباتها والتتأكد من خلوها من الصدوعات والفراغات والشققات (Cracks) الدقيقة المحتمل وجودها أو تكتلات مادة الغشاء والتقويب الابري.

النتائج والمناقشة

يوضح الشكل (1) مخطط طيف حبيبات الأشعة السينية لمحض مركب GeO_2 ويلاحظ منه وجود عدد من القمم وهذا يدل على كون المادة هي متعددة التبلور (Polycrystallin) والشكل (2) يوضح أطيف حبيبات الأشعة السينية لأغشية GeO_2 المحضرة بالتبخير الحراري في الفراغ قبل وبعد التلدين بدرجات حرارية تبلغ K (373, 473, 573) ولمدة ساعة، ويلاحظ من الشكل أنه لا وجود لأية قمة في تركيب هذه الأغشية أي أن المادة هي عشوائية التركيب. ومن خلال الصور الفوتغرافية لمحض مركب GeO_2 في الشكل (3) والتي توضح صورة مجهرية للمادة باستخدام المجهر الإلكتروني الماسح (SEM) نلاحظ وجود حبيبات (Grains) في التركيب البلوري للمادة في حالتها الحجمية (Bulk) مما يدل على كونها متعددة التبلور وهذا يؤكّد نتائج فحوصات الأشعة السينية للسجوق ، أما الشكل (4) فيعطي صورة مجهرية لغشاء GeO_2 قيل

التلدين ويتبين منها عدم وجود آية حبيبات في التركيب الداخلي للمادة أي أنها عشوائية التركيب وهذا يتفق مع البحوث السابقة في هذا المجال^(5, 10, 11).

أما عند التلدين بدرجات حرارة K(673, 773) ولمدة ساعة أيضاً فنلاحظ من خلال الشكلين (5,6) ظهور قسم في طيف حيود الأشعة السينية أي أن الغشاء تحول إلى متعدد التبلور عند التلدين بهذه الدرجات.

وسبب تحول المادة من حالتها العشوائية إلى متعددة التبلور عند اجراء المعاملة الحرارية، يمكن ان يعزى إلى ان الجرارة تؤدي إلى تحفيز ذرات المادة على الانقسام بصورة أكبر ونقل العيوب البلورية⁽¹²⁾.

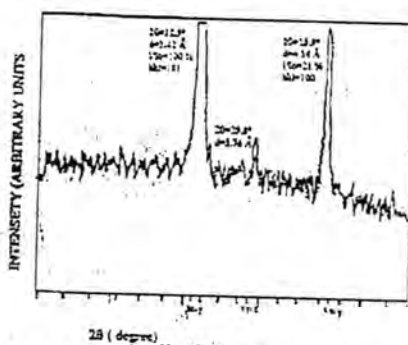
ومن خلال مقارنة قيم المسافة البينية (d) مع بطاقة المؤسسة الأمريكية لفحص المواد(American Standard of Testing Materials)(ASTM) يتبيّن بأن تركيب هذه الأغشية هو من النوع السادس (Hexagonal Unit) كما ونلاحظ من خلال هذه الأشكال بأن قمم برّاك تكون أكثر حدة وأرتفاع عند التلدين بدرجة K 673 مما هي عليه عند التلدين بدرجة K 773K، ويمكن تفسير هذا الأرتفاع إلى زيادة الترتيب الداخلي للذرات ونقصان العيوب البلورية للغشاء مما يساعد على نمو الحبيبات والتحامها مع بعضها البعض في عملية التلدين وأن زيادة الترتيب المنظم داخل التركيب البلوري يؤدي إلى زيادة نسبة الأشعة السينية المنعكسة عن المستويات البلورية نتيجة لأنظام تلك المستويات عند هذه الدرجة الحرارية (673K) بينما يفسر الانخفاض في قمم برّاك عند درجة تلدين (773K) على أساس أن هذه الدرجة تؤدي إلى حركة الذرات من مواقعها الأصلية إلى اتجاه أقل طاقة وأكثر استرخاء ولكنها ليست كافة إلى أ يصلها إلى مواقعها النهائية فتحدث حالة وسطية هي في الواقع أقل انتظاماً من الحالة الاولية. مثل هذه الحالة ليست غريبة في عمليات التحول حيث أن أي تحول يمر بمراحل متعددة من الاضطراب قبل الوصول إلى الحالة النهائية (المستقرة)، وأن نتائج فحوصات المجهر الإلكتروني الماسح (SEM) والموضحة بالأشكل (7,8) تؤكد ما توصلنا إليه من خلال فحوصات الأشعة السينية حيث نلاحظ من خلال الشكل (7) بأن الغشاء يحوي على بلورات متعددة أي أنه عند التلدين بدرجة K 673K تحول الغشاء إلى متعدد التبلور، بينما نلاحظ من خلال الشكل (8) للأغشية المذكورة عند درجة K 773 بأن حجم الحبيبات أصغر منه للأغشية المذكورة عند درجة K 673، أي أن الأغشية أصبحت ذات تبلور أقل، ورجوعاً إلى الشكل (1) وملاحظة طيف حيود الأشعة السينية لمحضون GeO_2 نرى ظهور قيمة برّاك ذات شدة قليلة عند زاوية انعكاس 29.8° وعند

سعد عبد الباري توفيق وجماعته

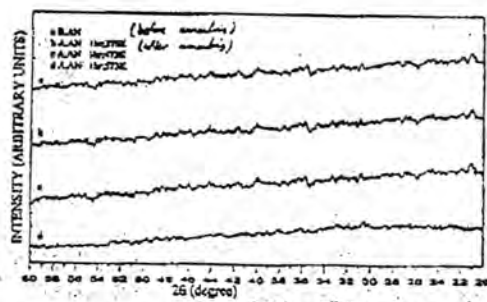
مقارنتها مع بطاقة (ASTM) لم نجد لها زاوية تطابقها أو قريبة منها، وقد قمنا بأجراء فحوصات (X-Ray Flourescence) للتأكد من أن المادة هي GeO_2 ومعرفة مصدر هذه القيمة، وقد تبين أن المادة هي GeO_2 ولا تحتوي عناصر أخرى في تركيبها ولكن هناك أحتمال وجود مواد عضوية أثناء تصنيع المركب.

الاستنتاجات

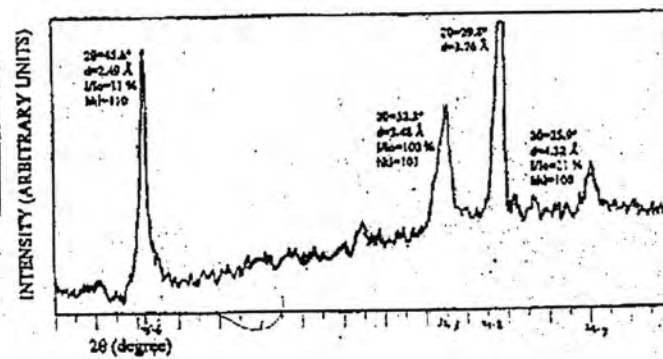
أن مسحوق مادة GeO_2 هو ذا تركيب متعدد التبلور وأن غشاء هذه المادة المحضررة بطريقة التبخير الحراري في الفراغ هو عشوائي التركيب وأن الدرجة الحرارية المناسبة لتحول الغشاء إلى غشاء متعدد التبلور هي (673K) وبعد هذه الدرجة يقل تبلور المادة.



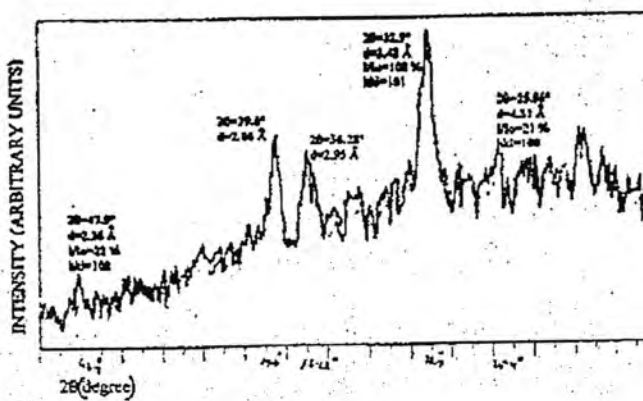
شكل 1: نتائج حبود الأشعة السينية لمسحوق GeO_2



شكل 2: نتائج حبود الأشعة السينية لغشاء GeO_2 الرقيق للسمك 4000°A قبل التلدين وبعد عدّة درجات حرارية مختلفة وزمن ثابت



شكل 3: نتائج حبيبات الأشعة السينية لغشاء GeO_2 الرقيق للسمك 4000 \AA عند درجة حرارة 673K.



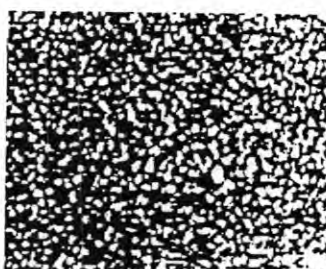
شكل 4: نتائج حبيبات الأشعة السينية لغشاء GeO_2 الرقيق للسمك A 4000 \AA عند درجة حرارة 773K.



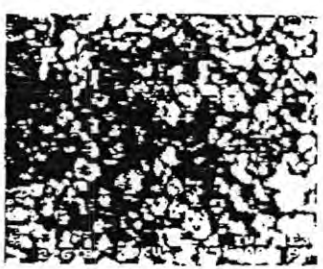
شكل 6: صورة مجهرية لفشاء مادة GeO_2 الرقيق ذي المسک قبل المعانة الحرارية 4000°A



شكل 5: صورة مجهرية لسحوق مادة GeO_2



شكل 8: صورة مجهرية لفشاء مادة GeO_2 الرقيق ذي المسک 4000°A بعد عند درجة $.773\text{K}$



شكل 7: صورة مجهرية لفشاء مادة GeO_2 الرقيق ذي المسک 4000°A بعد عند درجة $.673\text{K}$

REFERENCES

1. Lawwecel Razmerski, Polycrystalline and Amorphous Thin Films and Devices", (New York, Academic), (1980).
2. F.A. Abou Elfotoh "Thin Solid Films" Vol., 2, No. 10, (1982).
3. Jacques Pankove "Optical Processes in Semiconductors" Dover Publications, Inc. New York, (1975).
4. S.S. Al-Rawi, S.J. Shakir, Y.M. Hassan, "Solidstate Physics" Al-Mosul University, (1990).
5. Wong, "J. Appl. Phys." Vol. 44, P.5629 (1976).
6. Hoyarth and M.Y. Nadeem "Phys. Stat. Sol.1 (d) 68, K181 (1991).
7. R.G. Al-Morshady, University of Al-Mustansiriyah, College of Science, Physics Departement, M.Sc. Thesis, (2000).
8. Donald, A. Neame, "Semiconductors Physics and Devices" Basic Principles, University of New Mexico (1992).
9. R.A. Smith "Semiconductors Cambridge Press, 2nd ed (1987).
10. K. Segger "Semiconductors Physics". 2nd ed. New York (1980).
11. M.N. Makadsi, "Material Science", Baghdad University, (1990).
12. N.F. Mott, E.A. Davis "Electronic Process in Non-Crystalline Materials", 2nd.., Clarendon Press, Oxford, (1979).

تأثير المخلفات النباتية للطماطة في انبات البذور والنمو لاصناف من الحنطة

Triticum durum

صلاح محمد سعيد الطائي

قسم علوم الحياة / كلية العلوم / جامعة الموصل

ABSTRACT

This research was conducted in Glass house to study the effect of tomato residues and its soil, on the germination, seedling growth of the wheat Cultivars (WAHA, IM – RABBI, SIN-AL-JAMAL, and KASTAL). The results showed a significant differences in seed germination, plant height, Root length, Shoot and root dry weight and chlorophyll, protein content of the leaves for the studies cultivars.

الخلاصة

اشتمل البحث على تجارب في البيت الزجاجي لدراسة تأثير مخلفات الطماطة والتربة النامية فيها في انبات البذور ونمو البادرات لاصناف من الحنطة (واحة، ام-ربع، سن الجمل وقساطل). اظهرت النتائج وجود فروقات معنوية في نسب الابنات وارتفاع النبات وطول الجذر والوزن الجاف للمجموع الخضري والجزري ومتوى الكلورفيل والبروتين الكلي في الاوراق لاصناف التي تضمنتها الدراسة.

المقدمة

تعد محاصيل الحبوب مهمة في حياة الانسان اذ تحتل جزءاً كبيراً من الغذاء اليومي الرئيسي له. ويعتبر محصول الحنطة من أهم هذه المحاصيل واكثراها زراعة وانتاجاً Gallagher, 1984). وترجع اهمية الحنطة كغذاء للانسان الى احتواء حبوبها على بروتينات الكلايدين والكلووتين التي تكون مع الماء مركباً يطلق عليه الكلووتين الذي يمتاز بقابليته المطاطية ويساعد عجينة الخبر في الاحتفاظ ثاني اوكسيد الكاربون. وبصورة عامة فإن المزايا الرئيسية التي جعلت للحنطة اهمية في غذاء الانسان هي الموازنـة الجيدة في البروتينات والكاربوهيدرات حيث تحتوي على نسبة عالية من النشا والبروتين ونسبة معينة من الدهون والسكر والعناصر

المعدنية (اليونس واخرون، 1987). تنتشر زراعة الحنطة في جميع أنحاء العراق وتعد المنطقة الشمالية من أهم مناطق زراعة وانتاج الحنطة.

لاحظ العديد من الباحثين انخفاضاً واضحاً في النمو والحاصل لبعض المحاصيل نتيجة لزراعه المحصول في نفس الحقل لسنوات متالية او نتيجة لبقاء المخلفات النباتية للمحصول الذي يسبقه في الزراعة فقد عزى الباحثون السبب في ذلك إلى ظاهرة الاليلوباثي، والاليلوباثي مصطلح اطلق من قبل (Molisch, 1937) للربط بين الكائنات الاغريقتين Allelopathy Pathy, Allelo التي تعني التداخل المتبادل بين الكائنات او التأثيرات الضارة والنافعة بين النباتات التي تحدث من خلال التأثيرات الكيميائية، في حين استخدم العالم (Rice, 1974) مصطلح الاليلوباثي مشيراً إلى التأثيرات البايوكميائية السلبية لنبات ما في نبات آخر من نفس النوع او ضمن الانواع المختلفة وبضمها الكائنات الدقيقة وفي عام (1984) شمل Rice كلًا من التأثيرات البايوكميائية الضارة والنافعة والتي تحصل بين الكائنات.

التأثير الاليلوباثي للمحاصيل يشمل التأثير (التشيطي والتحفيزي) والذي ينتج عن المركبات الاليلوباثية (Allelo chemical) أي الكيميويات التضادية المتحركة من النباتات عن طريق افرازات الجذور ومسولات الاجزاء النباتية لتؤثر في النباتات المجاورة او التي تعقبها في الزراعة في نفس الحقل، او تحلل المتبقيات النباتية المتمثلة في الاوراق، الشار السوق والجذور وتحمر المركبات الفايتوتكينية بوجود الكائنات الدقيقة في التربة. (Lynch & Cannel, 1980)، وإن التأثيرات الاليلوباثية للمركبات المتحركة من أي حزء من النبات سواء أكانت بذوراً او ساقاناً او ازهاراً او جذوراً، وتعد الاوراق والجذور مصدرًا رئيسيًا لهذه المركبات، وتكون هذه التأثيرات على الاغلب سالبة حيث تتضمن التأخير او التشويط الكامل لإنبات البذور واختزال النمو وعدم تكوين الجذور والقمع النامي واتلافها واحتلال في نمو النباتات وذبولها.

أن محصول الحنطة يزرع في المناطق الشمالية والوسطى من العراق بعد محصول الطماطة بالإضافة لذلك فإن الطماطة من المحاصيل التي تزرع في مناطق عديدة من محافظة نينوى (خاصة منطقة ربيعة) وتبقى مخلفات الطماطة في الحقل بعد الحصاد ثم تحرث التربة مع المخلفات، عليه فان الهدف من البحث هو معرفة التأثيرات الاليلوباثية لمحصول الطماطة في نمو بعض اصناف من الحنطة.

المواد وطرق البحث

جمع النماذج النباتية

جمعت المخلفات النباتية للطماطة *Lycopersicon esculentum* Mill (الجزء الخضري والجذري) من الحقل وتم تجفيف الاجزاء النباتية هوائياً وقطعت الى قطع صغيرة وسحقت في هاون خزفي وحفظت في اكياس بلاستيكية.

مصدر بذور اصناف الحنطة

اختيرت اربعة اصناف من الحنطة الخشنة *Triticum durum* L وهي صنف واحدة وقسطل وأم ربيع وسن الجمل تم الحصول عليها من هيئة فحص وتصديق البذور للمنطقة الشمالية / نينوى.

و اختبرت حيوية البذور باستعمال مادة تترازيبوليم كلورايد (Burk, 1975).

تجارب البيت الزجاجي

تم مزج مسحوق مخلفات الطماطة مع التربة وبنسبة اضافة 3% وزن : وزن كما استخدمت تربة بدون اضافة المخلفات (المقارنة) وبعد المزج بشكل جيد وضع المزيج في اصص بلاستيكية سعة 3 كغم تربة واضيف الى كل اصيص 250 س³ من الماء وسدت فوهات الاوصص بخنطاء من النايلون ذات خمسة ثقوب لغرض التهوية، بعدها وضعت الاوصص بصورة عشوائية في داخل البيت الزجاجي وتركت لفترة تحضير اسبوع واحد فقط. وقد اخذت عينات من التربة بعد انتهاء فترة التحضير وزرعت التربة في اوصص بلاستيكية بقطر 10 سم وارتفاع 13 سم وزرعت 10 بذور من الحنطة بمسافات منتظمة فيما بينها لكل صنف في كل اصيص وبعمق 1 سم عن سطح التربة وسقيت بالماء الاعتيادي ووضعت في البيت الزجاجي وقد سجلت قراءات لدرجات الحرارة (العظمى والصغرى) وبمعدل شهري (العظمى 22 °م والصغرى 8 °م). بعد ذلك خفض عدد البادرات الى خمس بمسافات متساوية فيما بينها وتم الحفاظ على مستوى رطوبة التربة عند مستوى 75% من السعة الحقلية.

الصفات المدروسة

$$1. \text{ النسبة المئوية لالنبات} = \frac{\text{عدد الابارات الظاهرة}}{\text{عدد البذور المزروعة}} \times 100$$

(Sayed, 1984)

2. ارتفاع النبات (سم) لفترات معينة بعد الزراعة (8, 4,2, 6 اسابيع).

3. الوزن الجاف لالجزء الخضري والجزء الجذري. بعد انتهاء مدة التجربة قلعت النباتات ثم فصلت الأجزاء الخضرية عن الأجزاء الجذرية وتم قياس ارتفاع الجزء الخضري وتعمق الجزء الجذري (عمق الجذور) ثم حففت في فرن كهربائي درجة حرارته 70° م لمندة 72 ساعة وبعد ها سجات اوزانها الجافة.

4. تقدير محتوى البروتين الكافي في الاوراق حسب طريقة (Lowrey et al, 1951).

5. تقدير محتوى الكلورفييل في الاوراق، قدر محتوى الكلورفييل (أ، ب) حسب طريقة (Kundson et al. 1977). حيث اخذ 0.5 غم من الاوراق وسحقت واضيف اليها 10 سم³ من الكحول الائيلي تركيز 95% ووضعت في الظلام لمدة 24 ساعة وكررت العملية ثلاثة مرات لضمان استخلاص جميع الكلورفييل بعد ذلك جمعت محليل الاستخلاص ورشحت، واكمل الحجم الى 100 ملتر بـلايتانول، ثم قيس الامتصاص عند طول موجي (665، 649 نانوميتر) باستخدام جهاز قياس الطيف الضوئي نوع (Pye Unicom-Sp 600 spectrophotometer) بعد ذلك حسبت كمية الكلورفييل (أ، ب) حسب المعادلة الآتية :

$$\frac{\text{Mg Chloroglylla}}{\text{Ml Solution}} = (13.7)(\text{A665}) - (5.76)(\text{A649nm})$$

$$\frac{\text{Mg Chorophyll b}}{\text{Ml Solution}} = (25.8)(\text{A649}) - (7.6)(\text{A665nm})$$

(Wintermans & Demots, 1965)

نفذت التجارب حسب تصميم القطاعات العشوائية الكاملة (R.C.B.D) كتجارب عاملية، وتم اجراء التحليل الاحصائي للنباتات باستخدام الحاسوب الآلي واستخدام اختبار اقل فرق معنوي (L.S.D.) للتمييز بين متطلبات المعاملات.

النتائج والمناقشة

تشير النتائج المدونة في الجدول (1) إلى وجود فروقات معنوية في النسبة المئوية للأنبات وارتفاع نباتات الحنطة النامية في الترب المختلفة وحصول زيادة معنوية في نسبة النبات وارتفاع النباتات للأصناف المزروعة في الترب التي أضيفت إليها مخلفات الطماطة بنسبة 1% وزن : وزن مقارنة مع تربة المقارنة (بدون اضافة)، مع ملاحظة ان الزيادة كانت أعلى بزيادة نسبة الاضافة أي عمد النسبة 3% ولفترات التي فيها قياس النسبة المئوية وارتفاع النبات. كذلك لوحظت فروقات معنوية بين اصناف الحنطة حيث تبين ان افضل نسبة لنبات للصنف واحده 92.5% مع افضل ارتفاع للصنف قسطل، بينما كانت نسبة الانبات للصنف قسطل 84.5% واقل ارتفاع في نباتات الصنف ام ربيع، كما اظهر التداخل بين الاصناف والاضافات وجود فروقات معنوية عند المستوى 5% بين المعاملات حيث لوحظت اعلى زيادة في نسبة الانبات للصنف واحده 94.6% عند نسبة الاضافة 1% و 3% وكذلك للصنف ام ربيع 94.6% عند نسبة الاضافة 3% واقل نسبة انبات 80.6% للصنف قسطل عند نسبة الاضافة 1%. اما بالنسبة لارتفاع النبات فتمثل اعلى ارتفاع في الصنف سن الجمل. النامي في التربة التي أضيفت إليها مخلفات الطماطة بنسبة 3% في حين اقل زيادة (20.2) لوحظت في نباتات الصنف ام ربيع النامية في التربة التي أضيفت إليها مخلفات الطماطة بنسبة 3% بعد فترة 8 اسابيع من الزراعة، في حين لم يلاحظ فروقات في ارتفاع النبات للأصناف كافة النامية في تربة الطماطة مقارنة مع النباتات النامية في تربة المقارنة (بدون اضافة).

عند مقارنة المتوسطات الحسابية المدونة في الجدول (2) لوحظ زيادة معنوية في نمو نباتات الحنطة وللأصناف المختبرة عند زراعتها في التربة التي أضيفت إليها مخلفات الطماطة بنسبة 1 و 3% مقارنة مع النباتات النامية في تربة المقارنة (بدون اضافة)، كما ظهرت زيادة غير معنوية في نمو نباتات الحنطة النامية في تربة الطماطة مقارنة مع النباتات النامية في تربة خالية من فروقات الطماطة حيث لوحظ زيادة في ارتفاع النبات النهائي وطول الجذر والوزن الجاف للجزء الخضري والجذري علماً بأن الفروقات كانت معنوية بين الاصناف والمعاملات، كما اشير التأثير التدافي بين الاصناف والترب فروقات معنوية وعند مستوى معنوي 5% حيث كان افضل ارتفاع في نباتات الصنف قسطل النامية في التربة التي أضيفت إليها مخلفات الطماطة بنسبة 3%， في حين ان افضل نمو للجذور في نباتات الصنف سن الجمل النامية في التربة التي أضيفت إليها مخلفات الطماطة بنسبة 3% حيث بلغت اعلى نسبة مئوية للزيادة في ارتفاع النبات

احتواء اوراق الطماطة على مركبات Quercetin glycoside من نوع Fkplavonol glycoside وكيميات قليلة من Kaempferol glycoside (Simmain, 1989)، كما وجدت مركبات السايونين في نباتات الطماطة (Price et al, 1987)، وقد وجد ان المركبات الفلافونويدات تتحلل الى عدد من الاحماض الفينولية Vanillic, Ferulic و التي تحول الى P-hydroxy benzaldehyde وهذا بدوره يتحول الى Phydroxy benzoic ، ولهذا فان التحلل الجزئي لاد المركبات قد يؤدي الى انتاج العديد من المركبات التي تظهر تأثيرات الاليلوباثية تضامنية مما يدل على ان التحلل الجزئي قد يؤدي الى زيادة الفعل الاليلوباثي فضلاً عن نقصانه (Rice, 1984) علمًا بأن العديد من المركبات الاليلوباثية ومن ضمنها الاحماض الامينية والفلافونويدات والتربيتوكينات والمركبات الحاوية على التتروجين يمكن ان تتبلمر مع الاحماض البيومي مما يحفظ التربة في الحالة الخصبة (Chou, 1993). كما ذكر & Waller (1993) الى ان المسار الحيوي لبناء النواتج الايضية الثانوية يمكن ان تتأثر بالظروف البيئية وبينما انه عند نمو النباتات تحت ظروف ملائمة يمكن ان تنتج مركبات مشجعة للنمو بكميات كبيرة نسبياً بينما تحت الظروف غير الملائمة تميل النباتات الى انتاج مركبات مشبطة للنمو. فقد وجد Tamak (1993) ان اضافة مخلفات الرز (بنسبة 1.6 غم straw + 1.1 غم Stubble) كغم تربة ادى الى زيادة في نمو نباتات الحنطة والعدس النامية في تلك التربة وذلك بزيادة الوزن الجاف ومساحة الاوراق والحاصل. بينما وجد Chou & Lin (1976) ان المخلفات النباتية للرز المتحلل في التربة تؤدي الى اختزال كبير في نمو نباتات الرز والفااصوليا النامية في تلك التربة.

قد يعود الاختلاف في استجابة اصناف الحنطة لتأثير مخلفات الطماطة الى العديد من العوامل الوراثية والبيئية التي عرفت بتتنظيم حركة المركبات من النبات الواهب، كما تظم استجابة النبات المستقبل للمركبات التي تدخله حيث ان انواع المحاصيل لاستلام المركبات الاليلوباثية بصورة متجانسة (Rice, 1984)، وهذا قد يبرهن اختلاف اصناف الحنطة في استجابتها للتأثيرات الاليلوباثية لمخلفات الطماطة، حيث ان الاختلاف بين اصناف الحنطة في ارتفاع النبات قد يعود الى العامل الوراثي، حيث اشار (Yadahalli & Patil, 1974) بوجود تباين في ارتفاع النبات باختلاف اصناف الحنطة، وتؤكد نتائج البحث ما ذكرته سعيد (1999) محصول زيادة في الارتفاع وطول الجذر والوزن الجاف للجزء الخضري والجزري لأصناف من الحنطة عند نموها في التربة التي اضيفت اليها مخلفات الطماطة بنس比 2% وتحضيرتها لمدة 3

اسابيع وقد ترافق ذلك مع زيادة في محتوى الكلورو فيل والبروتين الكلي في اوراق تلك النباتات فضلاً عن وجود تباين في استجابة اصناف الحنطة.

جدول (1) تأثير اضافة مخلفات الطماطة في ارتفاع النباتات لبعض اصناف الحنطة الخشنة

(ولفترات معينة)

النسبة المئوية للأبيات %	ارتفاع النبات (سم)				الاضافة	الاصناف	
	8اسبوع	6اسبوع	4اسبوع	2اسبوع			
94	19.0	16.8	12.4	7.5	1% اضافة مخلفات الطماطة	واحة	
94	22.7	20.0	14.3	8.7	3% اضافة مخلفات الطماطة		
92	17.8	15.5	11.8	7.4	تربيه طماطة		
90	16.9	14.7	11.3	7.2	تربيه المقارنة		
92.5	19.1	20.75	12.45	7.7	متوسط الصنف واحة		
80	20.0	17.4	13.6	9.0	1% اضافة مخلفات الطماطة	قططر	
86	23.9	20.7	14.2	9.6	3% اضافة مخلفات الطماطة		
83	17.8	16.8	13.5	8.5	تربيه طماطة		
86	17.3	16.6	13.1	8.0	تربيه المقارنة		
84.5	19.75	17.87	13.6	8.77	متوسط الصنفقططر		
92	18.0	14.0	10.3	7.1	1% اضافة مخلفات الطماطة	أم ربيع	
94	20.2	15.9	12.5	8.0	3% اضافة مخلفات الطماطة		
90	17.2	13.0	9.7	6.8	تربيه طماطة		
85	16.8	12.8	9.4	6.5	تربيه المقارنة		
90.2	18.05	13.92	10.47	7.1	متوسط الصنف أم ربيع		
90	19.6	17.6	13.7	8.4	1% اضافة مخلفات الطماطة	سن الجمل	
92	24.5	18.4	14.0	9.7	3% اضافة مخلفات الطماطة		
88	18.4	16.3	13.0	7.6	تربيه طماطة		
86	17.5	15.6	12.5	7.1	تربيه المقارنة		
89	20.00	16.97	13.3	8.2	متوسط الصنف سن الجمل		
89	19.15	16.45	12.5	8.2	1% اضافة مخلفات الطماطة	متوسط الاضافة	
9.5	22.82	18.75	13.7	9.0	3% اضافة مخلفات الطماطة		
89	17.80	15.40	12.0	7.5	تربيه طماطة		
86.75	17.15	14.92	11.6	7.2	تربيه المقارنة		
2.3	1.7	1.6	1.5	1.2	أ.ف. عند مستوى 5% للأصناف		
2.6	1.9	1.8	1.8	1.5	أ.ف. م. عند مستوى 5% للأضافات		
4.3	2.2	2.1	2.0	1.8	أ.ف. م عند مستوى 5% للأصناف × المعاملات		

جدول (2) تأثير اضافة مخلفات الطماطة في نمو النباتات لبعض اصناف الحنطة الخشنة
 بعد 60 يوما من الزراعة

الاصناف	الاصفاف	ارتفاع النبات (سم)	طول الجنير (سم)	الوزن الجاف للجزء الخضري / غم/ نبات	الوزن الجاف للجزء الخضري غم/ نبات
واحة	1% اضافة مخلفات الطماطة	19.0	29.5	0.29	0.68
	3% اضافة مخلفات الطماطة	22.8	30.8	0.32	0.85
	تربيه طماطة	17.8	28.2	0.26	0.58
	تربيه المقارنة	16.9	27.0	0.25	0.52
متوسط الصنف واحة					
قطلل	1% اضافة مخلفات الطماطة	20.0	30.0	0.29	0.72
	3% اضافة مخلفات الطماطة	23.9	32.2	0.34	0.88
	تربيه طماطة	17.9	29.5	0.27	0.62
	تربيه المقارنة	17.3	29.1	0.28	0.57
متوسط الصنف القسطل					
أم ربيع	1% اضافة مخلفات الطماطة	18.0	29.2	0.28	0.65
	3% اضافة مخلفات الطماطة	20.0	30.0	0.30	0.75
	تربيه طماطة	17.2	28.8	0.26	0.58
	تربيه المقارنة	16.8	28.5	0.24	0.52
متوسط الصنف أم ربيع					
سن الجمل	1% اضافة مخلفات الطماطة	19.6	30.6	0.30	0.71
	3% اضافة مخلفات الطماطة	24.5	32.5	0.35	0.92
	تربيه طماطة	18.4	30.4	0.28	0.62
	تربيه المقارنة	17.5	30.2	0.26	0.58
متوسط الصنف سن الجمل					
متوسط الاصناف	1% اضافة مخلفات الطماطة	19.15	29.9	0.29	0.69
	3% اضافة مخلفات الطماطة	22.85	31.3	0.32	0.85
	تربيه طماطة	17.80	29.22	0.26	0.60
	تربيه المقارنة	17.12	28.5	0.25	0.54
أ.ف. عند مستوى 5% للأصناف					
أ.ف.م عند مستوى 5% للأضافات					
أ.ف.م عند مستوى 5% للأصناف × المعاملات					

* تربة المقارنة (تربيه بدون اضافة)

جدول (3) تأثير اضافة مخلفات الطماطة في محتوى الكلورو فيل والبروتين في الاوراق لبعض

اصناف الحنطة الخشنة

الاصناف	المعاملات	كلوروفيل أ	كلوروفيل ب	الوزن الكلي %	الكلوروفيل الكلي (أ+ب)
واحة	1% اضافة مخلفات الطماطة	7.56	5.18	8.25	12.74
	3% اضافة مخلفات الطماطة	8.52	5.94	11.25	14.46
	تربة طماطة	7.32	4.28	8.01	11.60
	تربة المقارنة	7.24	4.25	7.81	11.49
متوسط الصنف واحة					
قططل	1% اضافة مخلفات الطماطة	7.16	4.75	8.12	11.68
	3% اضافة مخلفات الطماطة	8.22	5.00	10.93	13.22
	تربة طماطة	7.12	4.55	7.82	11.67
	تربة المقارنة	7.11	4.52	7.25	11.86
متوسط الصنف قططل					
أم ربيع	1% اضافة مخلفات الطماطة	7.78	5.32	9.50	13.10
	3% اضافة مخلفات الطماطة	8.38	6.00	11.68	14.38
	تربة طماطة	7.61	5.26	8.84	12.87
	تربة المقارنة	7.75	5.15	8.5	12.72
متوسط الصنف أم ربيع					
سن الجمل	1% اضافة مخلفات الطماطة	8.12	5.52	10.18	13.64
	3% اضافة مخلفات الطماطة	9.00	6.22	11.87	15.22
	تربة طماطة	7.85	5.25	9.35	13.10
	تربة المقارنة	7.82	5.13	8.12	12.95
متوسط الصنف سن الجمل					
متوسط الاصناف	1% اضافة مخلفات الطماطة	7.65	5.19	9.01	12.72
	3% اضافة مخلفات الطماطة	8.53	5.67	11.43	14.32
	تربة طماطة	7.47	4.83	8.50	12.31
	تربة المقارنة	7.43	4.76	7.92	12.25
أ.ف. عند مستوى 5% للأصناف					
أ.ف.م عند مستوى 5% للأصناف					
أ.ف.م عند مستوى 5% للأصناف × المعاملات					

المصادر

1. سعيد، جنان عبد الخالق، الجهد الاليهوي لرز والطمطاطة في انبات ونمو اصناف من الحنطة *Triticum aestivum L.* وبعض النباتات البقولية. اطروحة دكتوراه / كلية العلوم / جامعة الموصل، (1999) /
2. Burke, D.P.T. Plant Hormones. Griffin Technical Studies Catalogue No. L. 01-620. London, England, (1975).
3. Chou, C.H. and Lin, H.J. Autointoxication mechanism of *Oryza sativa* I. Phytotoxic effects of decomposing rice residues in soil. J. chem. Ecol. 2: 353-367, (1976).
4. Chou, C.H. Contributions to plant Ecology. Vol. (1), (1971-1993) Allelopathy, PP. 685. (1993).
5. Gallagher, E.J. Cereal Production. Butter worth and Co. Publisher Ltd. England. (1984).
6. Knudson, L.L; Tibbitts, T.W., and Edwards, G.E. Measurement of ozone injury determination of chlorophyll concentration. Plant Physiology, 60:606-608, (1977).
7. Lowery, O.H., Rosebrough, N.J. and Randall, R.J. Protein measurement with the folin phenol. J. Biol. Chem., 193: 265-275, (1951).
8. Lynch, J.M. and Cannel, R.Q. Plant residues in crop seed and soil environment, Agric. Development. Advisory Serv. (V.K.) Ref. Book. No. 321, PP. 26-37. (1980).
9. Molisch, H. "Der Einfluss einer Pflanze auf die andere. Allelopathic". Fischer, Jena (ceted by Rice, 1974), (1937).
10. Price, K.R., Johnson, L.T., and Fenwick, G.R. The chemistry and biological Significance of saponins in foods and feeding staffs. CRC. Crit Rev. Sci. Nutr., 26: 27-135, (1987).
11. Rice, E.L. Allelopathy. Academic Press, New York. U.S.A., (1974).
12. Rice, E.L. Allelopathy. 2nd Edn Academic press., New York. U.S.A., (1984).
13. Saied, S.M. Seed technology studies, seed vigour, field establishment and performance in cereals. Ph. D. thesis, P. 363, (1984).
14. Tamak, J.C. Narwal, S.S. and Ram, M. Effect of rice residues incorporated in soil on seedling emergence, growth and fodder yield of Berseem (*Trifolium alexandrium*) Agric. Sci. Digest 13: 185-187, (1993).
15. Waller, G.R., Nowaki, E.K. "Alkaloid Biology and Metabolism in Plants. Plenum Press New York, NY, USA (1975).

16. Wintermans, T.F.G> and Demots, A. Spectrophotometry characteries of chlorophylls a and b and their phenophytins in ethanol, Biochem Biophys. Acta. 109: 448-453 (1965).
17. Yadahalli, Y.H. and Patil, S.V. Response of tall dwarf wheat to dat of sowing and fertilizer levels under rain fed condition. Mysore, J. Agric., 8: 20-30. (1974).

تأثير مبيد الكليفوسين العشبي في حياة أحد أنواع لاقفريات المياه

سهيلة صبار الدليمي ، علي عبد الزهرة اللامي ، هناء حسين منكلو *
وايمان حسن على

*قسم علوم الحياة، كلية العلوم، الجامعة المستنصرية، بغداد، العراق

ABSTRACT

The effect of chronic exposure of glyphosate herbicide in the biology of an cladocerans species *Simocephalus vetulus* was studied. The study dealt with the life cycle of this species and to what extent it affected when exposed chronically to the glyphosate herbicide by means of studying life tables which pointed the decreasing of the expected life from the exposed individuals. Some reproductive parameters where also studied and indicate an decreasing and weakness in reproductive ability which leads to lower productivity of eggs, youngs and number and volume of broods. Moreover the animal volume, living ratios and molting were also affected; all above parameters reflects the higher risk of glyphosate herbicide in the biology of *Simocephalus vetulus*.

الخلاصة

يتضمن البحث دراسة التأثيرات السمية المزمنة لمبيد الكليفوسين العشبي في الحيوان اللاقيري *Simocephalus vetulus* الذي يعود الى مجموعة متفرعة اللوامس Cladocera وشمل البحث عدة محاور منها دراسة تأثير التعرض المزمن للمبيد في دورة حياة النوع من خلال دراسة جداول الحياة Life tables التي كان من نتائجها حصول انخفاض في معدلات توقع الحياة للأفراد المعرضين، كما يتضمن البحث دراسة تأثير التعرض المزمن في المؤشرات التكاثرية للنوع إذ لوحظ حصول انخفاض وضعف في القابلية التكاثرية وضعف في الانتاجية من حيث البيوض والصغار المنتجة وحجم الحضنات وعدها. ووجد ان لهذا المبيد تأثيراً سلبياً في حجم الحيوان المتمثل بمقاييس الطول ومعدلات بقاء هذا النوع، كما سبب زيادة بسيطة في متوسط

عدد الانسلالات الحاصلة مما يشير الى خطورة التعرض المزمن والمستمر لهذا المبيد كونه يؤثر في بقاء النوع مثلاً يؤثر في قابلية اناث هذا النوع على انتاج افراد جديدة.

المقدمة

تعد الأنواع التابعة لمقرضة اللوامس *Cladocera* من بين حيوانات الاختبار المفضلة في علم السموم البيئية لما تمتلكه من ميزات نادراً ما توجد مجتمعة في غيرها من الانواع⁽¹⁵⁾، فقد استخدم العديد من انواعها كدلائل حيوية للتلوث⁽³⁾ كما استخدمت للتتبؤ بسمية مبيدات الاعشاب *Herbicides* في العديد من المسطحات المائية⁽⁵⁾. ولأنه يوجد القليل من الدراسات والمعلومات عن التأثيرات السامة للملوثات في الهائمات بصورة عامة⁽⁶⁾، فقد تناول البحث دراسة التأثيرات المزمنة لمبيد الاعشاب الكليفوسين في النوع *S. vetulus* و هو من الأنواع التابعة لرتبة مقرضة اللوامس. وبعد مبيد الكليفوسين من المبيدات شائعة الاستخدام في القطر، وقد اجريت عدة دراسات عن تأثيراته السامة في أنواع عديدة من الأسماك منها دراسة سمير⁽⁴⁾ و العطار⁽²⁾ و دراسة احمد⁽¹⁾ التي تناول فيها تأثير مبيد الكليفوسين في النوع *Daphnia magna*

المواد وطرق العمل

تم الحصول على النوع *S. vetulus* المستخدم في التجارب من أحواض تربية الأسماك في مزرعة الزعفرانية للأسماك، وتم تصنيفه باستخدام مفاتيح تصنيفية خاصة⁽¹²⁾. تمت تربية هذا النوع في دوراق زجاجية سعة 3 لتر تملأ بالماء المعمر (الماء الخالي من الكلور) وزودت بخلط من الطحالب كغذاء ولمرتين أسبوعياً. حفظت المزرعة بدرجة حرارة لا تتجاوز 18°C وبفتره اضاءة 12 ساعة ضوء و 12 ساعة ظلام مع تزويدها بالهواء باستخدام مضخة هواء Air pump . استخدم مبيد الكليفوسين المصنع محلياً بتركيز 48% من انتاج شركة طارق العامة التابعة لهيئة التصنيع العسكري وحضر منه محلول الخزين Stock solution المستخدم في التجارب بتركيز 192 ملغم / لتر، حيث يتم تحضير هذا محلول الخزين آنذاك عند كل تجربة منعاً لتحلل المبيد. ولدراسة التأثيرات السمية المزمنة لهذا المبيد استخدم التركيزين 0.96, 0.64 ملغم/لتر، ويبدو ان التركيزين منخفضين بالنسبة لمبيد اعشاب الا ان التجارب الاولية التي

اجريت باستخدام عدة تراكيز من مبيد الكليفوسين اثنتي الحساسية الشديدة التي ابداها النوع *S. vetulus*.
تجاه هذا المبيد.

استخدمت الصغار ذات الاعمار 24 ساعة في التجارب، حيث عرضت مجموعة مؤلفة من عشرة حيوانات صغيرة العمر لتركيز 0.64 ملغم / لتر بوضع كل حيوان في حاوية زجاجية تحتوي على 29 مل من محلول المبيد المحضر بتركيز 0.64 ملغم/لتر مع 1 مل من خليط الطحالب. وبنفس الطريقة عرضت حيوانات صغيرة العمر بوضع كل منها في حاوية زجاجية تحتوي على 29 مل ماء معمر مع 1 مل من خليط الطحالب، حفظت جميع العينات في الحاضنة لابقاء درجة الحرارة ضمن الحدود المطلوبة. وبعد انتهاء فترة التعرض المزمن تمت دراسة المؤشرات التالية:

جدائل الحياة

درست جداول الحياة لمجموعة السيطرة والمجموعتين المعرضتين باستخدام المعلومات الواردة في الجدول أدناه⁽³⁾.

<u>X</u>	<u>I_x</u>	<u>d_x</u>	<u>q_x</u>	<u>L_x</u>	<u>T_x</u>	<u>e_x</u>
----------	----------------------	----------------------	----------------------	----------------------	----------------------	----------------------

X : العمر بالايات ، I_x : عدد الاحياء في كل مرحلة عمرية ، d_x : عدد الوفيات في كل مرحلة عمرية

q_x : معدل الوفيات ويساوي $q_x = d_x / I_x * 100$: عدد الاحياء بين مرحلتين (X-X+1)

$$L_x(X-X+1) = (I_x + I_{x+1}) / 2$$

T_x : مجموع عدد الاحياء بين معدل مرحلتين ويساوي $T_x = \sum L_x$: المتوقع للحياة المستقبلية . $e_x = T_x / I_x$

دراسة تأثير التعرض المزمن لمبيد الكليفوسين في المؤشرات التكافيرية وشمل ايجاد عدد الصغار المنتجة في كل حضنة والمجموع الكلي لعدد البيوض والصغار ومتوسط عدد الحضنات ومتوسط حجم الحضنة وتحديد اليوم الأول للتكاثر (زمن انتاج اول حضنة للبيض).

دراسة تأثير المبيد في حجم الحيوان
والمنتشر بالطول مقاساً بوحدة المليمتر وباستخدام مايكرومتر عيني، كما درس تأثير
المبيد في معدل البقاء Mean Longevity.

دراسة تأثير المبيد في متوسط عدد الأسلاخ
ويتم عادة فحص العينات يومياً وتبدل الماء والمغذيات، واعتبرت الحيوانات عديمة
الحركة والراكدة في قعر الحاويات الزجاجية ميتة.
وتم تحليل النتائج احصائياً لمعرفة وجود فروقات معنوية باستخدام طريقة تحليل التباين
الاحادي (ANOVA) ولإجاد مصادر الفروقات طبقت طريقة الفرق المعنوي الأصغر (LSD).

النتائج والمناقشة

انضم من دراسة جدول الحياة لمجموعة السيطرة للنوع *vetus* - S، ان هذه
المجموعة اكملت دورة حياتها في 22 يوماً وان معدل الوفيات قد بدأ في اليوم التاسع من دورة
الحياة وقد سجل معدل توقع الحياة بحدود 16 يوماً كما ان الزيادة في معدل الوفيات كانت
متدرجة وبدون أي تأثيرات مفاجئة (جدول 1). اما في حالة تعرض مجموعة من افراد هذا
النوع لتركيز 0.64 ملغم/لتر من مبيد الكلايفوسيت فان جدول الحياة اظهر تأثيراً فقد اكملت هذه
المجموعة دورة حياتها في 21 يوماً وان معدل توقع الحياة قد انخفض الى 12.4 يوماً كما ان
معدل الوفيات بدا بعد اليوم السادس من دورة الحياة (جدول 2)، وعند تعرض مجموعة اخرى
لتراكيز 0.96 ملغم / لتر من نفس المبيد فان تبايناً واضحًا قد ظهر في دورة حياة هذا النوع فقد
اكملت هذه المجموعة دورة حياتها في 21 يوماً وهي بذلك لاختلف عن سابقتها الا ان معدل توقع
الحياة قد انخفض الى 11.5 يوماً وان معدل الوفيات قد بدأ بعد اليوم الرابع من دورة الحياة كما
ان عدد الافراد التي استطاعت الوصول الى نهاية الدورة اقل بكثير مما في تراكيز 0.64 ملغم /
لتر (جدول 3). ان نتائج دراسة جداول الحياة والانخفاض الواضح في معدلات توقع الحياة تطابق
ما توصل اليه رشيد⁽³⁾ عند دراسته لجداول الحياة لأنواع *M. micrura affinis* و *Daphnia magna*
فقد لاحظ انخفاضاً في معدلات توقع الحياة في حال تعرض هذه الانواع
لتراكيز من العناصر الثقيلة Heavy Metals.

اما فيما يخص تأثير المبيد المزمن في المؤشرات التكاثرية النوع *S. vetulus* فيبدو من الشكل (1) ان اعلى مجموع عدد الصغار المنتجة في معاملة السيطرة كان 89 صغيراً انتجت في الحضنة الثانية وادناه كان 30 صغيراً انتجت في الحضنة السادسة، اما في تركيز 0.64 ملغم/ لنتر فان اعلى مجموع للصغار كان في الحضنة الاولى وبلغ 91 صغيراً وادناه كان في الحضنة السادسة وبلغ 41 صغيراً وفي تركيز 0.96 ملغم/ لنتر كان اعلى مجموع للصغار في الحضنة الثانية وبلغ 86 صغيراً وادناه في الحضنة الرابعة وبلغ 25 صغيراً أي ان تعريض اناث هذا النوع لتركيز 0.64 ملغم/ لنتر نتج عنه زيادة في حجم الحضنة الاولى مقارنة بمجموعة السيطرة، اما التعريض لتركيز 0.96 ملغم / لنتر فقد نتج عنه اختزال في حجم اول حضنة، ان مثل هذا التأثير المحفز لوحظ من قبل جو وجماعته⁽⁹⁾، حيث لاحظوا ان خصوبة النوع *M. macrocopa* قد ازدادت قليلاً عند تعرضها لتركيز 0.01 ملغم / لنتر من مبيد الحشرات *S. methoprene* مقارنة بمجموعة السيطرة. كما لوحظ تأثيراً مثبطاً للانتاجية سببه التعريض المزمن لمبيد الكلافوسين، حيث يبدو من جدول (4) ان اعلى مجموع عدد الصغار والبيوض كان في مجموعة السيطرة يليه المجموعة المعرضة لتركيز 0.64 ملغم/ لنتر وادناه في المجموعة المعرضة لتركيز 0.96 ملغم/ لنتر. وهذا التأثير لمبيد الكلافوسين يطابق ما ذكره احمد⁽¹⁾ من ان تعريض النوع *D. magna* لهذا المبيد سبب ضعفاً في الانتاجية حيث اثر على قابلية الاناث في وضع البيض، كما ان مبيد *Endosulfan* اثر في مجموعة كتلة البيض للنوع *D. carinata*⁽⁸⁾ وان تعريض النوع *S. exispenosus* لتركيز من العناصر الثقيلة سبب تقليل الانتاجية وان زيادة تركيز العناصر نتج عنه نقصان اكبر في عدد البيوض والصغار المنتجة⁽⁶⁾ ، كذلك فان تعريض النوع *S. carinata* لمبيد الحشرات *Pyriproxyfan* لمدة 14 يوماً سبب انخفاضاً في الانتاجية بنسبة 80%⁽⁷⁾.

ويبيين جدول (5) ان متوسط عدد الحضنات في مجموعة السيطرة والمجموعة المعرضة لتركيز 0.96 ملغم/ لنتر كان متشابهاً وبلغ 3.7 حضنة اما في تركيز 0.64 ملغم/ لنتر فقد لوحظت زيادة في متوسط عدد الحضنات حيث بلغت 4.5 حضنة وهذه النتيجة تطابق ما أشار اليه داي وكاوشك⁽¹⁰⁾ الى ان متوسط عدد الحضنات يزداد مع زيادة الضغوط السمية. اما متوسط حجم الحضنة فقد انخفض عن مجموعة السيطرة بزيادة تركيز المبيد وهذا ما لوحظ عند تعريض النوع *D. magna* لمبيد *Endosulfan*⁽⁸⁾، وكذلك عند تعريض النوع *D. carinata* لمبيد

سهيله صبار الدليمي وجماعتها

الدايازينون⁽¹⁵⁾. اليوم الاول لانتاج البيض لم يتاثر بالعرض لمبيد الكليفوسين وكان اليوم السادس هو اليوم الاول لانتاج البيض في مجموعة السيطرة والمجاميع المعرضة وهذه النتيجة تتفق مع نتائج هوسر وجماعته⁽¹⁴⁾ اذ لم يؤثر مبيد Fenoxy carb في زمن انتاج اول حضنة للبيض في النوع *D.magna*, كما لم يلاحظ تأثيراً لمبيدات 4-nonylphenol, Methoxychlor, DDT ويبين جدول (4) الانخفاض الحاصل في متوسط الطول بعد فترة التعرض المزمن

ويلاحظ ان اعلى متوسط للطول كان لمجموعة السيطرة وبلغ 1.95 ملم وأقل متوسط للطول كان عند تركيز 0.96 ملغم / لتر وبلغ 1.86 ملم. أي ان زيادة التركيز ينتج عنها انخفاضاً في متوسط الطول للحيوان وهذا يتفق مع ما أشار اليه علي وجماعته⁽⁶⁾ من ان متوسط الطول للنوع *S.exispenosus* يقل بدرجات متفاوتة عند تعريض افراده لتركيز من العناصر الثقيلة كما وتتفق مع دراسة هانازاتو⁽¹³⁾ من ان حجم الدافينينا يقل بعد تعرضها لمبيد الكارباريل Carbaryl . كما اظهرت النتائج ان لهذا المبيد تأثيراً في معدلات البقاء (جدول 4) حيث ان معدل بقاء مجموعة السيطرة بلغ 15.8 يوماً وانخفض الى 13 و 12 يوماً بالتعرض لتركيزين 0.64 و 0.96 ملغم / لتر على التوالي. وقد لوحظ ان بقاء النوع *S.exispenosus* قل بالعرض للعناصر الثقيلة⁽⁶⁾ ، كما ان بقاء النوع *D.magna* في تركيز 15 ملغم/ لتر من مبيد الاعشاب Atrazine قد انخفض⁽¹¹⁾.

لوحظت زيادة قليلة في متوسط عدد الانسلاختات الحاصلة للنوع *S.vetulus* بعد فترة التعرض المزمن فقد بلغ ادنى متوسط لعدد الانسلاخت 8.3 انسلاخت في مجموعة السيطرة واعلاه في تركيز 0.64 ملغم/ لتر وبلغ 8.9 انسلاخت (جدول 6)، وهذه النتيجة توافق ما ذكره سوساك وجماعته⁽¹⁶⁾، حيث سبب تعريض النوع *D.magna* لتركيز من مبيد الحشرات Parathion زيادة في عدد الانسلاختات، الا انها تناقض دراسة⁽¹⁸⁾ حيث لاحظ تأثيراً مبططاً للانسلاختات لمبيد الاندوسلفان Endosulfan في النوع *D.magna* . لذا فان جميع المؤشرات التي تتناولها البحث تعد ذات اهمية كبيرة لادرارك تأثير اي مبيد او عنصر تقليل او أي ملوثات اخرى ولا يمكن تفضيل مؤشر حيوي على مؤشر اخر حيث ان عدة نقاط نهاية يجب ان تقايس في حالات تعريض الانواع التابعة لمفترعة اللوامس تعريضاً مزمناً لاي نوع من الملوثات.

جدول (1) : جدول الحياة لمجموعة السيطرة للنوع *S.vetulus*

x	I _x	d _x	q _x	L _x	T _x	e _x
1	10	0	0	10	158	15.8
2	10	0	0	10	148	14.8
3	10	0	0	10	138	13.8
4	10	0	0	10	128	12.8
5	10	0	0	10	118	11.8
6	10	0	0	10	108	10.8
7	10	0	0	10	98	9.8
8	10	0	0	9.5	88	9.2
9	9	1	0.11	8.5	78.5	9.2
10	8	1	0.12	7.5	70	9.3
11	7	1	0.14	7	62.5	8.9
12	7	0	0	7	55.5	7.9
13	7	0	0	7	48.5	6.9
14	7	0	0	7	41.5	5.9
15	7	0	0	6.5	34.5	5.3
16	6	1	0.16	5.5	28	5.09
17	5	1	0.2	5	22.5	4.5
18	5	0	0	5	17.5	3.5
19	5	0	0	5	12.5	2.5
20	5	0	0	5	7.5	1.5
21	5	0	0	2.5	2.5	1
22	0	5	-	-	-	-

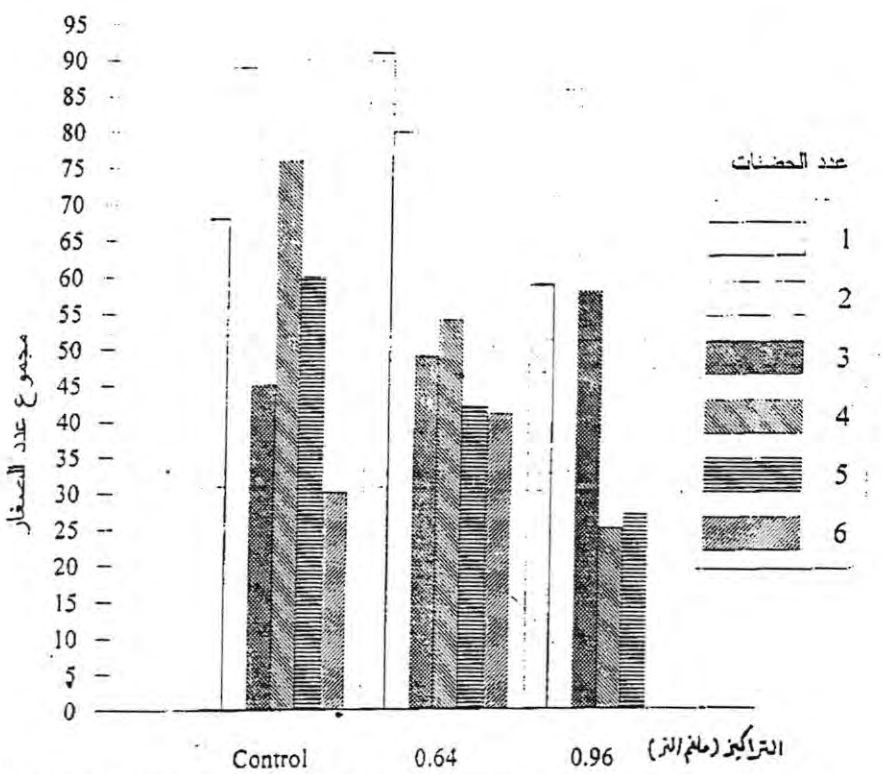
جدول (2) : جدول الحياة للنوع *S.vetulus* المعرض لتركيز 0.64 ملغم/لتر من مبيد

الكلروفوسين

x	I _x	d _x	q _x	L _x	T _x	e _x
1	10	0	0	10	124	12.4
2	10	0	0	10	114	11.4
3	10	0	0	10	104	10.4
4	10	0	0	10	94	9.4
5	10	0	0	10	84	8.4
6	10	0	0	9.5	74	7.7
7	9	1	0.11	8	64.5	8.06
8	7	2	0.28	7	56.5	8.07
9	7	0	0	7	49.5	7.07
10	7	0	0	7	42.5	6.07
11	7	0	0	6.5	35.5	5.4
12	6	1	0.16	6	29	4.8
13	6	0	0	6	23	3.8
14	6	0	0	4.5	17	3.7
15	3	3	1	3	12.5	4.16
16	3	0	0	3	9.5	3.16
17	3	0	0	3	6.5	2.16
18	3	0	0	2	3.5	1.75
19	1	2	2	1	1.5	1.5
20	1	0	0	0.5	0.5	1
21	0	1	-	-	-	-

جدول (3) جدول الحياة للنوع *S. vetulus* المعرض لتركيز 0.96 ملغم / لتر من مبيد الكلأيفوسينت

x	I _x	d _x	q _x	L _x	T _x	e _x
1	10	0	0	10	115	11.5
2	10	0	0	10	105	10.5
3	10	0	0	10	95	9.5
4	10	0	0	9.5	85	8.9
5	9	1	0.11	9	75.5	8.3
6	9	0	0	9	66.5	7.3
7	9	0	0	9	57.5	6.3
8	9	0	0	8.5	48.5	5.7
9	8	1	0.12	8	40	5
10	8	0	0	7	32	4.5
11	6	2	0.3	5	25	5
12	4	2	0.5	4	16	4
13	4	0	0	4	16	4
14	4	0	0	3.5	12	3.4
15	3	1	0.3	3	8.5	2.8
16	3	0	0	2	5.5	2.75
17	1	2	2	1	3.5	3.5
18	1	0	0	1	2.5	2.5
19	1	0	0	1	1.5	1.5
20	1	0	0	0.5	0.5	1
21	0	1	-	-	-	-



شكل (1) : سمية مبيد الكليفوسيت في مجموع عدد الصغار المنتجة/حضنة وعدد الحضنات
لل نوع *S. vetulus*

جدول (4) سمية مبيد الكليفوسينت في معدل البقاء ومتوسط الطول الكلي والمجموع الكلي للبيوض والصغرى المنتجة (\pm الخطأ المعياري) للنوع *S. vetulus*

المجموع الكلي SE \pm الصغرى	المجموع الكلي SE \pm للبيوض	متوسط الطول SE \pm (ملم)	معدل البقاء بال أيام SE \pm	التركيز ملغم / لتر
10.222 \pm 368	11.509 \pm 427	0.23 \pm 1.95	1.597 \pm 15.8	السيطرة
6.427 \pm 357	7.321 \pm 406	0.30 \pm 1.93	1.639 \pm 13	0.64
5.110 \pm 255	6.459 \pm 328	0.35 \pm 1.86	1.453 \pm 12	0.96

لاتوجد فروق معنوية عند مستوى ($P = 0.05$)

جدول (5) : سمية مبيد الكليفوسينت في متوسط عدد الحضنات (\pm الخطأ المعياري) ومتوسط حجم الحضنة واليوم الاول لانتاج البيض للنوع *S. vetulus*

اليوم الاول لانتاج البيض	متوسط حجم الحضنة (بيض)	متوسط الحضنات SE \pm	التركيز ملغم / لتر
6	11.5	0.803 \pm 3.7	السيطرة
6	10	0.654 \pm 4.5	0.64
6	8.5	0.578 \pm 3.7	0.96

لاتوجد فروق معنوية عند مستوى احتمالية ($P = 0.05$)

جدول (6) : سمية مبيد الكليفوسينت في متوسط عدد الانسلاختات للنوع *S. vetulus*

متوسط الانسلاختات SE \pm	المدى Range	التركيز ملغم / لتر
0.539 \pm 8.3	11-6	السيطرة
0.567 \pm 8.9	12-6	0.64
0.667 \pm 8.7	12-6	0.96

لاتوجد فروقات معنوية عند ($P = 0.05$)

المصادر

1. احمد ، ندى السيد حسن ، تأثير مبيد الاعشاب الكليفوسين Glyphosate في برغوث الماء *Daphnia magna* تحت ظروف بيئية مختلفة، رسالة ماجستير - كلية التربية للبنات / جامعة بغداد، (1999).
2. العطار، ايمان عبد على ، تأثير مبيد الكليفوسين في اسماك الكارب الاعتيادي في حالتي وجود الاوكسجين ونقشه، رسالة ماجستير، كلية التربية / جامعة بغداد، (1998).
3. رشيد، خالد عباس، استخدام بعض الاهائمات الحيوانية دليلاً حيوانياً على تلوث المياه بالعناصر الثقيلة، اطروحة دكتوراه، كلية العلوم / الجامعة المستنصرية 152 صفحة، (1999).
4. سمير صالح حسن، التقويم الحيوي والبيئي والكيميائي لمبيد الكليفوسين عند استخدامه لمكافحة القصب البري *Phragmites australis* في احواض الاسماك، اطروحة دكتوراه، كلية الزراعة / جامعة بغداد، (1996).
5. Alberdi, J.L.; Saenz, M.E.; Dimario, W.D. & Tortorelli, M.C. Comparative acute toxicity of two herbicides, paraquat & glyphosate to *Daphnia magna* & *Daphnia spinulata*. Bull. Environ. Contam. Toxicol., 57: 229-235 (1996).
6. Ali, Z.H.; Rasheed, K.A. & Sabri, A.W. The effect of some heavy metals on the biology of the crustacean *Simocephalus exipenosus*. Ibn Al-Haithem J. for Sci. (Accepted). (1998).
7. Baer, K.N. & Owens, K.D. Evaluation of selected endocrine disrupting compound on sex determination in *Daphnia magna* using reduced photo period & different feeding rates. Bull. of Environ. Contam. Toxicol., 62: 2, 214-221.
8. Barry, M.J. Effects of an organo chlorine pesticides on different levels of biological organization in *Daphnia*. Ecotoxicology & environmental safety. 34, 3, 239-251, (1996).
9. Chu, K.H.; Wong, C.K. & Chia, K.C. Effects of the insect growth regulator s - methoprene on survival & reproduction of the fresh water cladoceran *Monia macrocoda*. Environ. Poll. 96: 2, 173-178. (1997).
10. Day, K. & N. K. Kaushik. An assessment of chronic toxicity of the synthetic pyrethroid – Fenvalerate to *Daphnia galeata mendotae* using life tables. Enciron. Poll. 44: 13-26 (1987).
11. Detenbeck, N.E.; Hermanutz, R. ; Allen K. & Swift M.C. Fate & effects of the herbicide atrazine in flow – through wetland mesocosms. Environ. Toxicol. & Chemistry. 15: 6, 937-946 (1996).

12. Edmondson, W.T. Fresh water biology. New York. John Wiley & Sons-Inc. (1959).
13. Hanazato, T. Response of a zooplankton community to insecticide application in experimental ponds: A review and the implication of the chemicals on the structure and functioning of fresh water communities. Environ. Pollution. 101: 3, 361-373.
14. Hosmer, A.J.; Warren, L. W. & Ward, T.J. Chronic toxicity of pulse dosed fenoxycarb to *Daphnia magna* exposed to environmentally realistic concentration, Environ. Toxicol. & Chemistry 17: 9. 1860-1866, (1998).
15. Sanchez, M. : Ferrando, M.D.; Sancho, E. & Endreu, M.E. Evaluation of a *Daphnia magna* renewal life- cycle method with Diazinon. J. Environ. Sci. Health, B33 (6). 785-797, (1998).
16. Sosak, S.B.; Tyrawska, D.; Dzido, F. & Camatini, M. *Daphnia magna* ecotoxicity test with parathion. Univ. of Milano, Chemosphere. 37: 14-15, 2989-3000, (1998).
17. Trayler, K.M. & Davis, J.S. Sensitivity of *Daphnia carinata* sensu lato to the insect growth regulator, pyriproxyfen. Ecotoxicol. & Environ. Safety. 33-2, 154-156, (1996).
18. Zou, E. & Fingerman, M. Synthesis estrogenic agents do not interfere with sex differentiation but do inhibit molting of the cladoceran *Daphnia magna*. Bulletin of Environ. Contam. & Toxicol. 58: 4, 596-602, (1997).

تأثير مستخلصات أوراق نبات سم الفراخ على نمو بعض الفطريات الجلدية

د. سجال عبد الوهاب الركابي* ، د. خلود وهيب السامرائي** و باسمة ربيع أحمد

* قسم علوم الحياة / كلية العلوم/ الجامعة المستنصرية

** قسم التقانة الأحيائية/ كلية العلوم/ جامعة صدام

ABSTRACT

the aim of this research was to study the effect of plant extract of *Withania Somnifera* on Dermatophytic Fungi grown in Nutrient medium. Chemical studies showed that the leaves of the plant may contain many active compounds these are: Tanins, Glycosides, Saponins, Flavenoids, Alkaloids. Terpens and Steriods. Three Dermatophytic Fungi were isolated from patients suffering from Dermatophytosis these fungi are: *Trichophyton Mentagrophytes*, *T.Ajelloi* and *Epidermophyton Flocossum*. Effect of aqueous extracts ethanolic extract and Alkaloid extract on the diameter of fungal colonies on the Aabourroid Agar was studied, percentage of inhibition compared to control was calculated. It was found that alkaloid extract ($5^{\text{mg}}/\text{ml}$) significantly inhibited the growth, inhibition percentage was in the range of (73-95)% according to the fungus used, Ethanolic extract was also significantly inhibiting (58-88)% , however Aqueous extract was not effective, this was compared with Clotrimazole. It is believed that this Anti-fungal activity is due to the presence of Withafrin A., that might change the membranes and internal structures of the fungi.

الخلاصة

أُسْتَدِّفُ الْبَحْثُ دراسة فعالية مستخلصات نبات سم الفراخ *Withania Somnifera* في تثبيط نمو الفطريات الجلدية في الوسط الغذائي. بينت نتائج الدراسة الكيميائية للمواد الفعلية في أوراق هذا النبات احتواه على العفصيات والكلارicosيدات والصابونيات والفلافينويدات والقلويات والتربينات والستيرويدات. تم عزل وتشخيص كل من الفطريات الجلدية

النالية: *Trichophyton Mentagrophytes*, *Trichophyton Ajelloi*, *Epidermophyton Flocossum*. من مرضى مصابين بالتهابات جلدية. تمت دراسة تأثير كل من المستخلص المائى والمستخلص الأيثانولى والمستخلص القلويدى لأوراق هذا النبات على النمو الفطري للفطريات المذكورة والمناعة وسط أحجار السابرويد وحسب النسبة المئوية للتثبيط مقارنة بالسيطرة ; كذلك قورنت هذه النتائج بمادة الكلورفاميزول المثبتة للفطريات والمسماة تجاريا بـ Nablix . وجد أن المستخلص القلويدى وبتركيز 5 ملغم / مل كان ذا تأثير مثبط معنوى يتراوح بين (95- 73) % حسب الفطر المستعمل يليه المستخلص الأيثانولى (58-88) % ولم يكن للمستخلص المائى تأثير يذكر . يعتقد إن هذا التأثير المثبط عائد لقلويد وادفرين A الذى قد يؤدي إلى تغيرات في أغشية الفطريات وتراكيبها الداخلية.

المقدمة

تعتبر الفطريات الجلدية من الآفات الهمامة التي تصيب جلد الإنسان وخصوصا في الطيات الجلدية لتوفر الظروف الملائمة من درجة حرارة والرطوبة الناتجة من التعرق، كذلك تتوارد في أماكن وجود الشعر حيث يعتبر الكيراتين مصدراً غذائياً لها وتصيب هذه الفطريات الجلد والأظافر أيضا. (Zurita & Hay, 1987) لا تملك هذه الفطريات القدرة على النمو في درجة حرارة أعلى من 35 °م ولذلك فهي لا تملك القدرة على اقتحام الأنسجة أسفل البشرة إضافة إلى وجود العوامل المضادة في مصل الدم (Myrvic & Weiser, 1988). صنف Sabouraud (1910) الفطريات الجلدية الممرضة إلى عدة أنواع تصيب الشعرة (Haward & Haward, 1977) وقد تم عزل أبواغ هذه الفطريات من بيئات مختلفة مثل تربة الكهوف (Lurie & Borok, 1955) وغبار أرضية رياض الأطفال (Ali-Shtayeh & Arda, 1979). كما تم عزلها من جلد الحيوانات المصابة بمرض القوباء الحلقية (Frey et al, 1989) تم إنتاج العديد من العقاقير الكيميائية المضادة لهذه الفطريات من قبل شركات الأدوية العالمية وتتكلف هذه الأدوية مبالغ كبيرة عند استيرادها إضافة إلى العديد من التأثيرات الجانبية لها كذلك فإن استعمالها لفترة طويلة يقلل من فعاليتها لازدياد مقاومة الفطريات لها. لذلك توجه اهتمام العالم إلى النباتات لكونها مصدراً طبيعياً للدواء وأزداد الاهتمام لدراسة مكونات النباتات البرية والمزروعة في بيئتنا ومعرفة المواد الفعالة فيها وتأثيرها في الأحياء المجهرية الممرضة.

يوجد عدد كبير من الدراسات حول تأثير المستخلصات النباتية على افطريات الجلدية منها دراسة (Gupta & Banerjee, 1972) الذي وجد ان مستخلصات عدة أنواع للجنس Trichophyton Rubrum كما وجد (Sharma et al., 1977) إن Curcuma الزيت الطيار المستخلص من Glossocardia Bosvotlia ذو فعالية ضد بعض الفطريات الجلدية للأحياء المجهرية الأخرى كما ان طريقة الاستخلاص ونوع المذيب المستعمل ذات تأثير لإظهار فعالية المركبات ضد الفطرية الموهودة في النباتات (Hond & Talata 1982; Khan et al. 1988; Al-Asady 1995; Al-Janaby 1996) . استخدم نبات سم الفواخ Withania Somnifera وهو أحد نباتات العائلة البانجانية كخافض للحرارة (Chada 1976) ولعلاج العديد من البثور والآفات الجلدية (Atal & Shwatinge 1961) وأظهر الوزانلود المعزول من هذا النبات فعالية ضد بعض الفطريات المرضية (Choudary et.al. 1995) كما استخدمت أوراق هذا النبات لعلاج الصدفية والجرب (Al-Rawi & Chakravarty 1988) وقد لوحظ بأن مركب وذافيين A المستخلص من هذا النبات ذو تأثير مثبط للأورام السرطانية حيث يوقف انقسام الخلايا البشرية المزروعة في الزجاج (Kupchan et al 1964)، ينتشر نبات سم الفواخ في مناطق البحر المتوسط وفي جميع المناطق الاستوائية وشبه الاستوائية ويوجد في العراق في مدينة بغداد (Chakravarty H.L. 1964).

استهداف الدراسة الحالية التالي :

1. عزل وتشخيص الفطريات المرضية من مرضى مصابين بالتهابات جلدية.
2. تحضير مستخلص مائي ويثانولي من نبات سم الفواخ ودراسة تأثيره على الفطريات المعزولة في المختبر.
3. تشخيص بعض المواد الفعلية.
4. تنقية أولية للمادة الفعلية ومقارنة تأثيرها في الفطريات في المستخلص المائي والكحولي.
5. مقارنة تأثير هذه المستخلصات بأحد العاقifer الكيميائية (Clotrimazole).

المواد وطرق العمل

اولاً: تحضير المستخلصات

جمعت كميات من أوراق نبات سم الفراخ *Withania Somnifera* ما بين شهر ايار - حزيران من حديقة النباتات الطبية في كلية الصيدلة - جامعة بغداد ومن ذاتى كلية العلوم - جامعة بغداد، وشخصت هذه العينات من قبل المعهد الوطني العراقي التابع الى البيئة العامة لفحص وتصديق البذور واعتمادا على كتب التصنيف النباتي واختصاص التصنيف في العراق، وبعد تنظيف النباتات من العوالق بها تركت في الظل معرضة للهواءطلق لتجفيفها ثم سحقت باستعمال هاون خزفي.

1. الاستخلاص الخام :

وزن (100) غرام من المسحوق النباتي ونق بـ (500) ملليلتر ماء مقطر لغرض الحصول على المستخلص المائي او في الايثانول بتركيز (70 %) للحصول على المستخلص الايثانولي وترك الخليط في جهاز هزار Gallenkamp-Cooled Orbital-Incubater ودرجة 35⁰ لمدة يوم واحد ثم تم ترشيح النقيع باستخدام ورقة ترشيح من نوع واتمان رقم واحد (Whitman No.1) وبخر الرشاح بجهاز المبخر الدوار (Rotary Vaccum Evaporator) بدرجة حرارة 40⁰ م لحين الحصول على سائل كثيف حيث تم تحفيفه في حاضنة Evaporator بدرجة حرارة 37⁰ م خلال (3-4) أيام وحفظ المسحوق في الثلاجة لحين الاستعمال.

2. المستخلص القلويدي :

أخذ (50) غرام من المسحوق الجاف النبات وضيف له 250 ملليلتر من 90% من الكحول الايثيلي في دورق دائري القاعد Round bottom flask وقد ربط الدورق بمكثف عاكس Reflex condenser بعد وضعه على الخلاط المغناطيسي Magnetic Stirror ، ثم ترك لمدة 4 ساعات تقريبا حيث نقل الى بيكر مغلق (لمنع تبخّر الكحول) لمدة 24 ساعة ورشح محلول باستخدام ورقة ترشيح (واتمان واحد) ثم تم تبخّر الكحول من الرشاح باستعمال جهاز المبخر الدوار ودرجة حرارة لا تتجاوز (40)⁰ م حتى اصبح جافا او شبه جاف تاركا المستخلص على شكل راسب ذي لون قيواني مخضر غامق، بعد ذلك اذيب الراسب المتكون في الدورق بكمية قليلة جدا من الكحول وضيف اليه حوالي (65) ملليلتر من حامض الكبريشيك Sulphuric acid

Acid بتركيز (2%) واعيد ثانية الى جهاز المبخر الدوار وذلك لفترة كافية لتbxر ما يبر Mayers Test للتأكد من وجود القلويات (1983، السامراني).

ثانيا:- الكشف الكيميائي عن بعض المكونات الفعالة في المستخلصات النباتية.
حضرت الكواشف والمحاليل حسب الطريقة التي ذكرها كل من (Stahil 1969) و (Harborne 1973) وهي:

محضر كلوريد الحديديك للكشف عن العفصيات وكاشف فيهانك للكشف عن المواد الكلابوكسيتية و محلول كلوريد الزئفونيك للكشف عن الصابونيات وتم استخدام الامونيا للكشف عن الفلافيونيدات - باستخدام كاشف دراجنروف للكشف عن القلويات وتم الكشف عن التريبيونات والستيروبينات باستخدام حامض الخليك اللاماني وحامض الكربونيك المركز (Al-Abid 1985 ، الخاجي 2000).

ثالثا:- الفحصات المستخدمة.
تم فحص 50 مريضا مصاب بالتهابات جلدية وقد نميت العزلات بعد الفحص المجهرى المباشر على وسط اجار ساپرید المحور ثم فحصت المستعمرات النامية على الوسط.

رابعا:- فحص تأثير المستخلصات النباتية بطريقة مزجها مع الوسط الغذائي وقياس قطر المستعمرة.

فحص المحلول القياسي (Stock Solution) وذلك باضافة (2000) ملغم من كل مستخلص في (20) مل من الماء المقطر المعقم وحضرت التراكيز الآتية:- (50 او 20) ملغم/مل، اضيفت هذه التراكيز الى وسط اكر الساپرويد المحور والمعقم بحيث اصبح الحجم النهائي لكل تراكيز (60) مل واستخدام (60) مل من الوسط الغذائي المعقم للمثارنة، كما واضيف (2) مل من عقار الشالبيكس Nalbix (Clotrimazole) بتركيز (30) ملغم/مل الى (60) مليتر من الوسط الغذائي المعقم كل على حدة وزعت على الاطباق وبثلاث مكررات لكل تراكيز وذلك بعرض المقرنة بعد تحصلب الوسط الغذائي وضع في مركز الطبق القماح القطري المؤلف من قرص بقر (7) ملم مقطوع بواسطة منقاب فليني من مستعمرة الفطر النامي على الوسط الغذائي ندة (2-3) اسابيع ودرجة 30 ° وبعد ذلك حضنت الاطباق في 30 ° وتم

قياس قطر المستعمرة النامية (معدل قطرين متعامدين) خلال فترة (3-2) اسابيع حسب نوع الفطر كما تم حساب نسبة التنشيط كما في المعادلة التالية:-

$$\text{نسبة التنشيط} = \frac{\text{معدل نمو الفطر في اطباق المقارنة}}{\text{معدل نمو الفطر في اطباق المعاملة}} \times 100$$

النتائج والمناقشة

اعطى الفحص المجيري المباشر نتائج ايجابية لـ 46 عينة بظبور مايسينا محجرة وابوغ مفصليه الا ان 41 عينة منها حصل فيها نمو على الوسط الغذائي ومن خلال فحص الظاهري واجيري للمستعمرات تم تشخيصها (جدول 1) وتم اختيار الفطريات التالية تدرسة.

Trichophyton Mentagrophytes

T. Ajelloi

Epidermophyton Flocossum

بلغت نسبة المستخلص الايثانولي لنبات سم الفراخ (16%) وكان قواميه لزجا ولونه اخضر داكن بينما كانت نسبة المستخلص القلويدي من هذا النبات (8%) وبشكل بلورات بنية خامقة مائلة للاسوداد واكدت نتائج الكشف الكيميائي للمستخلصات النباتية باستعمال الكواشف والمحاليل التي سبق ذكرها وجود الصابونيات والكلارicosيدات والفلافونويدات والغصبات والقلويديات والتربيبات واللتريبيبات في مستخلصات نبات سم الفراخ (جدول رقم 2) وهذا متافق مع ما اشار اليه كل من (Chada Y., 1976: Schwarting Et al., 1963) ومن خلال دراسة تأثير التراكيز المختلفة للمستخلص الكحولي في قطر المستعمرة لـ (*Epidermophyton Flocossum, T.Ajelloi, Trichophyton, Mentagrophytes*) القلويدي (3-2)، لم تدون نتائج تأثير المستخلص المائي لعدم وجود فرق واضح عن السيطرة وهذا يؤكّد على ان المركبات الكيميائية الذائية في الماء لهذا النبات ليس لها أي تأثير في نمو هذه الفطريات كما لاحظ لك (Khan et at.., 1993) ان المكونات غير القلويدية لمستخلصات ثمار سم الفراخ ذات فعالية قليلة جدا ضد الجراثيم. اظهر المستخلص الايثانولي تأثيرا واضحا عند

ادنى تركيز وهو 5 ملغم/مل ذكما موضحا في الجدول (3-1) وتبين ان النوع T.Mentagrophytes كان الاكثر تاثيرا بالمستخلص من النوعين الاخرين كما في الاشكال (أوب) حيث ثبط نمو هذا الفطر تماما عند التركيز 20 ملغم/مل وكانت نسب تثبيط هذا الفطر عند التركيزين (5, 10 ملغم/مل) عالية ايضا وهي (88.3, 95.56) % على التوالي، اما نسب تثبيط النوع T. Ajelloi (5, 10, 20 ملغم/مل على التوالي، اما انواع E. Flocossum فان نسب تثبيطه بهذا المستخلص بلغت (79.5, 84.25, 97.5) % عند هذه التراكيز على التوالي ومن الجدير بالذكر ان فروقا معنوية عند مستوى احتمالية 5% وجدت بين معدلات نمو هذه الفطريات لمجموعات التراكيز المذكورة سابقا وبينها وبين معاملة المقارنة.

ابدى المستخلص القلويدي لبذا النبات تاثيرا مثيضا اكبر من المستخلص الايثانولى وعند جميع التراكيز فقد ظهر ان نسبة تثبيط النوع T. Mentagrophytes عند ادنى تركيز مستخدم وهو 5 ماغم/مل هي 95.56%， وارتفاع هذا التاثير المثبت الى 100% في التركيزين (10 و 20) ملغم/مل ولم يلاحظ فرق معنوي بين هذين التركيزين اما النوع T. Ajelloi فكانت نسبة تثبيطه (73.37, 81.41, 86.94) % عند التراكيز (5, 10, 20) ملغم/مل على التوالي، اما نسب تثبيط النوع E. Flocossum فقد كانت متقاربة عند هذه التراكيز و هي (90, 94.25, 98) % على التوالي، وقد وجد ان هناك فروقا معنوية عند مستوى احتمالية (5%) بين معدلات نمو كل من النوع T. Ajelloi والنوع E. Flocossum عند التراكيز كافة كما في الجدول (3-2) و هذا يؤيد ما توصل اليه (Dasgupta et al., 1970) في دراسة سابقة في كون هذا النبات ذو فعالية مضادة للاحياء المجهرية وبعض الفطريات المرضية وتعود هذه الفعالية الى القلويدي (الوذافرين - A)، نضرا للتأثير المعنوي الواضح للمستخلص الايثانولى والقلويدي لاوراق سم الفراخ في تثبيط نمو الفطريات الجلدية الثلاثة المدرسوة نوصي بالتالي :-

1. التاكيد على زراعة النبات لامفيته الطبية.
2. اجراء دراسات موسعة حول تاثيره في فطريات مرضية اخرى وكذلك الاحياء المجهرية الاخرى.
3. عزل المواد الفعالة.
4. اجراء دراسة كيميائية بيولوجية في تاثير هذه المستخلصات في الفطريات (في حيوانات المختبر) والتاكيد من عدم وجود اعراض جانبية.

تأثير مستخلصات أوراق نبات سم الفراخ *Withania Somnifera* على نمو بعض الفطريات الجلدية
د. سجال عبد الوهاب الركابي وجماعته

جدول (1) انواع الفطريات المعزولة ومناطق عزلها وعدها

النوع	المناطق	العزل
T. Mentagrophytes	من بين الفخذين والقدم	8
T. Ajrlloii	من الوجه	2
E. Floccosum	من الابط والاظافر والقدم	10
C. Albieans	من الابط والاظافر والقدم -	17
S. Brevicaulis	من بين الفخذين	3
- S. Candida	من بين الفخذين	- 1
المجموع		41

جدول (2) تأثير الكشف الكيميائي التمهيدي لبعض المكونات الكيميائية
الفعلة للنباتات المستخدمة

النبات	نوع الكاشف أو محلول	المكونات الكيميائية المكتشف عنها
نبات سم الفراخ	محلول كلوريد الحديدات	العنصريات
÷ ve	كاشف فيلانك	الكلريكسيدات
÷ ve	محلول كلوريد الزئبق	انصابونات
÷ ve	الامونيا	النفرفونيدات
÷ ve	كاشف دراجندروف	الثقوبيات
÷ ve	حامض الكبريتيك المركز	التربيين
÷ ve	حامض الكبريتيك المركز	الستيرويد

العلامة (+) تدل على احتواء المسخلص على المركب الكيميائي
العلامة (-) تدل على عدم احتواء المسخلص على المركب الكيميائي

جدول (3-1) تأثير المستخلص الإيثانولي الخام لنبات سم الفراخ والعقار Nablix على قطر المستعمرة الفطرية (ملم) النامية على الوسط الغذائي (clotrimazole 1%)

E. Floccosum	T. Ajelloi	T.Mentagrophytes	اسم الفطر
النسبة المئوية للتبليط	معدل قطر المستعمرة	النسبة المئوية للتبليط	معدل قطر المستعمرة
0	80.00 ^a	0	1.24±66.33 ^a
79.5	0.47±16.33 ^b	58.79	0.47±27.33 ^b
84.25	1.24±12.6 ^c	69.35	0.47±20.33 ^c
79.5	0.81±2 ^d	80.4	13.00 ^d
99.25	0.47±0.6 ^d	100	0.0 ^e

جدول (3-2) تأثير المستخلص القلويدي لنبات سم الفراخ والعقار Nablix على قطر المستعمرة الفطرية (ملم) النامية على الوسط الغذائي (Clotrimazole 1%).

E.Floccosum	T.Ajello	T.Mentagrophytes	اسم الفطر
النسبة المئوية للتبليط	معدل قطر المستعمرة	النسبة المئوية للتبليط	معدل قطر المستعمرة
0	80.00 ^a	0	1.24±66.33 ^a
90	0.816±8 ^b	73.37	1.24±17.66 ^b
94.25	0.47±4.6 ^c	81.41	0.47±12.33 ^c
98.75	0.816±1 ^d	86.94	0.47±8.66 ^d
99.25	0.47±0.6 ^d	100	0.0 ^e

- معدل النمو حسب باستخدام ثلاثة مكررات

- الارقام التي تلي الاشارة (±) تمثل الانحراف المعياري لمعدل النمو
- الانحراف المعياري الذي قيمته (0.0) تم اغفاله في الجدول
- معدلات النمو التي تتميز بنفس الحرف لا توجد بينها فروق معنوية عند LSD 5%.

المصادر

1. الجنابي، على عبد الحسين تأثير بعض المستخلصات النباتية على نمو الفطريات الممرضة لجذب الإنسان، رسالة ماجستير، الجامعة المستنصرية، كلية العلوم. (1996)
2. السامرائي، خلود وهيب توزيع القلويدات و أهميتها التصنيعية في بعض الأنواع البرية من العائلة البينجانية Solanaceae في العراق - رسالة ماجستير - جامعة بغداد - كلية العلوم. (1983)
3. - Al-Rawi A., and Chakravarty H.L. Medicinal Plants of Iraq. Sec.Ed., Ministry of Agric., Baghdad. (1988).
4. Atal C.K., and Schwarting A.E., Ashwagandha-An Ancient Indian Drug. Economic Botany, 15: 256 - 263. (1961)
5. Hada Y.R., The Wealth of India (Raw Materials) V. Xpublication and Information Directorate, C.S.I.R. New Delhi, India:- 580 - 5850. (1976)
6. Chakravarty H.L. Solanaceae of Iraq (Taxonomy and Economics). Government Press, Baghdad. (1964)
7. Choudhary M.I., Shahwar D., Parveen Z., Jabbar A., Ali I., and Atta-ur-Rahman A. Antifungal Steroidal Lactones from *Withania Coagulans*. Phytoche. 40(4): 1243 - 1246. (1995).
8. Dasgupta, Sethi L.R., Sharma E.D., Subramanian K.B., Sankara S.. (1970) Antifungal Activity of Withafren-A. Ind. J. Pharm.. 32-70, Chem. Abs. 72, 63549p. (1970).
9. Evans W.C., Treas & Evans, Pharmacognosy, 13th ed.. Bailliere Tindall, London. (1992)
10. Harborne J.B. Phytochemical Methods. Science Paper Backs, Chapman and Hail. (1973)
11. Kandil F.E., El-Sayed N.H., Abou-Dough A.M., Ishak M.S. and Mabry T.J. Flavonol Glycoside and Phenolics from *Withania Somnifera*. Phytoche 37 (4): 1215 - 1216. (1994)
12. Khan F.Z., Saeed M.A., Alam M., Chaudhry A.R., Ismail M. Biological Studies of Indigenous Medicinal Plants. Part 3. Phytochemical and Antimicrobial Studies on the non-Alkaloidal Constituents of Some Solanaceous Fruits. Gazi-Univ-Eczacilik-Fak-Derg. 10(2): 105 - 116. (1993)
13. Kirson E., Gloter K.E., Abraham A., and Lavie D. Constituents of *Withania Somnifera* Dun. Terahedron, 26: 2209 - 2219. (1970)

14. Kupchan S.M., Anderson W.K., Bollinger P., Doskotch R.W., Smith R.M., Renauld J.A., Schnoes K., Burlingame A.L., and Smith D.H., Tumer Inhibitors XXXIX. Active Principles of *Acnistus Arborescens* Isolation and Structural and Spectral Studies of Withaferin A and Withacnistanin J., *Org.Chem.* 34: 3858 -3866. (1964)
15. Lewis W.H., and Elvin-Lewis M.P. *Medical Botany*, U.S.A. (1977)
16. Schwarting A.E., Bobbit J.M., Rother A., Atal C.K., Khanna K.L., Leary J.D., and Walter W.G., The Alkaloid of *Withania Somnifera*. *Lloydia*, 26: 258 - 272. (1963)
17. Stahl E. *Thin-Layer-Chromatography a Laboratory. Hand Book* 2nd Ed., Translated by Ashworth, M.R.F. Springer-Verlag, Berlin, Heidelberg, New York. (1969)

تأثير الإشعاع على معامل هول وتركيز الحاملات وتحريكية هول الأغشية $Zn_x Cd_{1-x} S$ الرقيقة
د. ياسين نجم عبيد وجماعته

تأثير الإشعاع على معامل هول وتركيز الحاملات وتحريكية هول الأغشية $Zn_x Cd_{1-x} S$ الرقيقة

د. ياسين نجم عبيد د. خالد ابراهيم سلمان جاسم محمد صالح
قسم الفيزياء - كلية العلوم - الجامعة المستنصرية

ABSTRACT

In this study. Thin films $Zn_x Cd_{1-x} S$ before and after irradiation. Of (γ -ray) with difference doses (57-12, 113-56, 170-68) K Gray/h. These Films were deposited to lass substrates by spray pyrolysis technique with substrates temperature (653) K. The thickness of prepared samples was 25000 Å . Hall effect was studied for (x) value $0 \leq x \leq 1$ and showed that the films weren-type.

الخلاصة

في هذا البحث تم دراسة الأغشية الرقيقة لمركب $Zn_x Cd_{1-x} S$ وبعد التشعيع بأشعة كاما بجرعات إشعاعية مختلفة h (57.12, 113.56, 170.68) K Gray/h. رسبت هذه الأغشية على قواعد زجاجية درجة حرارتها K(653). وكان سمك الأغشية المحضرة $(2500) \text{ Å}$. ودرس تأثير هول على الأغشية عند قيم $0 \leq x \leq 1$ وقد تبين ان الأغشية قبل وبعد التشعيع هي من النوع السالب (n-Type).

المقدمة

تصنف المواد في الطبيعة من حيث التوصيلية الكهربائية.

إلى كل من [1]

1. مواد موصلة 2. مواد عازلة 3. مواد شبه موصنة

وبما ان الأغشية $Zn_x Cd_{1-x} S$ المستخدمة في البحث هو شبه موصل ويكون قابلته على التوصيل الكهربائي في درجة حرارة الغرفة. بجدود $(\& \cdot \text{cm}^{-1}) (10^3 - 10^8)$ وتكون عازلة عند

درجة الحرارة الواطئة (OK) وتتأثر توصيليتها بعوامل كثيرة منها حرارة الضوء، المجال المغناطيسي. وان حساسية شبه الموصل تجاه هذه العوامل تجعله مادة بالغة الأهمية في التطبيقات الإلكترونية^[1].

ان الأغشية المحضرة بطريقة الرش الكيميائي الحراري هي أغشية ذات نوعية جيدة وتصلخ في العديد من التطبيقات العلمية والصناعية وبكلفة رخيصة مقارنة مع الطرق الأخرى^[2]. فان هذه الأغشية المحضرة هذه الطريقة تصلخ في استخدامات عديدة كالتطبيقات الفولاذية^[3] وساهمت تقنية الأغشية البرقية مساهمة كبيرة في دراسة اشباه الموصلات واعطت فكرة واضحة عن العديد من خواصها الفيزيائية والكيميائية^[4].

وفي هذا البحث حضرت أغشية $S^{1-x}Cd^xZn$ بنسب مختلفة لـ (X) ودرس تأثير الأشعاع على معامل هول وتركيز الحاملات وتحركية هول قبل وبعد التشعيع بجرع اشعاعية مختلفة.

ولإيجاد معامل هول تم استخدام المعادلة الآتية^[5]:

$$R_H = \frac{V_H t}{I_x B} \quad \dots \dots \dots (1)$$

حيث يمثل الحد $\frac{V_H}{I_x}$ ميل العلاقة الخطية بين فولتيه هول V_H والتيار الخارج لا شدة

ال المجال المغناطيسي المسلط. وتكون اشارة R_H بالمعادلة رقم (1). سالبة لشبه موصل من نوع (n).

ومن خلال المعادلة الآتية تم حساب تركيز الحاملات (Carriers Concentration)

$$n = \frac{1}{R_H q} \quad \dots \dots \dots (2)$$

ومن خلال المعادلة الآتية تم حساب التحركية بعد حساب قيمة التوصيلية المستمرة σ_{dc}

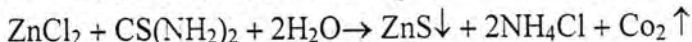
^[5] ومعامل هول.

$$M_H = |R_H| \sigma \quad \dots \dots \dots (3)$$

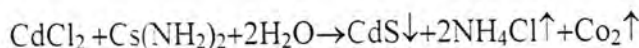
الجاتب العلمي

حضرت الأغشية على قواعد من الزجاج العادي وتم تنظيفها تنظيفاً جيداً أو لاً بالماء الجاري وبعدها بالكحول وجهاز الموجات فوق الصوتية. ومن ثم حضر محلول كبريتيد الزنك من مادتي ZnS :

وبعيارية $0.05m$ مع الثايريا بعياربة ($0.05m$) وفقاً للتفاعل الآتي:



وكذلك حضر محلول كبريتيد الكادميوم CdS من مادتي $CdCl_2$ وبعياربة $0.05M$ مع الثايريا بعياربة $0.05M$ للتفاعل الآتي:



ومن ثم مزج محلول بالنسبة الوزنية المطلوبة. وقد رسّبت المادة على القواعد الزجاجية المسخنة إلى درجة حرارة $K(653)$ بواسطة جهاز الرش المصمم لهذا الغرض (ان تفاصيل عملية الرش نشرت في بحوث سابقة^[8]).

وقد تم تبريد القواعد بعد الرش بمعدل ترسيب مناسب بحيث لا يؤدي إلى تكسد الأغشية عند التبريد الطويل^[9].

النتائج والمناقشات

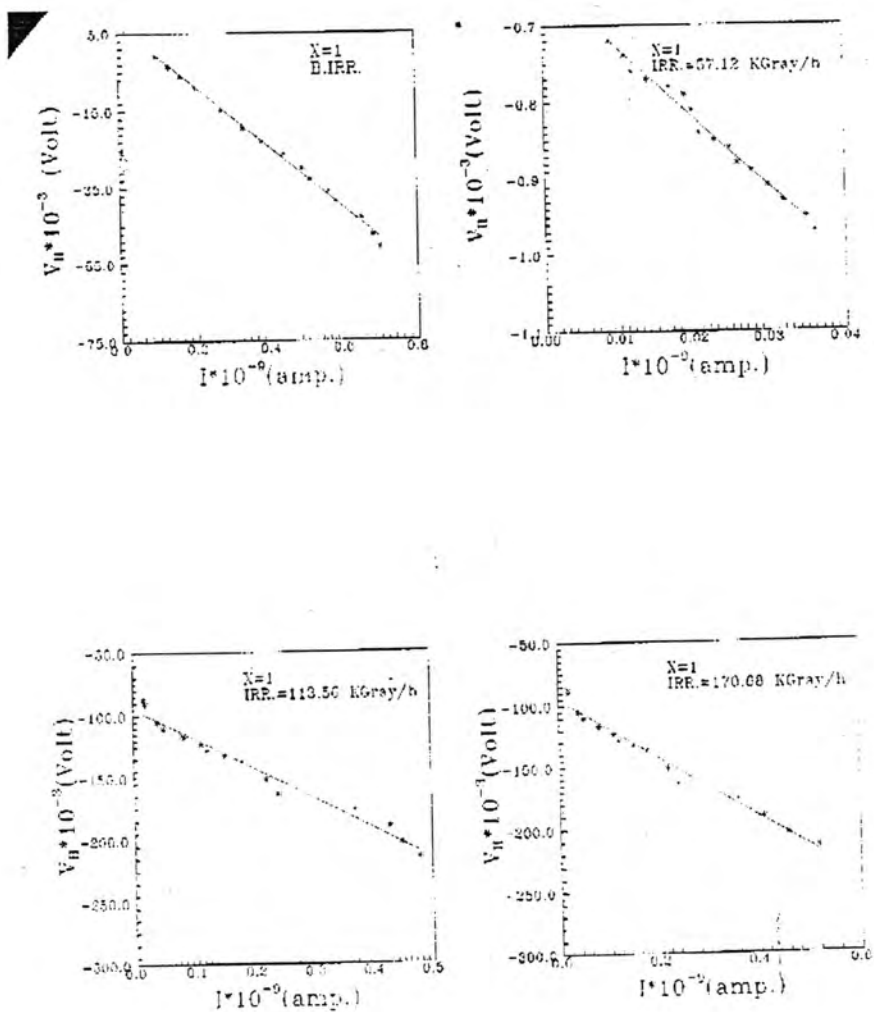
إن النتائج المستحصلة من خلال العلاقة بين التيار (I) وفولتية هول (V_H) إنها علاقة عكسيّة أي أن فولتية هول تقل مع زيادة المجال المسلط على طرفي الغشاء أي أن أغشية $Zn_x Cd_{1-x} S$ هي أغشية من النوع السالب (n -type) وهذا ما توصل إليه العديد من الباحثين وبكافأة ضرق التحضير لهذه الأغشية^[8,9].

والأشكال (5,4,3,2,1) تبين نتائج هول للأغشية $Zn_xCd_{1-x}S$ عند قيم $1 \leq x \leq 0$ المشععة بجرعات إشعاعية مختلفة.

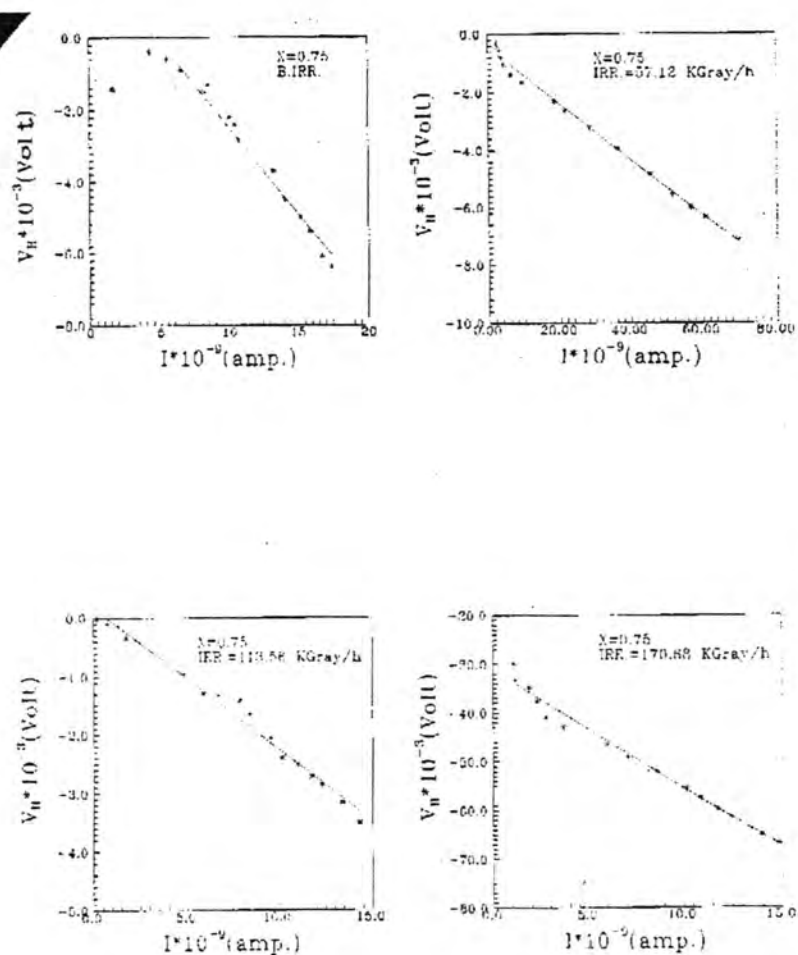
وتعزى العلاقة بين التيار وفولتية هول الى ان مجال هول المتولد يعمل على عرقلة الحاملات الأخذية والمتمنثة بالإلكترونات لذا نلاحظ عند زيادة المجال المسلط على طرف في الغشاء يحدث نقصان في فولتية هول. ومن خلال المعادلة (1) تم حساب معامل هول (R_H) ومن خلال المعادلة (2) تم حساب تركيز الحاملات ومن خلال المعادلة (3) تم حساب تحركيه هول بعد حساب قيمة التوصيلية المستمرة ومعامل هول والجدول (1) يوضح قيمة هول وتركيز الحاملات والتحركيه للأغشية عند القيم $1 \leq x \leq 0$ المشععة بحركات إشعاعية مختلفة. نلاحظ الجدول ان قيمة معامل هول تقل مع نقصان قيمة (x) في المركب وهذه النتيجة تتفق مع البحوث السابقة [10]. وكذلك تتفق مع نتائج التوصيلية المستمرة حيث ان تركيز حاملات الشحنة يؤدي الى زيادة التوصيلية.

ونلاحظ من الجدول ان معامل هول للأغشية $Zn_xCd_{1-x}S$ المشععة ذات سلوك متفاوت بين زيادة ونقصان. فإذا كان معامل هول يقل مع زيادة الجرع الإشعاعية نلاحظ ان تركيز الحاملات يزداد ويعزى ذلك الى ان التشيع ادى الى زيادة العيوب وتكون مستويات موضعية داخل الفجوة الحركية وبالتالي ان حاملة الشحنة تمتلك طاقة قليلة حتى تنتقل من مستوى فيرمي الى مستويات الذيل في حزمتي التكافؤ والتوصيل فيزداد بذلك تركيز الحاملات. اما عند زيادة معامل هول مع زيادة الجرع الإشعاعية نلاحظ ان تركيز الحاملات يقل والسبب يعود الى ان التشيع يؤدي الى تقليل كثافة المستويات الموضعية داخل الفجوة الحركية وعلى العموم فإن تحركيه هول تزداد مع نقصان نسبة (x) في المركب، ويمكن ان يعزى ذلك الى زيادة التوصيلية مع زيادة نسبة الكادميوم في المركب وهذا ما يتفق مع ما توصلت إليه الباحثة [10].

تأثير الإشعاع على معامل هول وتركيز الحاملات وتحركية هول الأغشية الرقيقة
د. ياسين نجم عبيد وجماعته

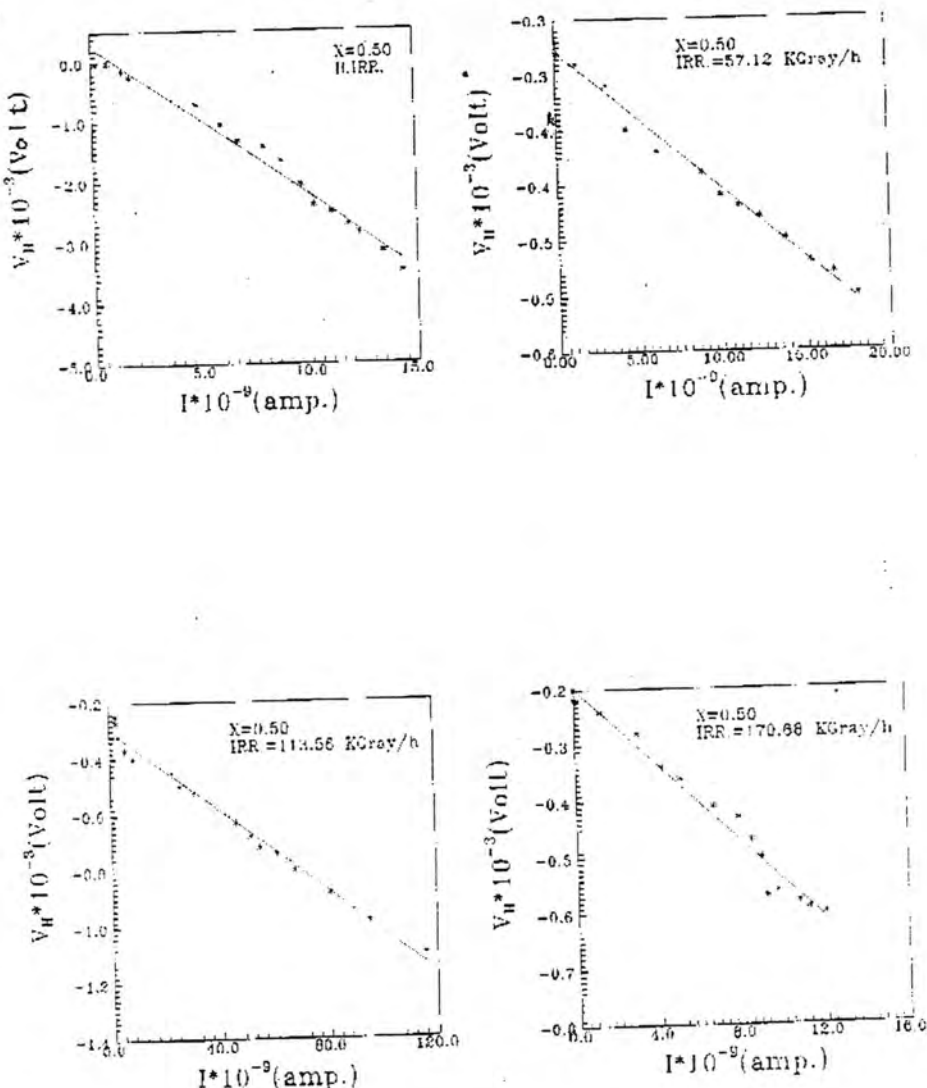


شكل . (1) تغير فولتية هول (V_H) مع البار لفت $X=1$ قبل وبعد التشعيع.

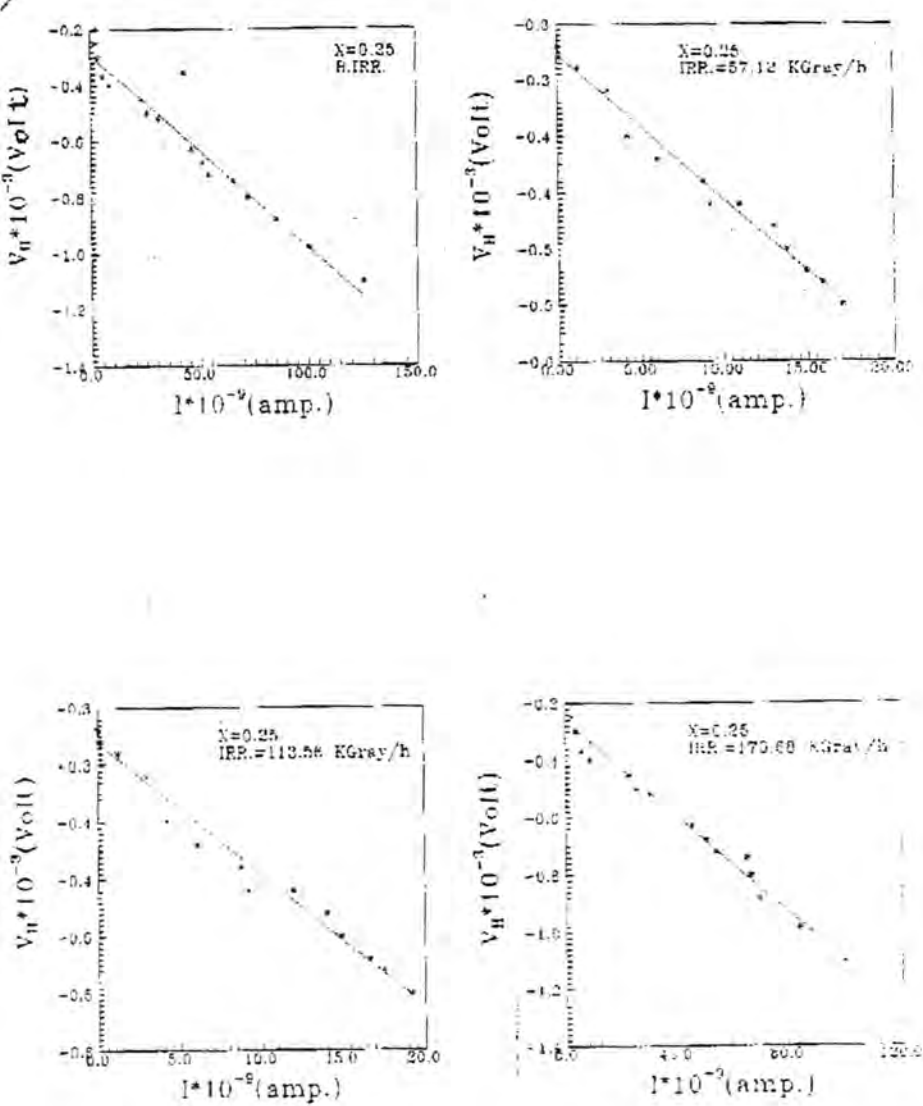
شكل (2) تغير فولتبة هول (V_H) مع التيار I لعدة $X=0.75$ قل وبعد التشيع.

تأثير الإشعاع على معامل هول وتركيز الحاملات وتحريكية هول الألغشية $Zn_x Cd_{1-x} S$ الرقيقة

د. ياسين نجم عبد وجماعته

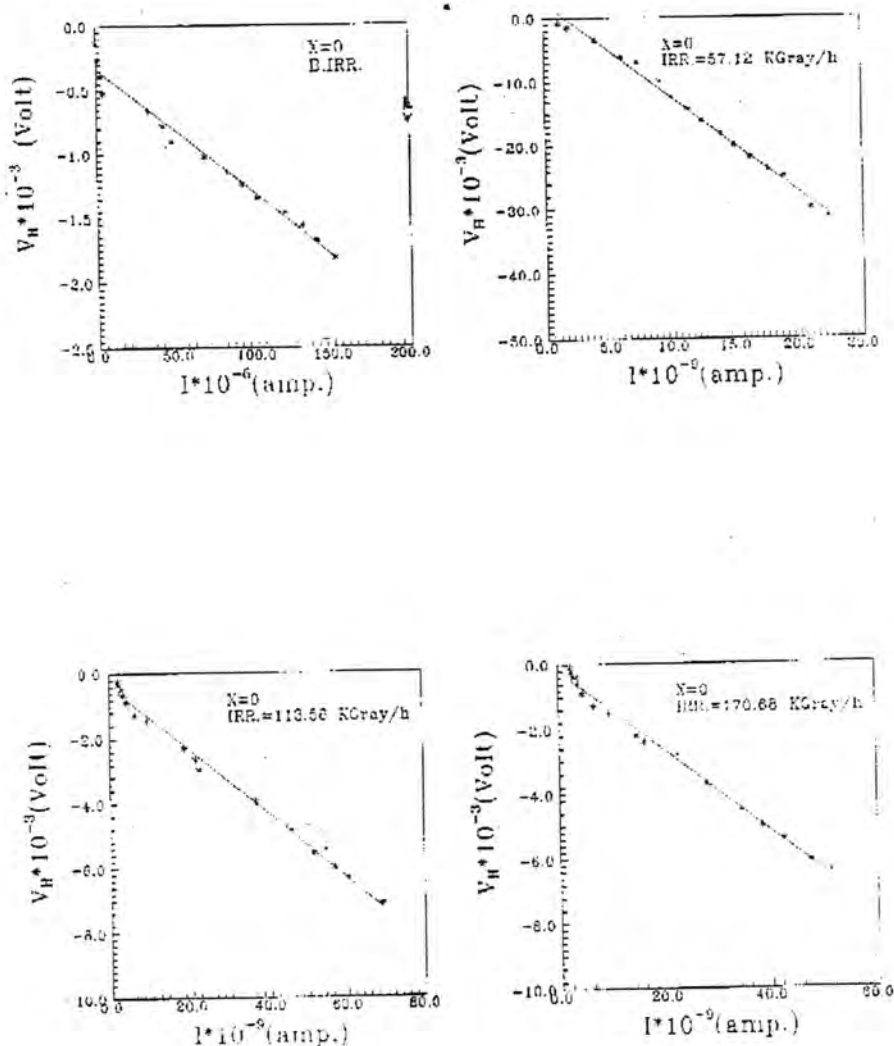


شكل (3). تغير فولتية هول (V_H) مع الكيار لفترة $x=0.50$ قبل وبعد التشعيع.



شكل (4) تغير فولطية هرزل (V_H) مع التيار لغشاء $X=0.25$ قبل وبعد الشعاع.

تأثير الإشعاع على معامل هول وتركيز الحاملاً وتحريكية هول الأغشية $Zn_x Cd_{1-x} S$ الرقيقة
د. ياسين نجم عبيد وجماعته



شكل (5). تغير فولتية هول (V_H) مع التيار I لغشاء $X=0$ قبل وبعد التشعيع.

جدول (1) يوضح نتائج تأثير هول لأغشية (Zn_xCd_{1-x}S) الواقية قبل وبعد التشيع

نسبة X	IRR K Gay/h	R _H (cm ₃ /c)	N Cm ⁻³	M (cm ² /v.sec)
	B.IRR	-7.66*10 ⁷	8.15*10 ¹⁰	1.394
	57.120	-8.77*10 ⁶	7.126*10 ¹¹	0.263
X=1	113.56	-2.34*10 ⁸	2.66*10 ¹⁰	7.254
	170.68	-2.29*10 ⁸	2.72*10 ¹⁰	7.557
	B.IRR	-4.65*10 ⁵	1.34*10 ¹³	0.159
	57.120	-9.33*10 ⁴	6.69*10 ¹³	0.033
X=0.75	113.56	-2.35*10 ⁵	2.65*10 ¹²	0.096
	170.68	-2.34*10 ⁶	2.66*10 ¹²	0.053
	B.IRR	-2.41*10 ⁵	2.59*10 ¹³	0.645
	57.120	-1.21*10 ⁴	5.14*10 ¹²	0.053
X=0.50	113.56	-6.80*10 ³	9.18*10 ¹¹	0.055
	170.68	-3.30*10 ⁴	1.89*10 ¹²	0.250
	B.IRR	-60.63*10 ³	9.42*10 ¹²	0.188
	57.120	-1.16*10 ⁴	5.35*10 ¹²	0.324
X=0.25	113.56	-1.06*10 ⁴	5.84*10 ¹²	0.381
	170.68	-7.77*10 ³	8.03*10 ¹²	0.233
	B.IRR	-9.52	6.56*10 ¹²	0.023
	57.120	-1.45	4.31*10 ¹³	0.005
X=0	57.120	-0.096	6.49*10 ¹³	0.004
	113.56	-0.119	5.22*10 ¹³	0.004

الاستنتاجات

- إن أغشية Zn_xCd_{1-x}S المحضرة بطريقة الرش الكيميائي الحراري بأشعة كاما بحر عات إشعاعية مختلفة هي أغشية جيدة وتنصلح كخلايا شمسية.
- إن نتائج تأثير هول على الأغشية قبل وبعد التشيع هي من النوع السالب.
- إن تركيز الحاملات يزداد نسبة الكادميوم في الغشاء.

REFERENCES

1. S.M. Sze, Semi Conductors Devices Physics and Technology Translated F.G.Hayaty and H.A. Ahmed . University of Mosul (1990).
2. R.H.Misko, Iraqi Journal of Science, Vol. 30, No. 3. (1989).

3. M.D. Up Lane, C.
D. Lokhonde, Tr, J.of Physics, Vol.,20; p.p. 1097 (1996).
4. K.L. Chopra. Thin Film Phynomena M.C. Graw-Hill Book Company, New York (1969).
5. M.G. Yousif "Solid State Physics" Vol. 2 (Baghdad University) (1988).
6. A.K. Al-Sakini, College of Education Ibn Al-Haitham University of Baghdad (1998) M. SC. Thesis).
7. Roberts, Feigelson. "J. Appl. Phy." Vol. 48, No. 7 (1977).
8. B. Ray "II-VI Compound. First Edition, Printed in Great Britain by Npil and Co., Ltd., of Education (1969).
9. Sjailaja Kolhe, S.K. Kull Karni. "Solar Energy Materials" 13, pp. 203-211, (1986).
10. H-Shilal "Study the effect of (x) variation in the $Zn_x Cd_{1-x} S$ Thin films on the Electvical and Optical Properties" M.Sc. Thesis University of Baghdad (2000).

تأثير درجة الحرارة على الخواص الكهربائية للتركيب نيكل-سيليكون

عدي عطا حمادي ، ايفان طارق سالم

ص.ب. 55159 . بغداد 12001 ز العراق

وحدة ابحاث الليزر - الجامعة التكنولوجية - ص.ب 35010 - بغداد - العراق

ABSTRACT

In this work, electrical resistivity and Hall effect measurements were performed to a thin NiSi films in temperature range of 300-900°K.. two types of silicon substrates were used: bare silicon wafers and oxidized wafers. The temperature dependence of resistivity and Hall coefficient established the metallic feature of the NiSi films. At room temperature, the resistivity, the electron concentration and Hall mobility were measured to be $15\mu\Omega\text{cm}$, $6.88 \times 10^{22}\text{cm}^{-3}$, $6.2\text{cm}^2/\text{V.sec.}$, and $40\mu\Omega\text{cm}$, $3.49 \times 10^{22}\text{cm}^{-3}$, $4.0\text{cm}^2/\text{V.sec.}$, for bare and oxidized wafers, respectively.

الخلاصة

في هذا البحث، تم إجراء قياسات للمقاومة الكهربائية و تأثير هول لأغشية رقيقة من NiSi لمدى من درجات الحرارة (300-900° K). جرى استخدام نوعين من القواعد السيليكونية: الأول رفاقات مجردة والثاني رفاقات متلاصدة. أكد اعتماد المقاومة وتأثير هول على درجة الحرارة الخاصية المعدنية لإغشية NiSi. تم قياس كل من المقاومة وتركيز الإلكترونات وتحريكيه هول عند درجة حرارة الغرفة، وكانت قيمها $15\mu\Omega\text{cm}$ ، $6.88 \times 10^{22}\text{cm}^{-3}$ و $6.2\text{cm}^2/\text{V.sec}$ و $40\mu\Omega\text{cm}$ للرفاقات المجردة، و $3.49 \times 10^{22}\text{cm}^{-3}$ و $4.0\text{cm}^2/\text{V.sec}$ للرفاقات المتلاصدة، على التوالي.

المقدمة

يستحوذ الاتصال ما بين المعدن والمادة شبه الموصلة على اهتمام كبير في عمليات تصنيع نباتات الشباه الموصلات (Semiconductor Devices)، وقد حظيت الأغشية الرقيقة المصنعة من تركيب السيليكون - المعدن (M-Si) باهتمام ملحوظ من قبل الباحثين بسبب استخدامها كاتصالات أومية (Ohmie) أو اتصالات معانعة (Rectifying) أو كتوصيلات ذات مقاومة واطئة في تصنيع الدوائر المتكاملة (IC Technology)⁽¹⁻⁵⁾، إذ تمتاز هذه الاتصالات غالباً بالاستقرارية الكيميائية كما أنها مؤهلة بشكل جيد للعمل كمواد موصلة أو مقاومات على شكل أغشية رقيقة⁽⁶⁾.

لقد تم تقديم بحوث كثيرة لدراسة الخواص термодинамическая واليات التكويون والسلوك التركيبي للمركبات السيليكونية، إلا أن القليل من تلك البحوث تناول الخواص الانتقالية لهذه التراكيب بالدراسة والتحليل⁽⁷⁻¹⁶⁾.

وفي هذا البحث، جرى تقديم نتائج دراسة تأثير درجة الحرارة على الخواص الكهربائية الانتقالية لاغشية رقيقة من التركيب NiSi لمدى من درجات الحرارة (300-900°C). كما تم قياس كل من المقاييس وتركيز الإلكترونات وتحريكية هول عند درجة حرارة الغرفة.

الجانب العملي

في هذا البحث استخدم مجموعتين من القواعد من السيليكون المانج باتجاهية بلوريّة (111) أذ كانت المجموعة الأولى عبارة عن رفاقات (Wafers) ذات مقاومة (1-2Ω.cm)، فيما كانت المجموعة الثانية عبارة عن قواعد جرى أكسستها حرارياً (بالتسخين). جرى أولاً تنظيف العينات باستخدام الأسبتون والكحول ومن ثم جرى تكوين طبقة من أوكسيد السيليكون (SiO₂) على الرفاق من خلال غمرها في محلول NH₄OH: H₂O₂: H₂O بالنسبة الحجمية 1:1:5 ولمدة 10 min. جرى بعد ذلك إزالة طبقة الأوكسيد من خلال تمييز العينات باستخدام محلول HF.

تم نقل العينات بعد ذلك إلى منظومة التبخير الحراري حيث جرى تبخير أغشية رقيقة من النikel النقي (99.99%) بسمك 480 Å تقريباً عند ضغط أقل من 10⁻⁶ Torr. ومن ثم جرى

ترسيب غشاء رقيق بسمك 3000 \AA من السيليكون النقى (99.99%) ومن ثم طبقة من التيكيل بسمك 600 \AA على القواد المتأكسدة حراريا.

لغض الحصول على التركيب NiSi، اجريت عملية التدين الحراري للعينات في جو مفرغ عند درجة حرارة 770°K ولمدة 45 min. قطعت العينات على شكل مساحة مربعة طول ضلعها 5mm وتم عمل الاتصالات الكهربائية باستخدام مجس التجسس الضاغط كما اجريت قياسات المقاومة الكهربائية وتاثير هول لمدى من درجات الحرارة ($300\text{-}900^\circ\text{K}$).

النتائج والمناقشة

يبين الشكل (1) علاقة المقاومة الكهربائية بدرجة الحرارة في حالة تغير سماكة غشاء NiSi ($577, 1332\text{\AA}$) على الرقاقات المؤكسدة حراريا، وكما يتضح من الشكل فإن الغشاء يسلك سلوك المعدن العادي والذي يتبع قاعدة Matthiessen⁽⁵⁾:

$$\rho(T) = \rho_0 + \rho_L(T) \quad (1)$$

يمثل الحد الأول المقاومة (Residual Resistivity) والتي تسببها استطارة الحاملات من قبل العيوب التركيبية والشوائب. أما الحد الثاني فيمثل الجزء المعتمد على درجة الحرارة (Temperature-Dependent) من المقاومة والذي تسببه استطارة الفونونات وهذا الحد يسلك سلوكا خطيا مع درجات الحرارة في المنطقة $T > 0.2\theta_D$ حيث ان θ_D هي درجة حرارة ديباي (Debye Temperature) بينما يتناسب هذا الحد مع T^5 لدرجات الحرارة الأوطال. تعطى مساهمة الفونونات في قيمة المقاومة كدالة لدرجة الحرارة بالعلاقة الآتية:

$$\rho_L = 4 \left(\frac{T}{\theta_D} \right)^5 \rho_0 \int_0^{T/\theta_D} \frac{x^5 e^x}{(e^x - 1)^2} dx \quad(2)$$

حيث ان ρ_0 هي قيمة ρ_L عند درجة حرارة ديباي.

يمكن حساب درجة حرارة ديباي وقيمة المقاومة المناظرة لها (ρ_0) وكذلك المقاومة المتبقية (ρ_L) من خلال الملائمة الرياضية للقيم المستحصلة تجريبيا وهذه القيم معطاة في الجدول .(1)

عدي عطا حمادي و ايفان طارق سالم

يبين الجدول (2) قيم المقاومية عند درجة حرارة الغرفة لكلا قيمتي السمك. بلغت اعظم قيمة للخطا في قياس المقاومية حوالي 0.5 %. ومثلاً هو متوقع، فإن الأغشية ذات السمك الأقل تظهر مقاومية أعلى من الأغشية ذات السمك الأكبر. ويمكن ان يعزى ذلك الى الاستطارة السطحية التي تصبح أكثر أهمية كلما قل سمك الغشاء. يمكن حساب معدل المسار الحر (λ) عند درجة حرارة الغرفة من العلاقة أدناه⁽⁸⁾ :

$$\lambda = h (3/8\pi)^{1/3} / e^2 \rho n^{2/3} \quad (3)$$

حيث أن ρ هي المقاومية، و θ هي شحنة الإلكترونون و e هي كثافة الحاملات.

إن سلوك المقاومية المعتمدة على درجة الحرارة ينعرف عن السلوك الخطى لدرجات الحرارة الأعلى من $K 650$ ويكون هذا الانحراف ملحوظاً أكثر للأغشية ذات السمك الأقل. يمكن حساب قيمة معدل المسار الحر باستخدام العلاقة (3) وهذه القيمة تتراوح قيمة درجة الحرارة التي يبداً انحراف الدائرة عن السلوك الخطى. وقد بلغت القيمة المنسوبة حوالي 4\AA وهي تقارب المسافة البينية ما بين الذرات. لهذه القيم من معدل المسار الحر، يتوقع ان تكون المقاومية غير معتمدة تماماً على درجة الحرارة.

يوضح الشكل (2) سلوك المقاومية مع درجة الحرارة في حالة رفاقات السيليكون المجرد. يلاحظ وجود قصر (Shorting) خلال رفقة السيليكون عند درجة حرارة $K 650$ فيما لم تتم ملاحظة هذا تأثير في حالة الرفقة المتأكسدة والتي تمثل عازلاً جيداً. تصبح رفاقات السيليكون مجرد موصلة وذات قيمة مقاومة متساوية لتلك التي يمتلكها المركب السيليكوني فوق قيمة معنية لدرجة الحرارة. ويمكن حساب مقاومية غشاء NiSi عند درجة حرارة الغرفة وكانت بحدود $15.06 \text{ m}\Omega \cdot \text{cm}$. هذه القيمة تم حسابها مع الأخذ بنظر الاعتبار السمك الإلكتروني لرفقة السيليكون، وكذلك عدد ذرات السيليكون لوحدة الخلية في التركيب NiSi ، وقد احمل حاجز الجيد بين غشاء NiSi وقاعدة السيليكون. لقد كانت قيمة المقاومة لرفاقات السيليكون المجردة أقل بكثير من القيمة المقاسة تتبعاً للمتأكسدة. ان الفرق يعزى الىحقيقة نوعي الفاسعدين مختلفين تماماً، فالرفقة المجردة هي من النوع المانح وذات اتجاهية بلورية (111) وبالتالي فإن الغشاء الرقيق المكون ذات نوعية افضل، أي انه يحتوي شوائب وعيوب أقل. فيما يبدو غشاء NiSi الرقيق والمكون على الرفقة المتأكسدة اكثر احتواء للعيوب (حجم حبيبي اصغر وشوائب اقل). لوحظ ان القيمة العملية للمقاومية للغشاء NiSi المكون على الرفقة المجردة عند درجة حرارة الغرفة تتفق بشكل جيد مع ما تم حسابه سابقاً⁽³⁻¹⁵⁾.

يوضح الشكل (3) تغير معامل هول (Hall Coefficient) مع درجة الحرارة لغشاء NiSi المتكون على الرفاقات المقاومة، ويلاحظ أن قيمة معامل هول ثابتة عملياً وهذا يؤكد الخاصية المعدنية لاغشية NiSi. ان اشاره معامل هول عبر المدى الذي تم تناوله من درجات الحرارة كانت سالبة، وهذا يفترض ان الالكترونات هي حاملات الشحن الغلوبية في العينات. وكان اقصى مقدار للخطأ في قياس معامل هول حوالي 3%. وعلى فرض النموذج احادي الجرمة، فإن معدل قيمة معامل هول يمكن ان يعطى بالعلاقة الآتية:

$$R_H = 1/n_e \quad (4)$$

وكان بحدود $3.65 \times 10^{22} \text{ cm}^{-3}$.

في حالة اخذ كثافة التركيب NiSi وباللغة ($4.55 \times 10^{22} \text{ Molecules/cm}^3$) والقيمة الترجيحية لتركيز الحاملات بنظر الاعتبار، فقد وجد ان هناك الكترون واحد يقوم بالتوصيل في كل جزيئه NiSi عند درجة حرارة الغرفة.

يوضح الشكل (4) تغير معامل هول مع درجة الحرارة لغشاء NiSi في حالة الرفاقات المجردة، وقد جرى حساب تركيز الحاملات عند درجة حرارة الغرفة وكان $6.88 \times 10^{22} \text{ cm}^{-3}$. وهذه القيمة تتفق بشكل جيد مع تلك تقاديمه في الأعمال السابقة⁽⁷⁻¹⁰⁾.

تعطي قيمة تحريكية هول بالعلاقة $R_H/\rho = H/m$ بما ان معامل هول (R_H) لا يعتمد على درجة الحرارة فان التحريكية تعتمد فقط على مقلوب قيمة المقاومية. والشكل (5) يوضح تغير التحريكية كدالة لدرجة الحرارة ويلاحظ انها تتراقص مع ازدياد درجة الحرارة وكما هو متوقع للمواد المعدنية الموصلة.

الاستنتاجات

جرى قياس المقاومية الكهربائية ومعامل هول لاغشية رقيقى من NiSi لمدى من درجات الحرارة (300°-900°K). اجريت القياسات على نوعين مختلفين من القواعد السيليكونية، قواعد مجردة وآخرى مقاومة. اكدت النتائج المستحصلة على القواعد السيليكونية المقاومة المعدنية للتركيب NiSi، فيما لوحظ ان حالة القواعد المجردة أثرت على النتائج المستحصلة منها. تم قياس المقاومية الكهربائية لرفاقات السيليكون المقاومة عند درجة حرارة الغرفة وكانت بحدود $40 \text{ m}\Omega \cdot \text{cm}$. كانت قيمة معامل هول سالبة في جميع العينات المستخدمة يتضمن بحدود $3.49 \times 10^{22} \text{ cm}^{-3}$ لتركيز الالكترونات عند درجة حرارة الغرفة وهذا

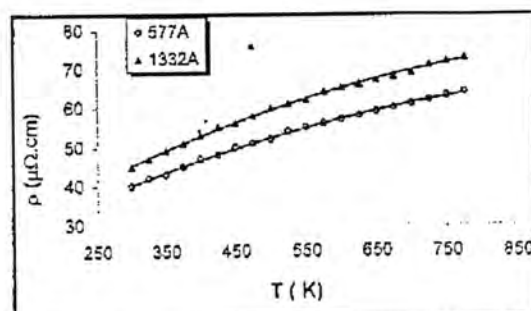
يعني وجود الكترون واحد تقريبا في كل جزئية NiSi يقوم بعملية التوصيل. تكون قيمة تحرير كينة هول المحسوبة بحدود $4\text{cm}^2/\text{V.sec}$ عند درجة حرارة الغرفة.

جدول (1) قيم المقاومية المتغيرة ودرجة حرارة ديباي والحد المعتمد على درجة الحرارة من المقاومية عند درجة حرارة ديباي لقيمتين من سمك العينة المستخدمة

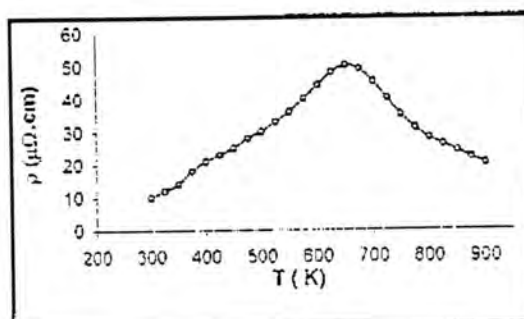
Oxidized Silicon Wafers		
Thickness t (\AA)	577	525
Debye Temperature θ_D ($^\circ\text{K}$)	425	525
Residual Resistivity ρ_0 ($\mu\Omega.\text{cm}$)	30.5	29.4
Resistivity at Debye Temperature ρ_θ ($\mu\Omega.\text{cm}$)	23.5	23.7

جدول (2) القيم التجريبية للمعاملات t, ρ, n, μ_H عند درجة حرارة 300°K لكل نوعي العينات

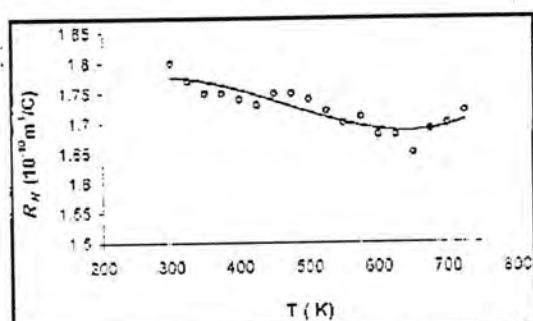
Substrate	This Work		Ref [4] n-type Si
	n-type Si	Oxidized Substrate	
t (\AA)	1044	577	1332
R (RT) ($\mu\Omega.\text{cm}$)	15	43.14	40
n (RT) (10^{22}cm^{-3})	6.88	3.49	7
μ_H (RT) ($\text{cm}^2/\text{V.sec}$)	6.20	4.00	6
λ (\AA)	52	28	53



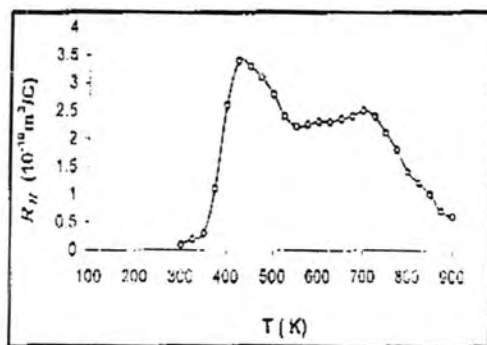
شكل (١) تغير المقاومية الكهربائية مع درجة الحرارة لاغشية NiSi على قاعدة السيلikon المتأكسدة



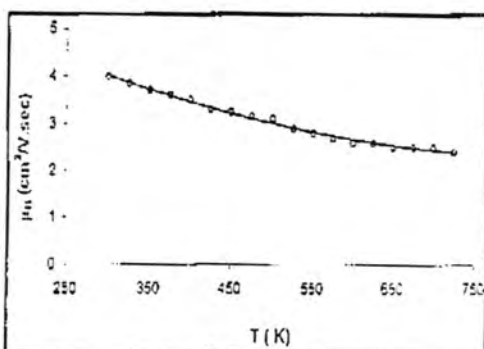
شكل (٢) تغير المقاومية الكهربائية مع درجة الحرارة لاغشية NiSi على قاعدة السيلikon المجردة



شكل (٣) تغير معامل هول مع درجة الحرارة لغشاء رقيق من NiSi سبع 577Å على قاعدة السيلikon المتأكسدة



شكل (٤) تغير معامل هول مع درجة الحرارة لفشاء رقيق من NiSi بسمك 577 Å على قاعدة السيليكون المجردة



شكل (٥) تغير تحريرية هون مع درجة الحرارة لفشاء رقيق من NiSi بسمك 577 Å على قاعدة السيليكون المدكورة

REFERENCE

1. Murarka S., J. Vac. Sci. Technol., Vol. 17: p775. (1980)
2. Nicolet M., and Lau S., "VLSI Electronics: Microstructure Science, Materials and Process Characterization." Academic Press (NY), Vol. 6, Ch.6. (1983).
3. Inoue K., Mukai T., and Saitoh T., Appl. Phys. Lett., Vol.47: p.1051. (1987).
4. Inoue K. Electron. Lett., Vol.23, p.1293. (1987).
5. Adams M., et al., IEEE Quant. Electron., Vol. 26, p.410.(1990).
6. Eisele M., Electron. Lett., Vol. 28, p.1505. (1992).
7. Barnsley P., IEEE Proc. J., Vol.140, p.325. (1993)
8. Lien C., Finetti M. and Lau S., J. Electron. Mater., Vol.13,],95. (1984)
9. Colgan E.. et al., J. Electron. Mater., Vol.12, p.413. (1983)
10. Wittmer M., et al., Solid-State Electron., Vol.20, p.573. (1987)
11. Woelk E., et al., H., IEEE Trans. on Electron Devices, Vol.33, p.19. (1986)
12. Woerlee P., et al., Appl. Phys. Lett., Vol.44, p.876. (1984).
13. Malhotra V., et al., J., J. Vac. Sci. Technol.. Vol.B-2, p.10. (1984)
14. Huang M.. et al.. J. Vac. Sci. Technol. Vol.B-3, p.836. (1985)
15. Krontiras C., et al.. Thin Solid Films, Vol.125, p.93. (1985)
16. Kittel C., "introduction to Solid State Physics", 5th ed. John -Wiley & Sons. Inc. (NY), Ch.6. (1976)
17. Adams M., et al., Opt. Quant. Electron., Vol.27, p.1. (1995)

تحضير مبادل الأيونات الموجبة الحامضية القوي

مثيل ضايف السبني ، جواد كاظم جواد و سام فرج يعقوب
شركة ابن سينا العامة - هيئة التصنيع العسكري

الخلاصة

تتضمن هذا البحث تثبيت طريقة لتحضير مبادل الأيونات الموجبة الحامضية القوي من النوع المائي، مع دراسة مواصفات الفيزياوية والكيمياوية لهذا النوع من المبادلات الأيونية. شملت الطريقة تثبيت أفضل الظروف لمراحل التحضير التي يمر بها المبادل الأيوني وهي:

1 - تحضير كوبولимер (Co Polymerization):

يحضر كوبولимер (الستايرين - ثانوي فنيل بنزين) وبنسبة تشابك حوالي 10%.

2 - إجراء عملية السلفنة (Sulfonation):

يتم إدخال مجموعة السلفونيل (SO_3H) على هيكل الكوبولимер لينتاج المبادل الأيوني المطلوب كائنة لمواصفات الكيمياوية والفيزياوية للمبادل المحضر مطابقة لمواصفات المبادلات التجارية المستوردة. إن تحضير المبادلات الأيونية يعتبر جبراً على الشركات العالمية التي لا تعطي سر نعمة العلمية حول طرق تحضيرها.

المقدمة

يشيرت فكرة تحضير المبادلات الأيونية العضوية من قبل الباحثين ⁽¹⁾ (Adams & Holmes) حيث تمت من تحضير أول مبادل صناعي من تكثيف الفينول والفورمالديهيد. يتميز هذا النوع من المبادلات بأنها تعمل كمبادلات للأيونات الموجبة من النوع الحامضي الضعيف من خلال المجمع العبيروكسيلي التي يمتلكها البوليمر. كما تتميز هذه المبادلات بأنها حبيبات غير منتظمة ذاتية من تكثير وطحن الناتج الكثلي المحضر بالبلمرة التكتيفية (Condensation Polymerization)، بالإضافة إلى أستقرارية كيمياوية وحرارية وميكانيكية قليلة وعدم إمكانية السيطرة على شرحة التشابك للبوليمر (Degree of Cross Linking) مع العلم إن المبادلات الأيونية هي بوليمرات شبكتية (ثلاثية الأبعاد).

مثيل ضايف السبتي وجماعته

يطلق على المبادلات الأيونية المحضرة من تبلمر الستاييرين مع الثاني فنيل بنزرين بوجود الباديء بنوع الجيل (Gel Type Resin). يمتاز هذا النوع من المبادلات عند انتفاح حبيباته على مسامات صغيرة وضيقة (Micro Porous) أو (Micro Reticular) أو (Micro Porous) وهضم الميزة نقل من المساحة الطحicia التبادلية للحبيبات لأن المجاميع الفعالة سوف تتوارد على سطح الحبيبة فقط. وهناك صفات أخرى تجعل المبادلات الأيونية من النوع أعلى أقل اسقراوية تجاه الضغط والظروف الميكانيكية والحرارية داخل منظومات الفصل الكروموغرافي خلال عمليات التشغيل وأمراير المحايل. إن السبب في ذلك هو عدم التمكن من رفع درجة التشابك ليذد البوليمرات إلى أكثر من (% *)، حيث أن رفع درجة التشابك إلى أكثر من هذه الدرجة يؤدي إلى تكون حبيبات صلدة لا تتفتح عند وجودها في المحايل مسببة صعوبة في اختراق الأيونات وبالتالي انخفاض كفاءة وعنة المبادلات الأيونية.

في عام 1959 صرحت بعض الشركات نوع خاص من المبادلات الأيونية يطلق عليها المبادلات المسممية (Macro Porous Resin) أو (Macro Reticular Resin) وتعتمد هذه المبادلات في تحضيرها على كوبوليمرات (الستاييرين - ثانوي فنيل بنزرين) المسممية. يحضر هذا النوع من الكوبوليمرات ببنية العوالق للستاييرين والعامل المشبك (ثانوي فنيل بنزرين) وبوجود الباديء ومادة مخففة تدعى (Diluents) حيث تتضمن السلسل البوليمرية عند تكونها في حبيبة الكوبوليمر الناتج تاركة بينها فجوات ومسامات متغيرة الأشكال في هيكل الحبيبة^(3,2).

وتنبع المواد المخففة والعامل المشبك دوراً كبيراً في السيطرة على درجة مسامية الحبيبات وصيانتها وحجبها حيث من الممكن أن تحضر الكوبوليمرات المسممية باستخدام عامل مشبع بنسبة تتراوح (16-8%) لذا ليس هنالك مشكلة في زيادة صلدة الحبيبات⁽⁴⁾، أما حجم وشكل المسامات المتكونة فيها تعتمد على طبيعة وكمية العامل المخفف المستخدم⁽³⁾. تتميز المبادلات المسممية بصلادة حبيباتها من خلال إمكانية الارتفاع بنسبة العامل المشبك وكذلك زيادة كفاءتها في الفصل الكروموغرافي. كما أن وجود المسامات تسهل من عملية إزالة الأيونات ذات الوزن الجزيئي العالي مع بقولة انتراعها أثناء عملية التشغيل⁽⁵⁾.

المواد الكيمياوية

ستاييرين، ثانوي فنيل بنزرين، بيروكسيد البنزويل، مثيل ساليلوز، كلوريدي الصوديوم، تولوين، ميثانول، حامض بيبروكوريك، حامض الكبريتيك. هذه المواد عبارة عن كواشف

تحاليل (Analytical Reagents) استخدمت بالصيغة التي استلمت بها من المجهز وبعضها تم تقطيره قبل الاستخدام.

الأجهزة المستخدمة

منظومة التقطير التجاري، منظومة مختبرية زجاجية، خلاط ميكانيكي، مفاعل بلمرة، منظومة ترشيح تحت الضغط المخالف، فرن تجفيف، بالإضافة إلى معدات زجاجية عديدة.

القياسات الفيزيائية

تم تعين المساحة الطحية وحجم وسعة القنوات بالطريقة المنشورة في المصدر⁽⁶⁾ باستخدام جهاز (Mercury Porosimetry 9320 Sorpotomatic Series 1800) وجهاز Micromeritics. أما بقية الخواص والتي شملت الكثافة الظاهرية، الكثافة الحقيقة، المحتوى المائي، السعة التبادلية، معامل النفعية فقد تم تعينها بالطرق الموضحة في المصدر⁽⁷⁾.

طريقة العمل

1. تقطير المواد الأولية (الستايرين والثاني فنيل بنزين) فراغيا لتخلیصها من المواد الحافظة (المانعة للتبلور) ثم تبرد إلى درجة حرارة أقل من (2) مئوية ثم تقل بعدها إلى مفاعل البلمرة.
2. يضاف في دورق آخر الباديء (Initiator) وهو (Benzoyl Peroxide) وبكمية (10 غم) أولا ثم يضاف الستايرين (925 ملتر) والثاني فنيل بنزين (230 ملتر) والعامل المحفّف (580 ملتر تولوين). تخلط هذه المواد بواسطة خلاط ميكانيكي وبسرعة عالية لمدة ثلاثة ساعات وبدرجة حرارة المختبر.
3. يضاف إلى مفاعل البلمرة محلول العالق (9 غم مثيل سليلوز مذاب في 7 لتر ماء) ثم تضاف المواد التي تم تهيئتها في الدورق أعلاه إلى مفاعل البلمرة أيضا حيث تخلط مكونات المفاعل بواسطة خلاط ميكانيكي وبسرعة عالية. تسخن محتويات المفاعل إلى درجة حرارة (90°C) وبזמן قدره (36) ساعة.

مثيل ضايف السبيس وجماعته

4. ترشح حبيبات كوبوليمر (الستايرين - ثانوي فنيل بنزين) وتغسل بالحامض (2 M HCl) وبعدها بالماء ثم بالعينانول حتى الحصول على حبيبات نظيفة خالية من اثار المحلول العالق والمونومرات غير المتفاعلة والمواد المخففة البادئ، ثم تجفف.
5. يتم إجراء عملية (Toluene Regain) لحببيات الكوبوليمر لغرض قياس مساميته.
6. تتم عملية ادخال مجموعة السلفونيل من خلال تقطيع حبيبات الكوبوليمر بالتولوين لفترة (6) ساعة للوصول الى انفصال كامل للحبيبات. ترشح الحبيبات للتخلص من التولوين الفائض ثم يضاف حامض الكبريتيك المركز وبكمية (10) أضعاف حجم المبادل ثم تحرك مكونات المفاعل لمدة (20) ساعة ودرجة حرارة (95 °C).
7. ترشح حبيبات المبادل وتغسل بمحلول حامض الكبريتيك (2M) ثم بالماء اللايوني وتجفف وتجرى لها عملية الغربلة (Sieving) ثم تجمع حسب حجمها.
8. تم إجراء دراسة لخواص المبادل الايوني المحضر شملت استخراج قيم الكثافة الظاهرية، درجة المسامية، الحجم البيني، المحتوى المائي، السعة التبادلية الكلية، واخيراً السعة التبادلية التشغيلية.

النتائج والمناقشة

لما كانت الشركات المنتجة للمبادلات اليونية والمراكيز البحثية في مجال تحضير المبادلات الايونية تعتمد على الخبرة (know-how) الخاصة بها وعلى بعض براءات الاختراع غير الواضحة، لذا اعتمدنا في تحضير مبادل الأيونات الموجبة الحامضي القوي على استباط طريقة خاصة بنا تعطي للمبادل المحضر مواصفات خاصة من حيث المقاومة الميكانيكية والصلادة وارتفاع في السعة التبادلية.

بما إن صلادة حبيبات المبادل ومقاومتها الميكانيكية تعتمد على نسبة التشابك في هيكل حبيبة المبادل والذي يعتمد على تركيز العامل المشبك (ثانوي فنيل بنزين) ولغرض تحضير مبادل ايوني ذو مقاومة عالية للمؤثرات الميكانيكية (الضعف سرعة الجريان) فإنه من الواجب رفع نسبة العامل المشبك، وقد ينتج من خلال هذه الزيادة في نسبة العامل المشبك الحصول على حبيبات صلدة لا تتتخز بالماليل المائية، لذا تكون عملية نفاذ الأيونات من خلالها صعب جداً ونقل سعتها التبادلية.

اتجهت الشركات الى انتاج مبادلات ايونية ذات نسبة تشابك (8%) من نوع الجيل (Gel Type) وذلك للحصول على مبادلات لها مقاومة معتدلة للمؤثرات الميكانيكية مع الاحتفاظ بسعة تبادلية جيدة. من المعروف إن الدائئن الصغيرة (نسبة التشابك عالية) تعطي سرعة تبادل عالية للأيونات ولكنها تسبب انخفاض في سرعة جريان المحاليل خلالها (Pressure Drop)، أما الدائئن الكبيرة (نسبة التشابك قليلة) ف تكون على العكس من ذلك تماماً. وهذا يعني ان الأيونين في الدائئن الكبير يحتاج الى زمن اكبر للدخول الى جسم الحبيبة والوصول الى المجاميع الفعالة وتكون الصفات الميكانيكية للدائئن الكبيرة غير جيدة حيث تتعرض الحبيبات الى التكسر. وعليه حولنا في بحثنا هذا تحضير مبادل يجمع محاسن النوعين أعلاه.

ولاجل الحصول على مبادل بنسبة تشابك (10%) أو أعلى مع سعة تبادلية عالية ولتفادي الصعوبات أعلاه يتم إدخال منبنيات عضوية مثل التولوين، الهيبتان، أو الكحولات المتعددة وغيرها في خلطة المونومرات حيث تستخلص حال انتهاء تفاعلات البلمرة تاركة المسامات والفجوات في حبيبة الكوبوليمر الذي يحضر منه المبادل الايوني حيث يطلق على هذا النوع من المبادلات بالمسامية⁽⁸⁾. Macroporous

"وانطلاقاً" من هذه الفكرة تم تحضير حبيبات الكوبوليمر بحجم حبيبي (750 - 600) ملليمتر وبنسبة تشابك (10%) وباستخدام التولوين كمادة مخففة مما جعل المبادل الناتج (المحضر) من النوع المسامي يمتلك مساحة سطحية عالية، مقاومة عالية للمؤثرات الميكانيكية وكذلك مقاومة عالية للعوامل المؤكسدة (التي تسبب تكسر ح سور التشابك والأوامر في البوليمر) مع بقاء سعنه التبادلية مقاربة للمبادلات الجارية . ولتفسير ما يحدث أثناء عملية البلمرة وانتاج الكوبوليمر من نوع الجل أو المسامي، يتحدث الباحثون بان جزيئات مادة الثاني فنيل بنزرين (DVB) بائزومراتها (البارا والميتا) اكثر فعالية من الستايرين والمواد الموجودة الأخرى مثل الايثيل فنيل بنزرين (EVB). لذا تتفاعل أحد الأوامر المزدوجة للثاني فنيل بنزرين مكونة من كسر السلسل البوليمرية بعدها يتم فتح الأوامر المزدوجة للمونومرات الأخرى كالستايرين والـ(EVB) والأصرة الثانية إلى (DVB). إذا كانت نسبة العامل المشبك عالية تقارب هذه السلسل البوليمرية مع بعضها وترك مسامات صغيرة جداً مع احتمالية غلق المسامات وظمرها اثناء عملية الانفاس مما يسبب عرقلة في نفاذية الأيونات خلال حبيبة المبادل الايوني واقتصر عملية التبادل الايوني على سطح الحبيبة فقط وهذا النوع هو الجيل.

أما عند إضافة العوامل المخففة فإن دورها يمكن في إبعاد مراكز السلسل عن بعضها والاشتراك في ترتيب السلسل البوليميرية أثناء إضافتها لهذه المراكز مما يؤدي إلى تكون مسامات بإحجام مختلفة طبقاً لنوع وكمية العامل المخفف المستخدم⁽⁹⁾. ومن هذه المواد موذيب التولوين (حيث يعتبر كمادة مذيبة للمونومرات ومذيبة لسلسل البوليمير وتساعد على ترسيب البولимер من محلول)، وعند استخدامه يمكن الحصول على مبادل أيوني ذو مساحة سطحية تصل إلى (500 m²/g).

الجدول (1) يمثل مواصفات المبادل المحضر مقارنة مع المبادلات التجارية. وبسبب مسامية المبادل المحضر، نلاحظ من خلال الجدول يمتلك سعة تبادلية ومحتوى مائى على نسبياً مقارنة بالمبادلات التجارية بالرغم من أن ارتفاع نسبة التشابك (10%) تخفض من هذه القيم نظرياً. أما الحجم البيني فهو الآخر قد ازداد نسبياً وارتفع إلى (0.43) مقارنة بالمبادلات التجريبية لأن الماء والمحاليل سوف تتخلل المسامات الموجودة في الحبيبة والمسافات البينية بين الحبيبات ولنفس حجم المبادل مما يقلل من حجم الماء الفائض أثناء عملية القياس وكما موضحة تفاصيل الآتي:

$$\text{Viod Fraction} = \frac{h_3 - [h_2 - h_1]}{h_3}$$

حيث: h حجم الماء قبل إضافة المبادل

h_2 حجم الماء بعد إضافة المبادل

h₃ حجم المبادل

كما ان عملية السيطرة على حجم حبيبات الكوبوليمر وجعلها بشكل كروي ومنتظم وباحجام معنية مع وجود التلويون كعامل مخفف هي الأخرى تم تثبيتها من خلال إجراء العديد من التجارب المختبرية، حيث استبدل فيها كمية ونوعية المادة المثبتة للعوالق مع تثبيت ظروف التحرير ورفع درجة الحرارة لامكال عملية البلمرة ومرحلة (Annealing) لحببيات الكوبوليمر. وقد تم نجاح محلول المكون من إذابة الميثيل سيليلوز في الماء اللايوني بنسبة (0.125%) ، مع مراعات تثبيت سرعة التحرير والحرارة وخاصة في مرحلة (Sticky Point) كي لا يتم

تلاصق قطرات المونومر التي بدت فيها عملية البلمرة، تم متابعة مسامية الكوبوليمر الناتج من خلال قيم (Toluene Regain) والتي تمثل كمية التولوين الممنتصة لكل غرام واحد من الكوبوليمر المحضر حيث تختلف هذه القيمة عند تغير مواصفات العلق وكذلك كمية التولوين المستخدمة في خلطة المونومرات وقد تراوحت قيمتها بحدود (0.5-0.75 gm of Toluene/gm of Dry Copolymer)

أما عملية السلفنة والتي يتم فيها إدخال مجموعة السلفونيل على حبيبة الكوبوليمر فتتم من خلال معاملة الكوبوليمر بمذيب كالتولوين لغرض انتفاح الحبيبة بعدها يتم الترشيح للتخلص من التولوين الفائض ثم إضافة عامل الـ——Sulphonation (Meth Sulfuric Acid) مثل (حامض الكبريتيك المركز، حامض الكبريتيك الداخن (Chloro Sulphonic Acid) بوجود أو عدم وجود العامل المساعد ولفترات زمنية مختلفة، إذا تم إجراء العديد من التجارب لتثبيت ظروف التفاعل (الزمن، درجة الحرارة) لغرض استخدام حامض الكبريتيك المركز التجاري والمنتج محلياً في عملية السلفنة حيث كانت أفضل الظروف عند استخدام درجة حرارة (95.0°C) بنسبة (10:1) مبادل إلى حامض ونسبة (20 ساعة). كما وتم متابعة عملية السلفنة من خلال قياسات السعة التبادلية للمبادل الناتج من خلال استبدال أيون الهيدروجين بأيون الصوديوم. يضاف إلى ذلك ان المبادلات المحضرة تم تجربتها في منظومات تحلية الماء أي إزالة أيونات العسرة من الماء البسيط كذلك تم تجربتها في منظومات أنتاج الماء اللاإيوني من خلال استخدام مبادل أيونات سالبة قاعدي قوي تجاري واعطت نتائج مقاربة من حيث الكفاءة مع المبادلات التجاريه في هذه المجالات.

يلاحض من الجدول أعلاه انخفاض قيمة السعة التبادلية التشغيلية (Operating Capacity) مقارنة بتلك للمبادلات التجارية، لأن المبادل المحضر من النوع المسامي وهذه المسامات تأخذ حيز أو حجم داخل الحبيبة وتحتوي على رطوبة (ماء) وهذا يعني احتواء المبادل على محامي فعالة أقل من تلك لنوع الجيل (التجاري). إن هذا النوع من المبادل يكون اكفاً في إزالة الأيونات خصوصاً عند استخدامه في منظومات إنتاج ماء عالي النقاوة.

جدول (1) يبين مواصفات مبادلات الأيونات الموجبة الحامضية القوية

المحضره والتجاريه

(Specifications) المواصفات	Prepared Resin المبادل الحضر	Amberlite IR 120 مبادل تجاري	Dowex 50 مبادل تجاري
Degree of Cross Linking	10	8	8
Apparent Density [gm/ml Dry Resin]	0.65	0.67	0.77
Degree of Porosity [gm/ml Wet Resin]	0.42	0.37	0.37
Void Fraction	0.43	0.34	0.39
Water Content [gm of Water/gm of Dry Resin]	1.27	1.22	1.20
Total Exchange Capacity [mmole/gm of Dry Resin]	4.52	4.2	4.3
Operating Capacity [mmole/ml of Wet Resin]	1.83	1.9	1.9

REFERENCES

1. Adams B.A., and Holmes E.J., Brit Patent, 450, 309(1936).
2. Miller I.R., J. Chem. Soc., 1311 (1960).
3. Miller I.R., J. Chem. Soc., 218 (1962).
4. Guyot A., "Synthesis and Separation Using Functional Polymers, (Ed. Sherrington, D.C., and Hodge, P.), John Wiley & Sons Ltd., 1988.
5. Miller J.R., Smith D.G., Marr W.E., and Kressman, T.R.E.J. Chem. Soc., 218 (1963).
6. Brunauer S., Emmett P.H., and Teller E.J., Amer. Chem. Soc., 60, 309. (1938).
7. Helfferich F.G., In "Ion Exchange", McGraw Hill, London, (1962).
8. Pepper K.W., J. Appl. Chem., 124, I, (1951)
9. Guyot A., and Bartholin N., Prog. Polym. Sci., Vol. 8. (1982).

تحضير ودراسة الخواص البصرية لأغشية GeO_2 الرقيقة

د. ابراهيم رمضان عاكول ، رعد سعدون صبرى ، د. سعد عبد الباري توفيق ورحيم كعید

الخلاصة

في بحثنا الحالي تم تحضير أغشية ثانى اوكسيد الجermanيوم GeO_2 الرقيقة باستخدام تقنية التخمر الحراري في الفراغ ودراسة الخواص البصرية لها وبخمسة اسماك هي (1000, 5000, 40000, 3000, 2000) A° حيث تم حساب معامل الامتصاص ومنه تم حساب فجوة الطاقة المتنوعة باستخدام طيف الفانديه والامتصاصية وتم حساب الثوابت البصرية (معامل الخمود ومعامل الانكسار وثابت العزل الكهربائي بجزئيه الحقيقي والخيالي)، وكذلك تم حساب عرض الذيل.

المقدمة

ان دراسة الخواص البصرية للأغشية الرقيقة للمواد تعد من الدراسات المهمة في تحديد نوع وخصائص المادة، حيث يمكن من خلال معرفة الخواص البصرية للمادة مدى صلاحيتها في التطبيقات البصرية مثل الخلايا الشمسية والفلترات والخلايا الضوئية ومضادات الانعكاس^(1,2,3).
 ان مادة ثانى اوكسيد الجermanيوم GeO_2 تحول بسبولة الى الحالة الزجاجية، فعندما يضاف اوكسيد الجermanيوم الى زجاج الكوارتز يتكون زجاج شفاف جداً ويعكس الضوء بدرجة عالية وهذا يعطي مادة GeO_2 دوراً مهماً في صناعة الزجاج الضوئي^(4,5)، ويمكن الحصول على غشاء رقيق من GeO_2 بطرق عديدة مثل تسخين عنصر الجermanيوم في الهواء^(6,7) وكذلك يمكن الحصول على ثانى اوكسيد الجermanيوم من اذابة الجermanيوم في الماء بدرجات حرارية معينة⁽⁴⁾. وقد درس العديد من الباحثين مادة GeO_2 وان اول من قام بتحضيرها في عام (1926) هما الباحثان (Mulk & Blank)⁽⁸⁾ وقد استفاد الباحثان (Dennis & Laibengage)⁽⁹⁾ من هذه النتائج وادخلها في المجالات التطبيقية، وقام الباحثان (Papozion & H.A)⁽¹⁰⁾ بتحضير اغشية GeO_2 ودراسة خواصها البصرية وو جداً ان فجوة الطاقة البصرية للأنفاق المباشر المسماوح تبلغ (5.54 eV) وأن توصيلية غشاء GeO_2 تساوي (5×10^{-1} ohm⁻¹ cm⁻¹)، ودرس

د. ابراهيم رمضان عاكول وجماعته

الباحثان (Higarth & Blank)⁽¹¹⁾ بعض الخصائص البصرية لأغشية GeO_2 بسمك 2500A^0 ووجدا بأن فجوة الطاقة البصرية للانتقال غير المباشر المسموح هي 2.08eV بينما وجد الباحثان (Khan & Khawaga)⁽¹²⁾ أنها تبلغ (3.7eV) للانتقال الغير مباشر المسموح وهذا التناقض ناتج عن اختلاف طرق وظروف التحضير، وبهدف بحثاً هذا إلى دراسة الخواص البصرية لأغشية GeO_2 المحضرة بطريقة التبخير الحراري في الفراغ بأسماك مختلفة.

الجزء العلمي

بعد تبيين القواعد الزجاجية وتنظيفها تنظيفاً جيداً بالماء المقطر والكحول تم تبخير أغشية GeO_2 باستخدام منظومة (Edward) تحت ضغط (10^{-5}Torr) وبخمسة أسماك هي 5000^0A ، 4000^0A ، 3000^0A ، 2000^0A ، 1000^0A وقد تم حساب السمك بطرقتين الأولى هي الطريقة الوزنية (Gravimetric method) والثانية هي بطريقة التداخل الضوئي (Optical Interference Method) للتأكد من دقة قياس السمك المطلوب. وتم اجراء القياسات البصرية لها باستخدام مطياف من نوع (UV-880 spectrometer) محiz من قبل شركة (Philips)، ومن خلال دراسة طيف النفاذية والامتصاصية ضمن مدى الاطوال الموجية ($900-330\text{nm}$)، وتم تحديد قيمة فجوة الطاقة المعنونة والثوابت البصرية.

النتائج والمناقشة

يوضح الشكلان (1,2) تغير كل من طيف الامتصاصية (A) والنفاذية (T) مع الطول الموجي كذلك لتغيير السمك لأغشية GeO_2 الرقيقة إذ نلاحظ من هذين الشكلين أن الامتصاصية تزداد والنفاذية تقل مع زيادة سمك الغشاء وهذا ناتج عن التناوب الطردي بين الامتصاصية والسمك والتآثر العكسي مع النفاذية، حيث كلما ازداد السمك ازداد عرض المسار البصري وبالتالي تزداد الامتصاصية على حساب النفاذية.

والشكل (3) يوضح تغير معامل الامتصاص (α) مع طاقة الفوتون الساقط (hf) كذلك لتغير السمك حيث ثلثاً للاحظ من خلال هذا الشكل أن (α) تقل مع زياده السمك، وإن قيمتها عند السمك 1000^0A تقع ضمن المدى (10^3cm^{-1}) بينما تقل إلى (10^5cm^{-1}) عند السمك 5000^0A

وان هذا النقصان متآتي عن العلاقة العكسية بين معامل الامتصاص والسمك (t) وحسب العلاقة الآتية⁽¹³⁾:

$$\alpha = 2.303 \frac{A}{t} \quad \dots\dots(1)$$

ومن خلال علاقة mott الموضحة أدناه تم حساب قيم فجوة الطاقة الممنوعة لالانتقالات المباشرة وغير المباشرة بنوعيها المسموح والممنوع⁽¹⁴⁾:

$$\alpha hf = B(hf - Eg)^r \quad \dots\dots(2)$$

حيث أن :

B : ثابت

r : ثابت يبني نوع الالتفاولات الحاصلة وتستخدم القيم (2, 3/2) لالالتفاولات المباشرة و (1/2, 1/3) لالالتفاولات غير مباشرة الممنوعة والمسموحة على التعاقب.

جدول (1) يوضح قيم فجوة الطاقة الممنوعة لكافة الالتفاولات وقيم الثابت B كدالة لتغير السمك

سمك الغشاء A ^o	E _{g1} (eV)	B × 10 ⁵ (cm ⁻¹ eV ^{1/2})	E _{g2} (eV)	B × 10 ⁵ (cm ⁻¹ eV ^{1/2})	E _{g3} (eV)	B × 10 ⁵ (cm ⁻¹ eV ^{1/2})	E _{g4} (eV)	B × 10 ⁵ (cm ⁻¹ eV ^{1/2})
1000	3.25	9.9	2	4.02	2.20	4.5	1.55	7.4
2000	3.18	6.2	1.90	1.66	2.17	1.74	1.50	4.8
3000	3.15	5.34	1.87	1.56	2.14	0.67	1.47	3.27
4000	3.0	3.04	1.80	1.40	2.10	0.68	1.35	3.20
5000	3.0	3.05	1.77	1.37	2.08	0.62	1.25	1.30

ونلاحظ من خلال هذا الجدول ان قيمة فجوة الطاقة الممنوعة تقل مع زيادة السمك وهذا ناتج عن زيادة الامتصاصية للغشاء مع زيادة السمك وكذلك فان تغير قيمة الثابت B مع زيادة سمك الغشاء الطاقة الممنوعة تتوافق مع ما توصل اليه الباحثون السابقون.

وبحسب علاقه اورباخ ومن خلال رسم العلاقة البيانية بين (Lu na) مع طاقة الفوتون (hf) تم حساب عرض الذيل كدالة لتغير السمك وكما هو موضح بالشكل (4) حيث يلاحظ بان

عرض الذيبول يزداد مع زيادة السمك وهذا يعزى الى زيادة العيوب البلورية مع زيادة السمك، ومن خلال النتائج السابقة تمكنا من رسم مخطط لكثافة الحالات والشكل (5) يمثل نموذج لكثافة الحالات عند السمك ($4000^{\circ}A$).

والشكل (6) يوضح تغير معامل الخمود مع طاقة الفوتون كدالة لتغير السمك ومن خلال هذا الشكل نلاحظ ان قيم معامل الخمود تقل مع زيادة السمك ويعزى ذلك الى أن معامل الخمود يعتمد على الحساب على معامل الامتصاص حسب العلاقة⁽¹⁴⁾:

$$K_0 = \frac{\alpha\lambda}{4\pi} \quad \dots\dots(3)$$

حيث K_0 : معامل الخمود و λ : الطول الموجي، وان علاقة معامل الامتصاص هي علاقة عكسية مع السمك.

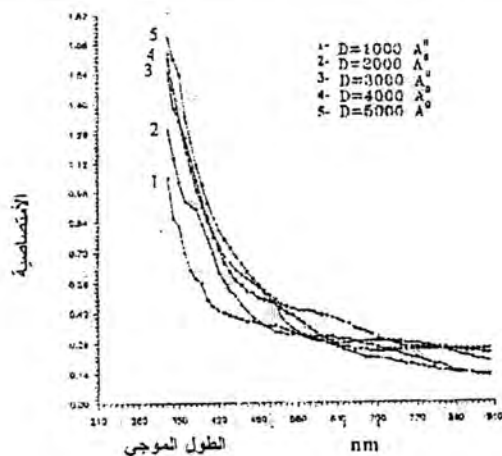
أما الشكل (7) فيوضح تغير معامل الانكسار (n_0) مع السمك حيث نلاحظ من خلال هذا الشكل ان منحنيات (n_0) ترتفع نحو الطاقات الفوتونية الواطئة مع زيادة السمك ونلاحظ من خلال الاشكال (8,9) ان سلوك منحنيات الجزء الحقيقي (ϵ_1) والخيالي (ϵ_2) لثابت العزل الكهربائي مشابه لسلوك معامل الانكسار اذ ترتفع هذه المنحنيات نحو الطاقات الفوتونية الواطئة مع زيادة السمك، وذلك لاعتمادها على معامل الانكسار وحسب العلاقة⁽¹⁴⁾ التالية :

$$\left. \begin{array}{l} \epsilon_1 = n_0^2 \\ \epsilon_2 = 2K_0n_0 \end{array} \right\} \quad \dots\dots(4)$$

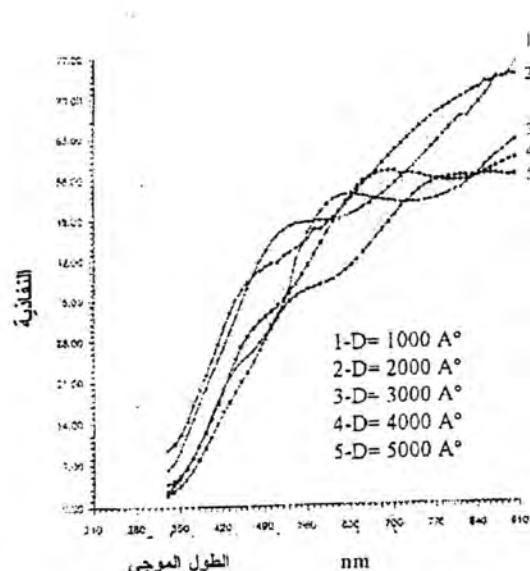
الاستنتاجات

- أن أغشية GeO_2 تمتلك ضمن مدى الأطوال الموجية التي تقع بين المنطقة المرئية والمنطقة فوق البنفسجية من الطيف الكهرومغناطيسي وان الامتصاصية تزداد مع زيادة السمك مع نقصان قيمة النفاذية، وهذا يجعل هذه المادة تصلح كمضاد للانعكاس في الخلايا الشمسية.

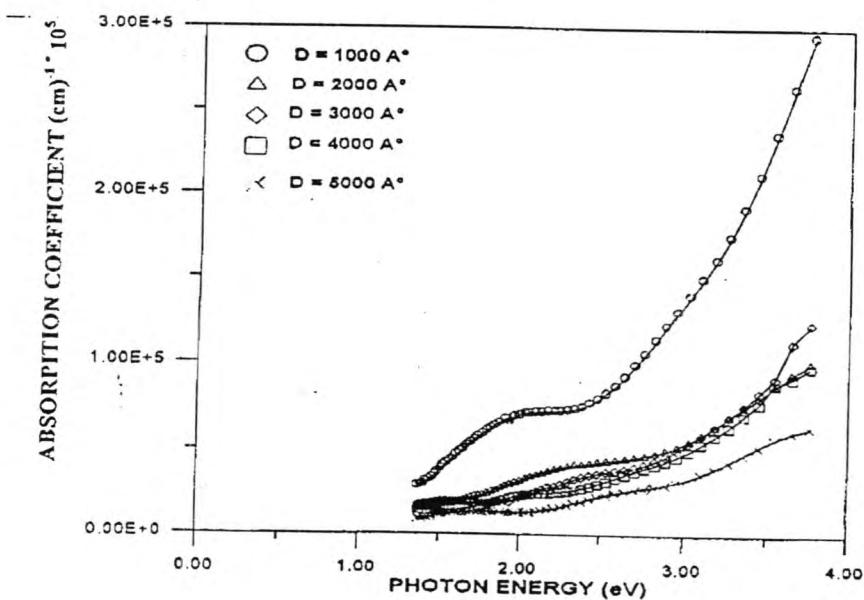
2. نقصان فجوة الطاقة الممنوعة مع زيادة السمك، ووجود اربع انواع للانتقالات الالكترونية وذلك لأن معامل الامتصاص يمتد من 10^3 cm^{-1} إلى 10^5 cm^{-1} .



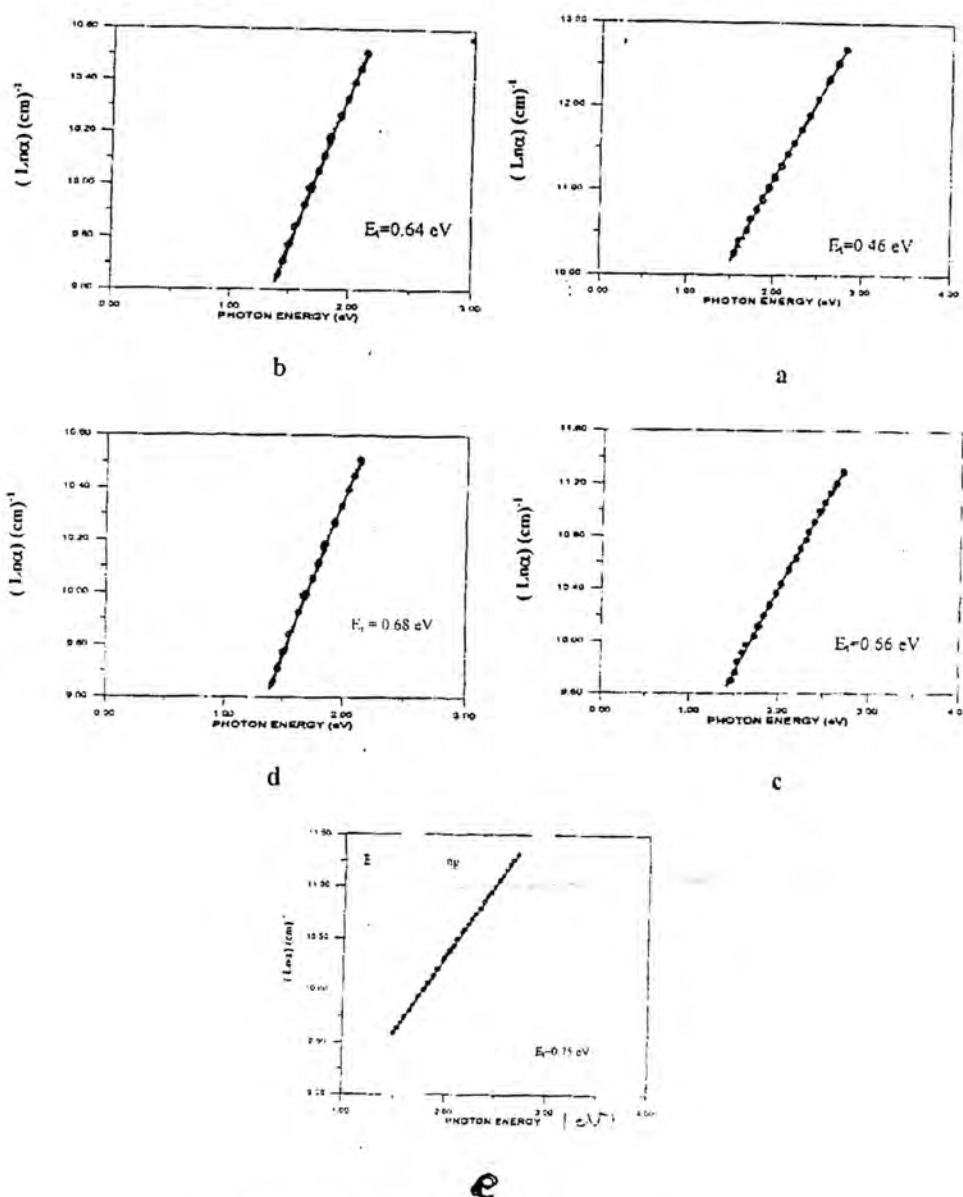
الشكل 1: مخطط الامتصاصية لأغشية GeO_2 مختلفة السمك



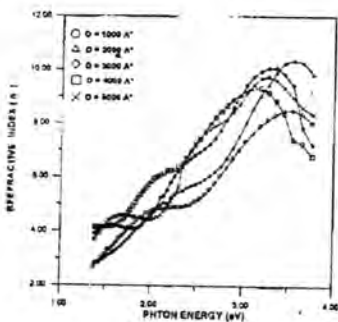
الشكل 2: مخطط النقاية لأغشية GeO_2 مختلفة السمك



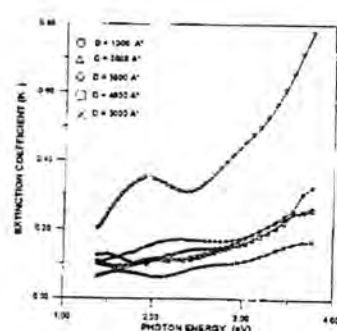
الشكل 3: تغير معامل الأمتصاص مع طاقة الفوتون لأنغشية GeO_2 المختلفة السمك



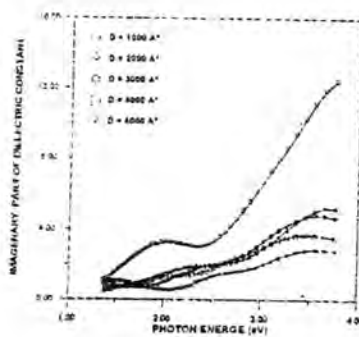
شكل 4: تغير $(\ln \alpha)$ مع طاقة الفوتون لأشباه GeO_2 ذات الأسماك:
 $(5000)^\circ\text{A}$ e $(4000)^\circ\text{A}$ d $(3000)^\circ\text{A}$ c $(2000)^\circ\text{A}$ b $(1000)^\circ\text{A}$ a



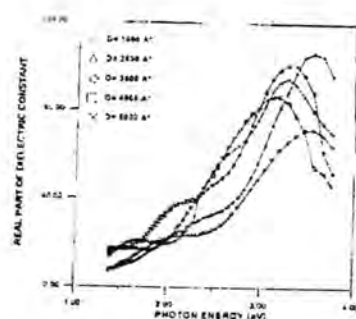
الشكل 7: تغير معامل الانكسار مع طاقة
اللورون لاغشية GeO_2 مختلفة
السمك



الشكل 6: تغير معامل الخسارة مع طاقة
اللورون لاغشية GeO_2 مختلفة
السمك



الشكل 9: تغير الجزء الخيالي بثبات العزل
الكهربائي مع طاقة اللورون
لاغشية GeO_2 مختلفة السماكة



الشكل 8: تغير الجزء الحقيقي بثبات العزل
الكهربائي مع طاقة اللورون
لاغشية GeO_2 مختلفة السماكة

المصادر

1. S,M, Sze "Semiconductors devices and technology" Translated to Arabic by F.G. layat H.A.Ahmed, Baghdad (1990).
2. S.S Al-Rawi, S.J. Shakir, Y.M.Hassan, "Solid state physics", Al-Mousl University (1990).
3. F.A.Abd Elpotouh "J. Vac. Sci. Technol." Vol.Al, No.2, P. 423 (1983).
4. R.G. Al-Morshdy, University Al-Mustansiryah college of Science, Physics department, "M.Sc, Thesis", (2000).
5. نايل احمد وفا "الكيمياء العامة واللاعضوية" دارمير (موسكو)، ترجمة عيسى مسموح، (1990).
6. Andrew Garton "Journal of polymer science" polymer chemistry Edition Vol. 22, PP. 1495-1506 (1984).
7. K.D.Lever "Thin films" New York (1996).
8. Muller, J.H. and Blank, H.R., "J. Am. Chem. Soc." Vol. 24, P.2358 (1924).
9. Demis, L.M. and Laubengager "J. Phys. Chem" Vol. 30, P. 1510, (1926).
10. Shaw, R.W. "Phys, Rev." Vol.51, P. 146, (1937).
11. Hagarth and M.Y. Nadeam "Phys. St. Sol." (a) 68, R181, (1981).
12. Khan, M.M. and Khawaja "Phys. St. Sol." (a) 74, P.273, (1982).
13. R.A. Smith "Semiconductors" 2nd Edition Cambridge University Press, (1987).
14. Jacques Pankove, "Optical processes in semiconductors" Dover publications, Inc. New York (1975).

تحضير اغشية (CdO) الرقيقة ودراسة التشويب بالالمنيوم (Al) على خواصها البصرية

د. ياسين نجم ، مصطفى يحيى
الفيزياء / كلية العلوم
الجامعة المستنصرية

ABSTRACT

The thin films of Cadmium oxide Polycrystallin doping with aluminum were prepared in ratios between 1-5% of CdO solution volume. The chemical spray pyrolysis method was used to deposition film thickness 2500A° in substrate temperature (773K). Through the analysis of spectrum absorption and transmission between 460-800nm, the energy gap (E_g) was calculated for directed transition allowed and forbidden. The calculation of optical constants was done (absorption, extinction, coefficients refractive index). It was found that the energy gap has been reduced with the increase of doping with aluminum. The optical constants generally move toward low energy photons with the increase of doping.

الخلاصة

تم تحضير أغشية اوكسيد الكadmيوم (CdO) المتعدد التبلور المنشوبة بالالمنيوم بنسب تترواح (1-5%) من حجم محلول (CdO). استخدمت طريقة الرش الكيميائي لترسيب أغشية من (CdO) المنشوب بسمك (255A°) بدرجة حرارة قاعدة (774K)، ومن خلال تحليل طيف (CdO) النفذية والامتصاصية لمدى طول موجي (460-800nm) تم حساب فجوة الطاقة الممنوعة (Eg) للانقال المباشر المسموح والممنوع وكذلك تم حساب الثوابت البصرية (معامل الامتصاص ومعامل الخبوء ومعامل الانكسار)، وقد وجد أن فجوة الطاقة تقل مع زيادة نسبة التشويب بالالمنيوم وأن الثوابت البصرية على العموم تزحف نحو الطاقات الفوتونية الواطنة مع زيادة نسبة التشويب.

المقدمة

ان دراسة اغشية اكسيد المعادن الرقيقة استحوذت اهتمام عدد كبير من الباحثين وذلك لأهميتها في العديد من التطبيقات العلمية والتقنية⁽²⁾ ومن هذه الدراسات دراسة الخواص البصرية والمغناطيسية والتركمبية والكهربائية والفوتوائية، ودخول هذه الأغشية وبشكل واسع في التطبيقات العملية مثل الخلايات الشمسية⁽²⁾ لما لها من صفات في تحسين وتطوير الخلايا الشمسية وتتميز اغشية اكسيد المعادن بالاستقرار مع الزمن ورخص تكاليف التحضير بالإضافة إلى الامتصاصية العالية وانخفاض الانبعاث الحراري مما يؤهلها للاستخدام كطلاء جيد. ان تحضير أغشية اكسيد المعادن بطريقة الرش الكيميائي الحراري يوفر مزايا جيدة مثل سهولة ورخص التحضير بالإضافة إلى امكانية تحضير اغشية بمساحات كبيرة⁽⁵⁾ لا يتاح تحضيرها بطرق أخرى، في هذه الطريقة ممكن ان تكون الاغشية المحضرة ذات نوعية اقل كفاءة من مثيلاتها بالطرق الأخرى ولكن في بعض التطبيقات نحصل على اغشية ذات مزايا افضل وتصالح للتطبيق وبصورة جيدة^(5,6) وكذلك في هذه الطريقة ممكن تحضير اغشية المزج بسهولة وامكانية التشويب وبصورة سهلة اسهل مما توفره الطرق الأخرى⁽⁶⁾ وفي بحثنا هذا نهدف ولأول مرة الى تحضير أغشية CdO المشوبة بالالمنيوم ودراسة تأثير هذا التشويب على الخواص البصرية لتلك الاغشية.

الجزء العملي

ربت أغشية CdO والأغشية المشوبة بالالمنيوم بطريقة الرش الكيميائي الحراري على قواعد زجاجية منفحة تنظيفاً جيداً بواسطة جهاز الموجات فوق الصوتية (Ultrasonically) والکحول النقي، تفاصيل عملية الرش الكيميائي الحراري وردت في بحوث عديدة سابقة^(6,7)، حضرت الأغشية بتركيز مولاري (0.1M) من محلول $\text{Cd}(\text{NO}_3)_2 \cdot 4\text{H}_2\text{O}$ للأغشية CdO واضافة نسب حجمية تبلغ (1-5%) (من حجم نترات الكادميوم) من محلول (الالمنيوم النقي المذاب في (HCl) المركز وبخفف بالماء المقطر)⁽⁴⁾. وترسب الأغشية على القواعد الزجاجية المسخنة إلى درجة حرارة 773K وقد رش محلول على القواعد الزجاجية باستخدام جهاز رش خاص لهذا الغرض⁽⁸⁾ وقد كان سمك الأغشية $250 \pm 10\text{nm}$ حسب الطريقة الوزنية (Gravimetric) من خلال حساب كثافة كل من CdO و Al ومعرفة فرق الكثافة

للقواعد قبل وبعد التشويب. من خلال تحليل طيفاً الامتصاصية والنفاذية تم حساب الخواص البصرية للأغشية باستخدام مطياف ضمن المدى الطيفي (460-800nm).

النتائج والمناقشة

تغير معامل الامتصاص (α) للأغشية CdO والأغشية المشوبة بالألمنيوم مع طاقة الفوتون (hf) يوضحه الشكل (1) ويعكس التشكّل أن معامل الامتصاص يزداد مع زيادة نسب التشويب بالألمنيوم وإن (α) ترتفع نحو الطاقات الفوتونية الواسعة مع زيادة نسب التشويب، وكذلك نلاحظ من خلال الشكل أن قيمة ($\alpha > 10^4 \text{ cm}^{-1}$) وهذا يعطي احتمالية كبيرة لحدوث انتقالات الكترونية مباشرة داخل فجوة الطاقة الممنوعة⁽⁹⁾ كما في العلاقة التالية :

$$= I_0 \exp(-\alpha t) \quad \dots\dots(1)$$

حيث :

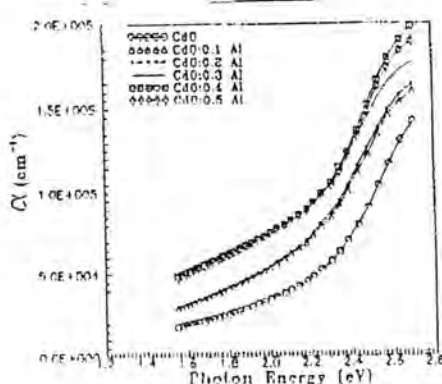
t : سمك الغشاء الرقيق (nm).

α : معامل الامتصاص (cm^{-1})

وحسبت α اذن :

$$\alpha = 2.303 A/t \quad \dots\dots(2)$$

حيث (A) الامتصاصية.

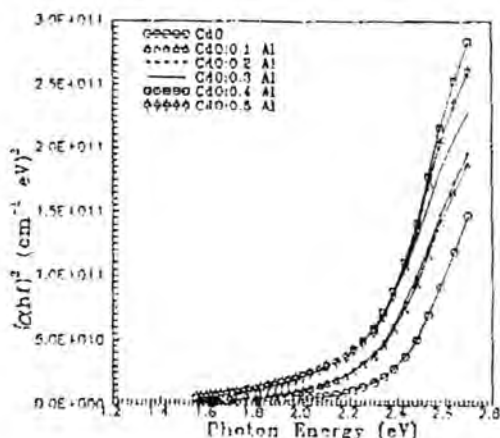


شكل رقم (1)

الشكل (2) يوضح تغير فجوة الطاقة الممنوعة (Eg) للأغشية النقية والمشوبة ومن خلال الرسم والعلاقة بين αhf^2 (كالة لتغير طاقة الفوتون (hf))⁽¹⁰⁾ فإنه من الواضح في هذا الشكل أن قيمة فجوة الطاقة الممنوعة تقل مع زيادة نسب التشويب بالالمنيوم والجدول (1) يوضح قيم فجوة الطاقة الممنوعة لانتقال المباشر المسموح (Eg) والممنوع (Eg') للأغشية النقية والمشوبة بالالمنيوم.

جدول (1)

Doping Ratio	Eg (eV)	Eg' (eV)
CdO	2.35	1.97
CdO:0.1Al	2.28	1.93
CdO:0.2Al	2.27	1.83
CdO:0.3Al	2.26	1.8
CdO:0.4Al	2.24	1.77
CdO:0.5Al	2.2	1.75



شكل (2)

وتم حساب فجوة الطاقة للانتقال المباشر المسموح والممنوع من العلاقة :

$$\alpha = \frac{A' (hf - Eg)^r}{hf}$$

A : ثابت

و $r = \frac{1}{2}$ لانتقال المباشر المسموح

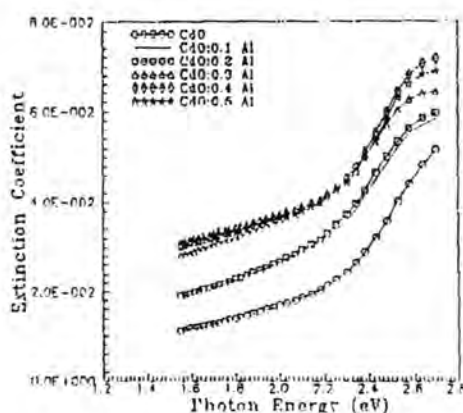
و $r = \frac{3}{2}$ لانتقال المباشر الممنوع

ونلاحظ ان كلا الانتقالين (المسموح والممنوع) يتراقص مع زيادة نسب التشويب وبالالمتيوم وان هذا النقصان في قيمة فجوة الطاقة ممكن ان يفسر على اساس ان الشوائب كانت مستويات مانحة (Donar levels) داخل فجوة الطاقة الممنوعة بالقرب من حزمة التوصيل⁽¹⁰⁾ مما يعني ان الالكترونات سوف تحتاج الى طاقة اقل لانتقال الى حزمة التوصيل وهذا وبالتالي يؤدي الى تراقص قيمة فجوة الطاقة الممنوعة⁽⁶⁾.

الشكل (3) يوضح تغير معامل الخمود (K_0) مع طاقة الفوتون ونلاحظ من خلال منحنيات معامل الخمود ان سلوكها يشابه سلوك منحنيات معامل الامتصاص (α) والسبب يعود الى ان (K_0) محسوب من المعادلة التالية :

$$K_0 = \frac{\alpha \lambda}{4\pi} \quad \dots\dots(4)$$

حيث نلاحظ من خلال المعادلة (4) ان (K_0) يعتمد على (α) وهذا يفسر سلوك (K_0) كونه مشابه لسلوك (α)



شكل (3)

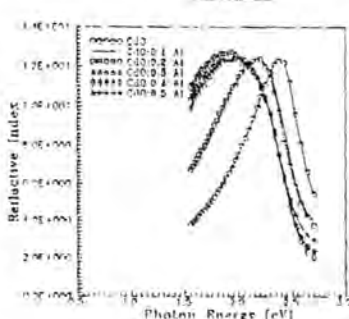
تغير معامل الانكسار (n_0) كدالة لتغير طاقة الفوتون (hf) يوضحه الشكل (4) ونلاحظ من خلال هذا الشكل ان قيمة معامل الانكسار يزحف نحو الطاقات الفوتونية الواطنة مع زيادة نسب التشويب وهذه النتيجة تتفق مع ما حصل عليه العديد من الباحثين^(1,6)، علماً ان معامل الانكسار (n_0) قد تم حسابه منه العلاقة التالية :

$$n_0 = \frac{1 + \sqrt{R}}{1 - \sqrt{R}}$$

حيث K_0 تقربياً تساوي صفر وتهمل من العلاقة التالية :

$$R = \frac{(n_0 - 1)^2 + K_0^2}{(n_0 + 1)^2 - K_0^2}$$

شكل (4)



الاستنتاجات

ان طريقة الرش الكيميائي الحراري طريقة جديدة وتصالح للتشويب بسهولة لأنشية الاكاسيد، وان التشويپ بالالمنيوم ادى الى تكوين مستويات مانحة داخل فجوة الطاقة المتنوعة وهذا له فائدة كبيرة في تطوير عمل الخلايا الشمسية وتصنيع الافضل منها.

REFERENCES

1. R.H. Misho and W.A. Murad, "Solar Energy Materials and Solar Cells". 27, 335-342 (1992).
2. Tom Fegn, Amal K. Chosh and Charles Fishman, "Appl. Phys. Lett". Vol. 35, No. 3 PP. 266-268 (1979).
3. I.H. Hashem, "Optical and Electrical Properties of Cadmium Oxide (CdO) Thin Films". College of Education, University of Al-Mustansiria, (M.Sc. Thesis), (1997).
4. M.H.D. Al-Ma'amory "Electrical and Optical Properties of Pure and Aluminum Doped ZnO Films Were Prepared by the Spray Pyrolysis Technique for Solar Applications". College of Science, University of Basrah., (M.Sc. Thesis) (1990).
5. S.Martinuzzi, "Solar Cell", 5, 243-268 (1982).
6. R.S. Al-Anbaky, "A Study of Electronics Transitions Semiconductor Films $Zn_x Cd_{1-x} S$ and Effect of the doping with Chlorine and Bromine". College of Science, University of Al-Mustansiria , (M.Sc. Thesis). (2001).
7. A.H. Omran Al-Khiat, "A Study of Optical and Electrical Properties of CdO, CuO Thin Films and Their Mixtures Prepared by Chemical Spray Pyrolysis". College of Science, University of Babylon. (M.Sc.Thesis). (1998).
8. M.D. Uplane, C.D. Lokhande, "Tr.J. of Physics", Vol. 20, PP. 1093-1097. (1996).
9. R.A. Smith "Semiconductors" 2nd Edition (Cambridge University Press). (1987).
10. Lawercel Kazmerski, "Polycrystalline and Amorphous Thin Films and Devices", (New York : Academic), (1980).

تصميم وبناء وتشغيل ليزر النتروجين النبضي باستخدام اقطاب مختلفة

د. حسن احمد حسن، المهندسة بشرى رزوفى

الخلاصة

تم بناء وتشغيل ليزر النتروجين النبضي باستخدام اقطاب ذات اشكال هندسية مختلفة في المقطع الطولي (مسنن، مستوى، نصف اسطواني). كانت طاقة النبضة الناتجة في حدود (1.7 m J - 1.4 m J) وعرض نبضة (20 n Sec) تحت ظروف تشغيلية (15 KV) وضغط .(60 mbar)

المقدمة

يتميز ليزر النتروجين بكلفة الواطئة وبساطة دوائره الكهربائية وهو ليزر نبضي ذو تكرارية عالية وبعرض نبضة قصير يصل الى النانو ثانية في المنطقة القريبة من الفوق بنفسجية. أن الطول الموجي (337.1 nm) من ليزر النتروجين يكون مصدر ليزري ممتاز لضخ ليزر الصبغة بأطوال موجية تمتد من (360nm - 950nm). ان الوسط الفعال في ليزر النتروجين هو غاز النتروجين النقي ويستغل تحت ضغط (1 bar - 20 mbar) حيث يمتد الى الضغط الجوي الاعتيادي.

الاساس النظري

إن جزيئات النتروجين (N_2) تتبع بتأثير فرق جهد عالي يتفرغ بسرعة في داخل غاز النتروجين وخلال عملية التفريغ الكهربائي تنتقل جزيئات النتروجين $e^- + N_2 \rightarrow Ne^*$ → $Ne^* \rightarrow X^1\Sigma^+$ (Ground state) إلى المستوى الارضي $C^3\Pi_u$ (1) كما موضح بالشكل رقم (1).

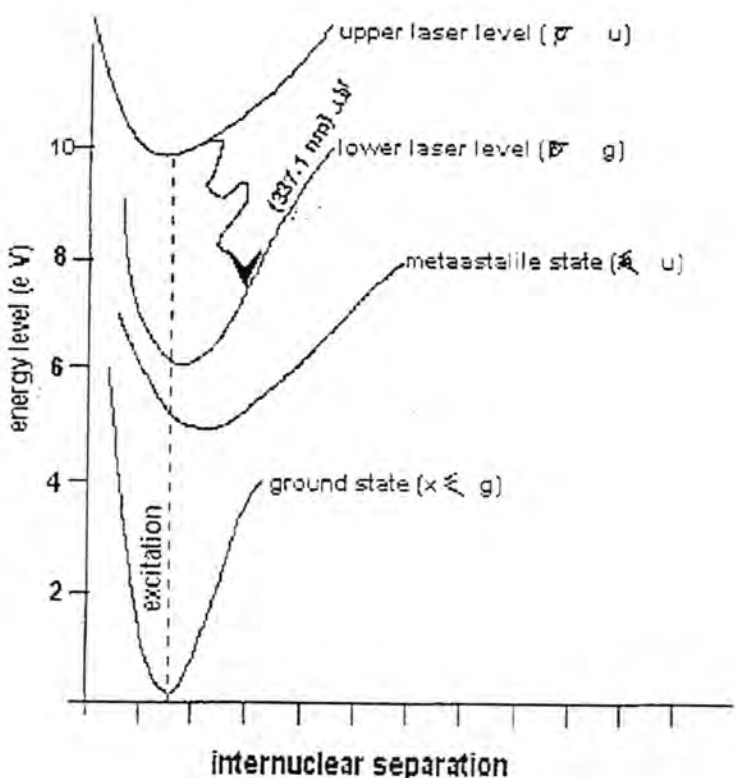
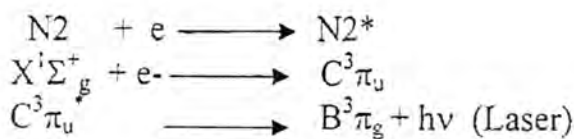


Figure (1)



ان المستوى الليزري العلوي عبارة عن مستويات الكترونية متჩاعدة بعمر (Life Time = 40 ns) تبعث فوتونات بطول موجي (337.1 nm) عندما تهبط الى المستوى الليزري السفلي. ان المستويات الليزرية في ليزر النتروجين هي مستويات اهتزازية تحوي على مستويات الكترونية.

ان ليزر النتروجين ذو نطاق عريض من الترددات ولكنه يعتبر احدى اللون مقارنة بالأشعة فوق البنفسجية الاعيادية، ان توليد ليزر النتروجين ممكن الحصول عليه بسهولة لأن عمر الاصمحل للمستوى الارضي في حدود ($10 \mu\text{Sec}$) أطول بكثير من عمر المستوى الليزري العلوي. ان المستوى الليزري السفلي يضمحل الى المستوى ($\text{A}^3\Sigma^+$) بعمر عدة ثواني. stable)

ان استخدام طريقة التفريغ الكهربائي السريعة هي الطريقة الملازمة لتكوين الشحنة المعكosaة ولأجل منع حالة الـ (Depopulation) بسبب الأنبعاث التقائي، فإن الشعيبة المعكosaة يجب ان تحدث في زمن اقل من (40 ns) وهذا يحتاج الى فولتية عالية وسرعة تفريغ وتيار عالي في غاز النتروجين ولأجل الحصول على تفريغ كهربائي سريع في زمن اقل من (40 ns) تحتاج الى دائرة تفريغ كهربائية باستخدام طريقة المتسلعة الناقلة (C to C Capacitor transfer).

بناء منظومة ليزر النتروجين

ان البناء الفيزياوي لمنظومة ليزر النتروجين وكما موضح في الشكل (2).



شكل (٢) صورة فوتوغرافية لمنظومة ليزر النتروجين

د. حسن احمد حسن و بشرى رزقى

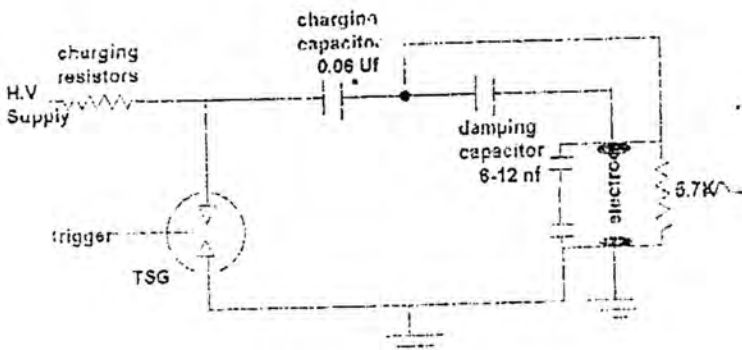
يتكون من قناة الليزر المحفورة داخل (Block) من مادة البيرسبكس ابعاده (95cm×20cm×8cm) ذات شكل متوازي مستطيلات. ان قناة الليزر مغلقة باحکام من الاعلى والاسفل بواسطة خطاءين من الالمنيوم بسمك (1 cm) وبامتداد جانبي بمسافة (10 cm) خارج البيرسبكس ومن الجانبين لأجل تثبيت متساعات (Dumping capacitor) وان الغطائين يثبتان الى لوح البيرسبكس بواسطة برااغي لولبية وصامولات بعدد (20) وفي نفس الوقت تم تثبيت الاقطاب على الغطائين وكل غطاء يحمل قطب.

ان دخول غاز التروجین الى قناة الليزر وخروج منها يتم عبر فتحتين في الجدار الجانبي لقناة الليزر. وبذلك فإن غاز التروجین يتوزع بانتظام داخل قناة الليزر، استخدمت اقطاب ذات اشكال هندسية مختلفة وكان النوع الاول من الاقطاب مقطع على شكل نصف اسطواني ابعاده $(3 \times 1.5 \times 60) \text{ cm}^3$ ويعد كل قطب عن الاخر بمسافة (1.6cm) داخل قناة الليزر.

والنوع الثاني من الاقطاب قطع على شكل متوازي مستطيلات ابعاده $(3 \times 2 \times 60) \text{ cm}^3$ ويعد كل قطب عن الاخر بمسافة (1.6 cm) داخل قناة الليزر، والنوع الثالث من الاقطاب قطع على شكل متوازي مستطيلات ابعاده $(3 \times 2 \times 60) \text{ cm}^3$ بحيث تكون الأوجه الإمامية المقابلة مسنتة والمسافة بين الوجهين المستديرين (1.6cm) داخل قناة الليزر.

ان الحجم الفعال من الغاز هو الذي يضخ بين القطبين والذي يتعرض للتفریغ الكهربائي ان قناة الليزر تتبعي من الامام والخلف بذبذتين من الكوارتز بقطر (5cm) وسمك (0.4cm) يتم ضخ غاز التروجین (N₂) الى قناة الليزر ويتم التحكم بضغط الغاز عن طريق مضخة دواره (Rotary Pump) ومنظم لقياس الضغط من (0-250 mbar)، ان شكل تصميم الاقطاب يكون مهم للحصول على مجال كهربائي منتظم ومتجانس بين الاقطاب المتمثلة للأئود والكافود وكذلك طريقة تصميم التأین الكهربائي بحيث تحصل على تأین منتظم وكفؤ في منطقة التفريغ قبل مرور نبضة التيار الرئيسي.

تم بناء الدائرة الكهربائية وكما موضح بالشكل (3) والتي تتضمن مجهز القدرة ذو الفولتية العالية من (0-50 KV) ودائرة التدح (Trigger circuit) ودائرة التأین الابتدائي (Preionization circuit) ودائرة التفريغ الرئيسية.

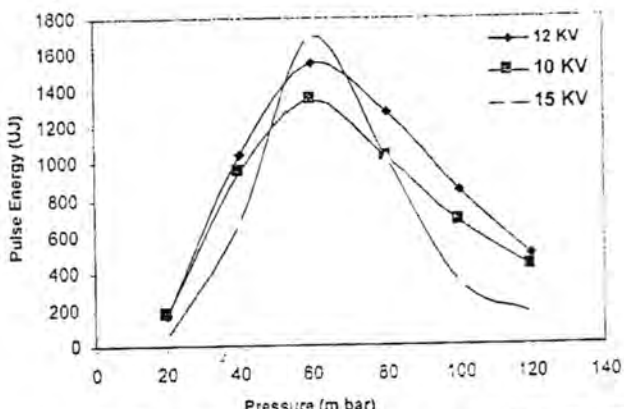


شكل (٣) دائرة التفيع الكهربائي مع التأين الابتدائي

طريقة التشغيل

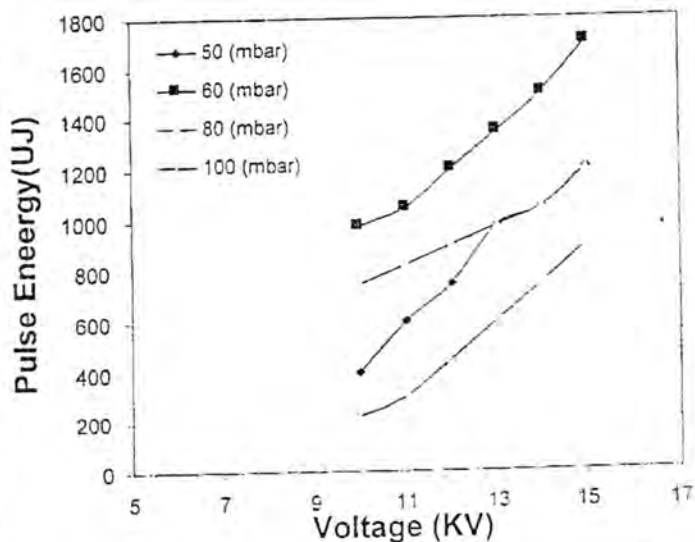
- تم تشغيل منظومة ليزر النتروجين بعد وضع التصاميم للدوائر الكهربائية للحصول على احسن النتائج وقد شملت تصاميم الدوائر الكهربائية :
1. دائرة التأين الابتدائي.
 2. قيمة متسعة الخزن الرئيسية (main storage capacitor) بحيث كانت قيمة المتسعة .($c_1=0.06\mu F$)
 3. قيمة متسعة (peaking damping capacitor) بحيث كانت قيمة ($C_2 = 6nF-12nF$) .
 4. فجوة القدح.
 5. تشغيل المنظومة بدون او مع دائرة التأين الابتدائية.
 6. تبديل الاقطاب ذات الاشكال الهندسية المختلفة بحيث كانت الاقطاب المتبادلة اما (مسنن - مسنن) او (نصف اسطواني - نصف اسطواني)، (سطح - سطح)، (مسنن - سطح)، (مسنن - نصف اسطواني)، (سطح - نصف اسطواني).
 7. تشغيل المنظومة باستخدام ضغط متغير (0-12mbar) وفولتية ثابتة لقيم (10-12-15KV) كما موضح بالشكل رقم (4)، وكذلك باستخدام فولتية متغيرة KV (10-15) وضغط ثابت لقيم (50-60-80-100)mbar وكما موضح بالشكل رقم (5).

• FIG(4) Pulse energy depends on pressure for different applied voltage



الشكل رقم (٤)

FIG(5) Pulse energy dependence on applied voltage for different pressures



الشكل رقم (٥)

النتائج والمناقشة

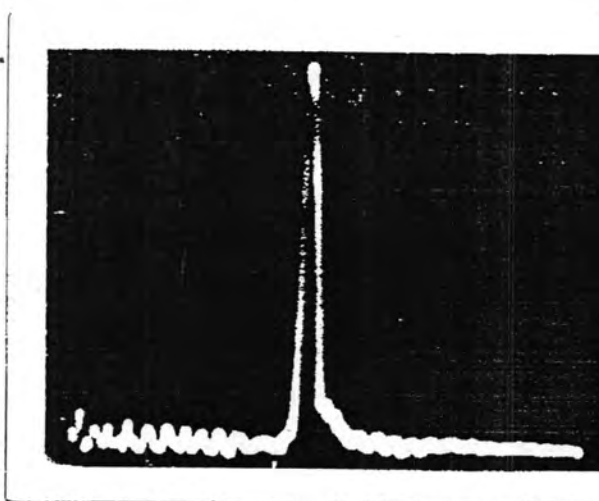
بعد اجراء التجارب وعلى المنظومة وكما موضح في طريقة التشغيل تم الحصول على اعظم خرج ليزري بطاقة $J = 1.7 - 1.5 \text{ mJ}$ للنسبة الخارجة، وتم تصوير هذه النسبة الخارجة من منظومة الليزر وكما في الشكل رقم (6).

فقد تم الحصول على هذه الطاقة عندما يكون التفريغ الكهربائي بدون حدوث شرارة كهربائية (arc) وعندما يكون توزيع غاز النتروجين متجانساً داخل قناة الليزر تحت ضغط غاز (60 mbar) وتحت فرق جهد (15 KV).

تم اجراء تجربة لعدة قيم من فرق الجهد بثبوت الضغط وكذلك عدة قيم للضغط وبثبوت فرق الجهد وقد كانت النتائج تعتمد على نوع القطب المستخدم وكذلك على طريق التأين الابتدائي لأجل الحصول على نقل سريع وتفریغ سريع للشحنة الكهربائية في زمن اقل من (40 nsec) على طول قناة الليزر.

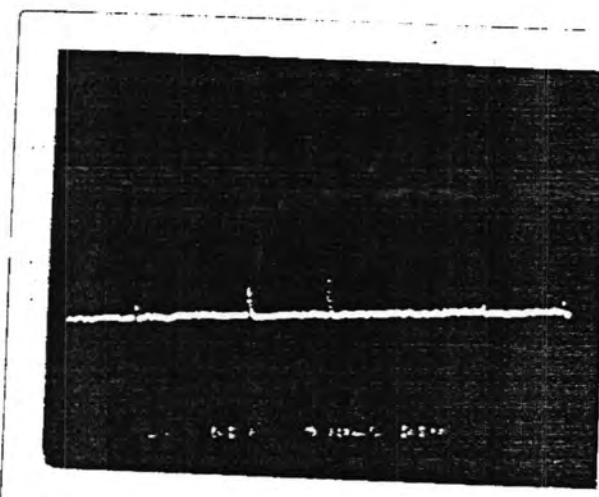
لقد تم الحصول على اعلى خرج ليزري (طاقة النسبة = 1.7 mJ) عندما كامن القطب المقابلة (نصف اسطواني - نصف اسطواني) وضغط (60 mbar) وفرق جهد (15KV).

تم تشغيل المنظومة تحت ظروف الجريان المستمر لغاز النتروجين لأجل زيادة تكرارية نسبة ليزر النتروجين بحيث وصلت التكرارية الى (7 Hz) مع ملاحظة انخفاض في قيمة الطاقة للنسبة الخارجة من ليزر النتروجين بنسبة (20%) من قيمتها العظمى. وكما في الشكل (7).



الشكل رقم (6)

النبضية الطيرية المفردة الشارحة من ليزر النتروجين



الشكل رقم (7)

النبضية الطيرية المفردة الشارحة من ليزر النتروجين

المصادر

1. E. Anamandill and A.J. Kearsley Applied Physics Letter 41, 7, 611, (1982).
2. H. Houtmau and J. Meyer Rev. Instr. 54, 12, 1629, (1983).
3. T.Y. Change Rev. Sci. Instr. 44, 4, 405, (1973).
4. K.S. Low, Winter Colage on automic and Molecular Physics (9/3-3/4/1087).
5. J.G. Small and R. Ashtarit Rev. Sci. Instr. 43, 1205, (1972).
6. A.J. Schidt. Journal of physics E: Sci. Inst., Vol. 10, P. 455, (1977).
7. R.S. Kunabench, M.R. Gorbal, and M.I. Savadattr Am.J. Phys. 50, 6, 568, (1982).

تطوير المدى المحسوب لطريقة براك في المركبات الغازية

زينب وهبي عبد اللطيف ، خالد عبد الوهاب احمد
جامعة المستنصرية - كلية العلوم - قسم الفيزياء

ABSTRACT

The calculation of range of compounds depends on Bragg's additivity rule, the dependents of this rule increases specially at high energies ($E > 1 \text{ MeV}/\text{amu}$). However, this rule is inaccurate at intermediat and low energies. Part of this unaccuracy is the unaccuracy exsistance in the measured and calculated stopping power. So that we cannot depend on the calculated range by Bragg's rule of compounds, therefore we suggest an empirical formula to minimize its diviation within intermediat and high energy range through the interaction of protons in energy range (0.04-0.6 MeV), the interaction of alpha particles in energy (0.3-2 MeV) and in energy range (1-8 MeV) with several gaseous compounds.

الخلاصة

يتم حساب المدى في المركبات بالاعتماد على قاعدة براك للجمع ويزداد الاعتماد على هذه القاعدة عند الطاقات العالية ($E \geq 1 \text{ MeV} / \text{amu}$) مع ذلك فإن هذه القاعدة غير دقيقة عند الطاقات الواسعة والمتوسطة وجزء من عدم الدقة هذه يعزى إلى عدم الدقة الموجودة في قدرة الأيقاف المحسوبة عملياً أو نظرياً، لذلك لا يمكن الاعتماد على المدى المحسوب بطريقة براك للمركبات لذلك تم اقتراح صيغة تجريبية لتقليل الانحراف عن قاعدة براك لحساب المدى ضمن الطاقات المتوسطة والعالية وذلك من تفاعل البروتونات ضمن مدى الطاقة [0.04-0.6 MeV] وتفاعل جسيمات ألفا ضمن مدى الطاقة [0.3-2 Mev] ومدى الطاقة [1-8 MeV] مع مركبات غازية عديدة.

المقدمة

عند سقوط جسيمة مشحونة ثقيلة على مادة الهدف فانها سوف تسلك مساراً مستمراً ينتهي عند النقطة التي تفقد فيها الجسيمة جميع طاقتها، هذه المسافة التي تقطعها الجسيمة على طول هذا المسار تسمى طول المسار الكلي. ان مسار الجسيمات المشحونة الثقيلة داخل المادة يأخذ شكلاً مستقيماً، بسبب قلة الانحراف الذي تعانيه وبذلك نستطيع تعريف المدة بأنه معدل طول المسار الذي تقطعه الجسيمة المشحونة وان هذا المسار ينحرف بالقرب من نهاية المدى، وبالإمكان حسابه من تكامل المعادلة الآتية للجسيمات المشحونة في الوسط ذات الطاقة الابتدائية (E_0) وصولاً إلى حالة السكون حيث الطاقة النهائية ($E=0$).⁽¹⁾

$$R = - \int_0^E \left(\frac{dE}{dR} \right)^{-1} dE \quad \dots\dots(1)$$

حيث ان (R) يمثل المدى للجسم المشحون و (dE/dR) يمثل قدرة الایقاف للجسم المشحون اما (dE) فيمثل معدل الطاقة.

في المعادلة (1) تتعذر لحساب المدى في الطاقات العالية اما في الطاقات المتوسطة فتكون غير دقيقة لأن قدرة الایقاف لا يمكن تعبيتها بدقة لكون التكامل نسبة الى الطاقة ($E=0$) غير محدد وكى تتجنب الازدواجية في حساب فقدان الطاقة عن الطاقات الواطئة تم استخدام القياسات العملية لتحديد معدل المدى (R_0) للجسيمات المشحونة عند الطاقة ($E_0 = 1 \text{ MeV}$) ويتم حساب معدل المدى من التفريغ بين ($R_0(E_0)$ و ($R(E)$)) كما يلى :

$$R(E) - R_0(E_0) = \int_{E_0}^E \left(\frac{dE}{dx} \right)^{-1} dx \quad \dots\dots(2)$$

أجانب النظري

تمدى المحسوب بطريقة براك في المركبات الغازية

لقد اوضح براك عملياً ان قدرة الايقاف الذري تتناسب طردياً وبشكل تقريري مع الجذر التربيعي للوزن الذري واستناداً لهذا يمكن حساب المدى النسبي لجسيمات الفا لعدد من الاوساط مختلفة حسب قاعدة براك⁽²⁾ حسب العلاقة التالية :

$$\frac{R_1}{R_2} = \frac{\rho_2}{\rho_1} \left(\frac{A_1}{A_2} \right)^{1/2} \quad \dots\dots(3)$$

عندما ينبع (R₁, R₂) مدى الجسيمات المشحونة في وسط الايقاف ووسط الايقاف القياسي و (ρ₁, ρ₂) كثافة وسط الايقاف ووسط الايقاف القياسي اما (A₁, A₂) الوزن الذري لوسط الايقاف ونوسط الايقاف القياسي .

عند استغلال مدى الفا في الهواء لايجاد مداها في المواد الالخري فان المعادلة (3) تأخذ شكل التالي علماً بأن دقتها تكون مقاببة لحوالي (15%) :

$$R_1 = 0.32 \frac{\sqrt{A_{eff}}}{\rho} R_{Air} \quad \dots\dots(4)$$

حيث ان (A_{eff}) يمثل قيمة العدد الكتلي المؤثر للمركب ويتم حسابه كما يلى :

$$\sqrt{A_{eff}} = \left(\sum_{i=1}^L \frac{n_i}{\sqrt{A_i}} \right) \quad \dots\dots(5)$$

اما عند تطبيق قاعدة براك للجمع لحساب قدرة الايقاف الكتليلية بوحدات المركبات (MeV.cm²/gm)

زينب وهبي عبد الطيف و، خالد عبد الوهاب احمد

$$\frac{S_{\text{comp.}}}{\rho} = \sum_i w_i \frac{S_i}{\rho} \quad \dots\dots(6)$$

وباستعمال المعادلات (6,1) من يمكن حساب المدى بطريقة براك للجسيم المشحون

في المركبات من خلال المعادلة التالية :

$$\frac{1}{R_{\text{Bragg}}} = \sum_i \frac{w_i}{R_i} \quad \dots\dots(7)$$

حيث ان $(R_{\text{comp.}})$ و (R_i) يمثلان المدى في المركب وفي العنصر (i) وبوحدات (mg/cm^2)

الحسابات والنتائج

تصحيح تجاريبي للمدى المحسوب بطريقة براك من خلال دراسة الاختلافات بين قيمة عملية للمدى والقيم المحسوبة بطريقة براك في المعادلة (7) افترضنا صيغة تجاريبيه لتصحيح المدى المحسوب بطريقة براك في المركبات الغازية وذلك بإضافة عامل التصحيح (F) تمحوب في (4) الى المعادلة (7) كما يلي :

$$\left(\frac{dE}{dR} \right)_{\text{comp.}} = \sum_i w_i \left(\frac{dE}{dR} \right)_i (1 - F) \quad \dots\dots(8)$$

فأذا فرضنا ان المدى للمركبات يحسب وفق المعادلة التجاربيه

$$R_{\text{comp.}} = A (E + D)^B \quad \dots\dots(9)$$

علماً بالمقادير (A, B) هما ثابتان تجريبيان يتغيران ببطء مع الطاقة ويعتمدان على نوع الجسيمة الساقطة، اما (D) فهي كمية ثابتة وتتمثل قيمة المدى عندما $E = 0$ وباشتقاق المعادلة (9) نحصل على :

$$\left(\frac{dE}{dR} \right)_{comp.} = \frac{E}{B R_{comp.}} \quad . \quad(10)$$

وإذا فرضنا أن المدى لكل عنصر داخل في المركب يحسب وفق المعادلة شبه التجريبية :

$$R_i = a_1 (E + a_3)^{a_2} \quad(11)$$

علمًا ان المقادير (a_1, a_2, a_3) يمثلون ثوابت تجريبية، وباستناد معادلة (11) نحصل على :

$$\left(\frac{dE}{dR} \right)_i = \left(\frac{E + a_3}{a_2} \right) \frac{1}{R_i} \quad(12)$$

في إضافة المعادلة (12) الى المعادلة (8) نحصل على ما يلي :

$$\left(\frac{dE}{dR} \right)_{comp.} = \sum_i \frac{w_i}{a_2} \left(\frac{E + a_3}{R_i} \right) (1-F) \quad(13)$$

وبتعويض المعادلة (10) في الطرف الأيسر للمعادلة (13) نحصل على الصيغة العامة التالية :

$$\frac{1}{R_{comp.}} = B(1-F) \sum_i \frac{w_i}{a_2 R_i} \left(1 + \frac{a_3}{E} \right) \quad(14)$$

ونظرًا لقلة النتائج العملية لحساب المدى في المركبات تم استخدام النتائج العملية لقدرات الإيقاف الكتالية للمركبات واجراء تطابق لها لحساب المدى العملي وفق المعادلة التالية :

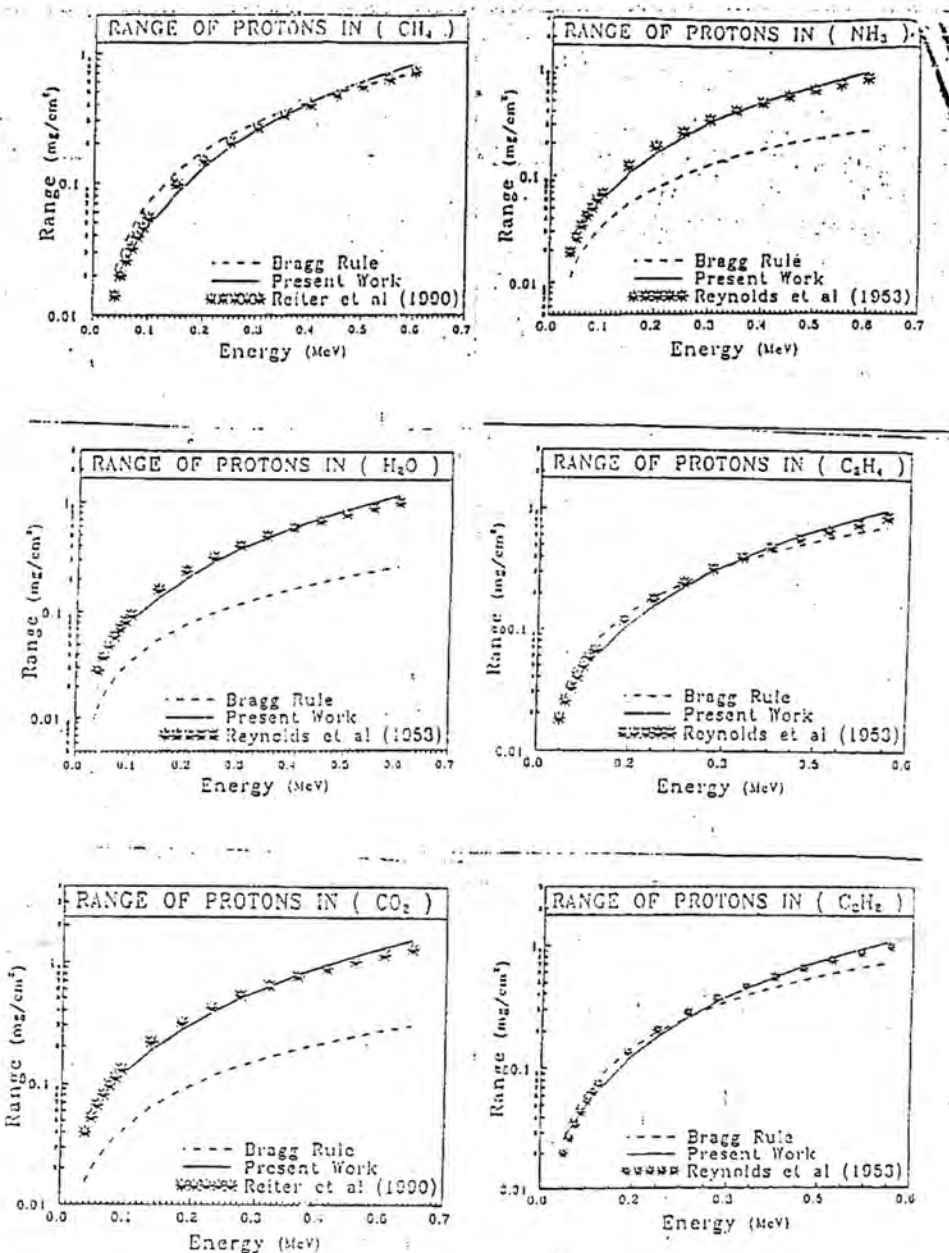
$$R_{exp.} = a E^b \quad(15)$$

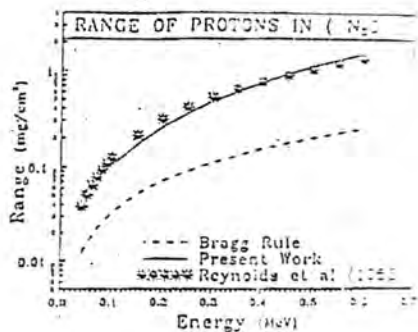
حيث ان الثوابت $[a, b]$ يتم اعتبارهم ثوابت تجريبية لحساب المدى العملي للمركبات وللعناصر ايضاً.

النتائج

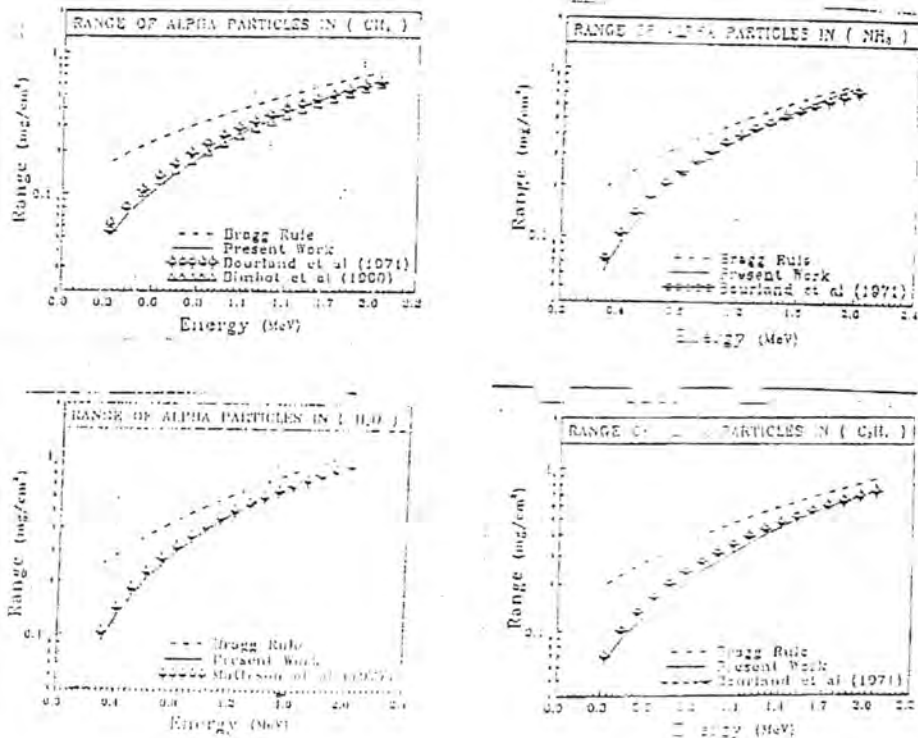
بتطبيق الصيغة التجريبية التي اقترحناها معادلة (14) تم حساب المدى المعدل لقاعدة براك بوصفها دالة لطاقة البروتون في سبع مركبات غازية، $\text{CO}_2, \text{N}_2\text{O}, \text{C}_2\text{H}_2, \text{H}_2\text{O}$ ، $(\text{CH}_2)_3$ في مدى الطاقة (0.04-0.6 MeV) ولغرض حساب المدى العملي للمركبات تم استخدام المعادلة (15) وتم الحصول على الثوابت $[a,b]$ كما هو مبين في الجدول (1) والشكل (1) يوضح مقارنة بين قيمنا النظرية والقيم العملية^(5,6) والقيم المستندة من قاعدة براك.

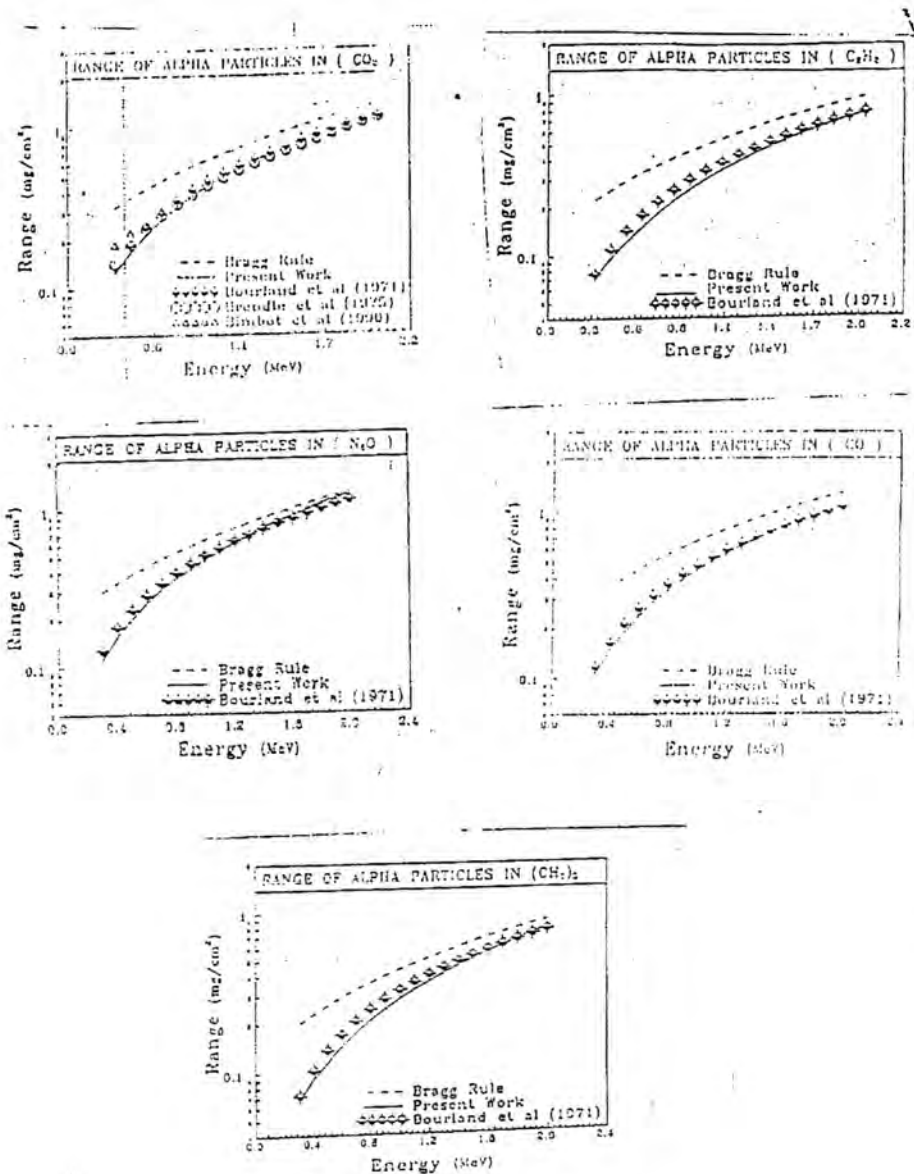
كذلك تم استخدام معادلة (14) لحساب المدى المعدل لمعادلة براك لجسيمات الفا في اربعة عشر مركب غلازي، $\text{CO}_2, \text{N}_2\text{O}, \text{C}_2\text{H}_2, \text{H}_2\text{O}, \text{C}_2\text{H}_4, (\text{CH}_2)_3, \text{C}_3\text{H}_6$. في مدى الطاقة (0.3-2 MeV) وفي تسعة مركبات غازية $\text{C}_4\text{H}_8, \text{C}_4\text{H}_{10}, \text{NH}_3, \text{C}_3\text{H}_8, \text{C}_2\text{H}_6, \text{CH}_4$ [CO₂, C₂H₂, C₂H₄, C₃H₄, C₃H₆, (CH₂)₃, C₄H₁₀, C₃H₈, C₂H₆, CH₄] في ضمن مدى الطاقة (1-8 MeV). وباستخدام المعادلة (15) تم الحصول على المدى العملي للمركبات والجداول [[2,3]] يوضحان قيم الثوابت (b,a) للمركبات اعلاه ضمن حدود الطبقتين على التوالي والاشكال (2) و (3) توضح مقارنة بين قيمنا النظرية والقيم العملية من [7-12] و [11-13] والقيم المستندة من قاعدة براك.





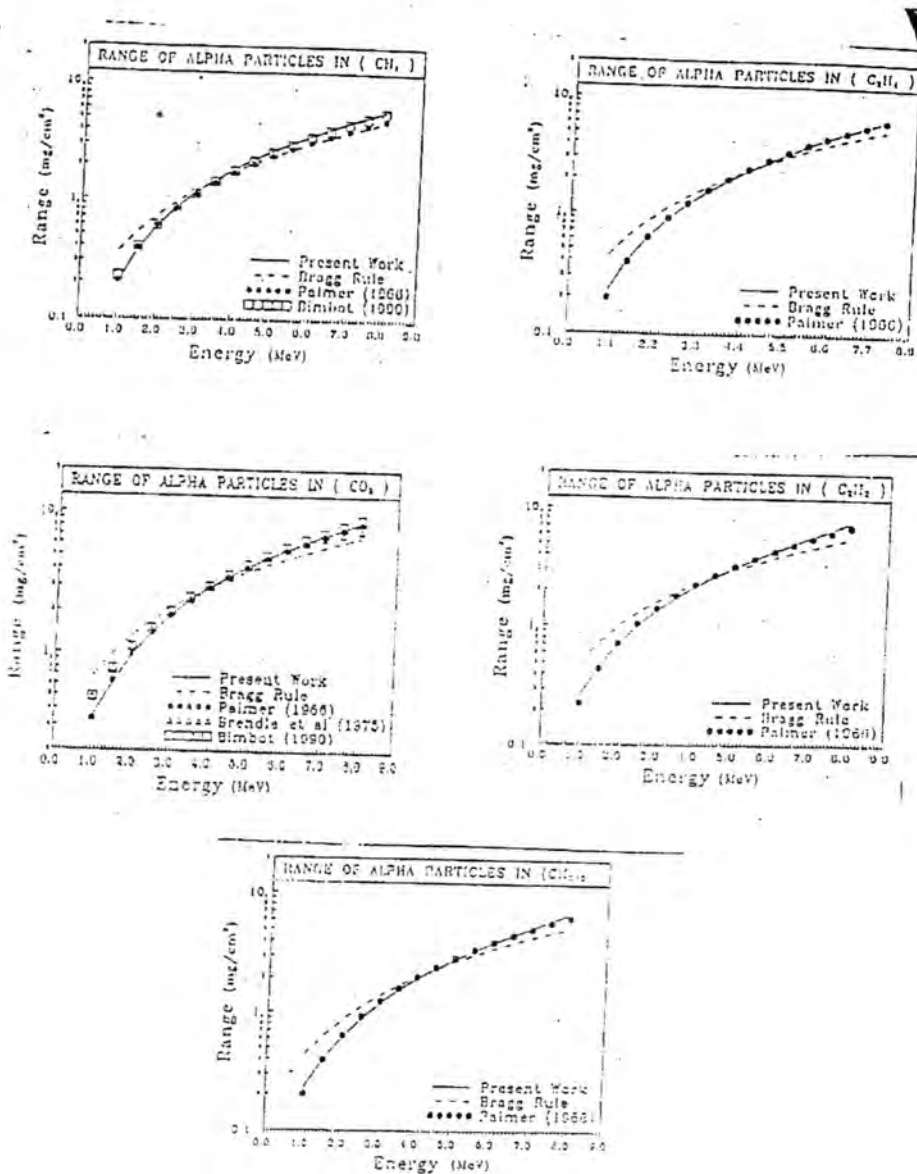
شكل (1) مقارنة بين النتيجة النظرية والنتيجة العملية رقم ذادعة بران لمدى البروتونات ضمن مدى انتقال
 $(CO_2, N_2O, C_2H_2, H_2O, C_2H_4, NH_3, CH_4)$ في المركبات الغازية (0.04-0.5 MeV)





الشكل (2): المقارنة بين النتائج النظرية والنتائج العملية وقيم قاعدة براغ لجزيئات المسماة من متى
الطاقة (0.3-2 MeV) في المركبات المذكورة غازياً [CO , CO_2 , N_2O , C_2H_2 , H_2O , C_2H_4 ,
 C_3H_8 , $(\text{CH}_2)_3$, C_4H_{10} , NH_3 , C_3H_8 , C_2H_6 , CH_4]

زينب وهبي عبد الطيف و خالد عبد الوهاب احمد



الشكل (3) مقارنة بين النسب المئوية والقيم المطلبة لقيم المدى برانك لدى حسبات المدى من مسدي الطاقة

$(CO_2, C_2H_2, C_2H_4, C_3H_6, (CH_2)_3, C_4H_{10}, C_3H_8, 2-1.8 \text{ MeV})$

$C_2H_6, CH_4)$

جدول (1) : قيم معاملات التطابق (a,b) للصيغة التجريبية $R(\text{mg/cm}^2)=aE^b$ لمدى البروتونات عند (0.04-0.6 MeV) علمًا بان الطاقة (E) هي بوحدات (MeV)

المركب	$a(\text{mg/cm}^2)$	$b(\text{MeV})^{-1}$
CO_2	2.5032	1.2887
N_2O	2.5495	1.3106
C_2H_2	2.0728	1.4475
H_2O	2.0051	1.3272
C_2H_4	1.8076	1.4314
NH_3	1.7472	1.4033
CH_4	1.5032	1.4449

جدول (2) : قيم معاملات التطابق (a,b) وفق الصيغة التجريبية $R(\text{mg/cm}^2)=aE^b$ لمدى جسيمات الفا عند (0.3-2 MeV) علمًا بان الطاقة (E) هو بوحدات (MeV)

المركب	$a(\text{mg/cm}^2)$	$b(\text{MeV})^{-1}$
CO	0.4802	1.1637
CO_2	0.5243	1.1156
N_2O	0.5097	1.147
C_2H_2	0.3416	1.2485
H_2O	0.4072	1.1404
C_2H_4	0.3134	1.2393
C_3H_6	0.3208	1.2373
$(\text{CH}_2)_3$	0.320	1.2359
C_4H_8	0.3061	1.2648
C_4H_{10}	0.3049	1.2281
NH_3	0.3158	1.215
C_3H_8	0.2953	1.2455
C_2H_6	0.2861	1.2475
CH_4	0.255	1.2676

جدول (3) قيم معاملات التطابق (a,b) وفق الصيغة التجريبية $R(\text{mg/cm}^2) = aE^b$ لمدى

جسيمات الفا عند (1-8 MeV) علماً بأن الطاقة (E) هي بوحدات (MeV)

المركب	$a(\text{mg/cm}^2)$	$b(\text{MeV})$
CO_2	0.3403	1.5437
C_2H_2	0.2292	1.6481
C_2H_4	0.1968	1.6718
C_3H_6	0.2183	1.6284
$(\text{CH}_2)_3$	0.2007	1.6682
C_4H_{10}	0.2046	1.6434
C_3H_8	0.1794	1.6959
C_2H_6	0.1821	1.6807
CH_4	0.2079	1.5215

المناقشة

من سلاسلنا الاشتراكية [3,2,1] وفي حدود الاخطاء العملية وجدنا توافق جيد بين قيم نتائجنا النظرية وقيم العينة حيث باستخدام المعادلة (14) وجدنا ان الانحراف لنتائجنا النظرية عن العملية قد اصبح اقرب من الانحراف للمدى المحسوب بقاعدة براك وان نسب الانحراف عن القيم العملية تزداد عند اضطرافات المتوسطة وال Wolfe كما في الشكل رقم (2) كما ان أي تأثير للاوامر الكيميائية يكون صغير وغير مميز.

من الاشكال (1) وجدنا ان منحنى المدى المحسوب من قاعدة براك يقترب جداً من منحنى النتائج العينة والنظرية للمدى في المركبات الپیدروکاربونیة $[\text{CH}_4, \text{C}_2\text{H}_4, \text{C}_2\text{H}_2]$ بينما يتبع عينما في المركبات الاخرى $[\text{NH}_3, \text{NO}_2, \text{H}_2\text{O}, \text{CO}_2]$ ومن المحتمل ان يكون السبب هو اختلاف الكثافة الالكترونية لهذه المركبات.

اما من الاشكال (3) لاحظنا ان منحنى المدى المحسوب بقاعدة براك يقترب من منحنى النتائج العملية والنظرية وان تأثير الاوامر الكيميائية صغيرة وغير واضحة وهذا دليل على أنه بزيادة الطاقة ينعد الانحراف.

المصادر

1. Lindhar, J. Scharff, M. and Schiott, H.E., "Range Concepts and Heavy Ion Ranges", Mat. Fys. Medd. Dah. Vid. Selsk. 33, No. 14. (1963).
2. Evans, R., "The Atomic Naclens" (McGraw-Hill), New York, 636, (1955).
3. Berger, M.J. and Slitzer, S.M., "Stopping Powers and Ranges of Electrons and Positrons", 2ed. US Dept. of commerce Publ. (1982).
4. Zainab, W. "Investigation the Properties of Bragg's Rule", M.Sc., Thesis, University of Al-Mustansiriyah, (1999).
5. Reiter, G., Kniest, No., Pfaff, E. and Clausnitzer G., "Proton and Helium stopping cross sections in H_2 , He, N_2 , O_2 , Ne, Ar, Kr, Xe, CH_4 and CO_2 ". Nucl. Instr. And Meth. Brr: 399-411 (1990).
6. Reynolds, H.K., Dunbar, D.N.F., Wenzel, W.A. and Whaling, W., "The stopping cross section of gases for protons 30-600 KeV". Phys. Vol. 92, No. 3, 742-748 (1953).
7. Bourland, P.D., Chu, W.K. and Powers, D., "Stopping cross-sections of gases for alpha particles from 0.3 to 2 MeV". Phys. Rev. B3, 3625-3635 (1971).
8. Al-Dulaimy, A.A.R. "Measurements of stopping cross section and range for alpha particles (0.5-2.1 MeV) in gaseous Elements & compounds "Ph.D., Thesis, University of Dundee (1997).
9. Lodhi, A.S. and Powers, D " Energy loss of alpha particles in gaseous C-H and C-H-F compounds" Phys. Rev. A10: 2131-1340 (1974).
10. Matteson, S. Powers, D. and Chau, E.K.L., "Physical – state effect in stopping cross section of H_2O ice and vapor for 0.3-2 MeV alpha particles". Phys. Rev. A15, 856-864 (1977).
11. Brendle, M., Gugel, F. and Steidle, G., "The Ranges of Alpha Particles in H_2 , He, CH_4 and CO_2 at Energies from 0.5 to 5.3 MeV", Nucl. Instr. And meth. 130: 253-256 (1975).
12. Bimbot, R., Cabot, C., Garder, D. Ganvin, H., Hingmann, R., Orliange, I. And Dereihas, L., "Heavy Ion Energy Loss", Nucl. Instr. And Meth. B44: 1-34 (1990).
13. Palmer, R.B.J., "The stopping powers of hydrogen and hydrocarbon vapours for alpha particles over the energy range 1-8 MeV". Proc. Phys. Soc.: 87, 681-688 (1966).

حساب مدى الجسيمات المشحونة الثقيلة ($Z_1 \geq 2$) لأهداف مختلفة

احمد عزيز احمد ، خالد عبد الوهاب احمد ، محمد احمد الجبوري
قسم الفيزياء ، كلية العلوم، الجامعة المستنصرية، بغداد ، العراق

ABSTRACT

Theoretical study of the range of heavy charged particles (Heavy ions ($Z_1 \geq 2$) and alpha particles) incident on solid and gaseous targets and for carbon (C) and oxygen (O) ions with myler, kapton, havar, and nickel targets has been predicted for the low energy region ($1 < E(\text{MeV u}) \leq 0.01$). We suggested a semi-empirical formula for calculating the range using experimental data of stopping power. Consequently we wrote a program (RANG) in Fortran 77 taking into account the consideration the effective charge Z_1^* of the incident heavy ions. We found good agreement between theoretical calculation and experimental measurements.

الخلاصة

تم من خلال هذا البحث حساب المدى للجسيمات المشحونة الثقيلة (الأيونات الثقيلة $Z_1 > 2$ و جسيمات الفا) الساقطة على اهداف صلبة و غازية ولایونات الكاربون والاوكسجين الساقطة على اهداف المايلاير (Mylar) والهيفار (Havar) والكبتون (Kapton) والنيكل (Nickel) ضمن مدى الطاقات ($1 < E(\text{MeV/u}) \leq 0.1$). لقد تم اقتراح صيغة تجريبية لحساب المدى تعتمد على نتائج عملية لقدرة الايقاف ولهذا الغرض تمت كتابة البرنامج (RANG) بلغة Fortram 77 ان الشحنة الفعالة Z_1^* اخذت بنظر الاعتبار في حساب المدى حيث ساهمت في الحصول على توافق جيد للنتائج النظرية مقارنة بالقياسات العملية لعدد من الباحثين.

المقدمة

عند مرور الجسيمات المشحونة (Charged Particles) خلال الوسط المادي فانها سوف تفقد جزءا من طاقتها الحركية عند كل عملية تصادم مع ذرات مادة الهدف وان استمرار

أحمد عزيز / أحمد وجماعه

هذه تعنية على طول مسار الجسم خلال الوسط سوف يتسبب في استمرار تناقص الطاقة الحركية للجسيمات المشحونة حتى تصل الصفر حيث تفقد كل طاقتها الحركية وتصل حالة تكون في نقطة معينة، لذلك فان المدى الكلي (Total range) للجسيمات المشحونة المارة خلت توسط المادي يمكن تعريفه بأنه طول المسار الذي يقطعه الجسم قبل ان يصل السكون

حيث يعتمد على نوع مادة الهدف ونوع الجسم الساقط بالإضافة إلى طاقته.

ان الحساب النظري للمدى (R) لجسم مشحون ذي طاقة ابتدائية E_0 في وسط ميعن

حيث يصل الى حالة السكون يمكن اجراؤه باستخدام الصيغة الآتية :-

$$R = \int_0^{E_0} \left(\frac{dE}{dX} \right) \quad \dots\dots(1)$$

حيث $\frac{dE}{dX}$ معدل الطاقة و (dE/dX) يمثل قدرة الإيقاف.

ويمثل المعادلة (1) لحساب المدى ⁽¹⁾ عند الطاقات العالية، اما عند الطاقات الواطئة فتكون غير ثابتة لحساب المدى الكلي وذلك لأن قيمة الطاقة المفقودة (dE/dX) تعتبر قيمة غير محددة كون التكامل نسبة الى الطاقة ($E=0$) لامتناهي ⁽²⁾ (Infinity)، ولتجنب اللادقة في حساب فرقه لا ينافي عند الطاقات الواطئة تم اضافة تأثير التفاعلات القريبة (Close collision) وتأثرت البعيدة (Distant collision) في حساب المدى، وتكتب المعادلة (1) بالشكل

حيث :-

$$R = \int_0^{E_0} \frac{dE}{N.S_{\text{tot}}} \quad \dots\dots(2)$$

حيث N تمثل الكثافة الذرية

حيث S_{tot} تمثل بالمعادلة الآتية ⁽³⁾ :-

$$S_{\text{tot}} = S_{\text{clos.}} + S_{\text{dis}} \quad \dots\dots(3)$$

حيث :-

$$S_{\text{clos}} = \frac{4\pi r^2 e^4}{mv^2} \ln \frac{2P_0}{b} \quad \dots\dots(4)$$

$$S_{\text{dis}} = \frac{4\pi r^2 e^4}{mv^2} \ln \frac{Cv}{wP_0} \quad \dots\dots(5)$$

اذ ان C ثابت يعطى بالعلاقة ($C=2e^r$) و (r) يمثل ثابت اويلر وقيمه (0.5772) لذلك يمكن كتابة المعادلة (2) بالشكل الاتي :-

$$R = \frac{1}{N} \left\{ \int_0^{E_0} \frac{dE}{S_{\text{clos}} + S_{\text{dist}}} + \int_{E_0}^E \frac{dE}{S_{\text{clos}} + S_{\text{dist}}} \right\} \quad \dots\dots(6)$$

وتعتبر المعادلة (6) مهمة جداً في حساباتنا النظرية للمدى ولقد تم الاعتماد عليها ضمن الشرط الاتي :-

$$R(E) = \int_0^{E_0} \frac{dE}{N \cdot S_{\text{tot}}} = R(E_0) \quad E \leq E_0 \quad \dots\dots(7-a)$$

$$R(E) = R(E_0) + \int_{E_0}^E \frac{dE}{N \cdot (S_{\text{clos}} + S_{\text{dist}})} \quad E > E_0 \quad \dots\dots(7-b)$$

ولقد تم حساب الحد الثاني في المعادلة (7-b) ضمن الشرط ($E > E_0$) باستخدام طريقة سمبسون (RANG) ضمن البرنامج الفرعى (SIMPSN) ضمن البرنامج (Simpson Method) لحساب المدى ⁽³⁾.

الصيغة شبه التجريبية لحساب المدى

نظرأً لصعوبة الحصول على نتائج عملية لمدى الجسيمات المشحونة الثقيلة ($Z_1 > 2$) تم استخدام صيغة شبه تجريبية لحساب المدى تعتمد على نتائج عملية لقدرة الايقاف. فاذا فرضنا أن :-

احمد عزيز احمد وجماعته

$$R = a E^b \quad \dots\dots(8)$$

حيث a, b ثوابت ، وعند اخذ التفاضل للمعادلة (8) بالنسبة الى E نحصل على :-

$$\frac{dR}{dE} = abE^{b-1} \quad \dots\dots(9)$$

لذلك فأن :-

$$\frac{dE}{dR} = \frac{1}{ab} E^{1-b} \quad \dots\dots(10)$$

وبأخذ اللوغاريتم للطرفين في المعادلة (10) نحصل على:-

$$\ln(dE/dr) = -\ln(ab) + (1-b) \ln E \quad \dots\dots(11)$$

ان المعادلة (11) تكفيه معادلة خطية من الدرجة الاولى ($Y = A - BX$) فاذا توفرت قيم عملية قدرة الایقاف ويمكن استخراج المعادلة (11) لحساب المعاملات (a, b) بطريقة المربعات الصغرى (least square method) ومن ثم الحصول على نتائج عملية للمدى من خلال انمعادلة (8).

الشحنة الفعالة

تعرف الشحنة الفعالة ب أنها عدد الاكترونات في المدارات الخارجية لذرات الايونات المشحونة عند مرورها في وسط مادي حيث تفقد او تكتسب الاكترونات من ذرات الوسط الممتص وهذا التغير في الشحنة يعتمد على سرعة الايونات السقطة التي تقل كلما ازداد تفوهها نتيجة فقدان الاكترونات وتعطى الشحنة الفعالة بالصيغة الآتية :-

$$Z_1^* = \gamma Z_1$$

ويمثل γ معامل الشحنة الفعالة. ان المعضلة الرئيسة في حساب المقطع العرضي للايقاف هي ليست عند الطاقات العالية وإنما عند الطاقات الواطئة (E) و يمكن حساب الشحنة الفعالة Z_1^* بالاعتماد على قدرة الایقاف والمعطاة بالمعادلة الآتية⁽⁵⁾ :

$$\frac{(dE/dX)Z}{(dE/dX)Z_1} = \frac{Z^2}{Z_1} \quad \dots\dots(13)$$

لقد حسب انتوني ولانفورد الشحنة الفعالة Z_1^* للمواد الصلبة باعتماد السرعة (v) والعدد الذري للجسيم الساقط Z_1 وفقاً للمعادلة الآتية⁽⁵⁾ :-

$$\frac{Z_1^*}{Z_1} = 1 - Ae^{-\lambda v} \quad \dots\dots(14)$$

حيث ان A, λ تمثل معاملات الشحنة الفعالة، وان :

$$V_r = \frac{v}{v_0 Z_1^{2.5}}$$

حساب المدى للجسيمات المشحونة الثقيلة لاهداف مختلفة

حساب المدى للايونات الثقيلة (2) (Z₁ > 2) لاهداف صلبة

باستخدام المعادلة (7) تم حساب المدى للايونات الثقيلة (O, I) المارة خلال هدف الكاربون (C) في حدود مدى طاقات مختلفة وقد تم الحصول على القيم العملية للمدى من خلال المعادلة (8) والبرنامج (RANG)⁽³⁾ وباستخدام قيم عملية لقدرة الایقاف، وبعد اخذ تأثير الشحنة الفعالة تم الحصول على تطابق جيد للنتائج النظرية مقارنة بالقياسات العملية.

يوضح الشكل (1) التطابق الجيد لنتائجنا النظرية في حساب المدى لايون الاوكسجين O والبيود I المار خلال هدف الكاربون C مقارنة بالقياسات العملية^(5,4). ويوضح الشكل (1) ايضاً زيادة المدى مع زيادة الطاقة (E) ومن خلال تأثير الشحنة الفعالة نلاحظ حصول التوافق بين النتائج بشكل افضل عند الطاقات الواطئة.

حساب المدى لجسيمات الفا في اهداف صلبة وغازية

ان مدى جسيمات الفا الساقطة على الاهداف (Cu, N) في حدود مدى الطاقات الواطئة تم حسابه نظرياً باستخدام المعادلة (7) والبرنامج (RANG)⁽³⁾. ان القيم العملية للمدى

أحمد عزيز احمد وجماعته

والمستخدمة للمقارنة مع حسابات النظرية. تم حسابها من الصيغة شبه التجريبية لحساب جسيمات الفا والمعطاة بالمعادلة :-

$$R = \exp(A_1 + A_2 \frac{EE}{E} + A_3 (EE)^2 - A_4 (EE)^3 - A_5 (EE)^4 - A_6 (EE)^2) \quad \dots \dots (16)$$

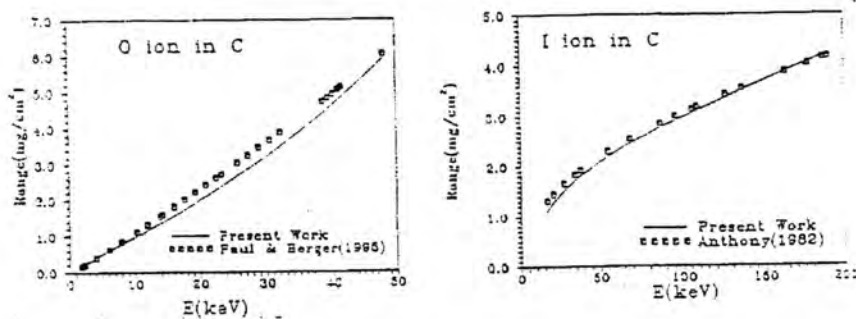
حيث ان $R = \ln E$ يمثل المدى بوحدات (mg/cm^2) و E تمثل طاقة الايون الساقط بوحدات keV اما المعاملات ($A_1, A_2, A_3, A_4, A_5, A_6$) ف يتم الحصول عليها كما في المصدر⁽⁶⁾. ان الشكل (2) يوضح تطبيق نتائج حساباتنا النظرية للمدى لجسيمات الفا في الاهداف (Cu, N) مقارنة بالقياسات التجريبية . وقد حصلنا على هذا التطبيق بعد ادخال تأثير الشحنة الفعالة المحسوبة من خلص تجربة⁽⁷⁾ (13)، (14) ومن خلال البرنامج الفرعي⁽³⁾ (ZRATIO).

حساب المدى للأيونات الثقيلة (C, O) في هذه المطالعات والهيفار والكبتون والنيلك
لقد تم استخدام رقائق ثماليار Mylar ونبيفار Havar والكبتون Kapton والنيلك Nickel كاهداف في حساب المدى لذريات تجربة (C, O) التي تعد بلاستيك Plastic باستثناء النيلك⁽⁷⁾. لقد تم حساب المدى لذريات تجربة (C, O) المارة خلال هذه الاهداف ضمن مدى الطاقة (0.5-1.6 MeV/u) من خلص تجربة⁽⁷⁾ (8) وتم مقارنة نتائجنا النظرية مع النتائج العملية⁽⁸⁾ والتي تم الحصول عليها من خلص تجربة⁽⁸⁾ (8) وباستخدام نتائج عملية لقدرة الاقلاق.
ويوضح الشكل (3) التطبيق تجربة⁽⁷⁾ نظرية مقارنة بالقياسات العملية⁽⁸⁾ ان هذا التطبيق ناتج من استخدام معاملات صحيحة⁽⁷⁾ لفعالية Porter⁽⁹⁾.

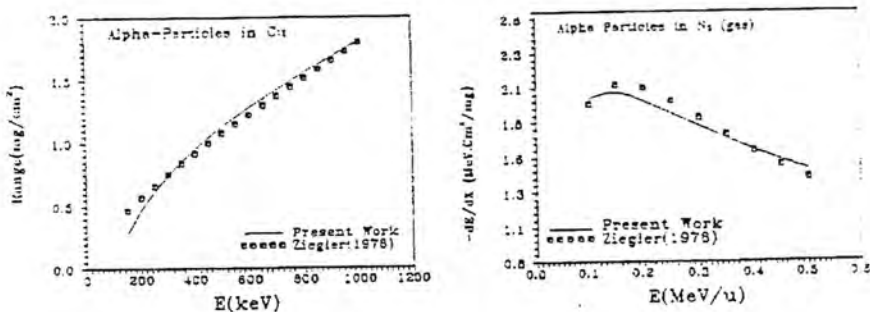
مختصرة

يعرف المدى بأنه معدن صون تضرر ذي يقطعه الجسيم المشحون او يمكن تعريفه بأنه سماك الخط المستقيم. ان الحساب النظري تجربة (R) لجسيم مشحون ذي طاقة ابتدائية في وسط معين عندما يصل الى حالة الكون يمكن حراوه من خلال المعادلة (1) حيث تستخدم هذه المعادلة عند الطاقات العالية، اما عند تطبيقات⁽⁷⁾ غير محددة فتكون هذه المعادلة غير دقيقة لحساب المدى الكلي بسبب كون قيمة اطلاع⁽⁷⁾ ساقطة غير محددة ولذلك تم ادخال تأثير التصادمات القريبة

والتصادمات البعيدة (Distant collisions) في حساب المدى (Close collisions) ضمن خلل المعادلة (7) الناتجة من ادخال تأثير هذه التصادمات تم حساب المدى ضمن حدود تحقق الواطئة اخذين بنظر الاعتبار تأثير الشحنة الفعالة Z^* لقد تم الحصول على توافق جيد بين النظرية مقارنة بالقياسات العملية ويمكن ملاحظة ذلك من خلال الاشكال (3,2,1). ان تذكر (3) يوضح استخدام رقائق الماييلار والهيفار والكترون والنikel كاهداف في حساب المدى لريونات الثقيلة وهذه الاهداف جلبت انتباه العديد من العلماء خلال العشر سنوات الاخيرة⁽⁹⁾ ومن حيث الاشكال نلاحظ التطابق الجيد لنتائجنا النظرية مقارنة بالقياسات العملية.

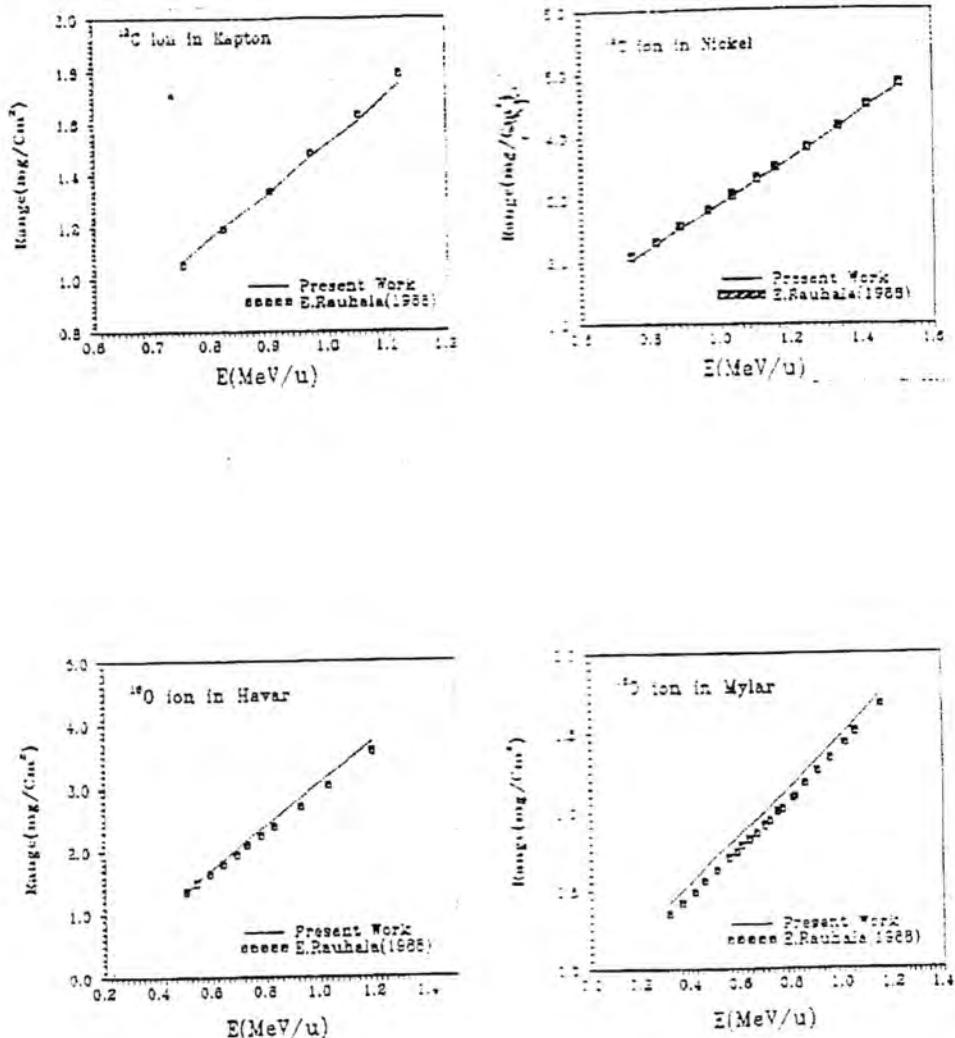


شكل (1) لدى لليونات الثقيلة (الازوتين O والنيون I) السائطة على هنت الكربون.

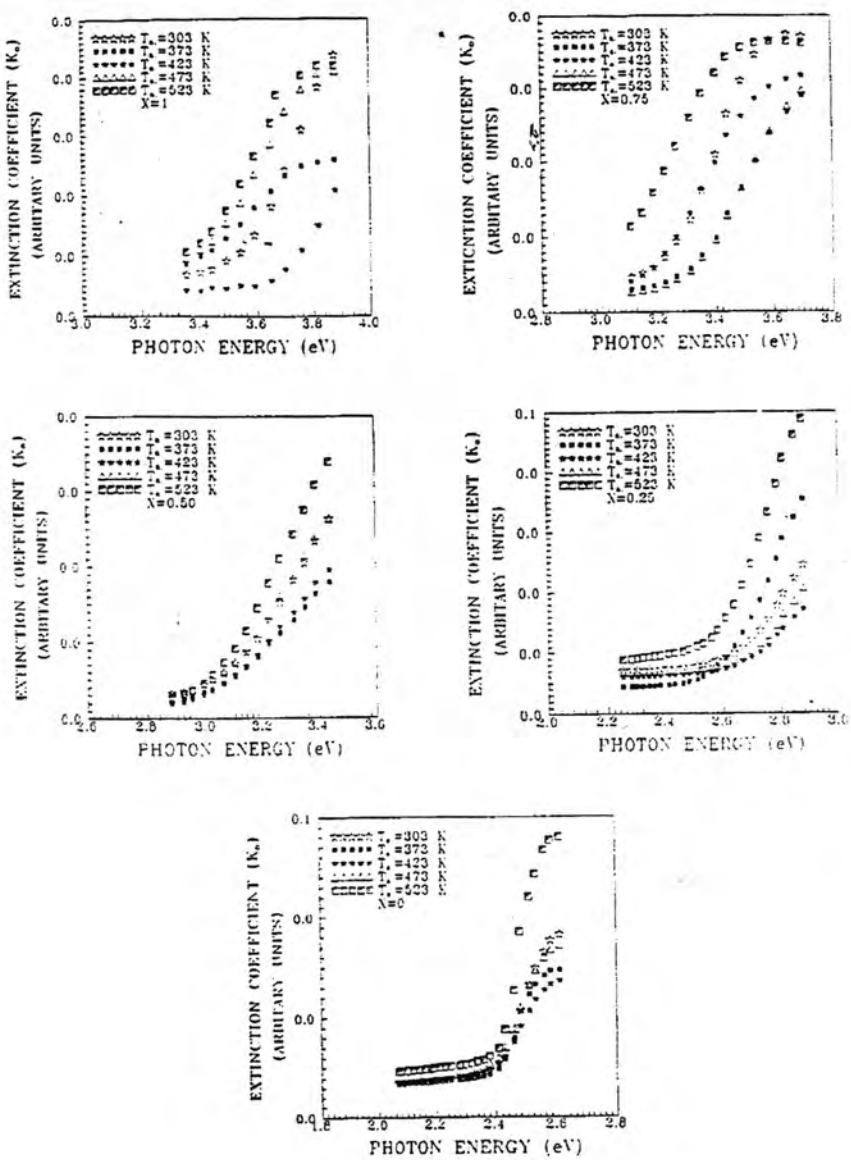


شكل (2) المدى لجسيمات الفا السائطة على الاهداف الكربونية والغازية (النحاس، النikel وجزر زئير).

احمد عزيز احمد وجماعته



شكل (3) المدى للجسيمات الثقيلة كربون (C) و فلورجين (Cl) الساقطة على احداثيات الشكل ونسبة ركبت ونسبة وليكن .



شكل (4) تغير معامل الخمود مع طاقة الفوتون لأغشية $Zn_xCd_{1-x}S$ قبل وبعد التلدين

المصادر

1. William. R.L., "Techniques for nuclear and particle physics", (1987).
2. Al-Banna, N.M., "Effect of effective charge (Z_1^*) on the range of α -particles heavy ions ($Z_1 > 4$) and fission fragments in different gases" M.Sc. Thesis. University of Al-Mustansiriyah (1996).
3. Al-Rubaic, A.A., "Increasing the range of stopping power of charged particles at energies ($1 < \text{MeV/u} \leq 0.1$)". M.Sc. Thesis, University of Al-Mustansiriyah (1999).
4. Paul. H. and Berger, M.J., "Atomic and Molecular Data (IAEA-TECDOC-799, Vienna,), 4,5 (1995).
5. Anthony, J.M. and Lanford W.A. "Stopping power and effective charge of heavy ions in solids", Phys. Rev.. Vo.25, 4, 1868-1878, (1982).
6. Ziegler, J.F., "Helium Stopping Powers and Ranges in All Elements (Pergamon, New York), (1978).
7. Porter, L.E., "Bethe-Bloch Stopping power parameters for Mylar. Kapton and Havar targets derived from measurements with proton. α -particles and carbon ion projectiles". Phy. Rev. Vo. 40, No. 12. 18530-1854, (1989).
8. Rauhala. E. and Raisanen, J., "Stopping powers and energy loss of 3-22 MeV C-ions in Havar. Nickel. Kapton and Mylar". Phy. Rev. B. 37. 9249, (1988).
9. Porter, L.E., "Effective charge parameterization for Li. B. N. O. Al. Si. P. S and Cl projectiles traversing Mylar targets", Nucl. Inst & Meth. B115. 181-183, (1996).
10. Sigmund. P., "Low speed limit of Bohr's stopping power formula", Phys. Rev. A, Vo. 54, 4, 3113, (1996).

فصل وتشخيص وتقدير المحتوى الكلى للاحماض الفينولية فى مخلفات

محصول الرز و الطماطة

جامعة البصرة / كلية العلوم / قسم علوم الحياة / عبد الخالق سعيد

قسم علوم الحياة / كلية العلوم / جامعة الموصل

ABSTRACT

There are many factors that affect the allelopathic potential of plants, or the content of the allelopathic compounds that released from different parts of the plants also the chemical nature of the allelopathic compounds released from the crops which showed allelopathic effect differs and it was found that most of the compounds are phenolic and water soluble. So this research is conducted to isolate, identify and estimate the total content of some phenolic acids in rice and tomato residues and the soils containing these residues. The results showed that rice residues containes (Ferulic, vanillic, syringic and p-hydroxy benzoic), where as tomato residues as well as the total content of phenolic acids is higher in rice residues as compared with the content of tomato residues, also showed an increase in the phenolic acid content in the extracts of soil containing rice redidues as compared with the extracts of the soil containing tomato resides.

الخلاصة

هناك العديد من العوامل تؤثر في الجهد الاليلوباتي للنباتات، او في كمية المركبات الاليلوباتية المتحررة من الاجزء النباتية المختلفة، كما وتبين الطبيعة الكيميائية للمركبات المتحررة من المحاصيل ذات التأثيرات الاليلوباتية وقد وجد ان اغلبها ذات طبيعة فينولية ولها قابلية الذوبان في الماء، وعلى هذا الاساس اجريت هذه الدراسة لفصل وتشخيص وتقدير المحتوى الكلى لبعض الاحماض الفينولية فى مخلفات محصولي الرز و الطماطة والترب الحاوية لتلك المخلفات. اظهرت النتائج احتواء مخلفات الرز على الاحماض (Hydroxybenzoic, Syringic, Vanillic, Ferulic) في حين وجد ان مخلفات الطماطة احتوت الاحماض

* بحث مسند من اطروحة الدكتوراه للإنسنة جنان عبد الخالق سعيد.

and the *Marinobacter* (Bacteroidetes) and *Thiotrichales* (Proteobacteria) families. The *Thiotrichales* family includes the *Thiotricha* genus, which is often found in sulfide-rich environments.

119 all

المواد وطرق انتاج العمل

ذكر من قبل (Chou and Youhg, 1975) ، تم ابتكار طريقة لاستخلاص المركبات الكيميائية من العينات الطبيعية، وذلك باستخدام جهاز Lyophilizer (جهاز تجمد التقطير) حيث يتم تجميد العينة في جهاز التجميد ثم تقطيرها في جهاز evaportater (جهاز التقطير) في درجة (-50°C)، ثم ازالة الماء باليود (iodine) ، مما يترك المركبات الكيميائية في العينة، ثم يتم حل المركبات الكيميائية في الائثانول (ethanol) 99% ، والذي استخدم في تشخيص المركبات وقد تمت خطوات الاستخلاص حسب ما

استخلاص الاحماض الفينولية من التربة

لغرض استخلاص الاحماس الفينولية من تربة الرز و الطماطة و التربة الحاوية على مخلفات كل من الرز و الطماطة المجففة والمضافة الى التربة بنسبة 2% والمحضنة لمدة (3) اسابيع، وتربة المقارنة، تم اخذ 100 غم من التربة (المجففة هوانيا) ومزجها مع 200 مل من الكحول الميثيلي في جهاز هزار لمدة ساعتين، ثم رشحت باستخدام قمع بخنر مزود بورق ترشيح نوع Whatman No.1، ثم تبخير الكحول الميثيلي باستخدام البخار الدوار، واذيبت المواد المحفوظة في (5) مل من الكحول الايثيلي بتركيز (95%)، وضبط الاس الهيدروجيني pH للمستخلصات بدرجة (2) باستخدام (INHCl) واستعملت المستخلصات الايثانولية بعد ذلك في تشخيص المركبات وتقدير محتواها الكلي في المستخلصات للمخلفات ومستخلصات الترب وذلك حسب الخطوات التي ذكرت من قبل المزوري (1996)⁽¹⁾.

تشخيص المركبات (الاحماض الفينولية)

استخدمت طريقة التحليل الكروموتوغرافي للصفائح الرقيقة (TLC) وحملت المستخلصات الايثانولية على الصفائح الزجاجية (20×20) سم مطلية بهلام السليكا بسمك (250)

ميكروت (Microt)  يوضع الصفائح في إناء الفصل الذي يحتوي على (100) ملليلتر دلائلت ايجي.

1. B.D.A. (90:25:4) Benzen: Dioxan
 2. B.M.A. (45:8:4) Benzen: Methanol
 3. C:A (90: to) Chloroform: A.A. (K)

تم بوضع العينة على قاع قدر وتحت الاشعة فوق البنفسجية قصيرة موجة (365 نانومتر)، وتحت اشعه تحت الماء والتي اعطت تألق (Fluorescence) او امتصاص (Absorption) لذرة الماء، حيث تم تذيب BDA هو الافضل لفصل تلك ترکیبات في الماء في حادثة كارثة هارتس، وتم استخدام نوعان من الكواشف تم رشها على السطح والماء تلقيهما تأثيراً معاً.

حيث تم رش الصفائح بهذا الكاشف تلقى

البيئة والتراث والتراث

تم تحليل تربة تلوك في تجفيفها والترب، اخذ (0.5) مل من المستخلص لابتخافن، ثم اخذ (0.5) مل من عينة عينيوم (20%) ومزجت جيداً وترك لتسقير لمدة (20) دقيقة على درجة 25°C، ثم يوضع في جهاز الطرد المركزي بسرعة 2000 دوره في الدقيقة، وتقسّم على قطعات في انبوبة اختبار، وقد استعمل الذي blank الذي يحتوي على الماء فقط، وتم قياس الكثافة الضوئية (Optical PYE Unicam SP-600 Spectro) على جزء غير الماء في التجارب، وتم حساب الكثافة الضوئية (Per cent transmittance) على طول موجي 610 nm (Chou. et.al., 1977) وباستخدام الحامض الكحولي (Fentol) كمذكرة تشير إلى قياسي (الملحق 1)، وتم التعبير عن محتوى

النتائج والمناقشة

من مقارنة نسب الانسياب (RF) والالوان الناتجة بعد استعمال الكواشف للمركبات التي تم فصلها مع المركبات القياسية (الاحماض الفينولية) كما موضح في الجدول (1)، امكن تشخيص بعض الاحماض الفينولية من مخلفات كل من الرز والطماطة وتبيّن احتواء مخلفات الرز على عدد من الاحماض الفينولية والتي شخصت بانها تشمل. P- (Ferulic, Vanillic, Syringic, P-hydroxy benzoic)Syringic في حين وجد ان مخلفات الطماطة تحتوت على الاحماض (Syringic hydrocy benzoic) Ferulic, Protocatechuic الجدول (2).

كما توضح النتائج المدونة في الجدول (3) اختلافاً في المحتوى الكلي للاحماض الفينولية في مخلفات محصولي الرز والطماطة والترب الحاوية على تلك المخلفات بنسب مختلفة ومحضنة لفترات المشار اليها. كما تبين ان المحتوى الكلي للاحماض الفينولية كان اعلى في مخلفات الرز مقارنة مع محتوى مخلفات الطماطة، وكذلك لوحظت زيادة في محتوى الاحماض الفينولية في مستخلصات التربة الحاوية على مخلفات الرز بنسبة 2% والمحضرنة لمدة 3 اسابيع مقارنة مع مخلفات الطماطة، واوضحت النتائج ان محتوى الاحماض الفينولية كان اقل في الترب الحاوية على مخلفات الرز المحضنة لمدة 8 اسابيع. بينما ظهرت زيادة في كمية الاحماض في ترب الحاوية على مخلفات الطماطة اقل عند نفس نسبة الاصافة، واحتوت تربة المقارنة على كميات قليلة جداً من تلك الاحماض. كما واظهرت البقع للمركبات المفصولة باستخدام S.U.V متصاصاً او تألفاً، وتنطبقاً مع الاحماض الفينولية.

وتوّكّد نتائج تغيير الالوان من تفاعل بعض المركبات المفصولة مع الكاشف DPNA. حيث اثبتت هذه المركبات على مجاميع هيدروكسيلية فينولية، وما يؤكد ان المركبات المفصولة ذات صبيعة فينولية هو تفاعليها مع عامل مخابي (Chelating agent FeCl₃) (Dawson. et al., 1986). وقد تم تشخيص هذه الاحماض في مخلفات كل من محصولي الرز والطماطة والترب الحاوية على تلك المخلفات، في حين لم تشخص تلك الاحماض من تربة المقارنة، وهذه النتائج تتفق مع ما وجده (Chou and Lin, 1976)⁽⁴⁾ باحتواء مخلفات الرز المتحللة في التربة على لاحماض الفينولية التالية (Vanillic, Ferulic, P-coumaric, P-hydroxy benzoic) كما شخصت الاحماض (Vanillic, Syringic, Ferulic, P-coumaric) في مخلفات الذرة (تصفراي (المزوري، 1996)). كما وجد ان ترب الرز تحتوي على الحامضين -O-

(Chou and Young 1975) hydroxyphenyl acetic, Syringic acid. و عند تقدير المحتوى الكلى لاحماض الفينولية من مخلفات تربة والطماطة والترب الحاوية او التي اضيفت الى تلك المخلفات بحسب مختلفة والمحضرنة لفترات المختلفة تبين ان محتوى الاحماض الفينولية في مخلفات الرز اعلى من مخلفات الطماطة وان المحتوى الفينولي في المخلفات المتحللة كان اعلى من مخلفات غير المتحللة، كما لوحظ ان محتوى الفينولي يزداد بزيادة نسبة الاضافة لمخلفات الرز، وقد يعزى الاختلاف في الجهد الايجابي للمخلفات النباتية لكل من الرز والطماطة ونسبة الى التربة والمحضرنة لفترات تمسارها الى اسباب عديدة تتضمن طبيعة المركبات النباتية وتركيزها وتحررها الى التربة واستقراريتها فيها اضافة الى التحولات البايو كيميائية في تربة بفعل الكائنات الدقيقة فيها (Chou, 1993, Rice, 1984).

نتيجة (1) المركبات الفينولية المنفردة من مخلفات الرز والتربة الحاوية على مخلفات الرز

اللون الناتجة من تفاعل الكراش مع الاحماض الفينولية	اللون الناتجة من تفاعل الكراش مع الاحماض	نسبة الاستجابة (RF)	المركبات (الاحماض الفينولية)		
كلوريد الحديديك FeCl ₃ 2%	DPNA	S.U.V.	CA 90:10	BDA 50:25:4	
بني مصفر	برتقالى	تألق	59.0	75.8	Ferulic acid
بني مصفر	برتقالى	تألق	57.3	76.2	Compound I
بني داكن	برتقالى	تألق	55.8	65.1	P-coumaric acid
بني محمر	اصفر فاقع	امتصاص	60.4	77.6	Vanilllic acid
بني محمر	اصفر فاقع	امتصاص	62.3	76.2	Compound 2
بني داكن	اصفر	امتصاص	48.5	64.2	P-hydroxybenzoic acid
بني داكن	اصفر	امتصاص	50.6	66.5	Compound 3
رصاصي	اصفر باهت	امتصاص	50.4	70.2	Syringic acid
رصاصي	اصفر باهت	امتصاص	52.0	72.5	Compound 4
بنفسجي محمر	برتقالى	تألق	62.2	78.5	Salicylic acid
ازرق غامق	اصفر	امتصاص	68.5	74.0	Protocatechuic acid
رصاصي	بني محمر	امتصاص	32.0	37.6	Caffeic acid

الجدول (2) المركبات الفينولية المفصولة من مخلفات الطماطة والتربة الحاوية على مخلفات

الطماطة

الالوان الناتجة من تفاعل الكواشف مع الاحماس الفينولية			نسبة الانسياب $100 \times (RF)$		المركبات (الاحماس الفينولية)
كلوريد الحديديك $FeCl_3 2\%$	DPNA	S.U.V.	CA 90:10	BDA 90:25:4	
بني مصفر	برتقالي	تألق	59.0	75.8	Ferulic acid
بني مصفر	برتقالي	تألق	57.3	76.2	Compound 1
برتقالي داكن	اصفر	تألق	55.8	65.1	P-coumaric
بني محمر	اصفر فاقع	امتصاص	60.4	77.6	Vanillic acid
بني داكن	اصفر غامق	امتصاص	48.5	64.2	P-hydroxybenzoic acid
رصاصي	اصفر باهت	امتصاص	50.4	70.2	Syringic acid
بنفسجي محمر	برتقالي	تألق	62.2	78.5	Salicylic acid
ازرق غامق	اصفر	امتصاص	68.5	74.0	Protocatechuic acid
رصاصي	بني محمر	امتصاص	32.0	37.0	Caffeic acid

المحوى الكلى للامراض الفيتوالية (منجم / غرام)	نخفت نسبة و تقارب
0.065	نخفت بخاري (الفقر) ٢٠%
0.063	نخفت بخاري (الفقر) ١٩%
0.046	نخفت بخاري للطماطم
0.075	نخفت رز (بنة) ٣٧% و فقرة أحذفين ٣%
0.052	نخفت رز (بنة) ٣٦% و فقرة أحذفين ٣%
0.032	نخفت طماطم ٣٢% و فقرة تحضر ٣% (بع)
0.029	نخفت طماطم ٣٠% و فقرة تحضر ٣% (بع)
0.088	نخفت رز (بنة) ٣٥% و فقرة أحذفين ٣%
0.035	نخفت طماطم ٣٤% و فقرة تحضر ٣% (بع)
0.025	نخوس (بنسبة ٣٠%) و فقرة أحذفين ٣%
0.021	نخافه (العنبر)

(F) (S) (V) $\vdash_{\text{L}} \neg B$) $\vdash_{\text{L}} P \rightarrow \neg B$

١) فصل و تبيين المكونات من نزف والطماده والترب باستخدام
TLC تقنية

المصادر

1. المزوري، حسن امين، دراسات في الجهد الاليلوباثي للذرة الصفراء. اطروحة دكتوراه، كلية التربية (ابن الهيثم / جامعة بغداد) بغداد، العراق، (1996).
2. Chou, C.H. Contributions to plant ecology. Vol. (1), (1971-1993) Allelopathy, pp. 685, (1993).
3. Chou, C.H. and Young, C.C. Phytotoxic substances intwelve subtropical grasses. J. Chem. Ecol., 1: 183-193, (1975).
4. Chou, C.H. and Lin, H.J. Autointoxication mechanism of *Oryz asativa*. I. Phytotoxic effects of decomposing rice residues in soil. J. Chem. Ecol., 2: 353-367, (1976).
5. Chou, C.H.. Lin, T.J. and Kao, C.I. Phytotoxins produced durring decomposition of rise stubbles in paddy soil and their effect on leachable nitrogen. Bot. Bull. Acad. Sin., 18: 45-60, (1977).
6. Dawson, R.M.C. Elliott. D.C., Elliott., W.H., and Jones, K.M. Data for biochemical research. 3rd ed. Oxford Science Publications. Oxford, England, (1986).
7. Guenzi, W.D. and McCalla. T.M. Phenolic acids in Oat, Wheat. Sorgum and Corn residues and their phytotoxicity. Argon. J., 58. 304-303, (1966).
8. Kirchner, G.J. Thin – Layer Chromatography. 2nd Eds. Techniques of Chemistry, Vol. XIV, by John and Sons. (1978).
9. Rice, E.L. Allelophy. Academic Press, New York. U.S.A. (1974).
10. Rice, E.L. Allelopathy. 2nd Edn. Academic Press. New York. U.S.A. (1984).
11. Rovira, A.D., and McDougall, B.M. Microbiological and biochemical aspects of the rhizosphere, pp. 417-463. In: A.D. McLaren and G.F. Petersen (eds.) Soil Biochemstry. Marcel Dekker, New York. N.Y.. U.S.A. (1967).

تحويلات في الـ Linear-Quasi - Log لبعض التطبيقات الاحصائية

سعاد خلف سلمان

مدرس مساعد - كلية العلوم - قسم الرياضيات

الخلاصة

في هذا البحث محاولة لتطوير وتحوير جانب احصائي نظري. اخضع هذا الجانب من ناحية الفرضية والتحوير للتطبيق العملي لمعالجة مشكلة محددة في مجال التعليم العالي كمدخل اولي لتطبيقات واسعة في مجال التربية. جاء التحوير المقترن لنموذج (Quasi-Log-Linear) في اطار البحث كجزء متراابط مع اساليب احصائية اخرى مبرمجة للوصول الى النموذج التطبيقي المطلوب.

المقدمة

من الامور المهمة في العلوم الصرفه، التطوير والابتكار في الجوانب النظرية التي تستند عليها تلك العلوم، لما فيها من توسيع في التطبيق في مجالات حيوية مختلفة. ان علم الاحصاء احد تلك العلوم الذي تتعدد فيه الجوانب النظرية القابلة للتحوير والتطوير. والبحث الحالي دراسة لتطوير جانب نظري يتمثل في نموذج (Quasi-Log-Linear). هذا النموذج الذي درسه العديد من الباحثين والمتخصصين، مازال في مرحلة التطوير، والذي يمكن الاستفادة منه في جوانب تطبيقية متعددة.

لمعرفة هذا النموذج والعمل على تطويره كي يكون جانباً تطبيقياً حيوياً للاستفادة منه عملياً يتطلب الماما بالعديد من الجوانب الاحصائية مثل جداول التوافق غير الكاملة (Incomplete Contingency Tables)، تحليل التباين (Analysis of variance)، التوزيعات متعددة المتغيرات (Multivariate Dis).

تأتي العديد من البيانات البيولوجية والاجتماعية والاقتصادية والتربوية بشكل جداول توافق لكميات مقطعة. وتكون على نوعين، جداول توافق ثنائية الاتجاه (Two-way) ومتعددة الاتجاه (Multi-way). في بعض الاحيان تكون جداول التوافق غير كاملة (Incomplete)

ومحتوية على خلايا خالية، أي لا تكون هناك امكانية لوجود قيمة مشاهدة وتسمى الخلية من هذا النوع بخالية صفرية التكوين (Structural-zero) أي تحتوي قيمة الصفر مسبقاً. مما تسبب بعض تحذيرات امام الباحثين عند تحليل هذه الجداول. وهذا ما يؤدي الى نتائج غامضة وغير صحيحة. وعنه قوله ان ايجاد تحويل مناسب لتحليل هذه الجداول يساعد في تقليل المصاعب. وان نوع التحويل المطلوب يعتمد الفرضية الموضوعة للنموذج المستخدم والذي يعتمد على نوع البيانات المستخدمة وطبيعة المعالجة في التحليل لتحديد النموذج الأفضل.

جاء هذا البحث كمحاولة لتحويل طريقة ايجاد تقديرات الامكان الاعظم (Maximum Likelihood Estimators) المتوقعة تحت فرضية عدم وجود تفاعل ثلاثي لبيانات على شكل جدول ثالثي الاتجاه بطريقة توزيع الصفوف وتحوير التصنيفات ثم توزيع التصنيفات وتحوير الاعدمة لتوزيع الاعدمة وتحوير الصفوف حتى نصل الى الدقة المطلوبة.

الجانب النظري

من اهداف في هذا الجانب اعطاء فكرة عامة عن التحويلات التي اقترحها بعض الباحثين والاسئل التي وضعوها من ناحية الفرضيات والمعالجة. ومن ثم وضع التحويل المقترن ومقرنته وربطه بالوسائل الاخرى للتطبيق.

الخلفية النظرية

نشر كودمان (Goodman, 1968)⁽¹⁾ نموذج (Quasi-Log-Linear) للجدول الثلاثي تحت فرضية عدم وجود تفاعل ثلاثي $\lambda_{123}=0$ ، حيث وجده ان تقديرات الاحتمالات المتوقعة تحدىت f_{ijk} في هذه الجداول يمكن ان تكون بالصيغة التالية :

$$\hat{f}_{ijk} = \begin{cases} \alpha_{ij}^{\wedge} & \beta_j^{\wedge} & \lambda_{ik}^{\wedge} \\ & 0 & \end{cases} \quad \begin{array}{l} \text{للخلايا الموجودة} \\ \text{للخلايا المفقودة} \end{array}$$

¹ Goodman, L.A., (1968), the Analysis of cross – classified data: Independence, Quasi-Independence and interaction in contingency Tables". J.A.S.A., 63, pp. 1091-1131.

حيث $\hat{\alpha}_{ij}$ دالة بدلالة المتغير الاول والثاني.

$\hat{\beta}_{jk}$ دالة بدلالة المتغير الثاني والثالث.

$\hat{\lambda}_{ik}$ دالة بدلالة المتغير الاول والثالث

وان

$$\sum_i \hat{\lambda}_{ji} = 1, \quad \sum_k \hat{\beta}_{jk} = 1, \quad \sum_j \hat{\alpha}_{ij} = 1$$

أي ان تقديرات الاحتمالات المتوقعة للخلايا تعتمد على التفاعلات الثنائية لمتغيرات الجدول.

ذلك نوش كل من (Deming و Fienberg و Bishop)^(2) اسلوب Holland التكراري لنموذج Stephan (Quasi-Log-Linear) تحت فرضية عدم وجود تفاعل ثلاثي. حيث يفترض هنا قيما وهمية مقابل قيم الجدول سواء كانت مفقودة او موجودة. فتعطى القيمة واحد لقيمة الموجودة وقيمة صفر لقيمة المفقودة. فتكون مصفوفة بحسب ابعاد الجدول يطلق عليها المصفوفة الاولية (Initial Matrix) تستخدم في حساب القيم الموجودة والغاء القيم المفقودة. وكما في الصيغة التالية :

$$\delta_{ijk} = \begin{cases} 1 & \text{للخلايا الموجودة} \\ 0 & \text{للخلايا المفقودة} \end{cases}$$

وعليه يكون التقدير على خطوات كالاتي:

$$M_{ijk}^{(0)} = \delta_{ijk} \quad 1 - \text{قيم البداء}$$

²Bishop. Y.mm., Fien berg. S.E. and Holland, p.w. (1978).

"Discrete multivariate Analysis". The MIT press, cambridge.

کل دو $\sum_{i=1}^n v_i$ کو $v \geq 1$ پکون :-

$$\text{نسبة الالواى} = \frac{\sum_{i=1}^n X_i}{\sum_{i=1}^n Y_i}$$

$$= \frac{M - \bar{M}}{\sigma} \quad \text{الثانية}$$

تم المثلث في المخطوطة.

من تغيرات تجربة عدن، من تغيرات تجربة تعييض التكراري
التي يعتمد عليه النموذج

³Fienberg, S.E., (1970). The analysis of cross-classified data: independence and beyond. *Biometrics*, 28, pp. 115-132.

المقترح. لهذا الاسلوب مميزات تجعل استخدامه مفضلاً على طرق التقدير الأخرى⁽⁴⁾ من هذه المميزات :

١. ان النتائج تقترب دانسا من مجموعه وحيدة (Uniqueset) من مقدرات الامكان الاعظم.
٢. قاعدة التوقف ربما تستخدم لخسنان درجة مطلوبة من الدقة.
٣. أي مجموعه من قيم او اداء يمكن احتسابها او ادراجه.
٤. اذا كانت الطريقة المباشرة ممكنة فان استخدام طريقة التعيين التكراري يتيح تعطيل نفس النتائج في نهاية الدورة الاولى.

التحوير المقترن

نفترض تحوير لنموذج Quasi-Log-Linear يعتمد على الفرق بين المجاميع الاحادية Marginal Total) للقيم المتوقعة عند كل خطوة والمجاميع الاحادية للقيم المشاهدة المماثلة لها في الجدول الاصلي للوصول على مطابقة تامة لهذه المجاميع كدالة مطلوبة في هذا التحوير. في حالة الجدول غير الكامل ثلاثي الابعاد rxcxg فالتحوير المقترن تحت فرضية عدم وجود تفاعل ثلاثي الابعاد = 0₁₂₃ U يعتمد كذلك على اسلوب Deming-Stephan التكراري لهذا النوع من الجداول تحت هذه الفرضية. التحوير هنا سيكون مرة للصفوف،مرة للاعمدة ومرة للتصنيفات وبالشكل الآتي :

١- تكوين g من المصفوفات الوهمية (Pattern Matrix)، أي بنفس ابعاد الجدول المراد تحليله وتكون عناصر هذه المصفوفات وفق الصيغة التالية:

$$d_{ijk} = \begin{cases} 1 & \text{للخلايا } (i,j,k) \\ 0 & \text{عدا ذلك} \end{cases}$$

حيث تمثل هذه العناصر القيم الاولية لخلايا الجدول.

⁴ Althan, M.E. (1975), "Quansi-independent triangular contingency tables" Biometrics, 31, pp. 233-238.

الآن، نقوم بـالنحوين (تحريك) كل المجموعات في الجدول الأصلي.

تحريك المجموعات (Adjustment of Groups) = 1 - 0.5 = 0.5

$$E_{ijk} = E_{ij} \cdot C_{jk} \cdot d_{ik} \cdot d_{jk} \cdot \sum_b d_{ib} \cdot C_{jb} \cdot p_{ib}$$

$$= E_{ij} \cdot C_{jk} \cdot d_{ik} \cdot d_{jk} \cdot \sum_b d_{ib} \cdot C_{jb} \cdot p_{ib}$$

$$E_{ijk} = \sum_b E_{ijk} \cdot p_{ib} = E_{ij} \cdot C_{jk} \cdot d_{ik} \cdot d_{jk} \cdot \sum_b d_{ib} \cdot C_{jb} \cdot p_{ib}$$

في هذه المرحلة سنكون قد أعدد المجموعات (أي المجموعات المترافق) بما يتواءل مع المجموعات المترافق في الجدول الأصلي. فيما ينبع مثل من مجاميع المنسددة لثلاث تضييف ومجاميع التضييفات غير مطابقة لمجاميعها المشاهدة المماثلة في الجدول الأصلي :

ب- تعديل التصنيفات (Layers Adjustment)

$$g_{1(ij)} = \sum_k E_{ijk}$$

$$\frac{E_{ijk}}{E_{ijk} - E_{ijk} \cdot E_{ij}} = \frac{E_{ijk}}{E_{ijk} - E_{ijk} \cdot r_{ik} \cdot d_{ik}} + \sum_b d_{ib} \cdot r_{ib}$$

$$g = 1.2, \dots, g_B \quad \text{، } B = \text{ عدد التصنيفات}$$

في هذه المرحلة ستكون مجاميع التصنيفات $\sum g_{ij}$ لكل صف وعمود مطابقة للمجاميع المشاهدة في الجدول الأصلي. فيما تكون مجاميع الاعمدة في كل تضييف ومجاميع في كل تضييف، غير مطابقة لمجاميعها في الجدول الأصلي.

جـ- تعديل الاعمدة (CoLumns Adjustment)

$$C_{1(jk)} = \sum_i E_{ijk}$$

$$C_{2(jk)} = C_{1(jk)} - C_{jk}$$

$$E_{ijk} = E_{ijk} - C_{2(jk)} g_{ij} d_{ijk} | \sum_e d_{ejk} g_{ej}$$

n : عدد الصفوف ، e=1.2.....,n

هنا ستكون مجاميع الاعمدة لكل تصنيف مطابقة للمجاميع المشاهدة في الجدول الاصلي. فيما تكون مجاميع الصفوف ومجاميع التصنيفات غير مطابقة لمجاميعها في الجدول الاصلي.

دـ- التحوير في الصفوف (Rows Adjustment)

$$r_{1(ik)} = \sum_j E_{ijk}$$

$$r_{2(ik)} = r_{1(ik)} - r_{ik}$$

$$E_{ijk} = E_{ijk} - r_{2(ik)} C_{jk} d_{ijk} | \sum_l d_{il} C_{lk}$$

m : عدد الاعمدة ، i=1.2.....,m

في هذه الخطوة ستكون مجاميع الصفوف مطابقة للمجاميع المشاهدة.

وبنهاية هذه الخطوة تكون الدورة الاولى قد انتهت. اما الدورة الثانية فتبدأ من الخطوة (ب) . وتكون القيمة الاولية لهذه الدورة هي القيم المتوقعة في الخطوة (د)، حيث ان القيم احالية ويتم استبدال كل قيمة سابقة بالقيمة اللاحقة مع بعض التحوير وبنكرار الخطوات من بـ-د لعدد من المرات نحصل على مطابقة تامة لمجاميع الصفوف لكل تصنيف ومجاميع الاعمدة ومجاميع التصنيفات، او الوصول الى دقة مطلوبة.

الجانب التطبيقي

للغرض الاستفادة من النموذج المقترن في الجانب النظري، فقد استخدم ذلك النموذج بعد ربطه بعدد من الاجراءات الاحصائية للوصول الى تطبيق محدد في مجال التربية فقد استخدمنا بيانات تمثل خطة القبول في الجامعات العراقية للعام الدراسي 92-91 مفرغة بجدول ذو ثلاثة ابعاد غير كامل حسب الجامعات والتخصصات ولفرعي الدراسة الاعدادية. ملحق رقم (1). من خلال هذه البيانات يمكن الوصول الى توزيع امثل لاختيارات الطلبة للاختصاصات والجامعات المذكورة. تتلخص الاجراءات الواجب اتخاذها بالاتي.

أ- لننموذج *Quasi-Log-Linear* تحت فرضية $H_0: U_{123} = 0$ أي استقلالية المتغيرات الثلاثة

$$H_0: U_{123} = 0$$

سوية فان فرضية عدم ستكون:

وان النموذج سيكون بالشكل

$$\log m_{ijk} = u + u_{1(i)} + u_{2(j)} + u_{3(k)} + u_{12(ij)} + u_{23(jk)} + u_{13(ik)}$$

for all $(i,j,k) \in S$

$$i : \text{فرع الدراسة} \quad j : \text{عدد الجامعات} \quad k : \text{عدد التخصصات}$$

S : مجموعة الخلايا التي تحتوي على قيم m_{ijk} : تقدير القيمة المتوقعة للخلية (i,j,k) . واعتمادا على جدول البيانات والمصفوفة الوهمية يتم تنفيذ التحويلات المذكورة في الفقرة السابقة (2-1) ولعدد من المرات للوصول الى القيمة المتوقعة لكل خلية وبالدقة المطلوبة. لهذا الغرض اعد البرنامج في الملحق رقم (2). وعند اجراء اختبار χ^2 لحسن المطابقة توصلنا الى قبول الفرضية H_0 أي ان الفرضية اعلاه تلائم البيانات قيد الدراسة.

ب- حول اقيم المتوقعة الى احتمالات مشتركة Joint probability :

$$P_{ijk} = E_{ijk} | X_{.k.} \quad \text{where } X_{.k.} = \sum_{i-j} X_{ijk}$$

$$0 \leq P_{ijk} \leq 1$$

و تكون خصائص القيم المتوقعة

$$\sum_{i,j,k} P_{ijk} = 1$$

ج- بعد الحصول على توزيع القيم النظرية المتوقعة للجدول نضع هذه القيم موضع الاختبار العشوائي. وتحوير الجدول بعد استبعاد القيمة المختارة، واختيار ثاني وثالث.. الى العدد المقرر من الاختبارات.

وتنخلص العمليات بالاتي

1. اختيار رقم عشوائي من جداول الارقام العشوائية وليكن T ، هذه الارقام هي ما تسمى بـ $T \sim U(0,1)$ ماخوذة من التوزيع المنتظم (Uniform Pseudo Random Real) ، Dist)

2. مقارنة T مع الاحتمالات المشتركة في الجدول بشكل افقي او عمودي ويتم اختيار الخلية في حالة $T \geq \sum_{i,j} P_{ijk}$ وتكون تلك الخلية هي الاختيار الاول حسب موقعها في الجدول ضمن

جامعة وتخصص لفرع دراسي معين.

3. استبدال قيمة الخلية المختارة في (2) بصفر (0-000) لمنع تكرار الخلية. ومن ثم تحويل المصفوفة كي تعيد توازنها وتصبح عملية الاختيار مكافئة لاختيار الاول وبنفس الشروط، هذا التحويل يتم بضرب الاحتمالات التي تقع في نفس الصف والاحتمالات التي تقع في نفس العمود للخلية المستبعدة بثابت ليكون مجموع الاحتمالات المتوقعة مساوياً للواحد. هذا الثابت هو :

$$C_0 = \frac{P_{ik} + P_{jk} - P_{ijk}}{P_{ik} + P_{jk} - 2P_{ijk}}$$

P_{ik} : مجموع الصف i للتصنيف k . P_{jk} : مجموع العمود j للتصنيف k .

4- يتم اختيار خلية ثانية كاختيار ثاني بنفس الاسلوب المتبوع من 1 الى 3. كذلك اختيار ثالث ورابع... الى الحد المقرر من الاختبارات. فإذا ما افترضنا اننا بصدق تحديد عدة اختبارات لعدد من الطلبة بهذا الاسلوب فان البرنامج ملحق رقم (3) سينفذ الاجراءات من 1-4. والنتائج التالية

⁵ يفترض ان المطلوب هو ايجاد توقعات احصائية نظرية لتوزيع اختبارات الطلبة على ضوء عدد المقاعد المتوفرة لاختصاصات، دون الاخذ بالمؤثرات الاجتماعية والاقتصادية وبعض الظروف الشاذة.

ستكون التوزيع الامثل لاختيارات الطلبة. اذا ما ترجمت الخلايا بارقام مزدوجة تمثل ارقام الصفوف والاعمدة كاحداثيات داخل الجدول للجامعات والتخصصات وحسب فرع الدراسة الاعدادية.

جدول تحديد الاختيارات لعدد من الطلاب

رقم الطالب	فرع التخرج	الاختيارات													
		1	0	1	2	2	4	4	2	3	3	0	0	2	1
1	1	1	0	1	2	2	4	4	2	3	3	0	0	2	1
	2	2	4	4	0	5	4	4	3	4	2	4	5	5	2
2	1	5	4	4	4	3	1	4	1	2	2	4	2	5	2
	2	5	2	4	1	5	0	4	0	4	4	4	3	4	2
3	1	0	0	2	3	3	1	4	1	0	3	2	2	4	0
	2	4	1	4	0	5	2	5	0	4	2	4	4	4	5
4	1	4	0	2	2	4	4	0	1	2	4	2	3	5	4
	2	6	0	4	1	5	1	5	3	4	0	5	0	5	4
5	1	2	2	4	2	4	4	4	0	2	1	1	1	1	0
	2	5	1	4	2	4	0	4	1	5	2	4	4	5	4
6	1	1	0	0	0	2	0	4	0	2	3	4	1	4	4
	2	4	2	5	1	4	3	4	1	4	0	5	2	4	4
7	1	4	4	1	1	2	0	4	3	4	1	5	3	1	0
	2	4	5	4	2	5	2	4	3	4	4	5	0	4	0
8	1	1	0	6	0	4	0	0	2	0	0	3	0	5	0
	2	5	1	4	4	4	1	4	0	5	2	4	2	4	3
9	1	1	2	4	4	5	0	2	0	1	1	2	4	0	3
	2	5	0	4	2	4	0	4	5	4	4	4	1	4	3
10	1	4	1	1	1	4	2	2	4	4	0	0	0	0	1
	2	4	1	5	1	4	3	4	4	4	0	4	2	5	2
11	1	0	2	4	2	2	2	2	4	4	0	0	4	6	0
	2	4	4	4	1	4	0	4	2	4	5	5	0	4	3
12	1	2	1	2	0	1	0	6	0	4	0	0	0	0	1
	2	4	0	5	0	5	3	4	1	4	3	4	2	5	2
13	1	6	0	0	4	0	0	0	1	0	2	2	2	6	5
	2	5	2	5	4	4	4	5	0	6	5	4	0	4	2
14	1	1	1	4	1	0	0	2	1	0	1	4	0	2	5
	2	4	5	4	0	4	2	4	3	4	4	4	1	5	1
15	1	4	1	3	4	3	1	5	1	2	1	2	4	4	4
	2	4	0	4	1	4	4	4	3	4	2	5	2	5	0

* ترتيب التخصصات (6-0) لسبعة تخصصات

وترتيب الجامعات (0-95) لست جامعات وترتيب فرع التخرج (1-2).

النتائج والتوصيات

- 1- من النتائج المتواخة من البحث عموماً، استخدام الوسائل الاحصائية بشكل مترابط لخدمة هدف محدد من التطبيق. ومما هو واضح في سياق البحث فقد تم التوصل الى وضع التحويل المفترض في منظومة من الاجراءات الاحصائية اكملت بعضها البعض لتصبح هذه المنظومة ذات معنى كامل في التحليل الاحصائي والتطبيق عند ايجاد البيانات المناسبة لذلك.
- 2- بنى انطرب المفترض في هذا البحث كحالات عامة تستوعب كل الحالات الخاصة اعتقاداً على صريقة التكرار والاستفادة من الفروق للوصول الى الدقة المطلوبة.
- 3- ان ايجاد تحويل للجدائل الغير كاملة يقود الى ايجاد تحويلات مشابهة لجدائل ذات ابعاد اخرى وبيانات تحمل صفة الخصوصية في طبيعتها.
- من كل ما تقدم نوصي بما يلي :
1. الاستناد من التحويلات المفترضة تحت فرضيات معينة لايجاد تحويلات اخرى لبيانات ذات خصائص اخرى من قبل الباحثين.
 2. اعتقاد الطريقة المفترضة في متن البحث في بحوث لاحقة من اجل ايجاد ما هو افضل منها كلية عامة او بزيادة متغيرات اخرى.

**ملحق رقم (1) توزيع الطلبة المنتقلين من التعليم الثانوي حسب فرع الدراسة الاعدادية
والتخصص لعدد من الجامعات لعام *1992/91**

فرع الدراسة	الجامعات التخصصات	بغداد	الموصل	البصرة	صلاح الدين	المستنصرية	بابل	مجموع Σr_{ik}
العلمي	طبية	721	297	164	93	169	---	1444
	زراعية	816	630	332	---	---	---	1778
	هندسية	671	476	309	237	294	141	2128
	صرف	332	569	211	216	325	237	1890
	انسانية	1050	456	327	310	350	9	2502
	ادارية	215	102	137	79	176	---	709
	فنون	307	---	---	---	---	74	381

**ملحق رقم (1) توزيع الطلبة المنتقلين من التعليم الثانوي حسب فرع الدراسة الاعدادية
والتخصص لعدد من الجامعات لعام 1992/91 * (تكميلة)**

فرع الدراسة	الجامعات التخصصات	بغداد	الموصل	البصرة	صلاح الدين	المستنصرية	بابل	الجموع T _j
	المجموع C_{jk}	4112	2530	1480	935	1314	461	10832
الأدبي	طبية	
	زراعية	
	هندسية	
	صرف	
	انسانية	1412	1082	837	609	831	115	4886
	ادارية	980	340	529	189	483	...	2521
	فنون	152	54	210
	C_{jk}	2544	1422	1366	798	1314	169	7613

* نحترم : شعبة الاحصاء / وزارة التعليم العالي والبحث العلمي.

ملحق رقم (2)

```

0   REM****PROGRAM FOR SUGGESTED MODIFICATION UNDER U123=0
5   HYPOTHESIS****
10  OPEN data "FOR OUTPUT AS#1
11  R=7 : C=5 : G=2
20  DIM IM (R, C, G), EL (R, C,G), RW(R,G), CL(C,G), GL (R,C), TR R,G), TG (R,C), TC(C,G)
30  DIM RI (R,G), R2 (R,G), C1 (C.G), C2 (C, G), GI (R,C), G2 (R,C), NW(R,C,G)
40  REM **** READ THE PATTERN MATRIX *****
50  FOR I=1 TO R: FOR K=1 TO G: FOR J=1 TO C
60  READ IM (I, J, K)
70  NEXT J : NEXT K : NEXT I
80  REM**** READ SUM OF ROW *****
90  FOR K=1 TO G: FOR I=1 TO R
100 READ RW (I,K)
110 NEXT I: NEXT K
120 REM ****READ SUM OF COLUMN *****
130 FOR K=1 TO G: FOR J=1 TO C
140 READ CL (J,K)
150 NEXT J : NEXT K
160 REM ****READ SUM OF LAYER *****
170 FOR I=1 TO R: FOR J=1 TO C
180 READ GL (I,J)
190 NEXT J : NEXT I
200 REM****INITIAL ROWS ALLOCATION*****

```

```

220 FOR I=1 TO R :FOR K=1 TO G
230 S1 = 0
240 FOR J=1 TO C
250 S1=S1+IM (I,J,K) * CL (J,K)*GL(I,J)
260 NEXT J
270 FOR J=1 TO C
275 IF S1=0 THEN 295
280 EL (I,J,K)=RW (I,K)*CL (J,K)*GL (I,J)* IM (I,J,K)
290 EL (I,J,K)=EL (I,J,K)/ S1
293 GOTO 300
295 EL (I,J,K) = 0
300 NEXT J
305 NEXT K :NEXT I
310 X=0
315 REM*****LAYERS ADJUSTMENT*****
320 FOR I=1 TO R: FOR J=1 TO C
330 S2=0
340 FOR K=1 TO G
350 S2=S2+EL (I, J, K)
360 NEXT K
370 G1 (I, J) = S2
380 NEXT J :NEXT I
390 FOR I=1 TO R:FOR J=1 TO C
400 G2 (I,J)=G1 (I, J)-GL (I,J)
410 NEXT J :NEXT I
420 FOR I=1 TO R:FOR J=1 TO C
430 S3=0
440 FOR K=1 TO G
450 S3=S3+IM (I,J,K)*RW (I,K)
460 NEXT K
470 FOR K=1 TO G
475 IF S3=0 THEN 485
480 EL (I,J,K)=EL (I,J,K)-(G2(I,J)*RW (I,K)* IM (I,J,K) / S3)
483 GOTO 490
485 EL (I,J,K) = 0
490 NEXT K,J,I
500 REM***** COLUMNS ADJUSTMENT*****
510 FOR K=1 TO G:FOR J=1 TO C
520 S4=0
530 FOR I=1 TO R
540 S4=S4+EL (I,J,K)
550 NEXT I
560 C1 (J,K)=S4
570 NEXT J :NEXT K
580 FOR K=1 TO G: FOR J=1 TO C
590 C2 (J,K) = C1 (J,K)- CL (J,K)
600 NEXT J :NEXT K
610 FOR K=1 TO G:FOR J=1 TO C
620 S5=0
630 FOR I=1 TO R
640 S5=S5+IM (I,J,K)* GL (I,J)
650 NEXT I

```

سعاد خلف سلمان

```

660 FOR I=1 TO R
665 IF S5=0 THEN 675
670 EL (I,J,K) = EL (IMJMK) - (C2(J,K)* GL (I,J)* IM(I,J,K)/ S5)
673 GOTO 680
675 EL (I,J,K) = 0
680 NEXT I :NEXT J :NEXT K
690 REM*****ROWS ADJUSTMENT*****
700 FOR I=1 TO R:FOR K=1 TO G
710 S6=0
720 FOR J=1 TO C
730 S6=S6+EL (IMJMK)
740 NEXT J
750 R1 (I,K) = S6
760 NEXT K :NEXT I
770 FOR I=1 TO R: FOR K=1 TO G
780 R2 (I,K) = R1 (I,K)-RW (I,K)
790 NEXT K :NEXT I
800 FOR I=1 TO R: FOR K=1 TO G
810 S7=0
820 FOR J=1 TO C
830 S7=S7+IM (I,J,K)* CL(J,K)
840 NEXT J
850 FOR J=1 TO C
855 IF S7=0 THEN 865
860 EL (I,J,K) = EL (I,J,K) - (R2(I,K)* CL (J,K)* IM (I,J,K)/S7)
863 GOTO 870
865 EL (I,J,K)=0
870 NEXT j: NEXT K:NEXT I
875 X=X+1
880 FOR I=1 TO R: FOR J=1 TO C
890 TG (I,J)=0
900 FOR K=1 TO G
910 TG (I,J)=TG (I,J) +EL (I,J,K)
920 NEXT K
930 NEXT J:NEXT I
940 FOR K=1 TO G:FOR J=1 TO C
950 TC (J,K)=0
960 FOR I=1 TO R
970 TC (J,K)= TC (J,K) + EL (I,J,K)
980 NEXT I :NEXT J :NEXT K
1000 FOR I=1 TO R: FOR J=1 TO C
1010 AG=TG (I,J) : BG=GL (I,J)
1020 IF AG=BG GOTO 1050
1030 NEXT J :NEXT I
1040 GOTO 320
1050 FOR K=1 TO G: FOR J=1 TO C
1060 AC=TC (J,K) : BC=CL (J,K)
1070 IF AC=BC GOTO 1100
1080 NEXT J :NEXT K
1090 GOTO 320
1100 FOR K=1 TO G:FOR I=1 TO R
1110 FOR J=1 TO C

```

```

1130 LPRINT USING"####.#"; EL (I,J,K);
1135 PRINT#I, EL (I,J,K);
1140 NEXT J :LPRINT :LPRINT:NEXT I :LPRINT:LPRINT :LPRINT
1150 NEXT K
1152 FOR K=1 TO G
1153 READ T(K)
1154 NEXT K
1155 LPRINT "values after" X "cycles of itration" :LPRINT:LPRINT
1156 FOR K=1 TO G :FOR I=1 TO R :FOR J=1 TO C
1157 WN (I,J,K) = EL (I,J,K) /T (K)
1158 LPRINT USING "####.####"; WN (I,J,K);
1159 NEXT J: LPRINT:LPRINT:NEXT I:LPRINT:LPRINT:LPRINT:LPRINT:NEXT K
1160 DATA 1.1.1.1.1.0.0.0.0.0.0.0.1,1.1.0.0.0.0.0.0.0.0.0.1.1.1.1
1165 data 1.0.0.0.0.0.0.1.1.1.1.1.0.0.0.0.0.0.1.1.1.1.1.1.1
1167 data 1.1.1.1.1.1.1.0.1.1.1.1.1.0.1.0.0.0.1.1.1.1.1.1.1
1170 DATA 1444, 1778, 2128, 1890, 2502, 709, 381, 0.0.0.0.4886, 2521, 206
1180 DATA 4112,2530,1480,935,1314,4612544,1422,1366,798,1314,169
1190 DATA 721.297,164.93,169,0.816,630,332,0.0.0.671,476,309,237,294
1195 data 332,569,211,216,325,237,2462,1538,1164,919,1181,124,1195
1197 data 442,666,268,659,0.459,0,0,0,128
1199 DATA 10832,7613

```

3 ملحق رقم

```

0 REM****PROGRAM FOR DISTRIBUTION THE STUDENTS CHOICES****
1 G=2 :R=7 :C=6
7 OPEN "data 1" FOR INPUT AS#1
10 FOR K=1 TO G :FOR I=1 TO R :FOR J=1 TO C
20 INPUT#I, EL(I,J,K) :PRINT EL (I,J,K)
25 NW (I,J,K)= EL (I,J,K)
30 NEXT J :NEXT I :NEXT K
35 CLOSE
40 REM***** SAMPLE OF STUDENT*****
50 FOR NO=10 TO 24: LPRINT SPC(3): NO: SPC(4):
60 FOR K=1 TO G :L=0
62 IF K>1 THEN LPRINT SPC(1);
65 LPRINT K; SPC(3):
68 REM*****NUMBER OF CHOICES *****
70 FOR CH=1 TO 7
75 REM*****RANDOM PROBABILITY SELECTION*****
80 T=RND (CH)
90 S1=0
100 FOR J=1 TO C :FOR I=1 TO R
110 S1=S1+EL (I,J,K)
120 IF S1 >=T THEN 140
130 NEXT I :NEXT J
140 S2=0 :S3=0
150 FOR JI=1 TO C
160 S2=S2+EL (I,J,K)
170 NEXT JI

```

سعاد خلف سليمان

```

100 FOR II=1 TO R
190 S3=S3+EL (II,J,K)
200 NEXT II
210 P=(S2+S3-EL (I,J,K))/(S2+S3-2*EL (I,J,K) )
220 FOR II=1 TO R
230 EL (II,J,K)=EL (II,J,K)*P
240 NEXT II
250 FOR J1=1 TO C
260 EL (I,J1,K)=EL (I,J1,K)*P
270 NEXT J1
280 EL (I,J,K)=0 :L=L+1
290 IR (L)=I-1 : IC(L)=J=1
300 NEXT CH
310 FOR KK=1 TO G :FOR II=1 TO R
320 FOR JJ=1 TO C
330 EL (II,JJ,KK)=NW (II,JJ,LL)
340 NEXT JJ :NEXT II :NEXT KK
345 REM****THE CHICES*****
350 FOR L=1 TO 7
360 LPRINT USING "# ":";IR(L);IR(L),IC(L);:LPRINT SPC(2);
370 NEXT L :LPRINT :NEXT K :LPRINT
380 NEXT NO

```

مقارنة تأثير منظم النمو الحشري ابلود و مستخلص النيكوتين و النيماتودا

Culex على يرقات البعوض Steinerma Carpocapsae

Blatella Germinca و الصرصار الالماني Pippens

د. بدر محمد عباس العزاوي

أستاذ مساعد - قسم علوم الحيات - كلية العلوم

ABSTRACT

The Mosquito and German Roaches was very important medicaly by transmission many disease. This study was investigated to compare efficacy of 3 concentration of IGR applaud, Nicotin extracts and Biological Larva and 2nd Nymph of German roaches under laboratory condition for 24 hours different times. The results showed the higher concentration of applaud, Nicotin and Nematoda gave high percentage of mortality of Mosquite larva and German Roaches Nymph when exposed for 24 hours and continuoous exposure. The study showed that applaud nicotin and nematod have more effect on Mosquite larva than roaches nymph in different concentration and different exposure period.

الخلاصة

يعتبر البعوض و الصرصار الالماني من الحشرات الناقلة للكثير من المسببات المرضية، وقد تضمنت الدراسة مقارنة كفاءة استخدام 3 تركيز مختلفة لكل من منظم النمو ابلود و مستخلص النيكوتين و المبيد الحيوي لنيماتودا على يرقات البعوض و حوريات الصرصار الالماني لفترة تعریض مستمر و فترة تعریض 24 ساعة. وقد وجد بان التركيز العالى لكل منظم النمو ابلود و المستخلص النيكوتين و المبيد الحيوي اعطت نسبة هلاكات عالية ليرقات البعوض و حوريات الصرصار الالماني في فترتي التعریض المستمر و 24 ساعة. و اظهرت الدراسة بان ابلود ، و المستخلص نيكوتين و المبيد الحيوي اكثر تأثير بنسبة الهلاكات على البعوض من حوريات الصرصار الالماني عند التراكيز المختلفة و لفترات التعریض المختلفة.

المقدمة

يعتبر البعوض و الصرصار من الحشرات الناقلة لكثير من المسببات المرضية في العديد من دول العالم كناقل مهم للطفيليات و تزويج كما اشار هارود⁽⁶⁾ يكافح البعوض و الصرصار في مناطق تواده و تواجده و في السابق كانت المكافحة مقتصرة على استخدام المبيدات الكيماوية و قد سببت هذه المبيدات كثير من التلوث ومن تلك الوسائل استخدام منظمات النمو الحشرية (IGRS) ⁽³⁾ و هذه المركبات من الجيل الجديد للمبيدات و لها تأثيرات على الاندماج و نمو و على التطور الجنسي و ترقي و تأثيرها بشكل رئيسي على البالغات و من هذه المركبات Applaud بولود و هو لاصق تجاري لمشيط النمو بيرفيزيز (Buprofezin) التي انتجت شركة Nihon Nyaku اليابانية و تعنى على حدوث خلل في عملية تنضيم الانسلاخ ⁽¹⁰⁾ . وقد تستخدم على برقات البعوض و تؤخذ تأثيره على الطور الثاني و الرابع الرئيسي باعلى تركيز ⁽³⁾.

و المستخلصات النباتية فتعتبر من مواد و المركبات الجديدة التي تؤثر على فعالية و حياة الحشرة و أصبحت من المركبات التي تدخل ضمن المبيدات وقد استعملت مستخلصات نباتية معدة ضمن انواع مختلفة من الحشرة ⁽¹⁴⁾.

فتقصد استخدمت مجاميع كيميائية مختلفة مثل الالكوليد و بيكوتين كمواد سامة ضد مختلف الحشرة ⁽⁷⁾ . وقد وجد ⁽¹¹⁾ مستخلص تبكتين من النبع يؤثر على موت كثير من برقات ديدان النحل و يمكن جوز القطن على نبات تفاح. ما المكافحة الحيوية باستخدام بعض الطفيليات و المفترسة ومن الاستخدامات الحديثة هو استخدام النيماتودا المتخصصة على الحشرات و التي اثبتت بشكل جيد حيوي ⁽⁵⁾ . وقد ثبتت بنجاح نيماتود *Steinerema* تحت الوسط المختبري على 200 نوع من الحشرات تتبعه الى عشر رتب ⁽⁵⁾ . وقد وجد ان هذه النيماتودا فعالة على حشرات القرفة و الحفارات و بعض الحشرات الطبية ⁽⁵⁾ .

كان الهدف من الدراسة مقارنة بين هذه الثلاثة انواع من المواد و هي الهرمون المسخن تبكتين و النيماتودا على ذكر من عوار برقات البعوض و اطوار الصرصار الالماني.

المواد وطرق العمل

جمع البهوض لتربيته

لقد أخذ البهوض من خزانات مياه التصريف في كلية الزراعة جامعة بغداد ثم تم تربيته في البيط الحيواني في كلية العلوم الجامعية المستنصرية حيث وضعت البالغات في اقفاص مشبكة ذات ابعاد $(40 \times 40 \times 50)$ سم وغذيت على دم الطيور مدة يوم واحد من قطن مشبعب بمحلول السكروز 15% موضوعة في جقنة بلاستيكية صغيرة وبعد ان وضعت البيوض نقلت طوافات البيوض الى اوعية بلاستيكية سعة 500 مل تحتوي 400 مل من ماء الحنفية وغذيت اليراقات بعلف الارانب⁽³⁾ وقد شخصت المس عمرة في متحف التاريخ الطبيعي في بغداد.

جمع الصراصرو التربة

لقد تم جمع الصراصرو في مناطق مختلفة في بغداد وقد وضعت في اقفاص ذات ابعاد $(50 \times 50 \times 40)$ سم مغطاة بقماش ولها فتحة جانبية واحدة ووضع بداخل القفص بتريش يحتوى على ثلاثة اجزاء من الخبز وجزء مخلوط بالحليب وجزء سكر في درجة حرارة المختبر⁽⁸⁾ وقد تم وضع البيض في القفص وفسس الى الحوريات.

منظم النمو الحشري

استخدام اي LOD بشكل مسحوق قابل للبلل تركيز المادة الفعالة فيه 25% وحضرت التركيز (0.01, 0.1, 0.10 ppm) ذات وزن معين من مسحوق المادة في الحجم المطلوب من الماء المقطر.

مستخلص النيكوتين

لقد تم تحضير مستخلص النيكوتين من مسحوق الاوراق التي تم الحصول عليها من شركة التبغ في الجادرية بغداد وقد اذيب المسحوق في مقدار 50 غم مع حامض الخليك 10% وقد اضيفت من الايثانول او الامونيا لمدة 6 ساعات ليترسب مزيد من مستخلص النيكوتين⁽⁷⁾، وقد استخدمت التركيز (0.01, 0.1, 0.10 % ppm).

تأثير البيولوجي النيماتودا

لقد استخدم المبيد البيولوجي النيماتودا محلول جيلاتيني يذوب بالماء مصنع بشركة Biosey (شركة إنتاج المبيدات الحيوية في الولايات المتحدة الأمريكية)، وقد استخدمت التركيزات (0.5, 1, 10×10¹²) انس و كل انس يحتوي من ديدان النيماتودا مذاب في لتر من الماء المقطر.

النتيجة (بعوض)

وكانت نسبة تثبيط البالغات أقل بكثير من يرقات البعوض وتزداد بازدياد التركيز و فترة التعرض . جدول رقم (2).

وحيث من النتائج أن يرقات البعوض أكثر حساسية لمستخلص النيكوتين من حوريات الصقر الالماني وقد بعض الباحثين مستخلص النيكوتين بسبب نسبة هلاكات بالبعوض أكثر من الصقر الالماني (2) و لوحظ اختلاف في حساسية الاطوار وهذا يتفق مع نتائج الباحث (1). كما لوحظ ان التركيز العالية من المستخلص النيكوتين يؤثر على يرقات البعوض و حوريات الصقر الالماني اكثر من التركيز الواطئ وذلك بسبب تأثير مادة النيكوتين المادة الكيميائية التي تؤثر على يرقات البعوض أكثر من حوريات الصقر. وهذا يتفق مع حقيقة (2) حول تأثير هذه المادة السامة على مختلف الحشرات.

تأثير المبيد البيولوجي النيماتودا

لقد وجدت بأن التركيز العالية من المبيد الحيوي لها تأثير عال على هلاكات البعوض أكثر من الصقر الالماني فقد وجد أن التركيز العالية من المبيد الحيوي و عند التعرض 24 ساعه كانت نسبة هلاكات 35 - 67 % على التوالي. و عند التعرض لمدة 24 ساعه كانت نسبة هلاكات 20.8 - 40.4 % على التوالي اما نسبة مثبطات خرجة البالغات كانت شديدة بتركيزه حتى عن التركيز الواطئ للمبيد.

اما تأثير المبيد الحيوي على حوريات الصقر الالماني فكانت اقل تأثيرا من يرقات البعوض ولكن نتائج مشابهة الى اليرقات فكان تأثير التركيز العالية على هلاكات الحوريات ضعيف 10.2 - 32.0 على التوالي عند التعرض المستمر و نسبة هلاكات اقل في التركيز ضعيف و نسبة هلاكات اقل عند تعربيضه الى 24 ساعه و كان من 7-15 % جدول رقم (2).

و كانت نسبة تثبيط ظهور البالغات اكثراً في التركيز العالية عن التركيز الواطئة في مختلف فترات التعرض.

لقد وجد من الدراسة ان يرقات البعض اكثراً حساسية للمبيد الحيوي من حوريات الصرصر وان التركيز العالية من المبيد الحيوي اكثراً نسبة من هلاكات في البعض و الصرصر وقد اتفق مع هذه النتائج الباحث⁽⁴⁾ ومن اسباب تأثير المبيد الحيوي على البعض اكثراً من حوريات الصرصر هو ازدياد الفعالية بالمبيد الحيوي و توفر الظروف الملائمة و طريقة الاستعمال و التركيز على اليرقات البعض اكثراً من حوريات الصرصر وقد وجد الباحث⁽⁵⁾ ان فعالية المبيد الحيوي ترداد بازدياد توفر الظروف الملائمة و طريقة الاستعمال و التركيز و نوع العائل.

النتائج و المناقشة

مقارنة تأثيرات منظم النمو ابلود

عند معاملة يرقات الطور الثاني بابلود وجد عند ازدياد التركيز ترداد نسبة هلاكات وقد تصل 100% ووجد ان التركيز الادنى ادى الى نسبة هلاكات اقل حسب التركيز و فترة التعرض جدول رقم (1)، وقد اعطت نسبة تثبيط خروج البالغات نسبة عالية قد تبلغ في التركيز العالية الى 100% و 90%. وبلغت 60.1% عند فترة التعرض 24 ساعة. اما معاملة حوريات الصرصر الالماني فقد لوحظ نفس النتائج و لكن نسبة هلاكات الحوريات باختلاف فترة التعرض اقل من البعض وقد بلغت 56.2% و نسبة تثبيط خروج البالغات اقل وقد بلغت 16.2%. اما عند تعریض الى 24 ساعة فكانت 37%.

تشير النتائج ان فعل ابلود القاتل ليرقات الطور الثاني للبعوض ظهر مباشر في الطور نفسه عند استخدامه في التركيز العالية و كانت التأثيرات على التركيز الواطئة تراكمية. اما منظم النمو ابلود على حوريات الصرصر الالماني فقد لوحظت نفس النتائج و كانت التركيز العالية تؤثر على طور الحورية الثاني و التركيز الواطئة كانت تأثيراتها تراكمية و ذلك كانت بنسبة اقل من تأثيرها على البعض. وقد اشار كثير من الباحثين ان استخدام منظم النمو الحشرى بتركيز واطئة لا يؤدي الى قتل اليرقات في طور المعاملة و انما ينتج بصورة تراكمية و تنتقل الى العذراء و البالغة⁽³⁾. وكما اظهر الجدول رقم (1) ان الطور الرابع ليرقات و الحورية الرابعة للصرصر تكون اكثراً حساسية للاجلود. وتطابق هذه النتائج مع ما هو معروف عن تأثيرات منظمات النمو الحشرية في يرقات البعض.

تأثیرات مستذکورَن

اقد اثرت التركيز العاليا من مستخلص النيكوتين بصورة كبيرة على يرقات الطور الثاني للبعوض وبلغت هلاكات هذه الاطوار 100 % لفترة التعرض المستمر و 10 - 25 % عند التعرض 24 ساعة. وكان التركيز الواطي و هو ادنى فعالية في هلاكات الطور الثاني التي بلغت 15.6 - 2.1٪ على التوالي و كلما ازداد التركيز و فترة التعرض ازداد من تاثير هلاكات اليرقات، جدول رقم (2).

وكان تثبيط خروج البالغات في التركيز العالية 100 % و في الواطئة 52.1 % عند التعرض المستمر و نسبة اقل عند تعریض 24 ساعة. اما تأثير المستخلص النيكوتين على الصرص الانساني فكان تأثير مفهول للهلاكات التراكمية عند التعرض المستمر ، و 24 ساعة اقل مقارنة بغيرها حيث كانت نسبة الهلاكات بالتركيز العالية لحورية الطور الثاني 22.8 عند التعرض المستمر و 8.9 عند التعرض لمدة 24 ساعة.

قد تخدمت في كل المعاملات الثلاثة مركبات يرقان البعض او عية بلاستيكية سعة 125 مل تحوي 100 مل من كل تركيز من ابلاود، ومستخلص النيكوتين، والمبيد الحيوى ونقل الى كل وعاء بلاستيكي 20 يرقة من يرقان الطور الثالث وقد تمت كل معاملة بثلاثة مكررات وقد تم تغذية يرقان قبيل المعاملة و الثانية بعد 3 ايام من المعاملة و سجلت الهالات لكل طور و تم حساب نسبة نشوء هالات لكل الاطوار. اجريت التجارب لفترات تعريض 24 ساعة او مستمرة⁽⁴⁾.

معانی اصرار ذاتی

قد استُخدِمت في كل المعاملات او عية بلاستيكية سعة 250 مل تحوي 100 غم من الطعام ووضعت 20 حورية صرصر لكل وعاء في الطور الثاني، وقد خلط مع الطعام 10 ملم من كل ابنة. سُخِنَ النيكوتين، والمبيد الحيوي وقد اجريت كل معاملة (تركيز) بثلاثة مكررات. وقد جنَّت نسبة موت الاطوار لكل معاملة وقد اجريت التجارب لفترت تعيض 24. ويستقر⁽⁴⁾.

التحليل الاحصائي:

اجريت بحثات تحليل الاحصائي باستخدام (L.S.D.) و اختبار المعنوي ضمن البرنامج (12) S.P.S.S.

جدول (1)

مقارنة تأثير منظم النمو الحضري على البيكارات التراكمية و النسبة المئوية لخروج البالغات الناتجة عن تعرض يرقة الطور الثاني للبعوض وحورية الطور الثاني للصرصار الالماني

الصرصار الالماني					البعوض				
تعرض مستمر % هلاكات البرقات و الحوريات					التركيز				
التركيز					التركيز				
1.0	0.1	0.01	0.0	الطور	1.0	0.1	0.01	0.0	نخور
45.0 ^d	33.2 ^b	0.0 ^a	0.0	طور الحورية (2)	100 ^d	78.0 ^c	55.4 ^b	0.0 ^a	نخور الحرقى (2)
55.9	52.1	41.2	1.0	(3)	100	92.8	28.1	1.5	نخور الحرقى (3)
66.1	63.1	52.2	1.0	(4)	100	96.2	89.2	1.5	نخور الحرقى (4)
70.3	68.4	62.5	1.0	(5)	100	100	98.2	1.5	نخراء
90.0	80.9	75.5	2.2	خروج البالغات	100	100	100	3.0	خروج البالغات
تعرض 24 ساعة % هلاكات البرقات أو الحوريات									
33.2 ^d	20.9 ^c	10.2 ^b	0.0 ^a	طور الحورية (2)	72.2 ^d	55.2 ^c	25.3 ^b	0.0 ^a	نخور الحرقى (2)
40.2	30.2	20.4	1.5	(3)	82.3	66.3	35.3	3.1	نخور الرقى (3)
53.1	40.1	28.6	1.0	(4)	94.9	76.4	46.2	3.1	نخور الرقى (4)
60.0	48.2	36.0	1.5	(5)	100	88.2	56.3	3.2	نخراء
70.1	62.0	42.9	2.2	خروج البالغات	100	100	86.4	3.2	خروج البالغات

تقيم ضمن كل فترة تعرض لكل عمود يمثل طورا من اطوار البعوض او الصرصار تتبع باحرف متشابهة تشير الى عدم وجود فرق معنوي عند 5% L.S.D.

جدول رقم (2)

مقارنة تأثير المبيد الحيوى النيماتودا على الهلاكات التراكمية و النسبة المئوية لتبطيط خروج البالغات الناتجة عن تعرض الطور الثاني لبيرقة البعوض و الطور الثاني لحورية الصرصار
الالماني

الصرصار					البعوض				
تعریض مستمر هلاکات الیرقات و الحوریات									
التركيز					التركيز				
1.0	0.1	0.01	0.0	الطور	1.0	0.1	0.01	0.0	الطور
35.0 ^d	25.0 ^c	15.0 ^b	0.0 ^a	طور الحورية (2)	10.2 ^d	7.3 ^c	5.3 ^b	1.0 ^a	طور الرقى (2)
45.0	35.6	25.4	0.0	طور الحورية (3)	12.1	8.3	7.3	1.0	طور الرقى (3)
53.0	44.1	33.0	0.0	طور الحورية (4)	22.2	23.0	20.0	1.0	طور الرقى (4)
67.0	57.1	45.1	0.0	طور الحورية (5)	28.0	28.1	25.8	1.0	العناء
78.2	68.4	54.5	0.0	خروج البالغات	42.0	33.2	30.0	1.0	خروج البالغات
هلاکات الیرقات او الحوریات. ٪ تعریض لمدة 24 ساعه									
20.8	15.3	10.3	0.0	طور الحورية (2)	7.0 ^d	5.0 ^c	3.0 ^b	1.0 ^a	طور الرقى (2)
24.4	20.3	15.6	0.0	طور الحورية (3)	10.2	8.3	5.0	1.0	طور الرقى (3)
31.4	26.5	20.5	0.0	طور الحورية (4)	13.1	12.1	8.0	1.0	طور الرقى (4)
40.8	32.3	25.7	0.0	طور الحورية (5)	15.1	22.2	18.0	1.0	العناء
50.2	41.5	30.8	0.0	خروج البالغات	25.1	24.2	22.0	1.0	خروج البالغات

X القيم في كل فترة تعریض لكل عمود يمثل طورا من اطوار البعوض او الصرصار تتبع باحرف متشابهه و تشير الى عدم وجود فرق معنوي عند Y,5 L.S.D.

REFERENCE

1. Al-Azawi B.M., The effect of Nematoda Steinernerma Carpocapsa (GB) (Steinernematidae) on the Roaches, Termite and Mosquito. Al-FATH 2(3) 1-7. (1998).
2. Al-Azawi B.M., Al-Mashadani, W. Hand Al-Samaraie: S. Use of Olander and Tobacco extract as an Inseaticides Al-Mustansiriya J. Sci., 11(1), 41-48. (2000).
3. Al-Azawi B.M. and Al-Rahawi H.M.: effect of Aqueous Extract of Neem Leaves and IGR Applaud on some Larval Instar of Mosquito Culex Pipensl Al-Mustansiriya J.Sci. (2001)
4. Abbot W.S. A method of computing the effectiveness of an insecticide J. Econ. Entomo 118: 265 - 267. (1952).
5. Georgis R. Nematodes for Biological control of Urban Insects. American Chemical Society. Division of Environmental Chemistry. 44 National Meeting p.27. (1987)
6. Harwood R.F. and James M.T. Entomology in Human and Animal Health, seventh edition, Macmillan Publishing C0-N-V. 548pp. (1979).
7. Jacobson M. Solution and Identification of Toxicagents from Plants. ACS Symposium Series No. Hostolant Resistant to Pest. Paul Hedin Edition. (1967)
8. Macey, Cmand Melompy. RM care and rearing of Blatella Germenica on the Caltsoff and other culture. Method for Invertabrate Animal Contock Pub Coffanca NY, p2283. (1937)
9. Mulla M.S. Insect Growth Regulators for the Control of Mosquito Pests and Disease Vectors Chinese. J. Entomal Special publ. (6). 81-911. (1991)
10. Mulla M.S. and Su, T. Activity and Biological Effect of Neem Products against Arthropods of Medical and Veterinary Importance J.Am. Mosq cont. Assoc 15: 133 - 152. (1999)
11. Record EF. Wallacc R.T. and Starves, O. A survey of Plants for Insecticidal Activity Liaydia 13: 89 - 162. (1950).

نهر التلوث في نهر دجلة المار في مركز مدينة الموصل

اميره محمود محمد الرواى ، اسامه محمد سعيد مصطفى النعيمي
قسم علوم الحياة / كلية العلوم / جامعة الموصل

ABSTRACT

In this study a river of pollution was represented by the flow of untreated water thrown directly in Tigris river in the center of Mosul city near Ninevah health office. Ten stations have been chosen for sampling from along the polluted river starting from the flow aerie, for a distance of about one kilometer and with 100 meter distance between one station & another. Total aerobic bacterial count, total coliform count & Fecal coloform count were done as well as multiple tube method to estimate MPN for coliform & Fecal coliform . This study also involved isolation & identification of some pathogenic bacteria in tested water samples . The results showed that the most aerobic bacterial count containing station was the main flow one, and the number of bacteria was reduced gradually . the study showed that this water was highly polluted starting from the flow aerie to (400 m) then it become better in the station (900-1000 m) from the flow. the total coliform count & Fecal coloform count gave high average in the main flow aerie then reduced gradually . In general the bacteria in different stations was represented with predominance of *Esherishia coli* , *Srtptococcus faecalis* & *Pseudomonas aeroginosa* while the distribution of other types was differ in different station .

الخلاصة

في هذه الدراسة حدد نهر للتلوث متمثلاً بجري طرح مياه الفضلات غير المعاملة مباشرة إلى نهر دجله في مركز مدينة الموصل قرب دائرة صحة ثينوى . اختيرت عشرة مواقع لجمع العينات على طول مجرى نهر التلوث بدءاً من منطقة المصب وعلى بعد 100 متر بين موقع وآخر ولمسافة كيلومتر واحد . اتبعت طريقة التقدير الكلى للبكتيريا الهوائية و طريقة التقدير الكلى لبكتيريا القولون والقولون البرازية فضلاً عن ذلك استخدمت طريقة الأنابيب المتعددة لحساب العدد

اكثر احتمالاً لبكتيريا القولون والقولون البرازية وشملت الدراسة ايضاً عزل وتشخيص بعض اجناس وانواع الجراثيم الممرضة المتواجدة في عينات المياه المفحوصة. بنت الدراسة ان اكثراً الواقع احتواءً على البكتيريا البوانية هي منطقة المصب الرئيسي ونقل اعداد بكتيريا تدريجياً كلما ابتعدنا عن المصب ، ويلاحظ من الدراسة ان المياه ملوثة جداً ابتداءً من منطقة المصب ولمسافة (400) م بعداً عن المصب ثم تتحسن نوعيتها وصولاً الى مياه متوسطة النقاوة في الموقعين(900 و 1000) م بعداً عن المصب . كما اظهرت النتائج ان اعداد بكتيريا القولون والقولون البرازية سجلت اعلى معدلات لها عند موقع المصب الرئيسي ثم انخفضت اعدادها تدريجياً . اما الانواع الجرثومية في المنطقة المدروسة بشكل عام وتوزيعها في الواقع المختلفة فقد توصلت الدراسة الى سيادة الانواع *Strp. faecalis* ، *E. coli* ، *Ps. aeruginosa* في كل الموقع ، في حين اختلف توزيع الانواع الاخرى في الموقع المختلفة .

مقدمة

منذ بدأ الخليقة كان للماء دور مهم اذ يعد اهم اسباب ديمومة الحياة فهو يمتلك من الصفات الفيزيائية والكيميائية والبيولوجية ما يجعله ضرورياً وعلى الرغم من ان المياه تغطي ما يقارب 70% من سطح الكره الارضية الا ان 97% منها تحوي نسبة عالية من الاملاح ولا تصلح للاستعمالات البشرية الا بعد معالجات باهظة التكاليف ، واما الكمية المتبقية البالغه 3% فتشكل المياه العذبة جزءاً يسيراً اذ تبلغ بحدود 0,3% فقط وهذه تمثل محمل كمية المياه التي بالامكان استغلالها للاغراض المنزليه الصناعية والزراعيه والاغراض الأخرى (رمضان واخرون ، 1991 ، الشوابي ، 2001) .

تتعرض مياه الانهار للتلوث بشتى انواعه من خلال محمل الفعاليات التي يقوم بها الانسان في القطاعات الصناعية والزراعية وفضلاً التجمعات السكنية ، كذلك عند هطول الامطار في مواسمها بواسطة جرف الازربة الحاوية على شتى انواع الاحياء المجبرية ناهيك عن تلك التي تكون عالقة في الجو قبل سقوط المطر (WHO,1971) .

وتترزق مشكلة تلوث المياه مع تزايد السكان في العالم فضلاً عن التقدم البيئي والحضاري لذا فاننا من الصعبه ان نستوعب الحجم الكبير من التلوث الذي تتعرض له ولاسيما ان عدد سكان العالم يتزايد زياً مضطربة (ميشالني ، 1994) .

تحتَّن نوعية وكمية الاحياء المجهرية الملوثة لمياه النهر باختلاف نوعيته وموقعه والاراضي المار بها ونوعية الملوثات المرميَّة بها ، ومن انواع الجراثيم التي تلاحظ باعداد كبيرة في مئَرَّ هذه المياه هي الجراثيم الرميمية Saprophytic bacteria وغالباً ما يعكس وجودها درجة التغذية في ذلك النهر وتقل اعدادها في المياه الفقيرة بهذه المواد ، ويبدى النهر تفاوتاً كبيراً في اعداد الجراثيم تبعاً للمواسم والمناطق لانه من الثغر (Droop & Jannasch.1980)

وتنشر الجراثيم المعويَّة بصفه خاصه في المياه المحمله بالفضلات من اهمها وجرثومه Salmonella المسبيه لحمي التيفوئيد Typhoid fever وكذلك Clostridium السبكيه البرازيء Streptococcus faecalis وبكتيريا Klebsiella sp. و Proteus Sp. ، perfringenes وبالرغم من ان الجراثيم المعويَّة تستطيع البقاء حية في الماء لفترة محدودة من الزمن فقط الا انها كثيراً ما تتواجد باعداد جديرة بالاهتمام في نبيءٍ نحليَّة من دون ان تفقد مقدرتها على احداث الاصابة . ومن المعلوم ان افراادات امعاء الانسان والحيوان قد تحوي هذه الانواع الجرثومية والتي يكون قسماً منها تعايشياً في الامعاء الغصيَّة لتنسان والحيوان فمن المؤكَّد انها توجد في البراز لذلك فوجود أي نوع من انواع الجراثيم التغايشية في الماء هو دلالة التلوث البرازي من مصدر بشري او حيواني ، وان وجود هذه الاشارة في الماء معناه ان الطريق مفتوح كذلك للعامل المرضي المعويَّة لتدخل الماء ونذكر موجودة هي الاخر في البراز ايضاً (خلف ، 1987).

وصوماً تكون مياه الفضلات Sewage water بصورة رئيسية من :

* تخففت البشرية والحيوانية وتشمل البراز والأدرار ومياه الغسيل المختلفة ، ويقدر بإن شخص الواحد قد ينتج أكثر من مئة غالون من المياه القذرة يومياً .

* تفضلت الصناعية كالاحماس والدهون والزيوت وفضلات ومخلفات الحيوانات والنباتات انحرافها من المعامل والفضلات الكيميائية المختلفة التي قد تحتوي على مواد سامة كاتخعين الثقيلة والمبيدات التي تقلل من كفاءة وفعالية الطرائق المستخدمة في معالجة المياه

* نبيءُ الحوية والسطحية ومياه المطر التي تدخل شبكة المجاري .
(اخذني ، 1986).

احمد محمود محمد الروي و اسامه محمد سعيد مصطفى النعيمي

وفي بتنا العزيز العراق ونظراً للتزايد المستمر للحاجة إلى الموارد المائية نتيجة التوسيع السكاني والتطور المتنامي في ميادين البناء والاقتصاد وما يقابلها من تناقص في هذا المورد الحيوي لاباب شئ فضلاً عن عدم المعالجة الصحيحة للفضلات المطروحة إلى مياه الانهار لذا خدت هذه المياه أحد اهم المسببات الرئيسية في نقل الامراض ، ولاهمية ما ذكرنا ولعدم تكامل الدراسات الرئيسية على المياه العراقية وعلى وجه الخصوص تلك المتعلقة بمصادر مياه الشرب ذات العلاقة المباشرة بالصحة العامة لذا زررتنا تقييم دور الملوثات المطروحة مباشرة الى نهر دجلة المار عبر مركز مدينة الموصل .

المواد وطرق العمل

موقع وطريقة جمع العينات

- * حددت منطقة المصب قرب دائرة صحة نينوى في مدينة الموصل واختيرت عشرة مواقع لأخذ عينات باتجاه محوري نهر دجلة من وسط نهر التلوث وعلى بعد مائة متراً بين موقع وآخر ومسافة كيلومتر واحد من موقع المصب .
- * جمعت عينات ب بواسطة قناني جمع زجاجية معقنة ومحكمة الغلق بحجم 250 سم³ وبواقع عينة من كل موقع .

الاواسط اغذائية

- وسط مرق واكار المكونكي ، وسط اذكار المغذي ، وسط حليب عباد الشمس ، وسط ازاي :كمتروز كار ، وسط ماء البتون ، وسط ماء البيتون والكلوكوز والفوسفيت ، وسط السيمون سترات .

الاختبارات

- 1- اتبعت طريقة التقدير الكلي للبكتيريا بيوائية Total aerobic bacterial count و طريقة التقدير الكلي لبكتيريا القولون والخون البرازية Total and Faecal Coliform Count في الكشف عن تلوث العينات المختبريه وكما ورد في (خلف ، 1987) .
- * اجريت التخافيف العشريه لغاية 10⁻⁷ للعينات باستخدام الماء المقطر المعقم .
- * بواسطة ماصه زجاجيه معقنه نقل 1 مل من التخافيف الاخير الى طبق بتري معقم فارغ بعد رج عينه جيدا وكررنا العمل لاربع مرات تحصول على اربع مكررات .

- * أضيف لكل طبق 20 مل من الوسط الغذائي الذائب المبرد الى درجة 45° ثم مزج محتويات الطبق بيضاء .
- * حضنت الاطباق في درجة حرارة 37° لمدة 24-48 ساعه وحسبت ا عدد الجراثيم بحساب عدد المستعمرات النامية في كل طبق وبتطبيق القانون التالي:
عدد الخلايا في 1 مل = عدد المستعمرات النامية × مقلوب التخفيض .

2- وفي نفس الوقت استخدمت طريقة الانابيب المتعددة Multiple Tube Method لحساب العدد اكثراً احتمالاً لبكتيريا القولون والقولون البرازية لعينات المياه قيد الدراسة واعتماداً على ما ورد في (WHO 1996) ، وبالرجوع إلى الجداول الاحصائية الخاصة التي وضعها العالم McCrady سنة 1918 تم حساب نتائج احتمال وجود بكتيريا القولون والقولون البرازية في 100 مل .

3- تشخيص الجراثيم

تم عزل وتشخيص انواع الجراثيم التابعة للمجموعة المعوية من عينات المياه التي اعطت نتائج موجبة في اختبار التقدير الكلي لبكتيريا القولون وكما جاء في (Koneman et al.. 1997) اذ اعتمدت الاختبارات التشخيصية المظيرية والكميابيانية المتبعه في تشخيص الانواع الجرثومية .

كما شخصت باقي انواع الجراثيم باستخدام الاختبارات التالية :

- اختبار انزيم التجلط بالنسبة لجرثومة *Staphylococcus aureus*
- اختبارات النمو بدرجة 44° و النمو بتركيز 6.5% ملح الطعام وفي 40% املال الصفراء لجرثومة *Streptococcus faecalis*
- اختبار تخمير الكلوكوز بدون تكوين غاز وتفاعل الاوكسیديز الموجب لجرثومة *Pseudomonas aeruginosa*
- اختبار تخمير الكلوكوز واللاكتوز والسكروز مع انتاج كمية كبيرة من الغاز و النمو العاصف في انبوبة وسط حليب عياد الشمس لجرثومة *Clostridium perfringens* .
- صبغة كرام و ملاحظة الصفات المزرعية لجرثومة *Bacillus Sp.*

- اختبار تفسير اللاكتوز وانتاج الغاز والنمو على وسط الماكونكي اكار واستخدام تفاعل IMVC للتفرق بين انواع البكتيريا المعوية .

النتائج والمناقشة

العدد الكلي للبكتيريا الهوائية :

بعد العدد الكلي للبكتيريا الهوائية من الاختبارات المايكروبایولوجیة المهمة المعتمدة في تقويم النوعية الصحية للمياه بشكل عام وهو معيار مهم لدرجة نقاوة المياه .

وتبين النتائج الموضحة في الجدول (1) العدد الكلي للبكتيريا الهوائية للموقع المدروسة ، ويلاحظ ان اكثر المواقع احتواءً على البكتيريا الهوائية هي منطقة المصب الرئيسي اذ بلغ العدد الكلي للبكتيريا 285.5×10^3 خلية / سم³ ، ونقل اعداد البكتيريا تدريجياً كلما ابتعدنا عن المصب وصولاً الى ابعد موقع مدروسة عن المصب والذي احتوى على 4.5×10^3 خلية/سم³ .
ان ارتفاع اعداد البكتيريا عند منطقة المصب قد يعزى الى ان هذه المنطقة تعد بؤرة التلوث من محمل القعاليات المختلفة كالفضلات الصناعية والبشرية والحيوانية مما يعكس احتواها على نسبة عالية من مواد العضوية والتي من المعروف انها تقوم بحماية البكتيريا من انتشارات البكتيرية قصراً عن ابيه مواد مغذية أساسية تنمو وتکاثر الجراثيم وهذا ما اشار اليه Wilson & Miles. 1975؛ جلال الدين ، 1990؛ الشواوني، 2001) وتناثر المجموعه الميكروبية الطبيعية Normal flora في المياه بمعنى التلوث من المصادر المختلفة التي تحوي كثيراً من الاحياء المجهرية التي تصل الى الانبار اضافة الى احتواها كميات هائلة من المواد العضوية واللاعضوية التي تعتبر مغذيات أساسية تکاثر الجراثيم .

جدول (1) نتائج MPN و مقارنة بين الجراثيم البرازية وغير برازية

نوعية المياه	العدد الكلي للبكتيريا $\times 10^3$	موقع اخذ العينة
ملوث جداً	285.5	المصب الرئيسي
ملوث جداً	233.0	على بعد 100 متر عن المصب
ملوث جداً	202.0	على بعد 200 متر عن المصب
ملوث جداً	189.0	على بعد 300 متر عن المصب
ملوث جداً	102.0	على بعد 400 متر عن المصب
ملوث	78.5	على بعد 500 متر عن المصب
ملوث	56.6	على بعد 600 متر عن المصب
ملوث	44.2	على بعد 700 متر عن المصب
ملوث	21.4	على بعد 800 متر عن المصب
متوسط النقاوة	9.8	على بعد 900 متر عن المصب
متوسط النقاوة	4.5	على بعد 1000 متر عن المصب

و عند مقارنة المحتوى الكلي للبكتيريا في الموقع المدرسوة مع نوعية المياه و اعتماداً على ما جاء في (Pescott et al., 1950) والموضح في الجدول التالي :

نوعية المياه خلية / سم ³	العدد الكلي للبكتيريا
تم النقاوة	10-0
نقى جداً	100-10
نقى	1000-100
متوسط النقاوة	10000-1000
ملوث	100000-10000
ملوث جداً	اكثر من 100000

أميره محمود محمد الزاوي و اسامه محمد سعيد مصطفى النعيمي

يلاحظ ان المياه ملوثة جداً ابتداءً من منطقة المصب ولمسافة (400) م بعداً عن المصب ثم تتحسن نوعية المياه تدريجياً حيث يصبح ملوث وكما بدا واضحاً من النتائج إلى مسافة (800) م عن المصب الرئيسي ثم تتحول إلى مياه متوسطة النقاوة في الموقعين (900 و 1000) م بعداً عن المصب .

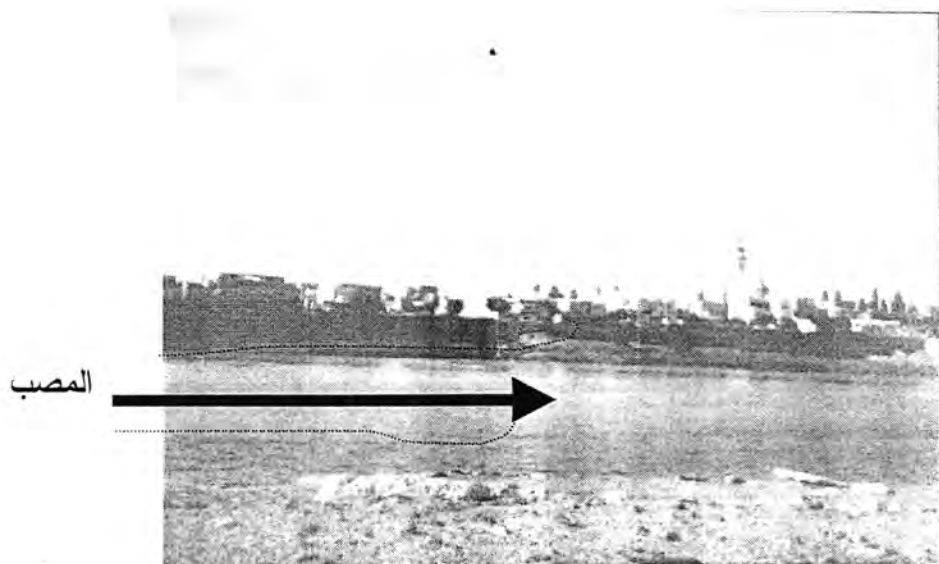
ان التحسن التدريجي في نوعية المياه قد يعزى الى محمل التخفيف الحاصل لكمية الملوثات المطروحة مباشرة الى النهر عند منطقة المصب وتزداد نسبة التخفيف كلما ابتعدنا عن المصدر الرئيسي لطرح الفضلات الشكل رقم (1 ، 2) .



شكل (1) صورة جانبية لمصب نهر التلوث المار عبر نهر دجلة في مركز مدينة الموصل

* بكتيريا القولون والقولون البرازية :

ان وجود مجموعة بكتيريا القولون في المياه يعد مؤشراً عاماً للتلوث والذي يمكن ان يكون من الطبيعه اساساً او من البراز ، فيما تعد بكتيريا القولون البرازية *E. coli* من اهم المؤشرات للتلوث بالبراز في المياه والتي يشير وجودها الى التلوث الحاصل حديثاً (خلف 1987 ،) .



شكل (2) صوره امامية لمصب نهر التلول المار عبر نهر دجله في مركز مدينة الموصل

اظهرت نتائج هذه الدراسة الموضحة في الجدول (2) ان اعداد بكتيريا القولون الكلية اكبر من اعداد بكتيريا القولون البرازية وفي جميع المواقع المدروسة وهذا مطابق لما وجده الباحثون (محمد ، 1986 ؛ طليع واخرون ، 1994 ؛ طليع والبرهاوي ، 2000).

جدول (2) نتائج MPN و مقارنة بين الجراثيم البرازية والغير برازية

Atypical Coliform في 1مل	Typical Coliform في 1مل	موقع اخذ العينة
121×10^2	117.5×10^2	المصب الرئيسي
120.5×10^2	117×10^2	على بعد 100 متر عن المصب
118.8×10^2	115.4×10^2	على بعد 200 متر عن المصب
117×10^2	115×10^2	على بعد 300 متر عن المصب
115×10^2	112.7×10^2	على بعد 400 متر عن المصب
112.5×10^2	111.4×10^2	على بعد 500 متر عن المصب
110.6×10^2	19.5×10^2	على بعد 600 متر عن المصب
18.7×10^2	17.5×10^2	على بعد 700 متر عن المصب
17.5×10^2	15.3×10^2	على بعد 800 متر عن المصب
15.5×10^2	12.5×10^2	على بعد 900 متر عن المصب
12.5×10^2	12.1×10^2	على بعد 1000 متر عن المصب

و يلاحظ من النتائج ان اعداد بكتيريا الفطون والقولون البرازية سجلت اعلى معدلات لها عند موقع المصب الرئيسي اذ بلغت 121×10^2 و 117.5×10^2 خلية لكل 100مل على التوالي ، ثم انخفضت اعدادها تدريجياً و اسبب في ذلك قد يعزى الى التخفيف الحاصل تلقائياً انسطروحة بضمها الفضلات الصناعية للانسان والحيوان نتيجة لحركة المياه السريعة و التيارات المائية في النهر، كما ان هذا الانخفاض جاء مرافقاً للانخفاض التدريجي لاعداد البكتيريا الكلية في جميع المواقع قيد الدراسة مما يشير الى وجود علاقة قوية بين نوع البكتيريا اي ان زيادة أي نوع يرافقه زيادة في النوع الآخر وهذا ما اشار اليه (الجزراوي ، 1979؛ طلبع وآخرون ، 1994؛ الشواني ، 2001).

الاجناس والانواع الجرثومية المعزولة

وللتعرف على الانواع الجرثومية السائدة في المنطقة المدروسة بشكل عام وتوزيعها في الواقع المختلف فقد توصلت الدراسة الى النتائج المدونة في الجدول (3) والتي تشير الى سيادة الانواع *Ps. aeruginosa* ، *E. coli* و *Strp. faecalis* في جميع الواقع .

ان سيادة الانواع المذكورة في المنطقة المدروسة يدل على وجود التلوث البرازي بفضلات انسان والحيوان ، ومن المعروف بصورة عامة ان المصادر المائية في الاقطار النامية تكون كثيرة عرضة للتلوث البرازي (Feachem , 1986 ؛ محمد ، 1986) في حين اختلف توزيع انتشار الانواع في جميع الواقع والتي اما مصدرها من فضلات انسان والحيوان او من تربة او نتيجة الملوثات الصناعية والمنزلية بضمها المنظفات المطروحة مباشرة الى النهر .

جدول (3) توزيع الاجناس والانواع الجرثومية في الواقع المختلفة

متوسط عدد الخلايا $\times 10^3$										موقع - نسبات من نهر دجلة
<i>Clostridium perfringens</i>	<i>Bacillus Sp.</i>	<i>Staphylococcus aureus</i>	<i>Klebsiella Sp.</i>	<i>Pseudomonas aeruginosa</i>	<i>E. coli</i>	<i>Streptococcus faecalis</i>	<i>Shigella Sp.</i>	<i>Salmonella Sp.</i>		
+	-	+	+	+	+	+	+	+	+	-
+	-	+	+	+	+	+	+	+	+	غير - 100 متر عن المصبه
-	-	+	+	+	+	+	+	+	+	غير - 200 متر عن المصبه
-	-	+	+	+	+	+	+	+	+	غير - 300 متر عن المصبه
+	-	+	+	+	+	+	+	+	+	غير - 400 متر عن المصبه
+	-	+	+	+	+	+	+	+	+	غير - 500 متر عن المصبه
+	-	+	+	+	+	+	+	+	+	غير - 600 متر عن المصبه
-	-	+	+	+	+	+	-	-	-	غير - 700 متر عن المصبه
+	-	-	-	+	+	+	-	-	-	غير - 800 متر عن المصبه
+	-	-	-	+	+	+	-	-	-	غير - 900 متر عن المصبه
-	-	-	-	+	+	+	-	-	-	غير - 1000 متر عن المصبه

- نتائج موجبة - نتائج سالبة

المصادر

اميره محمود محمد الراوي و اسامه محمد سعيد مصطفى النعيمي

- الجزراوي ، سمير فتح الله التلوث البكتيري لمياه احد المشاريع الزراعيه في محافظة بغداد . رسالة ماجستير ، كلية العلوم - جامعة بغداد . (1979)
- جلال الدين ، سلام مؤيد التلوث البكتيري في بعض مسابح مدينة بغداد . رسالة ماجستير - الجامعة المستنصرية . (1990)
- الحديسي ، هديل توفيق. الاحياء المجهرية المائية . وزارة التعليم العالي والبحث العلمي ، جامعة البصرة . (1986)
- خلف ، صبحي حسين. علم الاحياء المجهرية المائي . وزارة التعليم العالي والبحث العلمي ، جامعة الموصل . (1987)
- رمضان ، عمر موسى ؛ الغنام خالد احمد عبد الله و ذنون احمد عبد الكريم. الكيميا الصناعية والتلوث الصناعي . وزارة التعليم العالي والبحث العلمي - جامعة الموصل . (1991)
- الشوابي ، طاووس محمد كامل احمد دراسة بيئية ومايكروبایولوجیة لنهر الزاب الاسفل من منطقة التون كوبري الى الحويجة / محافظة التاميم . رسالة ماجستير -جامعة تكريت . (2001)
- طليع ، عبد العزيز يونس و البرهاوي نجوى ابراهيم تلوث مياه نهر دجلة بالفضلات السكنية شمال مدينة الموصل . مجلة التربية والعلم ، العدد 41 . (2000)
- طليع ، عبد العزيز يزنس ؛ الفراز خالد لقمان ؛ خليل محمد علي و سليم محمد سليم. تلوث مياه نهر الخوسر وتأثيره في نوعية مياه نهر دجلة عند مركز مدينة الموصل . مجلة هندسة الرافدين ، المجلد الثاني ، العدد 3 : ص56-45 . (1994)
- محمد ، اميره محمود. دراسة عن المكورات السبجية البرازية وعلاقتها بمصادر تلوث المياه في محافظة نينوى . رسالة ماجستير ، كلية العلوم - جامعة الموصل (1986).
- میالینی ، کینیث. ترجمة كامل مهدي الميمي . بیولوچیة التلوث الطبعه الاولى - وزارة الثقافة والاعلام (1994).
- Droop. M.R.& Jannasch, H.W. Advances in Aquatic Microbiology Academic press. London , New York (1980)..
- Feachem,R.G.A. Bacterial standards for drinking water in developing countries. Lancetii. 255-256 (Cited by Wright. R.C. 1980. Hyg.Camb . 89:69-78(1980)..

- Koneman , E.W.; Allen ,S.D.; Janda, W.M.; Schreckenberger, P.C. & Winn, W.C. Color atlas and text book of diagnostic Microbiology. 5th. (ed.) , Lippincott-Raven publisher, Philadelphia , USA (1997) ..
- Prescott, C. ; Winslow, C. E. & McCarty, M.H. Water Bacteriology . John Wiley and Sons. Inc. New York(1950). .
- WHO. International standards for drinking water . Geneva (1971)..
- WHO. Guidelines for drinking water quality. 2th. Ed, Vol.1 &2, Geneva(1996)..
- 17-Wilson ,G. & Miles, A. The Bacteriology of water shellfish and sewage . In, Topley and Wilson's principles of Bacteriology Virology and Immunity .6th Edition. Vol.2 Edward Arnold , London (1975)..

Effect of Deposition Rate on Electrical Properties of Thin CdSe Films

YASSIN NAJIM OBAID* - IZZAT M. AL-ESSA **and ABBAS K.H.*

* قسم الفيزياء - كلية العلوم - الجامعة المستنصرية

** قسم الفيزياء - كلية العلوم - جامعة بغداد

الخلاصة

حضرت جميع أغشية CdSe الرقيقة بطريقة التبخر الحراري بالفراغ على ارضيات زجاجية وبسمك (360 nm) وبمعدلات ترسيب مختلفة. اظهرت قياسات التوصيلية المستمرة نقصاً في قيمتها بزيادة معدل الترسيب ووجود منطقى تشيط ضمن مدى درجات حرارة (300-473 K). ومن قياسات هول تبين ان جميع الأغشية كانت من نوع (n) وبحدث تناقص لقيمة تركيز الحاملات وتغاير غير منتظم لتحركية هول بزيادة معدل الترسيب.

ABSTRACT

Thin films of CdSe were deposited by Thermal evaporation method onto cleaned glass with pre-coated Al-Electrodes. thickness (360 nm) and different rates of deposition determined the Optimum conditions. The D.C. conductivity was measured in the range (300-473)K and its found to decrease with the increase in rate of deposition. Two activation energies were found for all films from analyzed the behaviors of conductivity with the temperature dependence, while Hall effect measurement showed that all films conductivity are n-type. The prepared thin films shows a steady decrease in carrier concentration and non-orderly behavior of Hall mobility with increase in rate of deposition.

INTRODUCTION

Thin films of CdSe have got wide applications in the fabrication of photo cells, thin film transistors, light amplifiers and imaging devices⁽¹⁾. In the device applications were must have a detailed knowledge about the dependence of the deposition parameters on the microstructure of the films produced⁽²⁾. Several workers^(3,4) observed that the film properties of CdSe

were highly sensitive to deposition parameters. However, their results were inconclusive, Kubovy et al⁽³⁾ obtained a transition from lower to higher resistivities at deposition rate of (6 nm/s), while Shallcross⁽⁴⁾, Chan and Hill⁽⁵⁾ observed such a transition around (1 nm/s).

CdSe thin films deposited in vacuum on unheated glass substrate consist mostly of a Wurtzite type Hexagonal phase^(7,8).

In the present paper we study effect of rate of deposition on D.C. conductivity and Hall effect measurement for CdSe thin films.

EXPERIMENTAL TECHNIQUE

The Thermal evaporated CdSe thin films were prepared by using Edwards coating unite model (Edwards E306) in vacuum ($\approx 10^{-5}$ m bar). It was evaporated by use of special closed Molybdenum Boats and deposited onto cleaned substrate with pre-coated Al-Electrodes.

The vapor deposition rate was varied in the range from (0.2 to 1.2 nm/s) according to the boat temperature and deposition rate which was determined by the thickness of the sample and the period of evaporation⁽³⁾.

Both D.C. and Hall effect measured by using a Keithely 616 Electrometer.

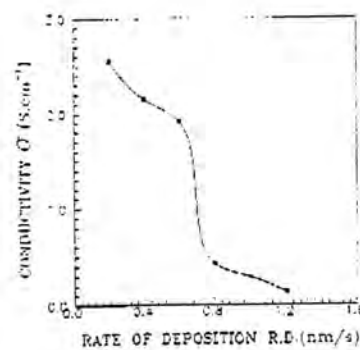
EXPERIMENTAL RESULTS

The variation in room temperature conductivity, Hall mobility and carrier concentration of CdSe films with deposition rate are given in Fig (1), (2) and (3) respectively.

Both conductivity and carrier concentration are decrease with increase rate deposition as shown in Fig. (1) and (3) which in general resembled with the findings of Chan & Hill⁽⁵⁾ and Dhere et al⁽⁶⁾. Hall coefficient showed that all films are n-type, whereas Hall mobility are increased with increase rate of deposition which have maximum mobility value in (0.6 nm/s) rate while minimum mobility value in (0.8 nm/s) rate as showed in Fig. (2). Plots of $1/\sigma$ against $1/T$ usually showed two activation energies as explained in Table (1). First activation energy found in range temperature (300-400) K while second activation energy found in range (360-473) K temperatures.

Table (1): Activation Energies and its Temperature Ranges for CdSe Thin Films.

R.D. (nm/s)	E_{a1} (eV)	ΔT_1 (K)	E_{a2} (eV)	ΔT_2 (K)
0.2	0.0178	300-361	0.0689	361-473
0.4	0.0198	300-408	0.292	408-473
0.6	0.0307	300-371	0.341	371-473
0.8	0.0834	300-398	0.242	398-473
1.0	0.0673	300-403	0.279	403-473
1.2	0.0865	300-387	0.216	387-473



Fig(1): Changing of conductivity with the rate of deposition for CdSe thin films.

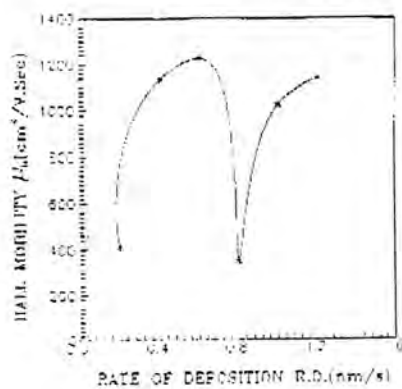


Fig (2)

Fig (2), (3) : Changes of Hall mobility and carrier concentration with the rate of deposition for CdSe thin films

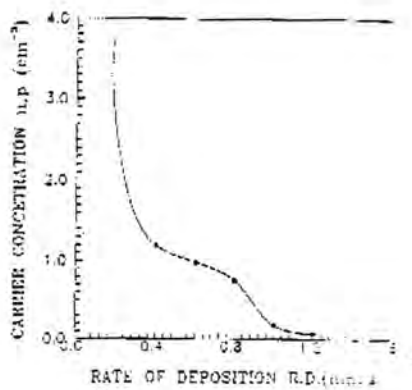


Fig (3)

DISCUSSION

The result was that the conductivity decrease with increase in deposition rates Fig. (1) which is in Generally agreement with the authors^(3,6). For the explanation of this behavior and according to assumption of Chan and Dhere^(5,6) that the composition of evaporated CdSe thin films was riched in cadmium at low rate of deposition while become rich in selenium in high rate so that the conductivity decrease and carrier concentration decrease as shown in Fig. (1), (3). This assumption was ascribed to vapor pressure curves for Cd and Se which show that the vapor beam becomes rich in Se as the source temperature increase². also rich Cd in Se films will due to Se deficiency where by get n-type which we found in all films prepared.

Hall mobility behavior is non clear because its dependent on the different parameters as shown in ORTON¹. Interpretation of Hall mobility in polycrystalline thin films, which Hall mobility given by equation:

$$\mu_H = \frac{n_1}{n} \left[\frac{L}{L_1} \mu_1 + (\mu_T + \mu_D) \exp\left(-\frac{\varphi_b}{K_B T}\right) \right]$$

where:

n_1 : carrier concentration in grain

n : average carrier concentration in a grain

μ_1 : mobility in grain

μ_T : Thermoionic mobility

μ_D : Diffusion mobility

L : Grain length with grain boundaries

L_1 : Grain length

φ_b : Barrier high

K_B : Boltzman constant

T : Temperature

From Fig. (2) Hall mobility increase with increasing deposition rate will may be ascribed to increase in grain size or decrease in barrier high and decrease in average carrier concentration.

Activation energy for D.C. conductivity was defined by two regions first which ranged from (0.0178 eV) to (0.0865 eV) may be ascribed to shallow levels in energy gap due to monovalent impurities atoms whilst

second ranged from (0.0689 e V) to (0.341 e V) may be ascribed to deep levels in energy gap due to divalent selenium vacancy.

CONCLUSION

Electrical properties of CdSe thin films are a very sensitive to deposition rates were as the conductivity and carrier concentration decreasing with the increasing deposition rates while Hall mobility showed non arrangement behavior with the rates and all films are (n-types). Two activation energies are found in all prepared films.

REFERENCES

1. A. Mondal, A. Dhar, S. Chaudhurt & A. K. Pal, J. Mat. Sci. 25 p. 2221. (1990)
2. S. Uthanna and P. J. Reddy, Phy. Stat. Sol. a(65) K 113 (1981).
3. A. Kubovy, J. Hamersky & B. Symersky, Thin solid Films 4, 35, (1969).
4. F. V. Shallcross, Trans. MSATME 236, 309 (1966)
5. D.S.H. Chan & A.E Hill, Thin Solid Films 53, 337 (1976).
6. N.G. Dhere, N.R. Parikh & A. Ferr Eira, Thin Solid Films 44, 83 (1977).
7. N.G. Dhere & A. Goswami, Ind. J. Pure. Appl. Phys. 7, 398,(1969).
8. L. Daueritz & M. Dornics, Phys. Status Solid A. 20, K37. (1973)
9. K.G. Gunther in J.C. Anderson (Ed.) The use of thin films in Physical Investigations, Academis Press London, (1966).
10. J.W. Orton, Thin Solid Films 86 pp (351-357). (1981)

Preparation and Study of The Complexes of 2,5-Bis(Acetyl methylthio)-1,3,4-Thiadiazole With Some Transition Metals

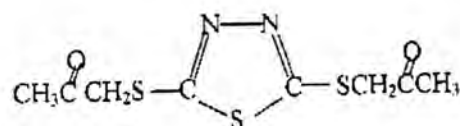
S.M.DHAHER*, N.J. AL-OBAIDY**, K.K. ABID

* IAEc, Twaitha, P.O. 765, Baghdad, Iraq

** College of Science, AL-Mustanseria University, Baghdad, Iraq

الخلاصة

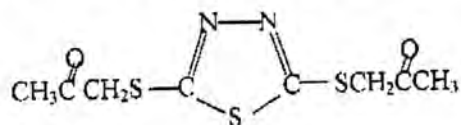
تم تحضير ودراسة المعقدات التي يكونها المركب 5,2 - ثانوي (استيل مثيل ثايو) 4,3,1 - ثياديزول (AMTD) والذي يمتلك التركيب الكيميائي التالي :



مع العناصر الانتقالية التالية : Pd^{+2} , Ag^+ , Cd^{+2} , Hg^{+2} , Zn^{+2} , Cu^{+2} , Co^{+2} , Ni^{+2} , Mn^{+2} و Pt^{+2} وقد شُخصت المعقدات الناتجة بوساطة التحاليل العنصرية الدقيقة (C.H.N analysis) اطيف نصف اشعة تحت الحمراء وفوق البنفسجية، مطيافية الامتصاص الذري، ومطيافية الكلل. ثرثرة تركية هذه المركبات المعقدة من الناحية التوصيلية الكهربائية، الصفات المغناطيسية ونوكبيا في المحاليل المائية. اظهرت الدراسة ان التركيب الفراغي لمعقدات الليكائد AMDT مع زئونات الفلزية Ni^{+2} , Mn^{+2} , Co^{+2} , Cu^{+2} و Pt^{+2} كان ثانوي انزؤوس. في حين كان Pd^{+2} مربع مستوي.

ABSTRACT

Complexes of the compound 2,5-bis(acetyl methylthio)-1,3,4-thiadiazole (AMTD) which has the following structure:



With the following transition metal ion: Mn^{+2} , Co^{+2} , Ni^{+2} , Cu^{+2} , Zn^{+2} , Hg^{+2} , Cd^{+2} , Ag^+ , Pd^{+2} , and Pt^{+2} have been synthesized. Elemental analysis (C.H.N.), Infrared, and UV-visible spectroscopy, atomic absorption spectrometry, were used to characterize the chemical structure of these complexes. The conductometric, magnetic and the aqueous solutions behavior of these complexes were studied, and their expected geometry's were concluded. The study showed that the complex geometry around the following ions: Mn^{+2} , Ni^{+2} , with AMTD were tetrahedral, Co^{+2} , Cu^{+2} , and Pt^{+2} were octahedral. While that of Pd^{+2} was square planar.

INTRODUCTION

In metal complexes of disubstituted-thio-1,3,4-thiadiazole, the ligand molecules can exist both in the thiole and the thione form, so that in the solid state as well as in solution it exists as tautomers. In both cases, the ligand have four donor sites, since it is unlikely on steric grounds that the molecule act as bidentate ligand, it can act as unidentate toward two metal ions. In such a situation, it can coordinate with (a) both nitrogen atoms, (b) both the thiocarbonyl sulfur atoms or (c) one nitrogen atom and one sulfur atom on either the same side or different sides of the ligand molecules. The known 2,5-disubstituted 1,3,4-thiadiazole have two nitrogen and one sulfur ring atoms as potential coordination sites, such as in the case of 2,5-dimethyl-1,3,4-thiadiazole, other exocyclic coordination sites may be present as NH_2 in the 2-amino-5-methyl, two CH_3S in the 2,5-dimethyl-mercapto-1,3,4-thiadiazole. The coordination in the complex occurs due to the electronic shift in the ligand through either the thiocarbonylic sulfur atom or from the ring nitrogen atom toward the anionic nitrogen.

Some transition metal halides like CuX_2 and PdX_2 could form a polynuclear complex with the presence of a bridges, either by halide ions or the ligand molecules¹⁻². A little work has been done concerning the preparation and investigation of the metal complexes having 1,3,4-thiadiazole nucleus¹⁻⁶. In most of these complexes, the coordination occurs through the thiol and thione sulfur of the ligand with deferent metal ions, and the arrangement of the complexes almost found to be octahedral as a preferable configuration.

Metal complexes of 2,5-dithiol-1,3,4-thiadiazole have been used as photographic layer stabilizer⁶, and in marine anti-fouling and anti-corrosion paints^{7,8}. The ligand has also been used as an analytical reagent in the derection and determination of metal ions⁹⁻¹¹. The wide range of applications for 1,3,4-thiadiazole ligands and their metal complexes

attracted our interest in the preparation of a new ligands derived from the reaction of 2,5-dimercapto-1,3,4-thiadiazole and the reagents 1-chloro acetone to give the compound 2,5-bis(acetyl methylthio)-1,3,4-thiadiazole (AMTD), which is expected to be a good coordinating ligand. Such ligands will have two adjacent compartment sites; S_2O_2 which could coordinate to metal ion. Transition metal complexes of these ligands with the metal ions; Mn^{+2} , Co^{+2} , Ni^{+2} , Cu^{+2} , Zn^{+2} , Hg^{+2} , Cd^{+2} , Ag^+ , Pd^{+2} , and Pt^{+2} is to be prepared, identified and studied. It is known in literature those 1,3,4-thiadiazole compounds and transition metal complexes possess a broad spectrum of biological activity. Therefore it is intended in this research program to study the biological activity of the prepared transition metal complexes as bactericides and fungicide.

EXPERIMENTAL PART

Elemental analysis was carried out at the college of Science, Saddam University by Carlo-Erba microanalyser. Infrared spectra were recorded in the $4000-200\text{cm}^{-1}$ region using a Pye-Unicom 2000 infrared spectrophotometer using KBr and CsI disc at Ibn-Albitar center laboratories. UV-Visible spectra were recorded in the region 190-800 nm using Shimadzu 260A spectrophotometer at the Iraqi Atomic Energy Commission laboratories. Melting Point for Gallenkampe melting point apparatus measured the prepared compounds.

Solvent; pyridine, ethanol, 1,4-dioxane, DMSO, (Supplied by BDH Chemicals) were dried according to text books. The transition metal salts; $MnCl_2 \cdot 2H_2O$, $CoCl_2 \cdot 6H_2O$, $NiCl_2 \cdot 6H_2O$, $CuCl_2 \cdot 2H_2O$, $ZnCl_2$, $CdCl_2$, $HgCl_2$, $PdCl_2$, $AgNO_3$ and K_2PtCl_6 were supplied by BDH Chemicals, 2,5-dimercapto-1,3,4-thiadiazole and 2,5-bis (acetyl methylthio)-1,3,4-thiadiazole (AMTD) were prepared according to the published procedure¹².

Preparation of Mn^{+2} , Co^{+2} and Zn^{+2} complexes

To a solution of (0.26gm, 1 mmole) of the ligand (AMTD) dissolved in 10 ml of absolute ethanol, was added 1 mmole of transition metal salts; ($MCl_2 \cdot xH_2O$; $MnCl_2 \cdot 4H_2O$, $CoCl_2 \cdot 6H_2O$ and $ZnCl_2$) dissolved in 10 ml of hot absolute ethanol. The resulting mixture was refluxed for 1 hr., cooled and the solvent was removed under vacuum to half of the original volume. Fine precipitate obtained which was left overnight and then filtered. Recrystallization from absolute ethanol afforded crystalline solids (yellow, dark green and white color respectively), which were filtered washed with

acetone and then dried. Physical properties and elemental analysis of resulting complexes were presented in (Table-1).

Preparation of Ni^{2+} , Cu^{2+} , Cd^{2+} and Hg^{2+} complexes

A solution of (0.26 gm, 1 mmole) of the ligand (AMTD) in 10 ml of absolute ethanol and a solution of 1mmole of transition metal salts; ($\text{MC}_{12}\cdot\text{xH}_2\text{O}$: $\text{NiCl}_2\cdot 6\text{H}_2\text{O}$, $\text{CuCl}_2\cdot 2\text{H}_2\text{O}$, CdCl_2 and HgCl_2) in 10 ml of absolute ethanol were mixed together. A fine precipitate was formed immediately, which was stirred at 45°C for 30 minutes for digestion and left to cool and then filtered. Recrystallization from DMSO: absolute ethanol mixture (50: 50) affords a fine precipitate (light green, olive, and milky and off white color respectively), which was filtered and washed with small volume of absolute ethanol and then dried. Physical properties and elemental analysis of the resulting complexes were presented in (Table-1).

Preparation of Pt^{4+} complex

A suspension of (0.48 gm, 1 mmole) of K_2PtCl_6 in 10 ml of a mixture of absolute ethanol: water (50:50) was added to a solution of (0.26 gm, 1 mmole) of the ligand (AMTD) dissolved in 10 of ethanol. The resulting mixture was refluxed for 30 min. and left the solid to cool settle. A brown precipitate was obtained, filtered and washed with ethanol. Recrystallization from a mixture of absolute ethanol: DMSO (70: 30) affords a fine brown precipitate, filtered washed with acetone and then dried. (Table-1).

Preparation of Pd^{2+} complex

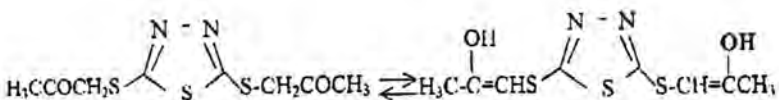
A mixture of solid (0.177 gm, 1 mmole) of PdCl_4 and (0.117 gm, 2 mmole) of NaCl were dissolved in distilled water (10 ml), stirred until a clear brown solution obtained, which was added to an ethanolic solution (10 ml) of (0.26 gm, 1 mmole) of the ligand (AMTD). The resulting mixture was refluxed for 1hr. and the solvent was removed under vacuum to the half of the original volume and then cooled. A brown precipitate formed, filtered and washed with distilled water and then with a small amount of acetone. Recrystallization from absolute ethanol affords a fine light brown precipitate, filtered and then dried (Table-1).

DISCUSSION

The first indication about the formation of ligand-metal complexes is the precipitation of colored compounds⁽¹³⁻¹⁷⁾. The identity and the structure

of the obtained complexes were confirmed using elemental analysis, I.R., U.V- visible spectrophotometer and other physical measurements.

The IR absorption spectrum of the ligand AMTD showed a weak band at 3400 cm^{-1} assigned to the hydroxyl (OH) group of the tautomeric for



Scheme-1-

Table -1
Physical properties of $\text{C}_8\text{H}_{10}\text{N}_2\text{S}_3\text{O}_2$ (AMTD)

No.	Complex	M.P. $^{\circ}\text{C}$	Yield	Color	Elemental Analysis, % Found (%Calc.)			
					C	H	N	M
1	$[\text{Mn}(\text{C}_8\text{H}_{10}\text{N}_2\text{S}_3\text{O}_2)]\text{Cl}_2$	197-199	45	Yellow	(24.76)	(2.56)	(6.87)	13.67 (14.17)
2	$[\text{Co}(\text{C}_8\text{H}_{10}\text{N}_2\text{O}_2)\text{2H}_2\text{O}]\text{Cl}_2$	172-175	52	Dark-green	(21.47)	(3.28)	(6.54)	13.04 (13.79)
3	$[\text{Ni}(\text{C}_8\text{H}_{10}\text{N}_2\text{S}_3\text{O}_2)]\text{Cl}_2$	167(d*)	65	Light-green	(24.48)	(2.55)	(7.14)	14.42 (14.80)
4	$[\text{Cu}(\text{C}_8\text{H}_{10}\text{N}_2\text{S}_3\text{O}_2)\text{Cl}_2]$	175(d*)	75	Green	(24.21)	(2.52)	(7.06)	15.38 (16.07)
5	$[\text{Zn}(\text{C}_8\text{H}_{10}\text{N}_2\text{S}_3\text{O}_2)]\text{Cl}_2$	101(d*)	50	White	24.27 (24.09)	2.09 (2.51)	7.25 (7.93)	16.30 (16.41)
6	$[\text{Hg}(\text{C}_8\text{H}_{10}\text{N}_2\text{S}_3\text{O}_2)\text{Cl}_2]$	181(d*)	70	Off-white	18.28 (17.99)	1.63 (1.87)	5.08 (5.84)	37.95 (37.60)
7	$[\text{Cd}(\text{C}_8\text{H}_{10}\text{N}_2\text{S}_3\text{O}_2)\text{Cl}_2]$	167(d*)	80	Silky	21.87 (21.55)	2.28 (2.70)	6.01 (6.68)	25.72 (25.23)
8	$[\text{Pd}(\text{C}_8\text{H}_{10}\text{N}_2\text{S}_3\text{O}_2)]\text{Cl}_2$	181(d*)	45	Brown	(21.81)	(2.27)	(6.36)	23.39 (24.18)
9	$[\text{Pt}(\text{C}_8\text{H}_{10}\text{N}_2\text{S}_3\text{O}_2)\text{Cl}_2]\text{Cl}_2$	213-215	48	Brown	(16.02)	(1.67)	(4.67)	31.94 (32.55)

D*: decompose

The ligand (Scheme-1). There are strong peaks for the ligand ANTD, at 1710 and 1680 cm^{-1} respectively for the keto group ($>\text{C}=\text{O}$) stretching frequencies, and another peak at 1650 cm^{-1} attributed for the ($\text{C}=\text{N}$) stretching band . A strong absorption band assigned for the terminal methyl group for the ligand AMTD were found at 2920 and 2900 cm^{-1} , while two

strong and medium bands located at 2940 and 2980 cm^{-1} which assigned to ($>\text{CH}_2$) and ($>\text{C}=\text{C}<$) stretching frequency (Table -1).

As a results for the coordination that took place between the metal ion and the ligand AMTD, the infra-red spectra of all transition metal complexes showed the following behavior as compared with that of the free ligand:-

- 1- The intensity of the major absorption bands: C=O, M-Cl, and O-H of the ligand changed.
- 2- The position of the major absorption bands absorption bands: C=O, M-Cl, and O-H of the ligand changed.
- 3- The appearance of new bands: M-S, and M-O due to the coordination between the ligand and metal ion, particularly in the region 600-200 cm^{-1} .

A strong absorption band assigned for the terminal methyl group for the ligands AMTD was found at 2920 and 2960 cm^{-1} , while two strong and medium bands located at 2940 and 2980 cm^{-1} which assigned to ($>\text{CH}_2$) and ($>\text{C}=\text{C}<$) stretching frequency. The complexes of 2,5-diacetyl methylthio-1,3,4-thiadiazole (ATTD), showed a shift in the position of the carbonyl group band ($>\text{C}=\text{O}$) by 10-20 cm^{-1} to a lower region while the formation of a new bands due to the metal coordination bands; M-O⁽¹⁸⁻²⁰⁾ and M-S^(1,21-26) in the region 300-500 cm^{-1} . Another bands attributed to the M-Cl bond appeared at the region 220-300 cm^{-1} ^(1,27-29).

Some transition metal complexes showed a medium broad band at *ca* 3450 cm^{-1} , which can be associated with the molecules of water present in these complexes. The spectra for Co and Cd complexes showed sharp bands around 3550 cm^{-1} attributed to coordinated hydroxyl group (OH) of a water molecule. The UV-visible absorption spectra of the ligand AMTD in DMSO have shown high intensity absorption bands (with ϵ : molar extension coefficient value of 19,000 mole⁻¹.l.c.⁻¹), due to the presence of the conjugated system. However, the values of the: molar extension coefficient (ϵ) been higher for all the transition metal complexes, and ranging from 20,000 to 34,000 mole⁻¹.l.cm⁻¹ in the same solvent. This is probably due to the increasing of electronic density at the coordinated atoms (O or S). For that reason and because the position of the absorption bands were located at the wavelength higher than 350 nm it was difficult to record the charge transfer bands due to the possible overlapping of the bands with ligand transition bands ($\pi-\pi^*$, $n-\pi^*$). For the same reason it was not possible to

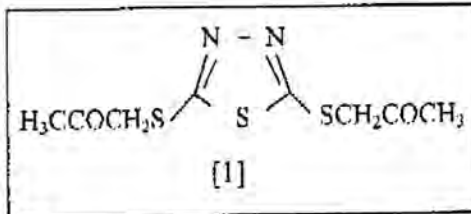
distinguish the d-d transitions for all the complexes, even when a concentration higher than 10^{-5} M used, and a wide range absorption bands recorded.

Table -2
Major infrared absorption bands (cm^{-1}) for ATTD and complexes

No.	Complex	$\nu\text{C=O}$	$\nu\text{M-S}$	$\nu\text{M-O}$	$\nu\text{M-Cl}$	νOH
1	$\text{C}_8\text{H}_{10}\text{N}_2\text{S}_3\text{O}_2$	1710s	---	---	---	3400s
2	$[\text{Mn}(\text{C}_8\text{H}_{10}\text{N}_2\text{S}_3\text{O}_2)\text{Cl}_2]$	1700s	390m	368m	230w	---
3	$[\text{Co}(\text{C}_8\text{H}_{10}\text{N}_2\text{S}_3\text{O}_2)\text{2H}_2\text{O}]\text{Cl}_2$	1700s	410m	400m	215w	3550s
4	$[\text{Ni}(\text{C}_8\text{H}_{10}\text{N}_2\text{S}_3\text{O}_2)]\text{Cl}_2$	1702s	390m	370m	240w	---
5	$[\text{Cu}(\text{C}_8\text{H}_{10}\text{N}_2\text{S}_3\text{O}_2)]\text{Cl}_2$	1700s	370w	350m	370w	---
6	$[\text{Zn}(\text{C}_8\text{H}_{10}\text{N}_2\text{O}_2)]\text{Cl}_2$	1695vs	378m	360m	280m	---
7	$[\text{Hg}(\text{C}_8\text{H}_{10}\text{N}_2\text{S}_3\text{O}_2)]\text{Cl}_2$	1700s	370m	350w	220w	---
8	$[\text{Cd}(\text{C}_8\text{H}_{10}\text{N}_2\text{S}_3\text{O}_2)]\text{Cl}_2$	1705s	370m	360m	300w	3540s
9	$[\text{Pd}(\text{C}_8\text{H}_{10}\text{N}_2\text{S}_3\text{O}_2)]\text{Cl}_2$	1695s	380m	330w	215m	---
10	$[\text{Pt}(\text{C}_8\text{H}_{10}\text{N}_2\text{S}_3\text{O}_2)]\text{Cl}_2$	1690s	360m	325m	210m	---

The ligand AMTD showed a new absorption band found at 291 nm for $n-\pi^*$ of the carbonyl group ($>\text{C=O}$) of the ligand. While the ligand APYTD showed two absorption bands; 362 and 272 nm, the first band assigned for the conjugated system ($\pi-\pi^*$), while the other band attributed to the heterocyclic ring aromaticity ($\pi-\pi^*$), of the ligand.

The position of the absorption bands for the metal complexes showed a shift (5-30 nm) to lower wavelength for some complexes and to higher wavelength for the others; these shifts gave indication for the occurrence of the coordination⁽¹⁶⁻¹⁷⁾. These absorption bands for the metal complexes were listed in



(Tables-3), and from this table we can notice the absorption bands for metal complexes of the ligand AMTD are shifted to lower wavelength except for Pd, Hg. And Cu complexes, which shifted to higher wavelength.

The magnetic susceptibility is a particular importance in the study of transition metal compounds, due to the special properties of partially filled d-shells. Information about the arrangement of d electrons can be obtained from a single measurement of susceptibility, which is quite useful to determine the configuration (geometry) of the complex, Oxidation State of the metal ion and the coordination number.

The application of magnetic susceptibility data is generally limited to those transition metal ions containing one or more unpaired electrons; thus it applies in our measurements for Mn^{+2} , Co^{+2} , Ni^{+2} , Cu^{+2} , Pd^{+2} , and Pt^{+4} . However, since all materials are diamagnetic of some degree, (that includes the prepared ligands), paramagnetism must be corrected for this. The magnetic susceptibility of transition metal complexes were measured at room temperature, and the effective magnetic moment (μ_{eff}), was obtained. Similar procedure was used to measure the magnetic susceptibility for Mn^{+2} , Ni^{+2} , Cu^{+2} , Pd^{+2} , Pt^{+4} , and Ag^+ complexes of the ligands AMTD. (Tables-4) shows the magnitude of X_g (gram susceptibility), X_m [where $X_m = (X_g - D)$, where D is the diamagnetic correction]. X_A (Aromatic Susceptibility)

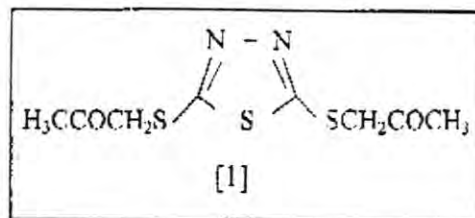


Table -3
 Electronic spectral bands (nm) for $C_8H_{10}N_2S_3O_2$ (ATTD) complexes

No.	Structure	λ_{max}	$\epsilon \text{ mole}^{-1}.1.\text{cm}^{-1}$
1	$C_8H_{10}N_2S_3O_2$	290.5	19,500
2	$[Mn(C_8H_{10}N_2S_3O_2)]Cl_2$	289	27,680
3	$[Co(C_8H_{10}N_2S_3O_2)2H_2O]Cl_2$	287	27,430
4	$[Ni(C_8H_{10}N_2S_3O_2)]Cl_2$	289	27,900
5	$[Cu(C_8H_{10}N_2S_3O_2)Cl_2]$	317	27,940
6	$[Zn(C_8H_{10}N_2S_3O_2)Cl_2]$	288	26,230
7	$[Hg(C_8H_{10}N_2S_3O_2)Cl_2]$	313	27,860
8	$[Cd(C_8H_{10}N_2O_2)Cl_2]$	288	25,330
9	$Pd(C_8H_{10}N_2S_3O_2)$	292	23,280
10	$[Pt(C_8H_{10}N_2S_3O_2)Cl_2]Cl_2$	272	22,200

and the effective magnetic moment (μ_{eff}) with the suggested geometry for the paramagnetic transition metal complexes. From these tables we can conclude the following:

1. Some of the effective magnetic moment (μ_{eff}) values were higher or lower than the theoretical values due to orbital contribution and magnetic dilution.
2. All Mn(II) complexes were suggested to be octahedral (high spin) geometry except for Mn with the ligand AMTD which may be tetrahedral, as indicated from its measured effective magnetic moment being quite closer to the theoretical values (5.70-6.0 and 5.30 B.M.)⁽³⁰⁻³¹⁾.
3. For Co (II) complexes geometry were expected to be high spin octahedral according to the there value of magnetic moment 3.20-4.40 B.M compared with the theoretical value 4.70-5.20B.M.^(1,32,34).
4. The suggested geometry in the case of Pd(II) complexes with AMTD is square planer because the effective magnetic moment less than 1.00 B.M⁽⁴⁾.
5. The complexes of the ions Ag(I) and Pt(IV) were diamagnetic, and hence they were tetrahedral for the first and octahedral geometry for the second due to the spin pairing up of the electrons of the metal ion, with the values of the effective magnetic moment less than 1.0 B.M⁽⁴⁾.

Table -4
Magnetic measurements for $C_8H_{10}N_2S_3O_2$ (AMTD) complexes

No.	Complex	X_g	X_M	X_A	μ_{eff} (B.M)	Geometry
1	$[Mn(C_8H_{10}N_2S_3O_2)]Cl_2$	3.25×10^{-5}	1.16×10^{-2}	1.18×10^{-2}	5.23	Tetrahedral
2	$[Co(C_8H_{10}N_2S_3O_2)2H_2O]Cl_2$	2.18×10^{-5}	9.25×10^{-3}	9.47×10^{-3}	4.71	Octahedral
3	$[Ni(C_8H_{10}N_2S_3O_2)]Cl_2$	1.4×10^{-5}	5.45×10^{-3}	5.57×10^{-3}	3.63	Tetrahedral
4	$[Cu(C_8H_{10}N_2S_3O_2)Cl_2]$	2.85×10^{-6}	1.18×10^{-3}	1.30×10^{-3}	1.76	Octahedral
5	$[Pd(C_8H_{10}N_2S_3O_2)]Cl_2$	1.22×10^{-6}	5.37×10^{-4}	6.57×10^{-4}	1.24	Square planer
6	$[Pt(C_8H_{10}N_2S_3O_2)Cl_2]Cl_2$	3.06×10^{-7}	1.83×10^{-4}	3.03×10^{-4}	0.0	Octahedral

Molar conductivity's Λ_m of the prepared complexes were measured in DMSO with the concentration of 10^{-3} M, and the measurements showed that some of them exhibit a high molar conductance (Table -5). The

conductometric measurement can distinguish between ionic species or species directly coordinated to the transition metal ion, and also the type of electrolyte whether it is 1:1 or 2:1^(35,36). A comparison of the ions of the same size and concentration reveals that the conductance is greater for ions of greater charge. As the size of the ion and any solvent molecules attached to it in solution decreases, the ability of the ion to move through the solution increases and there is a following increase in the conductivity of the ion. The measured molar conductivity's Λ_m of the prepared complexes were increased as the concentration decreased for the prepared complexes, due to the effect of infinite dilution of the counter ions (chloride or nitrate), in which they act completely independently of each other. As the concentration increase, the ions act less independently and conductance is somewhat less than would have been expected, and this relation shown in Table-5. Plotting the values of molar conductivity against the square root of the concentration (Figures-1), showed a concave curve for weak electrolyte for all the complexes, which could indicate as well that the solvent may replace the ions (chloride or nitrate) in coordination sphere with the metal ion^(37,38).

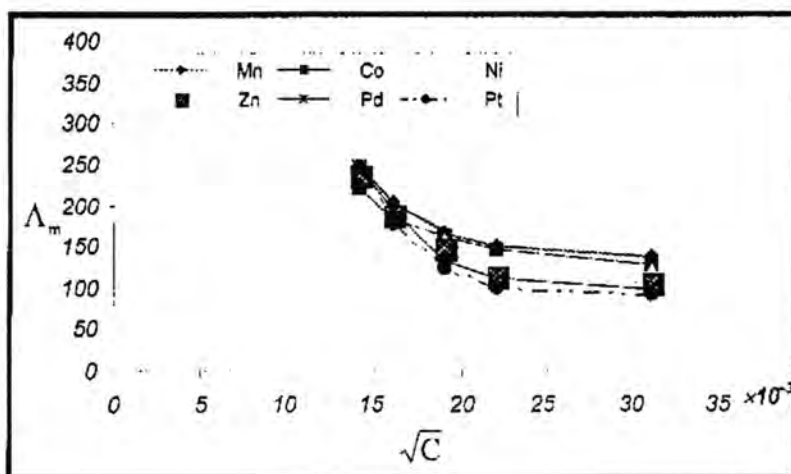
The dissociation constants of these complexes were calculated, from the values of the molar conductivity's following Ostwald equation of infinite dilution, to get more information about the nature of the coordination sphere of electrolytes. Results were presented in (Table-6).

Table-5 Molar conductivity for $C_8H_{10}N_2S_2C_2$ (TPTD) complexes using DMSO as a solvent:

No.	Complex	$\Lambda_m \text{ ohm}^{-1} \cdot \text{cm}^2 \cdot \text{Mole}^{-1}$
1	$[\text{Mn}(C_8H_{10}N_2S_2O_2)]Cl_2$	138
2	$[\text{Co}(C_8H_{10}N_2S_2O_2\text{H}_2\text{O})Cl_2]$	126
3	$[\text{Ni}(C_8H_{10}N_2S_2O_2)]Cl_2$	119
4	$[\text{Cu}(C_8H_{10}N_2S_2O_2)Cl_2]$	26
5	$[\text{Zn}(C_8H_{10}N_2S_2O_2)]Cl_2$	106
6	$[\text{Hg}(C_8H_{10}N_2S_2O_2)Cl_2]$	11
7	$[\text{Cd}(C_8H_{10}N_2S_2O_2)Cl_2]$	13
8	$[\text{Pd}(C_8H_{10}N_2S_2O_2)]Cl_2$	96
9	$[\text{Pt}(C_8H_{10}N_2S_2O_2)Cl_2]Cl_2$	90

Table -6- Variation of Λ_m with the concentration using DMSO as a solvent

No.	Complex	1×10^{-3}	0.5×10^{-3}	0.37×10^{-3}	0.25×10^{-3}	0.2×10^{-3}
1	[Mn(C ₈ H ₁₀ N ₂ S ₃ O ₂)Cl ₂]	138	151	167	203	245
2	[Co(C ₈ H ₁₀ N ₂ S ₃ O ₂) ₂ H ₂ O]Cl ₂	126	149	160	183	221
3	[Ni(C ₈ H ₁₀ N ₂ S ₃ O ₂)Cl ₂]	119	127	157	191	233
4	[Zn(C ₈ H ₁₀ N ₂ S ₃ O ₂)Cl ₂]	106	113	147	189	226
5	[Pd(C ₈ H ₁₀ N ₂ S ₃ O ₂)Cl ₂]	96	109	132	193	248
6	[Pt(C ₈ H ₁₀ N ₂ S ₃ O ₂ Cl ₂)]Cl ₂	90	98	123	176	245

Figure 1: Relation of Λ_m for AMTD complexes with the square root of concentrationTable -7- Measurement of K_d for the complexes

No.	Complex	$1/\Lambda_0$	$-K_d\Lambda_0^2$	K_d
1	Mn(C ₈ H ₁₀ N ₂ S ₃ O ₂)	3×10^{-3}	-80	2.6×10^{-2}
2	Co(C ₈ H ₁₀ N ₂ S ₃ O ₂)	2.8×10^{-3}	-56	2.0×10^{-2}
3	Ni(C ₈ H ₁₀ N ₂ S ₃ O ₂)	3.2×10^{-3}	-62	1.43×10^{-2}
4	Zn(C ₈ H ₁₀ N ₂ S ₃ O ₂)	3.4×10^{-3}	-54	1.58×10^{-2}
5	Pd(C ₈ H ₁₀ N ₂ S ₃ O ₂)	3.1×10^{-3}	-42	1.35×10^{-2}
6	Pt(C ₈ H ₁₀ N ₂ S ₃ O ₂)	2.7×10^{-3}	-32	1.18×10^{-2}

REFERENCES

1. A.C. Fabretti, G.C. Franchini and G. Peyronel; Trans. Metal Chem., 7, 105 (1982).
2. A.C. Fabertti, G.C. Franchini, W. Malayasi and G. Peyronel; Polyhedron, 4, 98 (1985).
3. Z. Greorowiz and Z. Klima; Collect. Czech. Chem. Commun., 33, 3880 (1968).
4. M.R. Gajendragad and U. Agarwala; J. Inorg. Nucl. Chem., 37, 2429 (1975).
5. A.C. Fabretti, G.C. Franchini and G.Peyronel; Spectrochem. Acta, 36A, 517 (1980).
6. Eyva and E.Z. Wiss; Photogr. Photophys. Photochem., 60, 145 (1967).
7. N. Rajendran, K. Ravichandran and S.Rajeswari; Anticorrosion method and Materials, 42, 8 (1995).
8. M. Nagasawa; U.S. Patent, 3,268, 347 (1966).
9. Z. Fresentus; Anal. Chem., 239(2), 87 (1968).
- 10.K.G. Majumdar; J. Ind. Chem. Soc., 19, 308 (1942).
- 11.G.A. Pnevmaticakis and E.C. Statnis; Chem. Ind., 1240 (1963).
- 12.S.M.Dhaher, N.J. Al-Obaidy, and K.K.Abid, submitted for publication.
- 13.S.E. AL-Mukhtar and I.A. Mostafa "Inorganic and Corrdination Chemistry" p 611-613 (1988).
- 14.E. Russeva, V. Kuban and L. Sommer; Coll. Czech. Commun., 44, 374 (1979).
- 15.D.X. West, S.A. Van, Rocket and Buntiry; Trans. Metal Chem., 13, 53 (1988).
- 16.R.G. Pearson; J. Am. Chem. Soc., 85, 2533 (1963).
- 17.B.G. Saha, R.P. Shatnagan and K. Banerji; Indian Chem. Soc., LIX, 927 (1982).
- 18.R.W. Adams, R.L. Martin and G. Winter; Aust. J. Chem., 20, 773 (1967).
- 19.F. Vratny, C.N. Rao and M. Dilling; Anal. Chem., 33, 1455 (1961).
- 20.J.D. Donaldson, J.F. Knifton and S.D. Ross; Spectrochem. Acta, 21, 275 (1965).
- 21.M.M.Mostafa, A.M. Shallaby and A.A. El-Asmy; J. Inorg. Nucl. Chem., 39, 265 (1975).
- 22.C.B. Mahto; J. Indian Chem. Soc., 57, 481 (1980).
- 23.M.A. Ali and R. Bose; J. Inorg. Nucl. Chem., 39, 265 (1975).
- 24.J.R. Ferraro and W>R. Walker; Inorg. Chem., 4, 1382 (1965).
- 25.B.Dash and S.K. Mahapatra; J. Inorg. Nucl. Chem., 32, 271 (1975).

- 26.Y. Thakur, J. Thakur and A.K. Singh; *J. Indain Chem. Soc.*, 56, 1257 (1979).
- 27.J.R. Ferraro, L.J. Basile and D.L. Kouailk; *Inorg. Chem.*, 5, 391 (1966).
- 28.M. Goldestien, E.F. Mooney, A. Anderson and H.A. Gebbie; *Spectrochem. Acta*, 21, 105 (1965).
- 29.R. Whyman and W.E. Hatifield; *Inorg. Chem.*, 6, 1859 (1967).
- 30.J. Sandstrom and I. Wennerbeck; *Acta Chim. Scand.*, 20, 701 (1953).
- 31.D.G. Holah and C.N. Marphy; *Inorg. Nucl. Chem. Letters*, 8, pp 1069-1072 (1972).
- 32.R.D. W. Kemmit and R.D. Peacoak; "Inorganic Chemistry" Pergamon press, st ed., pp 788 (1973).
- 33.D. Nicholls; "Inorganic Chemistry" Pergamon Press, 1st ed., pp 1087-1090, (1973).
- 34.B.N. Figgis; "Introduction to Ligand Field Theory" Unterscience Publisher, New York (1966).
- 35.A.Z. Al-Rubaie, H.A. Al-Shirayda, P. Granger and S> Chapella; *J. Organometallic Chem.*, 287 (1985).
- 36.J.D. M. Cullongh; *Inorg. Chem.*, 14, 1142 (1975).
- 37.W.J. Geary; *Coordination Chem. Rev.*, Elsevier Publishing Co., Amsterdam (1970).
- 38.W.K. Mehdi; M.Sc. Thesis, College of Education, University of Baghdad Iraq (1994).